
Erddruckberechnung

**nach ‚Eurocode 7‘
mit empirischen Bodenwerten und Fehleinschätzungen
in den Berechnungsgrundlagen**

und

**neuer ‚Erddruck-Theorie‘
mit realen Bodenkennziffern und auf den
reinen Grundlagen der Physik**

**Ausgabe
März 2015**

Norbert Giesler
Schilfweg 11
34253 Lohfelden

Inhaltsverzeichnis

1	Einführung	1
1.1	Allgemeines zum Sachstand	2
1.2	Aufgabenstellung	3
1.3	Aufbau der Arbeit	5
1.4	Material und Methoden	6
2	Thesen zum Erddruck und deren Würdigung	10
2.1	Definitionen zur Erddruck-Lehre	10
2.2	Definitionen zur neuen Erddruck-Theorie	11
2.3	Thesen von Lehre und neuer Theorie im Vergleich	16
2.3.1	Physikalische Größen von geneigter Ebene und Keil	18
2.3.2	Erweiterung der Regeln zur physikalischen Ebene	20
2.3.3	Klassische Erddruck-Theorie von Coulomb	24
2.3.4	Mohr-Coulomb'sches Bruchkriterium	26
2.3.5	Vergleich: Coulomb'sche Theorie mit Bruchkriterium	30
2.3.6	Vergleich: Mohr'sche Spannungstheorie mit Bruchkriterium	33
2.3.7	Kraftverteilung nach physikalischer Ebene und Bruchkriterium	34
2.3.8	Erddruckkraft nach Bruchkriterium und Coulomb (Beispiel)	37
2.4	Bestimmung des natürlichen Neigungs- und Scherwinkels von Böden	40
2.4.1	Ausbildung der natürlichen Scherebene im Sand, Versuch 1	41
2.4.2	Ausbildung der natürlichen Neigungsebene im Sand, Versuch 2	43
2.4.3	Verdichtung von trockenem Sand durch Wasserzugabe, Versuch 3	44
2.5	Bestimmung von Neigungs- und Scherwinkel unter Auflast	46
2.6	Bestimmung von Neigungs- und Scherwinkel bei Bodenauflockerung	50
2.7	Winkeländerung durch Kohäsion und/oder Wandreibung	51
2.8	Fließbedingung und Erddruck, Versuche 4 und 5	52
2.9	Silotheorie und Erddruck	55
3	Berechnung der Bodeneigenschaften	56
3.1	Allgemeines zu den Bodeneigenschaften	56
3.1.1	Berechnung der Eigenschaften trockener Böden	59
3.1.2	Berechnung der Eigenschaften nasser Böden	61
3.1.3	Berechnung der Eigenschaften nasser Böden bei Bodenverdichtung	64
3.1.4	Berechnung der Eigenschaften feuchter Böden	65
3.1.5	Ausbildung der Scherebene im feuchten Basaltgrus, Versuch 6	67
3.2	Allgemeines zu Böden unter Wasser	70
3.2.1	Berechnung der Eigenschaften nasser Böden unter Wasser	71
3.2.2	Experiment mit nassem Basaltgrus unter Wasser, Versuch 7	73
3.2.3	Berechnung der Eigenschaften feuchter Böden unter Wasser	79
3.2.4	Experiment mit feuchtem Basaltgrus unter Wasser, Versuch 8	82
3.3	Bodenkenngrößen in tabellarischer Zusammenfassung	91
3.4	Fazit zum Kapitel 3	93
4	Bodenverhalten und Kraftaufbau nach neuer Sicht	95
4.1	Allgemeines zur neuen Erddruck-Theorie	95
4.2	Ableitung der Belastbarkeit von Böden – Erdwiderstand –	96
4.2.1	Belastbarkeit von Böden bei einseitiger Kraftausbreitung	99

Inhaltsverzeichnis

4.2.2	Belastbarkeit von Böden bei mehrseitiger Kraftausbreitung	100
4.2.3	Belastbarkeit von Fundamenten bei zugelassener Bodensetzung	103
4.2.4	Belastbarkeit von Fundamenten mit Einbindetiefen	106
4.3	Erddruck bei Böden mit geneigter Oberfläche	107
4.3.1	Scherebene in Böden mit geneigter Oberfläche, Versuch 9	108
4.3.2	Kräfte in trockenen Böden bei geneigter Oberfläche	118
4.3.3	Einfluss von Auflasten auf Böden mit geneigter Oberfläche	120
4.3.4	Ermittlung der Kräfte und Winkel zur Versuchsanordnung 5	124
4.3.5	Fazit zu 4.3	130
4.4	Kräfte in Böden unter Wasser bei geneigter Oberfläche	131
4.4.1	Eigenschaften des nassen Bodens unter Wasser	132
4.4.2	Eigenschaften des trockenen Bodens über Wasser	132
4.4.3	Kraftermittlung gegen eine lotrechte fiktive Wand	135
4.5	Abgleiten von Böden auf geneigter/ebener Felsschicht, Versuch 10	137
4.6	Abgleiten von Böden auf durchgehend geneigter Felsschicht	141
4.7	Erddruck auf erdverlegte Rohrleitungen und Tunnelstrecken	146
4.8	Erddruck auf Einzelpfähle	153
4.9	Fazit zum Kapitel 4	163
5	Durch Erdbewegungen ausgelöste Unglücksfälle	166
5.1	Einsturz des Historischen Archivs der Stadt Köln 2009	166
5.1.1	Annahmen zu Tunnelquerschnitt und Baugrund	167
5.1.1.1	Lastannahmen zum Stadtarchiv und Wohngebäude	168
5.1.1.2	Annahmen zu den Bodeneigenschaften	172
5.1.2	Belastung des Baugrunds durch die Gebäude	174
5.1.3	Kräfte aus dem Baugrund gegen den Tunnelquerschnitt	178
5.1.4	Kräfte aus Archiv und Baugrund gegen die rechte Schlitzwand	180
5.1.5	Bildung von Erdblöcken zur Ermittlung der Auftriebskräfte	182
5.1.6	Ermittlung der Auftriebskräfte gegen die Tunnelsohle	187
5.1.7	Ermittlung der horizontalen Erddruckkräfte unter Wasser	193
5.1.8	Abgleich der Auftriebs- mit den Gewichtskräften des Tunnels	195
5.1.9	Fazit zum Einsturz des Archivs in Köln	200
5.2	Erdrutsch in den Concordiasee bei Nachterstedt 2009	201
5.2.1	Füllmaterial und seine Eigenschaften	203
5.2.2	Anpassung von Auflasten an Böden unter Wasser	210
5.2.3	Lage der Scherebene in den jeweiligen Stationen	212
5.2.4	Ergebnis und Fazit zum Bergrutsch in Nachterstedt	231
6	Zusammenfassung	235
6.1	Grundlagen von Erddruck-Lehre und neuer Theorie	235
6.2	Kraftermittlung und Kraftverteilung	236
6.3	Bodeneigenschaften und ihre Ermittlung	237
6.4	Anwendbarkeit der neuen Erddruck-Theorie	238
	Begriffe zur Erddruck-Theorie	240
	Literaturangaben/Anhang	243
	Anlagen	247

Abbildungsverzeichnis

In dem Verzeichnis werden die Begriffe Abbildungen (Abb.), Bilder (Bild) und Figuren (Fig.) benutzt, wobei eigene Zeichnungen und Fotografien als „Abbildung“ bezeichnet sind. Grafiken, die aus der Literatur [1] zitiert oder übernommen wurden, tragen die Bezeichnung „Bild“. Den Begriff „Fig.“ nutzt Coulomb in seinem Skizzenblatt.

Auflistung der Illustrationen

Abb. 1	Glaskasten für die Versuchsanordnungen mit Abmessungen.	7
Abb. 2	Netzwerk vertikaler und horizontaler Erdspannungen.	13
Abb. 3	Erdblöcke mit aktiven und reaktiven Kraftflächen.	13
Abb. 4	Physikalische Ebene mit Kraftverteilung [15].	18
Abb. 5	Physikalischer Keil mit Kraftverteilung [15].	19
Abb. 6	Lage der Schwerpunkte S1 bis S4 im Erdblock bzw. Keilfläche.	21
Abb. 7	Kraftbezeichnungen und Richtungen im Erdblock bzw. Keilfläche.	21
Abb. 8	Portrait Monsieur de Coulomb.	24
Abb. 9	Coulomb'sche Erddruck-Theorie in Figuren.	25
Fig. 7	Coulomb'sche Kraftanordnung innerhalb eines Erdkeils.	26
Bild P05.50	Drittelpunkt der Bruchgeraden mit Krafteck (Erddruck-Lehre).	26
Bild I06.10	Mohr'sche Spannungskreise eines Bodens mit Kohäsion (Erddruck-Lehre).	27
Bild I06.40	Scherfläche(n), Richtung im Triaxialversuch (Erddruck-Lehre).	28
Bild I06.20	Zusammenhang zwischen Scher- und Bruchgeraden (Erddruck-Lehre).	28
Bild I01.40	Hauptspannungen und ihre Lage zu der Achse 0–B (Erddruck-Lehre).	29
Bild I01.70	Physikalische Ebene und Mohr'scher Spannungskreis (Erddruck-Lehre).	30
Abb. 10	Erdblock mit Lage der aktiven und reaktiven Kraftflächen Ao und Au .	31
Abb. 11	Erdblock mit Fläche der Hangabtriebskraft und Lage der Erddruckkraft Hf .	31
Abb. 12	Erdblock mit Kraftflächen, Kräften und deren Richtung (neue Theorie).	31
Bild I01.70a	Kraftzerlegung von Normal- und Hangabtriebskraft (Coulomb).	32
Bild I01.70b	Spannungskreis mit den vom Verfasser eingefügten Kräften.	32
Bild I03.20	Reibung bei einem Körper auf schiefer Ebene (Erddruck-Lehre).	35
Bild I03.30	Überwinden von Reibung auf schiefer Ebene (Erddruck-Lehre).	35
Abb. 13	Kraftfläche der Erddruckkraft Hf mit Angriffshöhe h_v (neu).	38
Abb. 14	Kraftfläche der Erddruckkraft Ea mit Angriffshöhe $h/3$ (derzeit).	38
Abb. 15	Versuch 1: Bestimmung der natürlichen Scherebene bei Sand	41
Abb. 16	Neigungsebene mit Winkel β und Zuordnung der Flächen Ao und Au .	42
Abb. 17	Zuordnung von Neigungs- und Scherebene und ihrer Winkel β und s .	42
Abb. 18	Versuch 2: Bestimmung der natürlichen Neigungsebene bei Sand.	43
Abb. 19/20	Versuch 3: Verdichtung von Sand durch die Zugabe von Wasser.	44
Abb. 21	Versuch 3: Entstehung von Hohlräumen in dem verdichteten Sand.	44
Bild P05.60	Konvexe Krümmung der Bruchfläche bei positiver Wandreibung (Lehre).	45
Bild P05.120	Erddruckspannungen aus belasteter Geländeoberfläche (Lehre).	46
Abb. 22	Änderung des Neigungswinkels durch Auflast auf Oberfläche (Theorie).	47

Auflistung der Illustrationen

Abb. 23	Änderung des Neigungswinkels durch horizontale Felsschicht (Theorie).	48
Abb. 24	Änderung des Neigungswinkels im Probekörper durch Druck (Theorie).	49
Abb. 25	Wie zuvor, bei abweichendem Höhen-/Seiten-Verhältnis des Zylinders.	49
Abb. 26	Änderung des Scherwinkels durch Bodenauflockerung (Massenmehrung).	50
Abb. 27	Änderung des Neigungswinkels durch Massenmehrung (neue Theorie).	50
Bild P03.20	Geneigte Stützfläche mit Winkel α und Spannung σ_α (Erddruck-Lehre).	51
Abb. 28	Geneigte Stützfläche und Kraftverteilung (neue Theorie).	51
Abb. 29	Versuch 4: Glaskasten mit schichtweisem Einbau von Basaltgrus	53
Abb. 30	Versuch 4: Abgleiten des Basaltgruses / Behinderung durch Papierstreifen	53
Abb. 31	Versuch 4: Abgleiten des Basaltgruses ohne Behinderung	53
Abb. 32	Versuch 5: Abgleiten bei schichtweisem Einbau von Basaltgrus und Sand	54
Abb. 33	„Halbkreis der Bodenarten“ und Kraftmeter der Böden (neue Theorie).	57
Abb. 34	Gleichgewicht im Erdreich durch konträre Erdkräfte (neue Theorie).	58
Abb. 35	Bodeneigenschaften mit Feststoffvolumen V_f und Basiswert $V_{f90} = 1,00 \text{ m}^3$.	60
Abb. 36	Bodeneigenschaften mit Porenvolumen $V_l = 0,01 \text{ m}^3$ bis $0,99 \text{ m}^3$.	60
Abb. 37	Bodeneigenschaften aus Addition von $V_f + V_l$ und Normierung.	60
Abb. 38/39	Veränderung der Bodeneigenschaften durch Wasseraufnahme.	62
Abb. 40	Volumina und Winkel β von Böden im trockenen und im nassen Zustand.	63
Abb. 41	Bodeneigenschaften in Abhängigkeit vom Wasser unbesetzter Poren.	66
Abb. 42	Versuch 6: Glaskasten mit eingefülltem feuchten Basaltgrus.	67
Abb. 43	Versuch 6: Ausbildung der Scherebene des feuchten Basaltgruses.	69
Abb. 44	Erdband des nassen Bodens unter Wasser mit Angabe der Volumina.	72
Abb. 45	Würfel des nassen Bodens unter Wasser nach der Normierung.	73
Abb. 46	Versuch 7: Glaskasten mit nassem Basaltgrus unter Wasser.	73
Abb. 47	Versuch 7: Verdichtung des nassen Basaltgruses durch das Wasser.	74
Abb. 48	Versuch 7: Lage der Scherebene des nassen Gruses unter Wasser.	74
Abb. 49	Versuch 8: Lage der Neigungsebene des nassen Gruses unter Wasser.	76
Abb. 50	Versuch 8: Vergleich: gemessene und berechnete Bodenbewegung.	78
Abb. 51	Versuch 8: Verhalten des Basaltgruses nach Absaugen des Wassers.	80
Abb. 52	Erdwürfel mit Raumteilen feuchter Böden über Wasser (neue Theorie).	81
Abb. 53	Erdband mit Raumteilen feuchter Böden unter Wasser (neue Theorie).	82
Abb. 54	Versuch 9: Glaskasten mit feuchten Basaltgrus unter Wasser.	82
Abb. 55	Erdwürfel mit Raumteilen eines feuchten Bodens unter Wasser.	86
Abb. 56	Versuch 9: Lage der Scherebene des feuchten Gruses unter Wasser.	87
Abb. 57	Versuch 9: Aufmaß des feuchten Gruses unter Wasser.	87
Abb. 58	Versuch 9: Abhängigkeit durch das unbesetzte Porenvolumen.	88
Abb. 59	Versuch 9: Lage der Auf- und Abtragsflächen nach der Bodenbewegung.	89
Abb. 60	Gegenüberstellung horizontaler Kräfte trockener und nasser Böden.	93
Abb. 61	Felssäule mit Höhe h^* , Breite b^* und Neigungswinkel β^* .	97

Auflistung der Illustrationen

Abb. 62	Übergang der Felssäule in die Kraftflächen Aa' und Ar' eines Bodens.	97
Abb. 63	Kraftfelder unterschiedlicher Bodenarten im Erdreich (Grenzbereiche).	97
Abb. 64	Erdsäule als Auflast benötigt zum Lastabtrag gleicher Säulen im Erdreich.	99
Abb. 65	Wandlung der Erdsäule unter dem Winkel β in eine Kraftfläche	99
Abb. 66	Belastungsversuch der Degebo [A] mit vierseitiger Kraftausbreitung.	100
Abb. 67/69	Draufsicht auf Erdsäule mit zwei- bis vierseitiger Kraftausbreitung.	100
Abb. 70	Schnitt zeigt Kraftfelder unter Auflast bei zweiseitiger Ausbreitung.	102
Abb. 71	Schnitt zeigt Kraftfelder, wie zuvor, bei zugelassener Bodensetzung.	104
Abb. 72	Kraftfelder, wie zuvor, bei Fundament mit Einbindetiefe.	106
Abb. 73	Versuch 9.1: Ausgangsbasis: Sandkörper mit horizontaler Oberfläche.	109
Abb. 74	Versuch 9.1: Lage der natürlichen Scherebene des Sandes.	109
Abb. 75	Versuch 9.1: Ab- und Auftragsfläche nach der Bodenbewegung.	110
Abb. 76	Versuch 9.2: Sandkörper mit teilweiser geneigter Oberfläche.	112
Abb. 77	Versuch 9.2: wie vor, nach Bodenbewegung und mit Scherebene.	112
Abb. 78	Versuch 9.2: Merkmale zur Ermittlung der Scherebene bei Auflasten.	114
Abb. 79	Versuch 9.3: Sandkörper mit durchgehend geneigter Oberfläche.	115
Abb. 80	Versuch 9.3: Scherebene bei durchgehend geneigter Oberfläche.	115
Abb. 81	Versuch 9.3: wie zuvor, Merkmale zur Ermittlung der Scherebene.	117
Abb. 82	Versuch 9.3: wie zuvor, mit Eintrag der Kräfte ohne und mit Auflast.	119
Abb. 83	Auflast in rechteckiger Form (Streckenlast) auf einen Erdblock.	121
Abb. 84/85	Auflast auf einen Erdblock mit Darstellung der Kraftflächen und Kräfte.	122
Abb. 86/87	Keilförmige Auflast bei einem Erdblock mit ansteigender Oberfläche.	123
Abb. 88/89	Keilförmige Auflast bei einem Erdblock mit abfallender Oberfläche.	123
Abb. 90	Behandlung von Auflasten bei unterschiedlichen Bodenschichtungen.	126
Abb. 91	Anpassung der Neigungsebene bei unterschiedlichen Bodenschichtungen.	127
Abb. 92	Auflasten durch Boden auf Bodenschichtung im Grundwasser.	131
Abb. 93	Wie zuvor, Anpassung der Bodenauflast über die Bodendichten.	133
Abb. 94	Wie zuvor, Ab- und Auftragsfläche sowie Lage der Scherebene.	134
Abb. 95	Wie zuvor, Kraftflächen und Kräfte gegen eine fiktive Wand.	136
Abb. 96	Versuch 10: Sandkörper auf geneigter Ebene mit horizontaler Oberfläche.	137
Abb. 97	Versuch 10: wie zuvor, jedoch nach dem Abgleiten des Sandes.	139
Abb. 98	Versuch 10: Konkave Scherebene durch Höhenversatz an Bezugsachse.	140
Abb. 99	Versuch 10: Absenkung der Scherebene bei geneigter Basisebene.	142
Abb. 100	Scherebene mit Auflast bei durchgehend geneigter Basisebene.	144
Abb. 101	Kraftflächen und Kräfte bei durchgehend geneigter Basisebene.	146
Abb. 102	Kraftflächen und Kräfte gegen einen Rohr- oder Tunnelquerschnitt.	147
Abb. 103	Wie zuvor, Kraftflächen bei Verringerung der Rohr- oder Tunneltiefe.	147
Abb. 104	Wie zuvor, Kraftflächen bei Erhöhung der Rohr- oder Tunneltiefe.	147
Abb. 105	Versuch 11: Verhalten ungleicher Bodenarten an gemeinsamer Wand.	148

Auflistung der Illustrationen

Abb. 106	Kraftfläche zur Ermittlung der eher horizontalen Rohrbelastung.	149
Abb. 107	Kraftfläche der vertikalen Rohrbelastung und des Rohraufagers.	151
Abb. 108	Erdsäule zur Kraftermittlung gegen Pfahl, angepasst an Bezugsachse.	154
Abb. 109	Verbreiterung Erdsäule durch Anpassung der Kraftfelder an Pfahlmantel.	157
Abb. 110	Darstellung der Kraftfelder und Kräfte gegen den Pfahlmantel.	160
Abb. 111	Straßenansicht des Archivs und des benachbarten Wohnhauses.	168
Abb. 112	Kraftfelder im Erdreich zum Abtrag der Gewichtskraft des Archivs.	175
Abb. 113	Kraftfelder im Erdreich zum Abtrag der Gewichtskraft des Wohnhauses.	177
Abb. 114	Kraftfelder aus dem Erdreich gegen die Schlitzwände ohne Gebäudelasten.	178
Abb. 115	Kraftfelder in Kombination Gebäude- und Erdlasten gegen den Tunnel.	181
Abb. 116	Erdblöcke zur Ermittlung der Auftriebskräfte gegen die Tunnelsohle.	183
Abb. 117	Gewichtskräfte der Blöcke (links/Mitte) zur Ermittlung der A-Kraft R_{vl} .	189
Abb. 118	Gewichtskräfte der Blöcke (rechts/Mitte) zur Ermittlung der A-Kraft R_{vr} .	190
Abb. 119	Überlagerung der Kraftflächen der Auftriebskräfte R_{vl} und R_{vr} .	192
Abb. 120	Darstellung der Kräfte und ihrer Lage gegen den Tunnelquerschnitt.	196
Abb. 121	Darstellung zu den möglichen Brüchen in der rechten Schlitzwand.	200
Abb. 122	Grube des Tagebaus in Nachterstedt vor der Flutung.	202
Abb. 123	Erdwürfel des Lehm-Sand-Gemisches im trockenen Zustand.	204
Abb. 124	Wie zuvor, jedoch als feuchter Boden mit geringer Wasseraufnahme.	205
Abb. 125	Erdwürfel wie zuvor, jedoch nach Ausbreitung durch die Wasseraufnahme.	205
Abb. 126	Erdwürfel wie zuvor, jedoch Raumteile des feuchten verdichteten Bodens.	205
Abb. 127	Erdwürfel des nassen Bodens mit Volumenmehrung.	207
Abb. 128	Erdwürfel nasser Boden mit Höhenverlust durch die Wasseraufnahme.	207
Abb. 129	Wie zuvor, jedoch Raumteile nach Verdichtung und Wasseraufnahme.	207
Abb. 130	Erdband des nassen Bodens unter Wasser vor der Normierung.	209
Abb. 131	Erdwürfel des nassen Bodens unter Wasser nach der Normierung.	209
Abb. 132	Erdband des nassen Bodens unter Wasser mit Auflast und Auftrieb.	211
Abb. 133	Profilschnitt zum Bergrutsch in Nachterstedt (vorher/nachher).	212
Abb. 134	Lage und Winkel se der Scherebene unter Auflast in der Stat. 2405.	215
Abb. 135	Lage und Winkel se der Scherebene unter Auflast in der Stat. 2330.	218
Abb. 136	Abrutschgefährdete Erdmasse sowie Kräfte und Kraftmeter in Stat. 2330.	220
Abb. 137	Lage und Winkel se der Scherebene unter Auflast in der Stat. 2230.	222
Abb. 138	Abrutschgefährdete Erdmasse sowie Kräfte und Kraftmeter in Stat. 2230.	224
Abb. 139	Lage und Winkel se der Scherebene unter Auflast in der Stat. 2123.	226
Abb. 140	Abrutschgefährdete Erdmasse sowie Kräfte und Kraftmeter in Stat. 2123.	227
Abb. 141	Lage und Winkel se der Scherebene unter Auflast in der Stat. 2030.	229
Abb. 142	Abrutschgefährdete Erdmasse sowie Kräfte und Kraftmeter in Stat. 2030.	230
Abb. 143	Geländeebene nach dem Bergrutsch und berechnete Gleitebene.	232

Symbolverzeichnis

In der vorliegenden Arbeit werden verschiedene Systeme betrachtet, deren Begrifflichkeiten schnell durcheinandergebracht werden könnten, daher wird zur Verdeutlichung für das neue System (die neuen Erddruck-Theorie) auch eine andere Nomenklatur eingeführt. Sie soll an dieser Stelle als Referenz schon vorgestellt werden. Dabei wird nicht – wie allgemein gängig – mit Hoch- und Tiefstellungen gearbeitet, sondern die jeweiligen Bestandteile werden zur deutlichen Unterscheidung von der derzeitigen Lehre kursiv als eine Art Bausatz hintereinandergeschrieben.

Name	Einheit	Begriffe
		Begriffs- oder Buchstabenerweiterungen:
<i>t</i>		trockener Boden (getrocknet)
<i>i</i>		feuchter Boden (mit Wasser infiltriert, teilgesättigt)
<i>n</i>		nasser Boden (Poren vollständig mit Wasser gefüllt)
<i>w</i>		Wasser im Boden bzw. Boden unter Wasser (mit Auftrieb)
<i>o, u</i>		Ortsbestimmungen oben und unten
<i>r, l</i>		Ortsbestimmungen links und rechts
		Keilabmessungen
<i>a</i>	m	Berechnungstiefe (z. B. in Grabenrichtung)
<i>h</i>	m	Keilhöhe bzw. Berechnungshöhe
<i>he</i>	m	Höhe einer Ersatz- oder Auflast
<i>hl</i>	m	Berechnungshöhe plus Auflasthöhe
<i>ho</i>	m	oberer Teil der Berechnungshöhe
<i>hu</i>	m	unterer Teil der Berechnungshöhe
<i>hm</i>	m	gemittelte Höhe
<i>b</i>	m	Keilbreite bzw. Berechnungsbreite
<i>be</i>	m	Keilbreite einer Ersatz- oder Auflast
<i>bo</i>	m	obere Breite
<i>bor</i>	m	obere rechte Breite
<i>bu</i>	m	untere Breite
<i>bur</i>	m	untere rechte Breite
$\Delta b, \Delta h$	m	Teilbreite/Teilhöhe
<i>bm</i>	m	gemittelte Breite
<i>l</i>	m	Länge der geneigten Ebene
		Keilgrößen
<i>A</i>	m ²	Keilfläche
<i>Ae</i>	m ²	Fläche der Auf- oder Ersatzlast
<i>Aa</i>	m ²	aktive Lastfläche
<i>Ar</i>	m ²	reaktive Lastfläche
<i>Aae</i>	m ²	aktive Lastfläche mit Auflast
<i>Are</i>	m ²	reaktive Lastfläche mit Auflast
<i>V</i>	m ³	Gesamtvolumen
<i>Vo</i>	m ³	Anfangsvolumen
ΔV	m ³	Teilvolumen
ΣV	m ³	Summe der Volumina

Name	Einheit	Kürzel, Begriffe
		Winkel
β	°	Neigungswinkel (Winkel der inneren Bodenreibung)
β_e	°	Neigungswinkel unter Auflast
β_t	°	Neigungswinkel des trockenen Bodens
β_i	°	Neigungswinkel des feuchten Bodens
β_n	°	Neigungswinkel des nassen Bodens
β_w	°	Neigungswinkel des Bodens unter Wasser
β_{iw}	°	Neigungswinkel des feuchten Bodens unter Wasser
β_{nw}	°	Neigungswinkel des nassen Bodens unter Wasser
μ		Reibungszahl: $\mu = \tan \beta_t$
s	°	Scherwinkel: $\tan s = (\tan \beta)/2$
s'	°	Böschungs- oder Schüttwinkel
s_t	°	Scherwinkel des trockenen Bodens
s_i	°	Scherwinkel des feuchten Bodens
s_n	°	Scherwinkel des nassen Bodens
s_w	°	Scherwinkel des Bodens unter Wasser
s_{iw}	°	Scherwinkel des feuchten Bodens unter Wasser
s_{nw}	°	Scherwinkel des nassen Bodens unter Wasser
		Raumteile
V_p	m ³	Volumen des Erdwürfels ($V_p = 1,00 \text{ m}^3$)
V_{f90}	m ³	Volumen des Felsgesteins ($V_{f90} = 1,00 \text{ m}^3$)
V_f	m ³	Feststoffvolumen innerhalb einer Bodenart
V_l	m ³	Porenvolumen innerhalb einer Bodenart
V_{lt}	m ³	Porenvolumen, vom Wasser unbesetzt (trocken)
V_{li}	m ³	Porenvolumen, teilgesättigt mit Wasser (feucht)
V_{ln}	m ³	Porenvolumen, vollständig mit Wasser gefüllt (nass)
V_w	m ³	Volumen des Wassers innerhalb einer Bodenart
V_{nw}	m ³	Porenvolumen des nassen Bodens unter Wasser
V_{fi}	m ³	Fiktives Feststoffvolumens eines feuchten Bodens
V_{fn}	m ³	Fiktives Feststoffvolumen eines nassen Bodens
V_{fw}	m ³	Feststoffvolumens des Bodens $V_{fw} = 2 \cdot V_f/3$
V_{fa}	m ³	Volumen des Auftriebs $V_{fa} = 1 \cdot V_f/3$
		Bodendichte/Gewichtsteile
p_{90}	t/m ³	Dichte des Felsgesteins ohne Poren (harter Basalt $p_{90} = 3,0 \text{ t/m}^3$)
p_w	t/m ³	Dichte des Wassers ($p_w = 1,0 \text{ t/m}^3$)
P_b	t/m ³	Dichte des Betons ($P_b = 2,0 \text{ bis } 2,5 \text{ t/m}^3$)
p_{tg}	t/m ³	Dichte trockener Böden (Poren besetzt mit Gas/Luft)
p_{wg}	t/m ³	Gewichtsteil des Porenwassers
p_{ig}	t/m ³	Dichte feuchter Böden
p_{ng}	t/m ³	Dichte nasser Böden
p_{iwg}	t/m ³	Dichte feuchter Böden unter Wasser
p_{nwg}	t/m ³	Dichte nasser Böden unter Wasser
dB	Vol.-%	Lagerungsdichte von Böden

Name	Einheit	Kürzel, Begriffe		
		Kräfte im Erdkeil	Kraftmeter	
g	m/s ²	Fallbeschleunigung → $g = 9,807 \text{ m/s}^2$		
g_i	kN/m ²	Kraftzahl (Umrechn.-faktor Kraft zu Kraftmeter)		
G	kN	Gewichtskraft (Zusätze: t, n, w, l und r)	gh	m (dm)
G_a	kN	Auftriebskraft	ga	m
G_e	kN	Gewichtskraft einer Auflast	he	m
E_e	t	Ersatz- oder Auflast	e	m
FN	kN	Normalkraft im <i>stehenden</i> Erdkeil	fn	m
FH	kN	Hangabtriebskraft im <i>stehenden</i> Erdkeil	fh	m
N_v	kN	Vertikaler Anteil der Normalkraft im <i>stehenden</i> Erdkeil	nv	m
H_v	kN	Vertikaler Anteil der Hangabtriebskraft, sonst wie vor.	hv	m
H_n	kN	Horizontaler Anteil der Normalkraft, sonst wie vor.	hn	m
H_f	kN	Horizontaler Anteil der Hangabtriebskraft, wie vor.	hf	m
FR	kN	Reibungskraft	fr	m
FT	kN	Normalkraft im <i>liegenden</i> Erdkeil	ft	m
$FL (FS)$	kN	Hangabtriebskraft im <i>liegenden</i> Erdkeil	$fl (fs)$	m
L_v	kN	Vertikaler Anteil der Normalkraft im <i>liegenden</i> Erdkeil	lv	m
L_n	kN	Vertikaler Anteil der Hangabtriebskraft, sonst wie vor.	ln	m
L_{hn}	kN	Horizontaler Anteil der Normalkraft, sonst wie vor.	lhn	m
L_h	kN	Horizontaler Anteil der Hangabtriebskraft, wie vor.	lh	m
H_m	kN	Horizontal-Kräfte, gemittelt (Zusätze: t, n, w, l und r)	hm	m
M	kNm	Moment		
M_b	kNm	Moment M_b um den Punkt B		
		Ortsbezeichnungen		
OKG		Oberkante-Gelände		
OK		Oberkante		
UK		Unterkante		
VK		Vorderkante		
HK		Hinterkante		
WSp		Wasserspiegel		
Stat.		Station		
		Abkürzungen		
DLR		Deutsches Zentrum für Luft- und Raumfahrt		
DWA		Deutsche Vereinigung für Wasserwirtschaft, Abwasser und Abfall e.V.		
DVWK		Deutscher Verband für Wasserwirtschaft und Kulturbau		
LMBV		Lausitzer u. Mitteldeutsche Bergbau-Verwaltungsgesellschaft		

Rechtsvorbehalt:

Alle Rechte, auch die der Übersetzung, des Nachdrucks und der Vervielfältigung dieses Werkes oder Teilen daraus, bleiben dem Autor vorbehalten. Kein Teil dieses Werkes darf ohne schriftliche Genehmigung des Autors in irgendeiner Form verarbeitet, vervielfältigt oder verbreitet werden.

1 Einführung

DIN-Normen begleiten Bautätigkeiten von dem Entwurf über die Bauausführung bis hin zur Abrechnung. Sie gelten als ‚anerkannte Regeln der Technik‘, werden teilweise als gesetzliche Regeln vorgegeben oder in Leistungsverzeichnissen/Bauverträgen verpflichtend zur Anwendung aufgenommen. Die technischen Vorgaben mögen behilflich sein bei der Bewältigung von Bauaufgaben, aber die Berufserfahrung des Verfassers im Bauwesen brachte auch die Erkenntnis, dass selbst eine strikte Anwendung der Normen zu Bauschäden führen kann. Vor allem in dem eigenen Amtsbereich wurde bei der Erkundung von Schäden an neu verlegten Abwasserleitungen festgestellt, dass diese oft ursächlich mit Mängeln in den Regelwerken zur Erddruckermittlung in Verbindung zu bringen waren. Auf diesen Sachverhalt wurde seitens des Verfassers bereits in Fachzeitschriften aufmerksam gemacht [16 und 17]. Diese Hinweise des Verfassers auf mögliche Mängel in den Regelwerken zu der Erddruckberechnung wurden leider von den Aufstellern dieser Vorgaben ignoriert. Es bestand somit Anlass, die erkannten Unstimmigkeiten in den derzeitigen Berechnungsgrundlagen – Eurocode 7 (EC7) und DIN 4085 – als Studie aufzubereiten und diese als Diskussionsgrundlage vorzustellen.

Da beide Regelwerke sich auf die Schriften des Lehrstuhls für Grundbau, Bodenmechanik, Felsmechanik und Tunnelbau des Zentrums der Geotechnik der Technischen Universität München (TUM) [1] stützen, werden in der Studie vorrangig die Fehleinschätzungen der Lehre aufgezeigt. Bei der inhaltlichen Gestaltung der Regelwerke weist der Lehrstuhl auf einen maßgeblichen Einfluss der Deutschen Gesellschaft für Geotechnik e.V. (DGGT) hin, siehe ‚Grundlagen geotechnischer Entwürfe und Ausführungen‘ [1: S. J.1f.].

Es herrscht die Lehrmeinung vor, dass Erddruck als eine horizontale Spannung sich erst aufbaut, wenn das Erdreich vertikal belastet wird oder sich die den Boden stützende Wand bewegt. Im Regelfall wird diese horizontale Spannung als Erddruckkraft Ea über die Körper- oder Gewichtskraft G (F) des Bodens errechnet. Die Kraft G erfasst die Erdmasse der Keilfläche, die begrenzt wird durch die lotrechte rückwärtige Wandfläche, die Geländeoberfläche, die natürliche Neigungs- oder Bruchfläche des Bodens und die Berechnungstiefe a . Für die Spannungsermittlung dient derzeit das Mohr-Coulomb’sche Bruchkriterium.

Die Lehre gibt vor, dass diese Berechnungsart konform sei mit den Theorien von Coulomb (1736-1806), Christian Otto Mohr (1835-1918) sowie den Grundlagen der Physik. Da – im Gegensatz zu der neuen Theorie – die Lehre sich in ihren Erddruckberechnungen auf empirische Beiwerte und empirische Bodenkenngrößen stützt, besteht Anlass, die von der Lehre aufgezeigten Analogien zu überprüfen und die empirischen Werte durch belegbare Bodenkenngrößen auszutauschen. Diese Prüfung soll insbesondere auf den Grundlagen der Physik aufbauen, wie auf den Newtonschen Axiome, den Vorgaben zur Ermittlung der Federkraft, der Reibungskraft sowie den Regeln zu der ‚geneigten Ebene‘ und des Keils.

1.1 Allgemeines zum Sachstand

In unserer Umwelt ist eine Vielzahl von Bauwerken dem Erddruck ausgesetzt, wie Stützwände, erdverlegte Rohrleitungen, Tunnelstrecken und einiges mehr. Zudem kann von dem Erdreich zusätzlich aufgenommenes Wasser seine Eigenschaften verändern und dadurch Berghänge ins Rutschen bringen. Medien berichten oft von Bau- und Bergschäden, wobei davon ausgegangen werden kann, dass nur spektakuläre Ereignisse den Weg zur Veröffentlichung finden. Offizielle Angaben zur jährlichen Schadenshöhe sind in der Literatur nicht verfügbar. Lediglich die ATV-DVWK-Umfrage zum ‚Zustand der Kanalisation in Deutschland – Zusammenfassung‘ zeigt für den sehr kleinen Bereich des öffentlichen Kanalnetzes einen jährlichen Sanierungsbedarf von rd. 1,64 Mrd. Euro und einen Investitionsstau von rd. 45 Mrd. Bedenkt man, dass die privat betriebenen Kanäle auf die doppelte Länge des öffentlichen Netzes geschätzt werden [2], könnte sich der Sanierungsbedarf hier gleichfalls verdoppeln. In einer DWA-Umfrage 2009 sind die Kosten zur Sanierung der öffentlichen Kanäle auf gleichem Niveau geblieben [3]. Da die vorstehenden Angaben zur Schadenshöhe auf freiwilliger Basis erhoben werden und kein Ressortleiter gern über Schäden in seinem Fachbereich berichtet, wären diese Summen, um ein Vielfaches zu erhöhen. Addiert man zu den Kosten der Kanalsanierungen die Kosten zur Schadensbeseitigung in den anderen Bereichen des Bauwesens (Tiefbau, Straßenbau und Ingenieurbau), so kann eine jährliche Schadenssumme in Höhe von rd. 12-15 Mrd. für realitätsnah angesehen werden. Wer kennt nicht die bestürzenden Unglücksfälle des Jahres 2009, insbesondere den Ein-

sturz des Historischen Archivs der Stadt Köln und den riesigen Bergrutsch in Nachterstedt? Neben den enormen Sachschäden dürfte die Tötung von Personen hinreichend Grund sein, die Richtigkeit der derzeitigen Erddruckberechnungen und damit die geltenden Regelwerke und Normen kritisch zu hinterfragen. Die vorliegende Studie greift beide Unglücksfälle auf und belegt, dass sich die Ursachen neuzeitlich ohne empirische Bodenkennziffern oder Beiwerke auf den reinen Grundlagen der Physik ermitteln lassen.

1.2 Aufgabenstellung

In den Artikeln [16] und [17] ist auf mögliche Unstimmigkeiten in den Regelwerken zur Erddruckermittlung aufmerksam gemacht worden. Es bleibt somit die Aufgabe, die einzelnen Kontroversen in der Erddruck-Lehre explizit zu benennen und einen Weg aufzuzeigen, zukünftig Bau- und Bergschäden weitestgehend zu vermeiden. Bei der Vorbereitung dieser Studie offenbarte sich, dass es einfacher ist, die ursprünglich beabsichtigte punktuelle Bearbeitung der Lehrmeinung aufgrund der erkannten Widersprüche in den Grundlagen der Lehre aufzugeben und dafür eine neue Erddruck-Theorie zu erarbeiten. Diese neue Theorie geht von räumlichen Kraftfeldern im Erdreich aus, welche unter ständiger Spannung stehen. Natürliche oder künstliche Eingriffe in das Gleichgewicht der Erdkräfte, wie das Auftragen von Lasten auf die Erdoberfläche oder Grabungen, verändern das Spannungsbild im Erdreich. Im Zuge der Wiederherstellung des Gleichgewichts wandeln sich die Eigenschaften der betroffenen Böden, wie Neigungswinkel β und die Dichte.

Da die Bewahrer der Erddruck-Lehre [1] kundtun, dass ihre Berechnungsgrundlagen den Theorien von Coulomb und Mohr sowie den Regeln der Physik – geneigte Ebene – folgen, wird in dieser Studie vorrangig dem aufgezeigten Konsens zu den Regelwerken nachgegangen. Herangezogen werden hierzu auch Fakten des Mehrphasensystems der Feststoffphysik, mit dem derzeit die Volumina von Feststoffen, Flüssigkeiten (Wasser) und Gasen (Luft) in Relation zum Gesamtvolumen gesetzt werden [4: S. 14ff.; 6: S. 2.2–1 und 8: S. 5].

Die Beschäftigung mit der Feststoffphysik führte zu der Erweiterung dieses Systems, so dass heute physikalische Abhängigkeiten zwischen den Eigenschaften von Böden und Wasser aufgezeigt werden können. Die Systemerwei-

terung erlaubt es, über Raum- und Gewichtsteile von Böden die Dichte, den Neigungswinkel, den Scherwinkel und weitere Eigenschaften trockener, feuchter (teilgesättigter) und nasser (voll gesättigter) Böden oberhalb und unterhalb eines Wasserspiegels zu ermitteln. Über die Bodeneigenschaften lassen sich wechselnde Kraftfelder im Erdreich sowie Bodenbewegungen nachweisen und berechnen. Als Aufgabenstellung werden auch aufgenommen, durch eigene Experimente mögliche Unstimmigkeiten in der derzeitigen Erddruck-Lehre zu untersuchen. Hierzu werden Versuche mit unterschiedlichen Bodenarten und Wasser in einem Glaskasten durchgeführt. Dabei kann Folgendes gezeigt werden: Wird eine Bodeneigenschaft durch äußere Eingriffe (Verdichtung oder Auflockerung) verändert, so wandeln sich auch die übrigen Eigenschaften, wie Neigungswinkel, Scherwinkel sowie die Tragfähigkeit von Böden. Die Erkenntnis, dass jede Bodenart ihren eigenen Neigungswinkel ausbildet und dieser von $\beta = 0,6^\circ$ bis $\sim 89,4^\circ$ liegen kann, gab zudem Anlass, den Anstiegswinkel der physikalischen Ebene um den Winkelbereich $\beta > 45^\circ$ zu erweitern [16]. Hier ist zu erkennen, dass ein Boden, der auf seiner Neigungsebene lagert, durch das ihn umgebende Erdreich allseitig eingespannt wird und somit auf der Neigungsebene weder abgleiten noch kippen kann. Feste Körper, die auf eine geneigte Ebene gestellt werden, erfüllen die vorstehenden Eigenschaften nicht und kommen erst auf einer steileren Ebene in Bewegung. Bei der Bestimmung der Bodeneigenschaften blieben Zeitfaktoren, thermische Bedingungen und Wasserbewegungen (Wellenbildungen) unbeachtet.

Nach dem Abgleich der Erddruck-Lehre mit der neuen Erddruck-Theorie wird die Aufgabenstellung um den Nachweis erweitert, dass sich die Ergebnisse der durchgeführten Experimente auf alle Bereiche des Bauwesens übertragen lassen. Für diesen Beleg werden die Berechnungen der Schadensursachen gewählt, die im Jahre 2009 zum Einsturz des Historischen Archivs der Stadt Köln und zum Bergrutsch in Nachterstedt geführt haben. Beide Unglücksfälle wurden in den Medien und im Web ausführlich behandelt und von diesen erst kürzlich das Fehlen der Feststellungen zu den Ursachen angemahnt [13]. Das Ausbleiben der angefragten Gutachten zu den Schadensfällen ist nachvollziehbar, wenn man die Unstimmigkeiten in den Vorgaben der Erddruck-Lehre verfolgt. Sofern Gutachten vorliegen, können diese nur auf dem Wissensstand erstellt

worden sein, den die derzeitigen Regelwerke und die Lehre vorgeben. Letztlich zeigt die vorliegende Studie auf, dass sich die neue Erddruck-Theorie als ein geschlossenes Berechnungssystem darstellt, mit welchem sich die Bodeneigenschaften wie auch die Kräfte im Erdreich über die reinen Grundlagen der Physik ermitteln lassen [15].

1.3 Aufbau der Arbeit

Es werden zunächst die Definitionen der Erddruck-Lehre und der neuen Erddruck-Theorie beschrieben und über einen Abgleich die unterschiedlichen Thesen vorgestellt. Da zu der Verteilung der Erdspannungen/Erdkräfte die Lehre und die neue Theorie das Regelwerk der geneigten Ebene nutzen, bleibt zunächst anzumerken, dass die Bodenarten unterschiedliche Neigungswinkel von $\beta = 89,4^\circ$ bis $\beta = 0,6^\circ$ ausbilden. Folglich kann es nicht realistisch sein, für die Erddruckermittlung den Anstiegswinkel der geneigten Ebene auf $\alpha < 45^\circ$ zu begrenzen. Während die Lehre an dieser Vorgabe der geneigten Ebene festhält, hebt die neue Theorie die Begrenzung $\alpha < 45^\circ$ auf. Die Theorie erkennt hierbei, dass jede Bodenart eine Bruch-/Neigungsebene in dem anstehenden Erdreich unter ihrem Neigungswinkel β ausbildet, aber wegen der allseitigen Einspannung innerhalb des Erdreichs auf dieser Ebene nicht abgleiten oder kippen kann. Damit die Lehre über die Vorgaben der geneigten Ebene Hauptspannungen/Kräfte in vektorielle Komponenten zerlegen kann, dreht sie das Spannungsbild des Erdkörpers in die Position der geneigten Ebene. Die aufgezeigte unterschiedliche Art der Spannungs- oder Kraftverteilung macht es möglich, auf die Differenzen zwischen der Coulomb'schen Erddruck-Theorie und dem von der Lehre vorgestellten Mohr-Coulomb'schen Bruchkriterium einzugehen. In ähnlicher Weise wird der von der Lehre aufgezeigte Analogie zwischen der Mohr'schen Spannungstheorie und dem Bruchkriterium nachgegangen. Bei dem Vergleich der Theorien wurden die unterschiedlichen Bezeichnungen von Ebenen und Geraden als störend empfunden. Um hier Abhilfe zu schaffen, wurde über Versuchsanordnungen mit unterschiedlichen Bodenarten und Bodenzuständen die natürliche Lage der Neigungsebene und der Scherebene in den jeweiligen Erdkörpern bestimmt. Die Winkel der Ebenen verändern sich, wenn der Boden Porenwasser aufnimmt oder abgibt, der Boden verdichtet oder aufgelockert oder durch externe Kräfte/Auflasten belastet wird.

Auf die Bedeutungen und Abhängigkeiten der Winkel wird an geeigneter Stelle auf das Berechnungssystem der derzeitigen Erddruck-Lehre und der neuen Erddruck-Theorie eingegangen, siehe physikalische Ebene und Bruchkriterium in dem Abschnitt 2.3.7, S. 34ff. und die neuen Begriffsbezeichnungen auf Seite 240f..

Nach dem Abgleich der unterschiedlichen Theorien zum Erddruck wird eine von dem Verfasser erarbeitete mögliche Erweiterung des derzeitigen Mehrphasensystems der Festkörperphysik vorgestellt. Diese über Versuchsanordnungen abgesicherte Modifikation erlaubt Bodeneigenschaften, wie Dichte und Winkel, über die Trockendichte und das vom Boden aufgenommene Wasser exakt zu ermitteln, siehe Kapitel 3. Die Übereinstimmung der errechneten mit den realen Bodeneigenschaften wird durch die angekündigten Experimente in dem nachstehend beschriebenen Glaskasten mit unterschiedlichen Böden überprüft.

1.4 Material und Methoden

In der Lehre werden die Erddruck-Lehre von Coulomb und die Spannungstheorie von Mohr als das Mohr-Coulomb'sche Bruchkriterium definiert. Das Kriterium bildet die Grundlage der bisherigen Erddruckermittlung in Deutschland [1: S. I.3-5 und 1: S. P.7ff.]. Es bleibt somit abzuklären, welcher Part des Mohr-Coulomb'schen Bruchkriteriums der Erddruck-Theorie von Coulomb (Unterkapitel 2.3.3, S. 24) und welcher dem Mohr'schen Spannungskreis folgt [7: S. 385-412]. Diese Klärung wird als vorrangig betrachtet, weil Coulomb und die Lehre die Gewichtskraft G , die für eine Erddruckberechnung benötigt wird, auf die gleiche Art über die Keilfläche hinter der lotrechten Wand ermitteln. Bei der Berechnung der Erdkräfte bzw. Spannungen aber gehen beide unterschiedliche Wege. Während Coulomb die Erdkräfte in die Fläche der Gewichtskraft einzeichnet (Fig. 7, S. 26), dreht die Lehre den Erdkeil, um daraus die Erdspannungen gegen die lotrechte Wand zu berechnen (Abb. 13 u. 14, S. 38). Die Lehre sieht zudem ein Spannungsungleichgewicht im Erdreich, welches sie durch die Einführung des empirischen Beiwerts K_0 aufheben möchte [1: S. P.3ff.]. Die Lehre erreicht mit der Spiegelung der Keilfläche eine Konzentration der Kräfte G , Q und E_a in einem Punkt der Neigungsebene (Drittelpunkt der Bruchgeraden) und gibt vor, Erdspannungen so nach geneigter Ebene berechnen zu können. Die Zulässigkeit der Spannungsspiegelung wird

begründet mit der Mohr'schen Spannungstheorie, nach der Hauptspannungen über Transformationsgleichungen variiert und deren neue Werte auf einfache Art innerhalb des Spannungskreises bestimmt werden können [1: S. I.4ff.].

Zusätzliche Spannungen sieht die Lehre in einer Kohäsion und in einer Wandreibung zwischen der Wand und dem anstehenden Boden hinter der Wand, die den Kraftfluss, die Kraftgröße und die Kraftrichtung im Erdreich bestimmen können. Die derzeitige Erddruckberechnung wird in der DIN 4085 beschrieben. Der Beiwert K_0 , K_a und weitere empirische Bodenkennwerte können den Tabellen der DIN 18196, DIN 18300 und DIN 1054 entnommen werden.

Es bleibt in der Studie den Fragen nachzugehen, ob die Thesen der Lehre zu dem Mohr-Coulomb'schen Bruchkriterium stimmig sind und die Erddruckermittlung nach dem Bruchkriterium konform mit dem physikalischen Gesetz der geneigten Ebene ist [15: S. 55ff.]. Um fundiert auf die Fragen antworten zu können, sind die erwähnten Experimente in dem dargestellten Glaskasten ausgeführt worden.

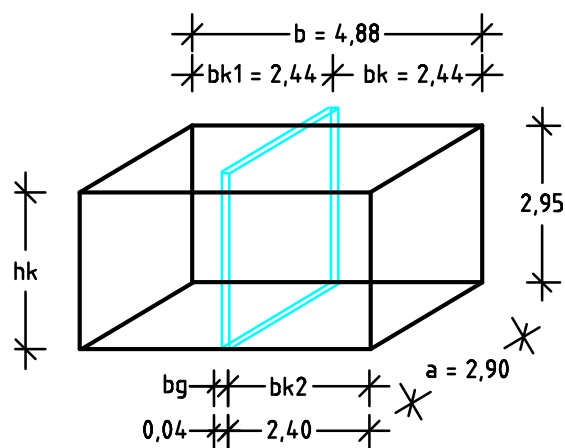


Abb. 1 zeigt den Glaskasten und seine Abmessungen.

Der Kasten, der mittig durch eine herausnehmbare Glasscheibe in zwei Kammern unterteilt werden kann, besitzt folgende Innenabmessungen: Gesamthöhe $hk = 2,95$ dm, Gesamtbreite $b = 4,88$ dm, Tiefe $a = 2,90$ dm, Breiten der Kammern $bk_1 = 2,44$ dm und $bk_2 = 2,40$ dm, Breite der losen, zwischen Arretierungen in den Kasten eingestellten Glasscheibe $bg = 0,04$ dm. Die Fugen zwischen der Trennscheibe und dem Glaskasten sind nicht abgedichtet, so dass in die eine Kammer eingefülltes Wasser in die andere Kammer gelangen kann. Der zeitliche Rahmen dieser Infiltration ist durch das Ziehen der trennenden Glasscheibe beeinflussbar. Mit dem Gesamtvolumen $V = 41,75$ dm³ des Glaskastens

steht für Versuche ein Mehrfaches des Volumens zur Verfügung, welches die DIN 18137-1 /-2 für Erdkörper vorgibt, an denen die Messung der Scherfestigkeit und des Scherwinkels φ vorgenommen werden. In den vorgenannten DIN werden Zylindergrößen beschrieben mit dem Volumen $V = 0,87 \text{ dm}^3$ (\varnothing 1,05 dm und Höhe 1,00 dm) sowie dem Volumen $V = 2,21 \text{ dm}^3$ (\varnothing 1,50 dm und Höhe 1,25 dm). Im Vergleich der Volumina dürften die Messergebnisse der hier verwendeten Versuchsanordnung aussagekräftiger einzustufen sein als jene, die bei Experimenten mit kleineren Dimensionen zu erzielen wären.

Für die Versuchsanordnungen in dem Glaskasten wurden gewählt: Sand, lehmhaltiger Boden, Bentonit-Granulat, Basaltgrus 0/3 mm, Wasser sowie Watte als leicht verformbarer Boden. Das Volumen und das Gewicht der einzelnen Zugaben (außer Watte) wurden vor ihrem Einbau in die breitere Kammer bestimmt. Bodenmischungen wurden zunächst in einem größeren Behälter vorbereitet und danach in den Glaskasten eingefüllt. Vor der Höhenmessung wurde die Oberfläche der Böden ohne Druckausübung mit einer Spitzkelle geglättet. Die Bildung kleinerer Unebenheiten war unvermeidlich und wurde hingenommen. Wasser, welches in die schmalere Kammer eingefüllt wurde, konnte sich – wie erwähnt – durch die Fugen zwischen den Behälterwänden und der eingestellten Glasscheibe ausbreiten. Bei den Experimenten wurde die Glasscheibe ruckartig gezogen. Die beim Abgleiten des Bodens entstandenen Ebenen wurden vermessen und die Messwerte mit den Höhen, Breiten und Winkel verglichen, die über die Raum- und Gewichtsteile des Bodens errechnet wurden.

Zum Nachweis, dass die Ergebnisse vergleichbar sind, wurden drei Versuche pro Experiment mit unterschiedlichen Bodenarten ausgeführt. Nach zunehmender Einsicht, dass die Ergebnisse der Experimente im Glaskasten mit den Berechnungsergebnissen übereinstimmen, wurden die Versuchsdurchführungen generell auf jeweils einen Versuch beschränkt, dafür das Experiment aber um unterschiedliche Füllhöhen oder Körperformen erweitert. Insgesamt wurden ca. 50 Versuche durchgeführt, wobei sich durch unbrauchbare Fotoaufnahmen die publizierbaren Versuchsanordnungen auf 38 reduzieren. Über diese Experimente wurde insbesondere der natürliche Neigungswinkel β von Böden in trockenem, feuchtem oder nassem Zustand sowie von Böden unter Wasser (Grund-

wasserspiegel) bestimmt. Zudem ergab die Vernetzung der Versuchsergebnisse, d. h. die Übertragung von Eigenschaften trockener Böden auf feuchte oder nasse Böden und umgekehrt, zusätzliche Erkenntnisse zu dem allgemeinen Bodenverhalten.

Zu dem Nachweis, dass die Ergebnisse der Versuchsanordnungen übertragbar sind auf größere Projekte des Erdbaus, wird mit diesen Grundlagen den Schadensursachen nachgegangen, die möglicherweise zum Einsturz des Historischen Archivs der Stadt Köln und zum Bergrutsch in Nachterstedt geführt haben könnten. Unterlagen für diese Objekte waren von den verantwortlichen Behörden jedoch nicht zu erhalten. Lediglich das Deutsche Zentrum für Luft- und Raumfahrt (DLR) [H] stellte Lagepläne und Profilschnitte vorher/nachher zum Nachvollzug des Bergrutsches zur Verfügung. Weitere Informationen zu den Ereignissen konnten nur aus Medienberichten und Fotostrecken entnommen werden [11 u. 12]. Zum U-Bahnbau in Köln wurden aus den Unterlagen [B, C u. D] bautechnische Annahmen abgeleitet und nach diesen die Berechnung der Schadensursache ausgerichtet. Sollten die getroffenen Annahmen korrekturbedürftig sein, könnten diese durch reale Maße oder Fakten ersetzt und die Berechnung auf einfachste Art durch Dritte wiederholt werden.

Zu der Darstellung der Unterschiede zwischen der Erddruck-Lehre, den Theorien von Coulomb und Mohr, den physikalischen Gesetzgebungen sowie der neuen Erddruck-Theorie war es erforderlich, für die neue Theorie andere als die bestehenden Kürzel, Begriffe und Begriffsbedeutungen zu wählen. Nach erhoffter Diskussion über die Erddruck-Theorie können die neuen Begriffe wieder den Belangen der Geologie, der Physik und der Mathematik angepasst werden. Wie erwähnt, sind die neuen Begriffsbedeutungen auf Seite 240ff. erläutert.

2 Thesen zum Erddruck und deren Würdigung

Zur Einführung in das Thema ‚Erddruckberechnung‘ werden die Grundlagen der Lehre und der neuen Erddruck-Theorie zunächst vorgestellt und danach miteinander verglichen. Durch Versuchsanordnungen wird aufgezeigt, ob sich Theorie und Praxis miteinander in Einklang bringen lassen.

2.1 Definitionen zur Erddruck-Lehre

Die Lehrmeinung zum Erddruck ist zusammengefasst in den Schriften des Lehrstuhls für Grundbau, Bodenmechanik, Felsmechanik und Tunnelbau des Zentrums der Geotechnik der Technischen Universität München (TUM) [1]. Hiernach entsteht bei einem Boden, auf dessen Geländeoberfläche Lasten oder Kräfte aufgetragen werden, wie bei einem Feststoff – z. B. Felsgestein, Beton, Metall etc. – nur eine Materialbeanspruchung parallel zur senkrechten Krafrichtung. Erst bei nachgiebiger Stützung baut sich im Boden eine Querkontraktion auf, d. h. es bilden sich neben den vertikalen Spannungen im Erdreich auch horizontale aus. Zur Mobilisierung des Erdwiderstandes eines Bodens hinter einer starren Wand werden eine Parallelverschiebung, eine Kopfpunkt- oder eine Fußpunktdrehung der Wand angenommen [1: S. P.22ff.].

Die derzeitige Lehre zeigt auf, dass anders als bei einer Flüssigkeit ein Boden, der seine seitliche Stützung durch die Wand verliert, Schubspannungen, die den Bewegungsdrang des Bodens mindern [1: S. P.1f.]. Der durch diese Mobilisierung des Erdreichs entstehende horizontale Druck gegen die Wand wird verkürzt „Erddruck“ genannt. Er wirkt in der Regel nicht senkrecht auf die belastete Wandfläche, sondern bildet mit der Flächennormalen einen Erddruckneigungswinkel δ_a bzw. δ_p aus, der bei optimaler Verzahnung des Bodens mit der Wand maximal den Reibungswinkel φ' des Bodens annehmen kann. Wandreibungskräfte, wie sie in der Silotheorie nach Janssen beschrieben werden, können zwischen dem anstehenden Boden und der erdberührten Wandfläche auftreten und den Erddruck gegen die Wand reduzieren. Entfällt eine Relativverschiebung zwischen Wand und Boden, so wird der entstehende Erddruck minimaler bzw. aktiver Erddruck E_a genannt. Der aktive Erddruck kann null sein, wenn hinter der Wand Boden (oder Fels) ansteht mit ausreichend hoher Kohäsion. Als maximaler oder passiver Erddruck E_p wird der Druck bezeichnet, der nötig ist, wenn die seitliche Stützung (Wand) gegen den Boden verschoben werden soll.

Der Erdruchdruck E_0 zeigt die Erdkraft eines ungestörten Erdkörpers an, dessen Bodenteilchen nach ihrer Sedimentation keinem weiteren Strukturwandel unterliegen [1: S. P.2]. Die Lehre sieht die Gleichgewichtsbedingung im Erdreich allein durch die Bodendichte γ für nicht gegeben, insbesondere nicht in der horizontalen Spannungsebene. Sie führt zum Ausgleich dieses Mangels Grenzfälle ein (wie den aktiven, erhöhten aktiven und passiven Erddruck) und ordnet ihnen zur Gleichgewichtsherstellung einen Erddruckbeiwert K (K_a , K_0 , K_p) zu. Die Grenzfälle werden begründet durch die zuvor beschriebenen Relativverschiebungen der stützenden Wand, die infolgedessen auch unterschiedliche Erddrücke gegen die Wand erzeugen müssten [1: S. P.3ff.]. Neben den Grenzfällen unterscheidet die Lehre in ihren Berechnungen bindige und nichtbindige Böden, deren Eigenschaften auf empirisch gefundenen Werten beruhen, siehe DIN 18196:2006 [1: S. J.3]. Die Lehre zeigt damit an, dass die Angaben zu den Bodenwerten (Scherfestigkeit, Einflussgröße und Dichte) auf Erfahrungswerten basieren [1: S. I.19].

Bei der Kraftermittlung stützt sich die Lehre auf das ‚Mohr-Coulomb’sche Bruchkriterium‘ und stellt dieses als Kombination der Thesen von Coulomb und Mohr vor. Zudem weist sie auf die Gleichheit der Spannungsverteilung nach dem Bruchkriterium und der physikalischen Ebene hin. Die Angriffshöhe der aus der Gewichtskraft G errechneten Erddruckkraft gegen die belastete Wand legt die Lehre generell für alle Bodenarten gleich auf $1/3$ der Wandhöhe h fest. Der anzusetzende Erddruckneigungswinkel δ_a bzw. δ_p ist beeinflussbar durch den Winkel der erdberührten Wandfläche, den Wandreibungswinkel und die Bodenkohäsion, siehe [1: S. I.4f.; 1: S. P.7ff. und S. P.11f.].

2.2 Definitionen zur neuen Erddruck-Theorie

Die neue Erddruck-Theorie nutzt das Mehrphasensystem der Festkörperphysik [4: S 14ff], [5: S. 47ff], [6: S, 2.2–1] und [8: S. 5], wobei zu den bisherigen Darstellungen des Bodenaufbaus und des Bodenverhaltens weitere Erkenntnisse des Autors hinzugefügt werden, die sich aus den durchgeführten Experimenten mit unterschiedlichen Böden über und unter Wasser ergeben haben. Als Basis der Überlegungen wird – wie in der Lehre – ein idealisiertes, porenloses Felsgestein angenommen, welches im Spannungsverhalten einem Feststoff, z. B. Beton, Metall etc., gleichgestellt wird. Dieses Felsgestein, welches bei Materialbeanspru-

chung nur Spannungen parallel zur senkrechten Krafrichtung ausbilden kann, wird zur Ermittlung von Bodeneigenschaften durch Erosionen angesetzt, welche Poren in dem Gestein entstehen lassen sollen. In freier Natur würden die durch die Erosion gelösten Felspartikel von den Einflüssen des Wetters abgetragen und das Felsvolumen dadurch reduziert werden. Nimmt man aber an, dass die Felspartikel und die entstandenen Poren an dem unverwitterten Fels haften bleiben, vergrößert sich das Anfangsvolumen des Felsgesteins um das Porenvolumen. Zeitgerafft dargestellt bildet sich mit jeder Erosionsphase ein anderes Gesteinsgefüge aus, bis letztlich durch die Porenmehrung aus einem harten Felsen der Bodenzustand ‚Staub/Urstaub‘ entsteht. Alle Bodenarten können somit als Zerfallsprodukte ihrer Ursprungsgesteine gesehen werden, die sich durch ihre Porenbildung von dem anfänglich harten Felsgestein (z. B. Basalt) unterscheiden. Aus dem Anfangsvolumen des Felsgesteins und dem jeweiligen Porenzuwachs konnte bei trockenen Böden über das Verhältnis von dem Feststoffvolumen V_f zu dem Porenvolumen V_l (Raumteile von Böden) die Reibungszahl μ errechnet werden, die damit gleich ist dem Tangens des Neigungswinkels β_t . Setzt man die Trockendichte des idealisierten Basaltgesteins mit $\gamma = G/V = 3,0 \text{ t/m}^3$ an [6: S. 2.2–2], lassen sich über das Feststoffvolumen einer Bodenart die Trockendichte und der Neigungswinkel dieser Bodenart errechnen und stufenlos zwischen den Winkeln $\beta_t = 89,4^\circ$ und $\beta_t = 0,6^\circ$ in den sogenannten ‚Halbkreis der Bodenarten‘ einordnen, siehe Abb. 33, S. 57.

Betrachtet man die Eigenschaften von Fels und Staub weiter, kann davon ausgegangen werden, dass Erdmassen, die oberhalb der natürlichen Neigungsebene (geneigte Ebene) lagern, infolge ihres Eigengewichts und der Gravitation einen Bewegungsdrang innerhalb der Masse aufbauen können. Zu der Förderung innerer Spannungen oder Kräfte in dem Erdreich bedarf es daher keiner äußeren Mobilisierung der Böden durch eine Bewegung der den Erdkeil stützenden Wand. Da auch die Bodenphysik Böden nicht als feste Masse sieht, kann der Lehre nicht gefolgt werden, wenn sie einem Boden hinter einer unverrückbaren starren Wand, d. h. ohne Querkontraktion in dem Erdreich, nur vertikale Kräfte zuordnet und damit die Entstehung horizontaler Kräfte in dem Boden verneint. Würde man der derzeitigen Lehre folgen, dürfte ein Boden, der gegen eine unverrückbare Felswand eingebaut wird, keine horizontalen Spannungen gegen diese Wand erzeugen können. Die neue Erddruck-Theorie kann dieser These nicht folgen, da

das Verhältnis von Feststoff- zu Porenvolumen im Boden permanent das Wirken von Dichte und Winkel im Boden beeinflusst und somit auch ständige Spannungen in dem Erdreich entstehen lässt. Diese Spannungen/Kräfte halten zudem das Gleichgewicht im Erdreich. Kleinere externe Kräfteinflüsse auf den anstehenden Boden können über seine Neigungsebenen abgetragen werden, siehe Abb. 2. Für größere Ereignissen (Beben) reichen die Reibungskräfte in den Neigungsebenen nicht mehr aus, so dass der Kraftüberschuss über Bodenbewegungen ausgeglichen werden muss. Die neue Theorie setzt auf ein Netzwerk vertikaler und horizontaler Kräfte im Erdreich (Abb. 2) und steht damit im Gegensatz zur Lehrmeinung, die ohne externe Mobilisierung einer Querkontraktion im Boden nur eine vertikale Krafrichtung sieht.

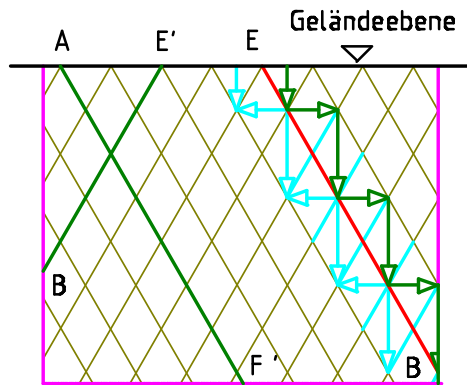


Abb. 2 zeigt in dem Erdreich das angenommene Netzwerk der Neigungsebenen mit den vertikalen und horizontalen Erdspannungen.

Die Gleichgewichtsbedingung im Erdreich lässt sich erkennen, wenn man mehrere Erdblöcke einer Bodenart nebeneinanderstellt (Abb. 3).

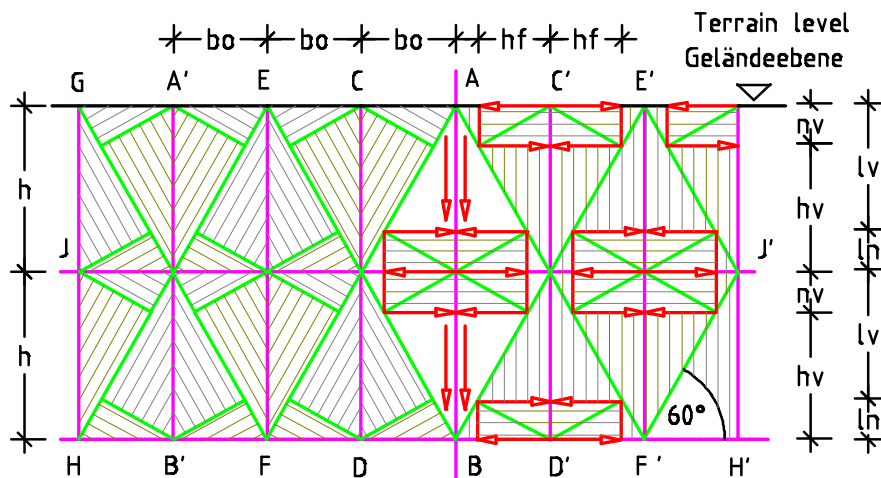


Abb. 3 zeigt links aktive und reaktive Kraftflächen und rechts die vertikalen und horizontalen Kraftkomponenten der Gewichtskraft G des Bodens.

Als Erdblock wird in der Erddruck-Theorie ein Erdkörper benannt, dessen Höhen-/Breiten-Verhältnis dem Tangens $\tan \beta$ entspricht, wobei sich damit die Neigungsebene als Diagonale in der Ansichtsfläche des Blocks zeigt. Die Blocktiefe wird mit a bezeichnet.

Nach eigener Sicht hängt der Bewegungsdrang eines Bodens im Wesentlichen von seinem Porengehalt ab. Füllt sich das Porengefüge trockener Böden mit Wasser, so wird ein Boden mit geringem Porenanteil eher das Spannungsverhalten von einem porenlosen Fels einnehmen und ein Boden mit hohem Porenanteil (Urstaub) sich dem Verhalten von Flüssigkeiten nähern. Die eindeutige Beschreibung einer Bodenart über die Dichte und den Winkel β macht es möglich, auf die bisherige Unterteilung der Bodenarten nach den magmatischen, metamorphen oder sedimentären Ursprungsgesteinen ebenso zu verzichten wie auf die Einteilung nichtbindige und bindige Böden. Der vorstehende Verzicht auf eine Unterteilung der Bodenarten kann auch daraus abgeleitet werden, dass die Lehre und die neue Theorie ausschließlich die Gewichtskraft/Körperkraft G des Erdkeils zur Ermittlung der Erddruckkraft Ea heranzieht, d. h. besondere Merkmale der Ursprungsgesteine, wie Korngröße oder der Art der Lagerung, finden bisher in den Erddruckermittlungen keine Berücksichtigung.

Die neue Erddruck-Theorie folgt dem Energiewandel, der sich beim Betrieb einer Sanduhr einstellt. Es wird an eine Sanduhr gedacht, die sich aus zwei vertikal gespiegelten Hohlkegeln zusammensetzt und über eine Öffnung verbunden sind. Füllt man den unteren Kegel mit Sand, so bildet sich der Schwerpunkt des Füllguts in dem unteren Drittel der Kegelhöhe aus. Der Sandkegel bleibt passiv. Dreht man den unteren Kegel nach oben, wird der Masse Energie zugeführt und der ursprünglich passive Füllstoff wird aktiv. Sein Schwerpunkt ist nun in dem oberen Kegel und dort in dem oberen Drittel der Kegelhöhe zu finden.

Nimmt man weiter an, dass die Neigung der Behälterwände der Scherebene des Sandes ($\tan s = \tan \beta / 2$) entspricht, dann würde der Sand in dem unteren Behälter sich weder weiter ausbreiten noch horizontale Kräfte gegen die Behälterwand erzeugen können. Dreht man den Behälter und der Sand kommt wieder nach oben, dann ändert sich bei gleicher Füllmenge wohl die Füllhöhe, nicht aber die Kraftausbildung gegen die Behälterwand. Somit lässt sich aus dem System der Sanduhr ableiten, dass nur der Füllstoff aktiv und energiegeladen ist, wenn dieser die Form eines auf der Spitze stehenden Kegels einnimmt. Hingegen ver-

liert der Füllstoff die gestaute Energie, wenn sich seine Form in einen Kegel wandelt, dessen Spitze nach oben zeigt. Die Ausrichtung der Keilspitze eines Erdkörpers bestimmt damit auch die Kraftverteilung in dem Körper. Würde man den auf der Spitze stehenden Erdkeil hinter eine fiktive Wand stellen und dem Boden anschließend seinen Halt an der Wand nehmen, so wird nur das halbe Keilvolumen abgleiten, Versuch 1, Abb. 15, S. 41. Gleich dem Volumen würde sich auch die gestaute Energie teilen und in konträren Richtungen das Gleichgewicht der Kräfte links und rechts der imaginären Wand halten.

Für die Kraftermittlung wird in der Regel die Berechnungstiefe $a = 1,00$ m vorgegeben, so dass die Kräfte anstatt über das Erdvolumen über die Kraftfläche des Bodens errechnet werden können. Die Keilfläche A_0 eines stehenden Erdkeils, die sich an die lotrechte Wand anlehnt, wird bestimmt durch die vorgegebene Wandhöhe h und den Neigungswinkel β der Bodenart. Der die Wand belastende Erdkeil steht damit auf seiner Spitze, so dass der Winkel β zwischen der Horizontalen und dem Anstieg der Neigungsebene zu messen ist. Bei einer vorgegebenen Berechnungstiefe $a = 1,00$ m wird die Gewichtskraft G ermittelt über die Keilfläche A_0 , multipliziert mit der Bodendichte ρ (ρg) und der Fallbeschleunigung g . Die Gewichtskraft G wirkt vertikal und nimmt die Lage hinter der den Boden abstützenden Wandfläche ein. Die Aufteilung der Kraftfläche in die Flächen der Normalkraft und der Hangabtriebskraft erfolgt gemäß den erweiterten Regeln zu der physikalischen Ebene. Damit entsprechen die Berechnung der Gewichtskraft G , die Lage der Gewichtskraft in dem Erdkeil und die Kraftverteilung der klassischen Erddruck-Theorie von Coulomb, siehe Abb. 9, S. 25.

Bei der Kraftverteilung innerhalb des Erdkeils zeigt sich, dass bei der vorgestellten Bodenart die Normalkraft FN von der lotrechten Wand wegführt und die Hangabtriebskraft FH zur Wand zuläuft, siehe hierzu Abb. 7, S. 21. Zudem offenbart sich, dass die Kräfte FN und FH zur Gewichtskraft G im gleichen Verhältnis stehen wie deren Keilflächen, d. h. die Addition der Kraftflächen FN plus FH ergibt die Kraftfläche der Gewichtskraft G . Die Horizontalkräfte aus der Normalkraft Hn und der Hangabtriebskraft Hf sind stets gleich, nehmen aber konträre Richtungen ein. Die vertikale Kraftkomponente Nv der Normalkraft FN und die vertikale Kraftkomponente Hv der Hangabtriebskraft FH ergeben addiert wieder die Gewichtskraft G , siehe Unterkapitel 2.3.5, Abb. 10 bis 12, S. 31f.. Weitere Kräfte und ihre Kraftmeter werden an anderer Stelle noch vorgestellt.

Boden, dem der Halt an der stützenden Wand genommen wird, gleitet auf der Neigungsebene ab und bildet, falls er beim Abgleiten nicht auflockert, als obere Begrenzung die natürliche Scherebene mit dem Scherwinkel s aus. Die Größe des Winkels bestimmt sich über den halben Tangens des Neigungswinkels: $\tan s = (\tan \beta) / 2$. Würde man, wie die Lehre zur Mobilisierung der Querkontraktion vorgibt, Lasten oder Kräfte auf die Geländeoberfläche auftragen, würde sich der natürliche Neigungswinkel des Bodens und mit ihm die Größe des Erdkeils, die Gewichtskraft und alle übrigen Kräfte oder Spannungen im Boden verändern. In ähnlicher Weise wandeln sich die Bodeneigenschaften, wenn Boden verdichtet oder aufgelockert wird. Die Ermittlung des Neigungswinkels feuchter und nasser Böden über und unter Wasser wird vorgestellt in Kapitel 3.

2.3 Thesen von Lehre und neuer Theorie im Vergleich

Die Erddruck-Lehre betrachtet Böden als feste Körper, die einer Materialbeanspruchung parallel zur senkrechten Krafrichtung unterliegen. Erst bei nachgiebiger seitlicher Stützung entsteht eine Querkontraktion und damit treten horizontale Kräfte im Boden auf. Zudem sieht sie die Gleichgewichtsbedingung in Böden als nicht gegeben an und führt zum Ausgleich den empirischen Erddruckbeiwert K ein [1: S. P.3f.]. Die neue Theorie hingegen benötigt keine Verdrehung oder Parallelverschiebung der den Boden stützenden Wand, um horizontale Kräfte im Boden zu wecken. Sie sieht die Entstehung horizontaler Kräfte in der Umlenkung vertikaler Erdspannungen auf der Neigungsebene der Böden. Diese Kräfte sind immerwährend und halten das Spannungsgleichgewicht in den Erdschichten. Das Größenverhältnis zwischen vertikalen und horizontalen Kräften wird bestimmt durch den natürlichen Neigungswinkel der jeweiligen Bodenart, der in direkter Abhängigkeit zur Bodendichte steht.

Die Lehre setzt in ihren Erddruckberechnungen empirische Werte für die Bodendichte ein und reduziert über den Ansatz des Beiwerts $K < 1,00$ die Keilfläche des belastenden Bodens, so dass zwischen der Gewichtskraft G der Lehre und der Gewichtskraft G nach neuer Theorie ein Unterschied entsteht. Diese geminderte Gewichtskraft G führt bei der Lehre zu einem geringeren Erddruck. Zudem setzt die Lehre für alle Bodenarten gleich die Erddruckkraft in $1/3$ der Wandhöhe h gegen die lotrechte Wand an und sieht Minderungen der Kraft

durch mögliche Winkelabweichungen von der horizontalen Lage der Kraft infolge des Einflusses von Wandneigung, Wandreibung und Bodenkohäsion [1: S. P.2 und S. P.10ff.].

Die neue Theorie benötigt keine empirischen Werte in ihren Erddruckermittlungen und erkennt das Gleichgewicht der Erdkräfte als gegeben. Durch die Erweiterung des **Mehrphasensystems der Festkörperphysik** können bei Kenntnis einer Bodeneigenschaft alle übrigen errechnet werden (Dichte ρ , Neigungswinkel β , Scherwinkel s u. a.). Experimente haben gezeigt, dass sich die Winkel verändern, wenn externe Kräfte auf den Erdkörper aufgetragen werden. Somit lässt sich aus den Versuchen ableiten, dass der ‚natürliche Scherwinkel‘ s der Böden in freier Natur nicht identisch sein kann mit dem Scherwinkel φ' der Lehre, der über Scherversuche mit externen Kräften auf Bodenproben/Erdkörper ermittelt wird.

Ebenso konnten Einwirkungen auf die Richtung der Erddruckkraft durch eine Wandreibung oder eine Kohäsion nicht gesehen werden. Nach den physikalischen Regeln setzt eine Wandreibung eine Bewegung voraus, die im Normalfall hier nicht vorhanden ist, und eine Bodenkohäsion kann durch ihre haftende Wirkung möglicherweise Bodenbewegungen verlangsamen, aber nicht aufhalten. Bekannt hierzu ist, dass eine Kohäsion sich ohne Wasser nicht entwickeln kann. Die Lehre gibt zudem vor, dass das Mohr-Coulomb'sche Bruchkriterium auf den Thesen von Coulomb und Mohr aufbaut und zur Ermittlung von Erdspannungen geeignet sei. In der Studie wird nachgewiesen, dass die Theorie von Coulomb im Bruchkriterium keine Beachtung findet und die Theorie von Mohr durch die Einbindung externer Spannungen in den Spannungskreis von der Lehre möglicherweise unzulässig erweitert worden ist.

Auch der These der angeblichen Gleichheit, welche die Lehre zwischen der Spannungsverteilung nach dem Bruchkriterium und der physikalischen Ebene sieht, kann nicht gefolgt werden, weil die Lehre das ursprünglichen Kraft- oder Spannungsbild in die geneigte Ebene dreht, siehe Berechnungsbeispiel und Abb. 13 und 14, S. 38ff. Weitere detaillierte Begründungen zu den möglichen Fehleinschätzungen bei der Erschaffung des Bruchkriteriums folgen.

2.3.1 Physikalische Größen von geneigter Ebene und Keil

Zum Nachvollzug der physikalischen Gesetzmäßigkeiten zur geneigten Ebene und zum Keil werden diese wörtlich aus dem Taschenbuch der Physik übernommen [15: 5.5.6-5.5.7]. Der Anstieg der ‚geneigten Ebene‘ ist durch den Winkel $\alpha < 45^\circ$ beschränkt, da im Regelfall davon auszugehen ist, dass selbst ein rechteckiger Körper von einem Abgleiten auf einer steileren Ebene durch die Reibungskräfte zwischen dem Körper und Oberfläche nicht bewahrt werden kann, siehe nachstehende Abb. 4.

In diesen Betrachtungen ist nicht eingeschlossen, dass ein Körper auf eine geneigte Ebene gestellt, auch dann horizontale Kräfte erzeugt, wenn er durch ein Hindernis an seinem Abgleiten gehindert wird. Z. B. könnte man sich hierzu ein Auto vorstellen, welches auf einem abschüssigen Gelände gegen eine dort befindliche Wand gestellt wird. Auch bei dieser Stellung würde das Auto über seine Stoßstange aus der Gewichtskraft eine horizontale Kraft gegen die Wand übertragen, wobei deren Größe abhängig wäre von dem Gewicht des Autos und dem Neigungswinkel des abschüssigen Geländes.

Zur ‚geneigten Ebene‘ folgen Zitate aus dem Taschenbuch der Physik.

Abschnitt 5.5.6 Geneigte Ebene

Darunter versteht man eine Ebene, die gegen die Horizontale geneigt ist, früher als schiefe Ebene bezeichnet.

Geneigte Ebene	
G	Gewichtskraft des Körpers
F_H	Hangabtriebskraft
F_N	Normalkraft
b	Basis der geneigten Ebene
l	Länge der geneigten Ebene
h	Höhe der geneigten Ebene
α	Neigungswinkel (neu β)

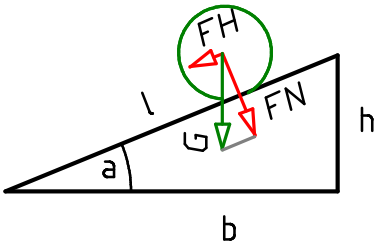


Abb. 4 zeigt die ‚geneigte Ebene‘.

$$F_H = G \cdot h/l = G \cdot \sin \alpha$$

$$F_N = G \cdot b/l = G \cdot \cos \alpha$$

Die Gewichtskraft eines Körpers auf der geneigten Ebene lässt sich in zwei einen rechten Winkel bildende Kraftkomponenten zerlegen:

- in die Hangabtriebskraft F_H parallel zur geneigten Ebene und
- in eine Normalkraft F_N rechtwinklig zur geneigten Ebene.
- als Anstieg bezeichnet man das Verhältnis $h/b = \tan \alpha$ (neu β).

In dieser Studie wird die physikalische Ebene der natürlichen Neigungsebene/Gleitebene der Böden angepasst und der Winkel β von der Horizontalen bis zur Neigungsebene gemessen.

Abschnitt 5.5.7 Keil

Er besteht aus zwei mit der Basis zusammengefügtene geneigten Ebenen. Die von den Flanken ausgeübten seitlichen Kräfte stehen senkrecht auf den Flanken (Normalkraft).

Wenn

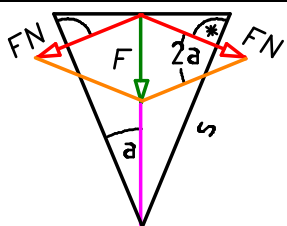
F auf den Keilrücken ausgeübte Kraft	
F_N Flankenkraft des Keils	
r Breite des Keilrückens	
s Länge einer Flanke	
α halber Keilwinkel	

Abb. 5 zeigt den physikalischen Keil.

dann gilt (M 5.18) $F_N = F / (2 \cdot \sin \alpha)$

Die Reibung wird im Taschenbuch wie folgt beschrieben [15: S. 98f.]:

Abschnitt 7.1.4 Reibungskraft

Außer dem Widerstand des umgebenden Mediums tritt bei Bewegungen die Reibung als Energie zehrender Widerstand auf. Sie wirkt an der Kontaktfläche zweier sich berührender „fester Körper“ und hemmt die Relativbewegung zwischen beiden Körpern. Die Reibung wirkt stets parallel zur Kontaktfläche und ist der Bewegung und damit auch der die Bewegung verursachenden Kraft entgegengerichtet.

Die Reibungskraft ist kleiner als die Normalkraft.

Wenn

Reibungskraft F_R , Reibungszahl μ und Normalkraft F_N ,

dann gilt (M 7.8) $F_R = \mu \cdot F_N$

Die Reibungskraft ist unabhängig von der Größe der Kontaktfläche.

Man unterscheidet folgende Reibungsarten:

Gleitreibung: Sie wirkt bei einer Bewegung des Körpers relativ zu einem anderen (meist Unterlage o. ä.) und ist geschwindigkeitsunabhängig.

Haftreibung: Sie wirkt bei ruhendem Körper und ist dem Betrag nach gleich der entgegengerichteten äußeren Zugkraft. Mit (M 7.8) ergibt sich stets der Maximalwert der Haftreibungskraft. Bei fehlender äußerer Kraft ist $F_R = 0$. Die Haftreibungszahl μ_o ist größer als die Gleitreibungszahl μ ($\mu_o > \mu$).

Daraus folgt:

Wenn

μ zu bestimmende Reibungszahl und
 a Winkel der geneigten Ebene, dann ist
 Reibungskraft = Hangabtriebskraft.

dann gilt

(M 7.8)

$$F_R = \mu \cdot F_N$$

$$\mu \cdot G \cdot \cos a = G \cdot \sin a$$

$$F_N = G \cdot \cos a, F_H = G \cdot \sin a$$

(M 7.9)

$$\mu = \tan a$$

Es bleibt hier anzumerken, dass die vorstehenden Regeln und Berechnungsansätze in die neue Erddruck-Theorie übernommen wurden, geändert wurde lediglich die Bezeichnung ‚Anstiegswinkels α ‘ auf ‚Neigungswinkel β ‘.

2.3.2 Erweiterung der Regeln zur physikalischen Ebene

Wie ausgeführt, stützt sich das Regelwerk der physikalischen Ebene auf die Feststellung, dass ein fester, rechteckiger oder kubischer Körper, der auf eine geneigte Ebene mit einem Anstiegswinkel $\alpha > 45^\circ$ gestellt wird (Abb. 4), auf der Ebene abgleitet oder kippt. Da aber der Boden eines Erdblocks durch das benachbarte Erdreich allseitig gehalten wird und seine Neigungsebene diagonal durch den Erdblock verläuft, stellen sich beim Boden andere als die vorgestellten physikalischen Abhängigkeiten bei der klassischen geneigten Ebene dar. Es ist folglich möglich, die bisherige Berechnungsgrenze $\beta \leq 45^\circ$ aufzuheben und über diese Erweiterung des Neigungswinkels $\beta > 45^\circ$ die Gewichtskraft G der Böden direkt in die vertikalen und horizontalen Kräfte aufzuteilen.

Die Neuordnung bringt folgende Abhängigkeiten [16 und 17]:

1. Winkel $\beta < 45^\circ$: Die Reibungskraft ist kleiner als die Normalkraft.
2. Winkel $\beta = 45^\circ$: Die Reibungs- und die Normalkraft sind gleich groß.
3. Winkel $\beta > 45^\circ$: Die Reibungskraft ist größer als die Normalkraft.

Es gilt: $F_H = -F_R = G \cdot \sin \beta \rightarrow F_N = G \cdot \cos \beta \rightarrow \mu = \tan \beta$

Durch die diagonale Lage der Neigungsebene in dem Erdblock bilden sich die Keilflächen $Ao = Au = h \cdot b / 2$ aus, deren aktive und reaktive Kräfte über die Gewichtskräfte (Erdeigengewicht) der Keilflächen über die erweiterten Regeln zur physikalischen Ebene verteilt werden

können.

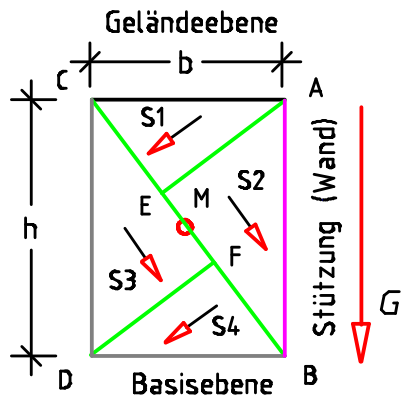


Abb. 6 zeigt innerhalb der Ansichtsfläche eines Erdblocks die unterschiedlichen Krafrichtungen und ihre Schwerpunkte.

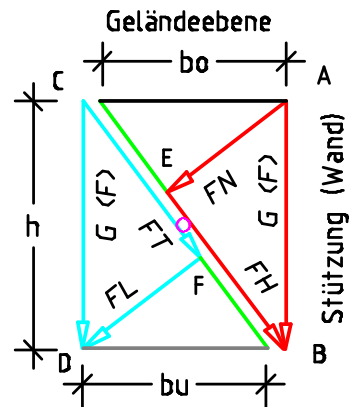


Abb. 7 zeigt innerhalb eines Erdblocks die aktiven Kräfte (rot), die reaktiven (cyan) sowie ihre Krafrichtungen.

Wie in der Abb. 7 dargestellt, nehmen die Normalkraft FN und die Hangabtriebskraft FH sowie die Kräfte FT und FL unterschiedliche Richtungen ein. Die Gewichtskraft G nimmt die vertikale Seite des jeweiligen Erdkeils ein, so dass die Kraft G in der Relation zur Keilhöhe h gesehen werden kann. Zudem lässt sich folgern, dass jedem Erdkeil Ao und Au zwei Schwerpunkte zuzuordnen sind, $S1$ und $S2$ sowie $S3$ und $S4$. Lässt man die vorgenannten Kräfte um den gemeinsamen Mittelpunkt M drehen, bestätigt sich die Gleichgewichtsbedingung in dem Erdblock. Aus der Lage der Kräfte, ihren Richtungen und Schwerpunkten könnte man ableiten, dass es den ‚Drittelpunkt in der Bruchgeraden‘ eigentlich nicht gibt, über den die Erddruck-Lehre die Gewichtskraft G verteilt (1: S. P10, Bild P05.50).

Wie die Gewichtskraft G über das Volumen V des Erdkeils bzw. seine Fläche $A = V/a$ ermittelt wird, so können in gleicher Weise auch die einzelnen Kräfte über ihre Teilflächen errechnet werden. Verfolgt man die Teilung der Gewichtskraftfläche Ao in die Flächen der Normalkraft FN und der Hangabtriebskraft FH , so lassen sich diese Flächen in gleicher Weise weiter splitten in die Flächen der vertikalen und horizontalen Komponenten. Aus der Normalkraftfläche entstehen die Flächen der vertikalen Kraftkomponente Nv und der horizontalen Komponente Hn . Die Fläche der Hangabtriebskraft FH teilt sich in die Flächen der ver-

tiken Kraftkomponente H_v und der horizontalen Komponente H_f . Aus der Fläche der horizontalen Komponente bildet sich die Erddruckkraft H_f . Die horizontalen Kräfte H_n und H_f nehmen konträre Richtungen aber gleich große Flächen ein und werden damit auch gleich groß. Addiert man alle Teilflächen, entsteht wieder die Keilfläche der Gewichtskraft G .

Die vorstehenden Flächen mit der Regeltiefe $a = 1,00$ m können genutzt werden zur Kraftermittlung erdbelasteter Wände, Streifenfundamente, erdverlegte Rohrleitungen und Tunnelquerschnitten. Für die Kraftermittlung von Einzelfundamenten und Einzelpfählen sind nach neuer Theorie in der Regel die entsprechenden Volumina anzusetzen.

Zu der vorstehenden Ergänzung des Regelwerks zur geneigten Ebene bleibt anzumerken, dass bereits Coulomb in seinen Fig. 5 und 7 die Neigungsebene/Bruchebene unter dem Anstiegswinkel $x = \beta \sim 60^\circ$ dargestellt und diesen Winkel zur Kraftverteilung im Erdkeil genutzt hat, siehe Abb. 9, S. 25.

Die Studie nutzt die Ergänzungen zur physikalischen Ebene und folgt damit der Kraftverteilung von Coulomb. Hierbei werden die Kräfte als aktiv betrachtet, die sich im Erdkeil oberhalb der Neigungsebene ausbilden. Denn verliert der Boden in diesem Keil seinen Halt an der ihn stützenden Wand, wird das Erdreich aktiv und gleitet ab. Der Boden in dem Erdkeil unterhalb der Neigungsebene verbleibt in Ruhe und wird deshalb als reaktiv bezeichnet. Beide Kraftpaare halten das Gleichgewicht in dem Erdblock. Es wird ferner angenommen, dass die aktiven und die reaktiven Kräfte ihre Lage in dem jeweils benachbarten Block ändern und damit ein Netz vertikaler und horizontaler Kräfte im Erdreich ausbilden, siehe Abb. 2 und 3.

Da Anlass besteht, die Theorie von Coulomb mit den Grundlagen des Mohr-Coulomb'schen Bruchkriteriums zu vergleichen, werden im Folgenden die Figuren im Skizzenblatt von Coulomb mit „Fig.“ und die aus der Literatur [1: I oder 1: P] entnommene Grafiken mit „Bild“ bezeichnet.

Wie bereits ausgeführt, ermitteln Coulomb und die neue Theorie die Gewichtskraft G über die Keilfläche $A_o = V_o/a$ eines Erdblocks und multiplizieren diese Fläche mit der Tiefe a , der Dichte (t/m^3) und der Fallbeschleunigung $g = 9,807$ m/s^2 . Lage und Richtung der Kräfte FN , FH , H_v und H_f sind dargestellt in den Abb. 10 bis 12, S. 31, siehe hierzu auch das Symbolverzeichnis: S. viii ff.

Durch die aufgezeigte Abhängigkeit von Kraftfläche und Kräfte konnte abgeleitet werden, dass die Gewichtskraft G des aktiven Erdkeils zur Höhe h dieses Erdkeils in ein Verhältnis gesetzt werden kann. Der entstehende Quotient wird als ‚Kraftzahl‘ g_i (g_{it} , g_{in} ...) neu in die Erddruckermittlung eingeführt. Über die Kraftzahl lassen sich Erdkräfte maßstäblich in Kraftmeter umrechnen, d. h. wie die Addition der vertikalen Kräfte $N_v + H_v$ die Gewichtskraft G ergibt, so summiert sich die Berechnungshöhe h aus den Kraftmetern $n_v + h_v$. In gleicher Weise wird aus der horizontalen Kraft H_f durch die Teilung mit der Kraftzahl g_i der Kraftmeter h_f . Dieses Verfahren erlaubt umgekehrt innerhalb des Erdkeils aus Kraftmeter über die Kraftzahl Kräfte zu ermitteln. Für den vereinfachten Nachvollzug der Abhängigkeiten unterschiedlicher Bodenarten von Winkel, Dichte, Kräfte und Kraftmeter sind tabellarische Ermittlungen ausgeführt und diese beigefügt als Anlagen 1 bis 3 im Anhang, Seite 247ff.

Der vorgestellte Kraftaufbau innerhalb eines Erdblocks ändert sich, wenn seiner Erdmasse der Halt an der lotrechten Wand genommen wird. Ein Teil des Bodens gleitet auf der Neigungsebene ab und bildet als obere Begrenzung die natürliche Scherebene unter dem Winkel s aus. Der Tangens des Scherwinkels unter Auflast errechnet sich über $\tan s_e = (\tan \beta) / 2$. Zu der Winkelumbildung wird an anderer Stelle noch ausgeführt.

Ermittlung der einzelnen Kräfte

Es bleibt anzumerken, dass für die Dichten die Einheit t/m^3 gewählt wurde.

Gewichtskraft G

$$G = A_o \cdot a \cdot \rho_{tg} \cdot g \quad (\text{analog: } \rho_{ig}, \rho_{ng} \text{ etc.}) \quad \text{kN} \quad 2.1$$

Kraft F_N

$$F_N = G \cdot \cos \beta \quad \text{kN} \quad 2.2$$

Kraft F_H

$$F_H = G \cdot \sin \beta \quad \text{kN} \quad 2.3$$

Kraft N_v

$$N_v = G \cdot \cos^2 \beta \quad \text{kN} \quad 2.4$$

Kraft H_v

$$H_v = G \cdot \sin^2 \beta \quad \text{kN} \quad 2.5$$

Kraft $H_f = -H_n$

$$H_f = -H_n = G \cdot \sin \beta \cdot \cos \beta \quad \text{kN} \quad 2.6$$

Für die maßstäbliche Darstellung der vorstehenden Kräfte werden diese über die Kraftzahl in Kraftmeter umgerechnet.

Kraftzahl gi' → über das Erdvolumen V			
$gi' = a \cdot b \cdot ptg \cdot g/2$	kN/m ²	2.7	
Kraftzahl gi → vereinfacht über die Lastfläche A			
$gi = b \cdot ptg \cdot g/2$	kN/m	2.8	
Berechnungstiefe = a	Trockendichte = ptg		
Keilbreite = b	Fallbeschleunigung = g		
Kraftmeter h			
$h = G/gi$	m	2.9	
Kraftmeter fn			
$fn = FN/gi$	m	2.10	
Kraftmeter fh			
$fh = FH/gi$	m	2.11	
Kraftmeter nv			
$nv = Nv/gi$	m	2.12	
Kraftmeter hv			
$hv = Hv/gi$	m	2.13	
Kraftmeter $hf = -hn$			
$hf = -hn = Hf/gi$	m	2.14	

Die Kraftzahl ist der jeweiligen Keilbreite b und der Bodendichte anzupassen.

2.3.3 Klassische Erddruck-Theorie von Coulomb

Zur Darstellung der Coulomb'schen Erddruck-Theorie wird das nachstehende Skizzenblatt von Coulomb herangezogen, das vor Jahren im Web der Technischen Universität Dresden noch frei zugänglich war.

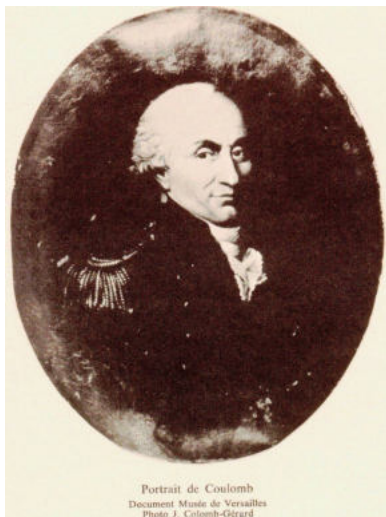


Abb. 8 zeigt ein Portrait von Monsieur de Coulomb.

Abb. 9 nachstehende Skizzenblatt zeigt die Coulomb'sche Erddruck-Lehre, dargestellt in Figuren.

Besonders aus der Fig. 7 des nachstehenden Skizzenblatts lässt sich ersehen, dass Coulomb hinter einer Stützwand einen Erdkeil ansetzt, der beschrieben wird durch (C–a–B). Diesem Erdkeil ordnete Coulomb die Neigungsebene (C–

M) unter dem Neigungswinkel $x \sim 57^\circ$ zu. Der Erdkeil wurde durch ein Gewicht P beschwert und zu dessen Abtrag die Keilfläche des Erdeigengewichts um die Fläche (a-a'-B'-B) erweitert. Durch die Flächenerweiterung erhöht sich auch die Berechnungshöhe h (C-B) um den Abstand der Punkte B nach B'. In die Keilfläche (C-a-B) überträgt Coulomb die Krafrichtungen der Fig. 5 und zeigt damit an, dass die Normalkraft in der Ebene (φ -G) verläuft und die Hangabtriebskraft die Ebene (G-B) einnimmt. Entsprechend der Winkelgröße wird die Normalkraftebene kürzer als die winklig dazu stehende Hangabtriebsebene. Durch den möglichen Bezug von Kraftlänge zu Kraft kann festgestellt werden, dass die Normalkraft kleiner als die Hangabtriebskraft ist.

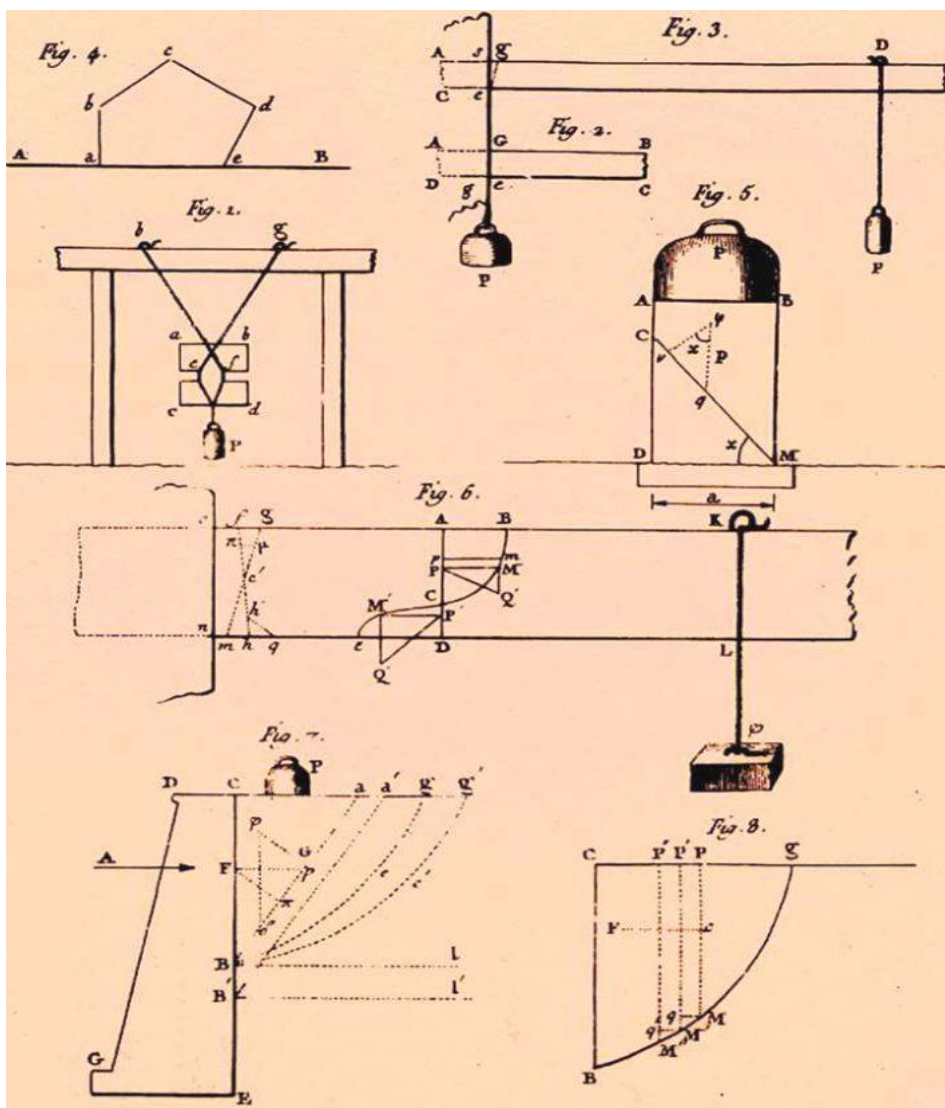


Abb. 9 zeigt das Skizzenblatt von Coulomb zu seiner Erddruck-Theorie

Der horizontalen Kraft (G-F), die sich aus dem Erdkeil gegen die Stützwand entwickelt, wird die reaktive Kraft A entgegengestellt. Somit lässt sich aus der Fig. 7 erkennen, dass sich die gezeigte Angriffshöhe der Erddruckkraft gegen die

lotrechte Wand weder auf den Schwerpunkt der Keilfläche (C–a–B) noch auf 1/3 der Keilhöhe h ausrichten lässt. Zudem liegt die Gewichtskraft aus dem Erdgewicht G direkt hinter der lotrechten Wand (C–B) und nicht, wie bei der derzeitigen Erddruck-Lehre, in dem Drittpunkt der Bruchgeraden/Neigungsebene. Zudem lassen weder die Kraftfläche (C–a–B) noch die Größe der Gewichtskraft eine Minderung erkennen, welche den Ansatz eines Erddruckbeiwerts $K < 1$ rechtfertigen könnte, den die Lehre bei der Kraftberechnung einfügt. Während Coulomb alle Kräfte in den Erdkeil projiziert, dreht die Lehre das Coulomb'sche Kraftsystem, um die Hangabtriebskraft in die physikalische Ebene unter den Winkel Coulomb φ zu bringen, siehe Bild I06.40, S. 28.

Nicht nachvollziehbar weist die Erddruck-Lehre einerseits darauf hin, dass bei Coulomb „für den Grundfall mit lotrechtem Wandrücken und ebenem Gelände [...] die Spannungsverteilung bei dieser Betrachtungsweise unbekannt!“ sei, und andererseits wählt sie die Bezeichnung „Mohr-Coulomb'sches Bruchkriterium“ für ihre Berechnungsart, siehe [1: S. P.10].

2.3.4 Mohr-Coulomb'sches Bruchkriterium

Die Erddruck-Lehre übernimmt von Coulomb wohl die Form der Lastfläche $A = b \cdot H/2$, stellt aber die aus der Gewichtskraft resultierenden Kräfte in veränderter Weise dar, vergleiche Fig. 7 und Bild P05.50 [1: S. P.10].

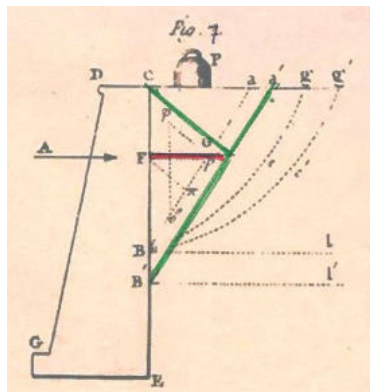


Fig. 7 zeigt die Kraftanordnung von Coulomb in einem Erdkeil

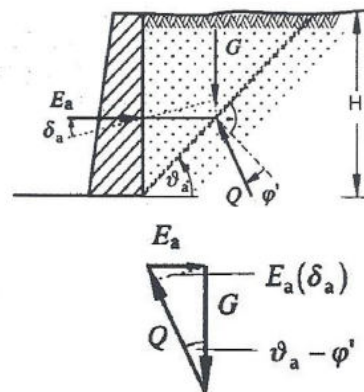


Bild P05.50: Schnitt und Kräfteck der Kräfte in einem Punkt

Zudem verschiebt die Lehre die Lage der Gewichtskraft von der rückwärtigen Wandfläche zu dem Drittpunkt der Bruchgeraden und dreht – wie bereits ausgeführt – das Coulomb'sche Kraftsystem, um dieses den Vorgaben der physikalischen Ebene mit dem Winkel α anzupassen, siehe Bild I01.70, S. 30.

Die Lehre begründet die Verschiebung der Gewichtskraft und die von Coulomb abweichende Spannungsverteilung und führt in der Literatur [1: S. P.10] dazu aus: „Wenn man [...] annimmt, dass alle an dem Erdkeil angreifenden Kräfte Integrale von linear mit der Tiefe anwachsenden Spannungen sind, schneiden sich G , Q und E_a in einem Punkt (Drittelpunkt der Bruchfuge), und es ist, falls $\delta = 0$ ist (Vereinfachung):

$$G = \frac{1}{2} \gamma \cdot H^2 \cdot \cot \theta \quad \text{und} \quad E_a = G \cdot \tan (\theta - \varphi).''$$

Der Reibungswinkel φ' wird errechnet nach [1: S. I.15]

$$\sin \varphi' = \tan \alpha = \tan (90^\circ - \beta)$$

Unter Beachtung dieser Vorgaben legt die Lehre den horizontalen Angriff der Erddruckkraft E_a gegen die Wand für alle Bodenarten gleich auf $1/3$ der Wandhöhe h fest, falls der Erddruckneigungswinkel $\delta_a = 0$ ist [1: S. P10]. Zudem zeigt die Lehre zu dem vorstehenden Bild an, dass zur Berechnung und Verteilung der Spannungen aus der Gewichtskraft die Mohr-Coulomb'sche Bruchbedingung gilt. Die Bruchbedingung soll erlauben, die Normal- und Schubspannungen von Tragwerken oder festen Körpern zu ermitteln, die durch Kräfte oder Momente belastet werden. Auf der σ -Achse sind hierzu die Werte σ_x , σ_y und τ_{xy} aufzutragen, deren Schnittwinkel auf dem Kreis Punkte erzeugen, über die der Spannungszustand grafisch angezeigt werden kann. Bei einachsigem Zug oder reinem Schub treten die größten Schubspannungen unter einem Winkel von 45° zur x-Achse auf.

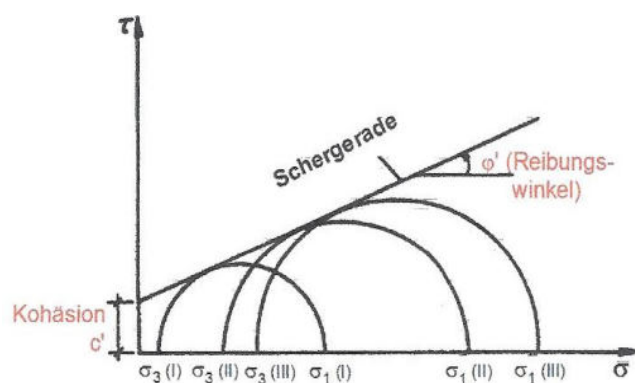


Bild I06.10: Mohr'sche Spannungskreise des Bruchzustandes eines Bodens mit Kohäsion

Zu der Bruchbedingung wird weiter zitiert [aus 1: S. I.14]:

„Trägt man die bei verschiedenen Triaxialversuchen am gleichen Material, aber bei verschiedenen Seitendrücken σ_3 erreichten Spannungszustände σ_3 / σ_{1max} in der Mohr'schen Darstellung als Spannungskreise auf, so erkennt man, dass die

Kreise eine gemeinsame Tangente aufweisen (Bild I06.10). Sie definiert die Bruchbedingung, die als Mohr-Coulombsche Bruchbedingung (Schergerade) eine zentrale Funktion in der Bodenmechanik darstellt.“

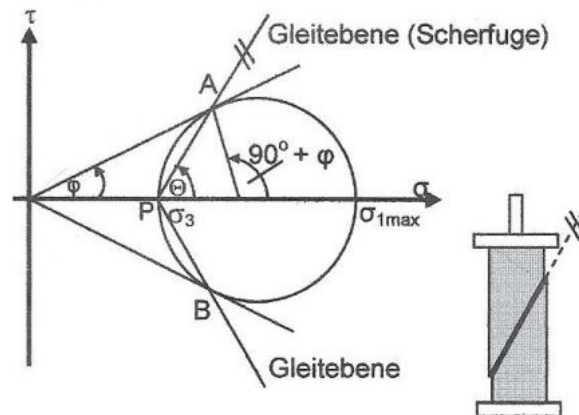


Bild I06.40: Richtung der Scherfläche(n) im Triaxialversuch;
 $\theta = 45^\circ + \varphi/2$

Im vorstehenden Bild I06.40 [1: S. I.15] zeigt die Lehre die Bruchebene (A–P) mit dem Winkel θ , die Gleitebene (Scherfuge) mit dem Winkel der inneren Reibung φ und den Drittpunkt A bzw. B auf Bruchgeraden an. Die Richtung der Scherflächen bestimmt sich über den Triaxialversuch zu $\theta = 45^\circ + \varphi/2$.

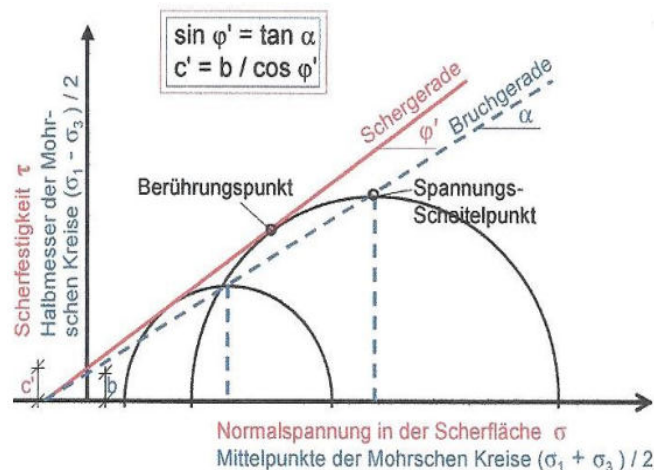


Bild I06.20: Zusammenhang zwischen Scher- und Bruchgeraden.

Die Kohäsion eines überkonsolidierten bindigen Bodens wird in dem Bild I06.10 auf der Ordinate als Schubspannung c' dargestellt [1: S. I.14]. Der Spannungspunkt auf der Bruchgeraden zeigt den Spannungsscheitelpunkt in dem Grenzzustand an, wobei die Bruchgerade unter dem Winkel α die Ordinate beim Wert b schneidet. Für die im p - q -Diagramm angelegten Spannungswege mit ihren Spannungspunkten gelten zur Umrechnung die im Bild I06.20 dargestellten Zusammenhänge.

Die Hauptspannungen, Invarianten lassen sich für jeden Spannungszustand über drei zueinander orthogonale Hauptspannungsflächen finden, in denen keine Spannungen auftreten. Die Normalspannungen, die auf diese Flächen wirken, heißen Hauptspannungen $\sigma_1, \sigma_2, \sigma_3$ (Bild I01.40) [1: S. I.3].

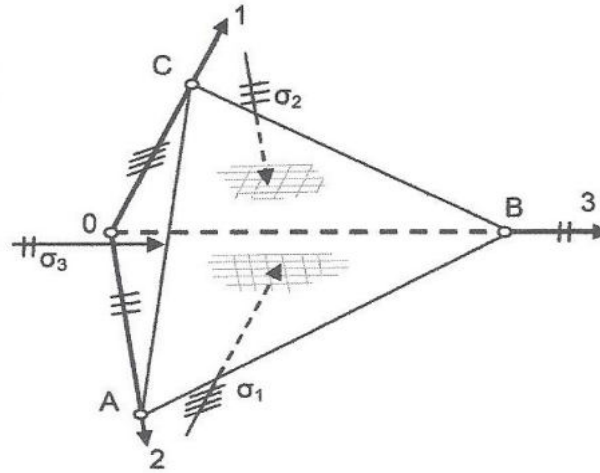
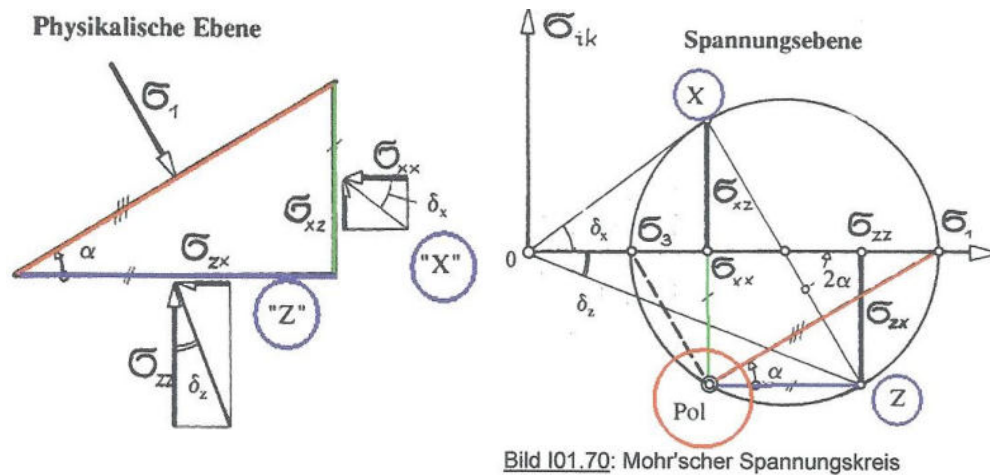


Bild I01.40: Hauptspannungen

Die Indizes 1, 2, 3 wurden so gewählt, dass $\sigma_1 > \sigma_2 > \sigma_3$ ist. Demzufolge können nach derzeitiger Lehre auf der Abszisse die Normalspannungen $\sigma_{xx}, \sigma_{zz}, \sigma_{x'x'}, \sigma_{z'z'}, \sigma_1$ sowie σ_3 und auf der Ordinate die Schubspannungen $\sigma_{xxi}, \sigma_{zzi}, \sigma_{x'x'}$ und $\sigma_{z'z'}$ aufgetragen werden. Die bekannten Spannungen σ_{xx}, σ_{zz} und $\sigma_{xz} = \sigma_{zx}$ im Koordinatensystem x, y können als Vertikalspannung σ_{zz} bzw. Horizontalspannung $\sigma_{xx} = K_o \cdot \sigma_{zz}$ einem Boden im Ruhezustand zugeordnet werden. Die vorangestellten Spannungen können sich bei dem Ansatz einer Wandreibung wandeln. Die Lehre nimmt hierzu an, dass Wandbewegungen in horizontaler Richtung die horizontale Spannung mindern oder erhöhen, wobei die Grenzen der Wandlungen sich in der Mohr'schen Darstellung anhand von Spannungskreisen anzeigen lassen. Die Kreisgröße definiert sich mit dem Erreichen der Grenzgeraden, deren Lage durch den Reibungswinkel φ' und die Kohäsion C' bestimmt wird.

In dem Bild I01.70 stellt die Lehre einen Bezug von der ‚geneigten Ebene‘ zu der Mohr-Coulomb'schen Bruchbedingung und dem Mohr'schen Spannungskreis für einen ebenen Spannungszustand her [1: S. I.5]. In diesen Spannungskreis fügt sie – vertikal gespiegelt – das Krafteck des Bildes P05.50 ein [1: S. P.10] und stellt es in dem Bild I01.70 als Spannungsfläche (X–Z–Pol) vor. Hierdurch wird die Querkraft Q zur Hauptspannung σ_1 . Der Gewichtskraft G wird die Ebene (X–Pol) und der Erddruckkraft E_α die Ebene (Pol–Z) zugeordnet. Die gleiche Normalspannung σ_1 setzt winklig auf die geneigte Ebene auf. Die

geneigte Ebene findet sich in dem Spannungskreis wieder, wo sie von dem Pol unter dem Anstiegswinkel α bis zur Abszisse aufsteigt (Bild links). Über die Spannung σ_{ik} , die außerhalb des Kreises wirkt, und über die Winkel δ_x und δ_z ermittelt die Lehre die Teilspannungen im Spannungskreis.



2.3.5 Vergleich: Coulomb'sche Theorie mit Bruchkriterium

Die Lehre stellt eine Analogie zwischen der Coulomb'schen Lehre und dem Bruchkriterium fest und beschreibt diese in der Literatur [1: S. P.10]. Sie nimmt dazu an, „dass alle an dem Erdkeil angreifenden Kräfte Integrale von linear mit der Tiefe anwachsenden Spannungen sind“ und diese sich hieraus entwickelnde Spannungen (G , E_a und Q) im Drittelpunkt der Bruchgeraden/Neigungsebene schneiden, falls der Winkel $\delta_a = 0$ ist, Bild P05.50, S. 26.

Zwischen der klassischen Coulomb'schen Erddruck-Theorie und dem Bruchkriterium ist folglich nur die Form der Keilfläche zur Ermittlung der Gewichtskraft vergleichbar. Alle übrigen Merkmale der Coulomb'schen Theorie, wie sie im Abschnitt 2.3.3 beschrieben worden sind, finden sich in dem Bruchkriterium nicht wieder. Eine Analogie zwischen der Coulomb'schen Theorie und dem Bruchkriterium der Lehre ist folglich nicht erkennbar. Im Gegensatz dazu wird die Coulomb'sche Kraftverteilung, wie bereits ausgeführt, unverändert in die neue Erddruck-Theorie übernommen, siehe Kraftverteilung in den nachfolgenden Abbildungen 10 bis 12.

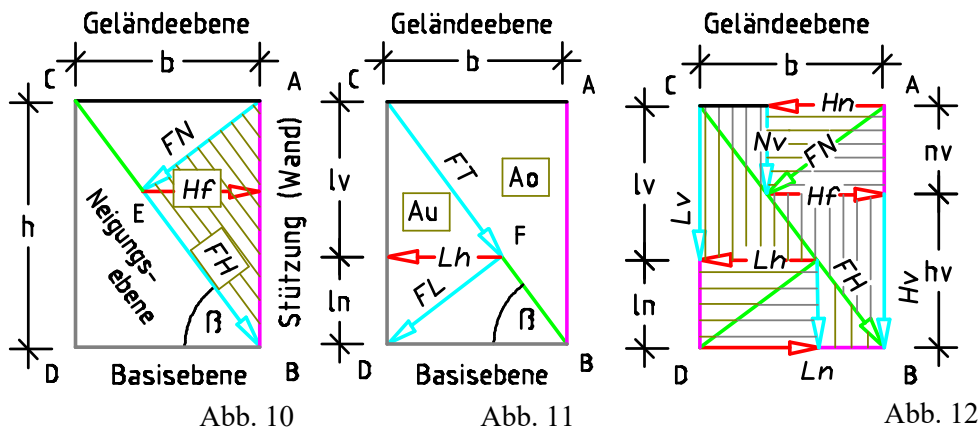


Abb. 10 zeigt in der aktiven Fläche Ao die schraffierte Fläche der Hangabtriebskraft FH mit der Erddruckkraft Hf und darüber die Fläche der Normalkraft FN .

Abb. 11 zeigt innerhalb eines Erdblocks die Kraftflächen Ao und Au sowie in der reaktiven Fläche Au die Normalkraft FT und die Hangabtriebskraft FL .

Abb. 12 zeigt die Kraftflächen eines Erdblocks mit den vertikalen und horizontalen Kraftkomponenten der Normalkraft FN sowie der Hangabtriebskraft FH und deren Krafrichtungen als Schraffuren in den Flächen.

Während die gezeigten Kräfte in der Abb. 10 als aktiv zu betrachten und der Fläche Ao zuzuordnen sind, entwickeln sich die reaktiven Kräfte aus der Fläche Au . In dem Erdblock (Abb. 12) sind die Ansichtsflächen der Kräfte sowie für jede einzelne Kraft die Bezeichnung, Lage und Richtung eingezeichnet. Insbesondere lässt sich aus der Fläche der Normalkraft FN ableiten, dass weder die vertikale noch die horizontale Kraftkomponente der Normalkraft FN Einfluss nehmen können auf die Wandbelastung. Folglich bilden sich Kräfte gegen die stützende Wand nur der Erdmasse aus, die der Fläche der Hangabtriebskraft FH zuzuordnen ist. Zudem sind die Hangabtriebskraft FH und die Reibungskraft $-FR$ (R) identisch groß. Aus der Fläche der Hangabtriebskraft entwickelt sich auch die Erddruckkraft Hf mit der Angriffshöhe hv , siehe Abb. 10. In gleicher Weise wie sich die Gewichtskräfte G aus den Flächen $Ao = Vo/a$ und $Au = Vu/a$ errechnen lassen, so errechnen sich alle übrigen Kräfte einschließlich ihrer vertikalen und horizontalen Kraftkomponenten aus den ihnen zugeordneten Teilfläche, siehe später folgende Abb. 13, S. 38.

Mit den Kraftverteilungen kann weiter belegt werden, dass es die Gleichheit der Berechnungssysteme von Coulomb und der derzeitigen Erddruck-Lehre nicht gibt. Nachstehend wird der Verschiebung der Gewichtskraft G von der lotrechten Wandfläche (Coulomb) in den unteren Drittelpunkt der Bruchgeraden/Neigungsebene (Lehre) nachgegangen. Wie erwähnt, zeigt die Lehre in dem Bild P05.50 ein Krafteck, dessen Hypotenuse sie die Querkraft Q zuordnet.

Sie geht davon aus, dass in der gesamten Bruchebene sich die Reibungskraft/Querkraft Q ausbildet. Coulomb hingegen begrenzt die Bodenreibung auf die Länge/Kraftmeter fh der Hangabtriebskraft FH und sieht damit keine größere Kraft um den Erdkeil als die Gewichtskraft G . Zudem würde der Querkraft Q eine Erdmasse oder Fläche fehlen, aus der sie sich entwickeln könnte. Die Darstellung der unterschiedlichen Kraftsysteme von Coulomb (Fig. 7) und der Lehre lässt sich vereinfachen, wenn das Bild I01.70 in die Bilder I01.70a und I01.70b unterteilt wird und diese so gedreht werden, dass die Gewichtskraft G wieder ihre lotrechte Position einnehmen kann. In beiden Bildern wurde die Lage der Erddruckkraft Hf (rot) eingezeichnet.

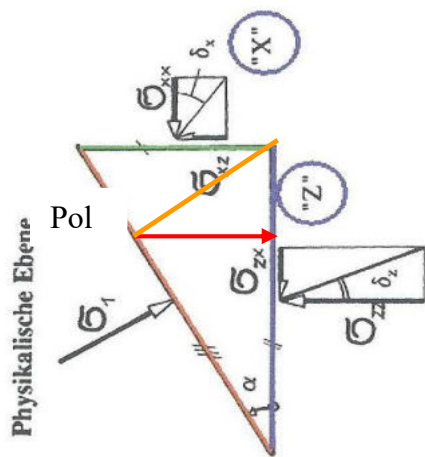


Bild I01.70a: Spannungsverteilung nach Coulomb, Fig. 7.

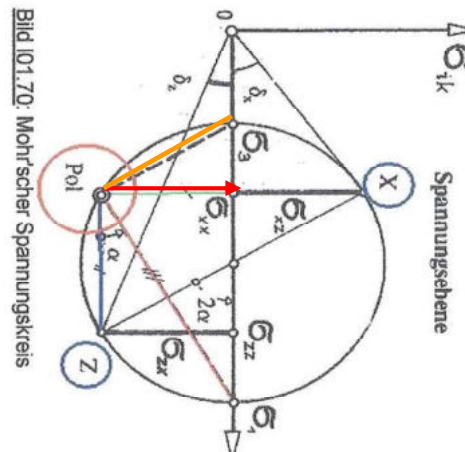


Bild I01.70b: Spannungsverteilung nach Mohr'schem Spannungskreis.

Durch die Drehung des Bildes I01.70 lässt sich innerhalb des Kreises die Fläche der Hangabtriebskraft nach Coulomb leicht erkennen. Hierbei steigt die Ebene der Normalkraft von dem ‚Pol‘ bis zum Scheitel des Kreises auf und die Ebene der Hangabtriebskraft beginnt an dem Pol und fällt bis zum Fußpunkt (σ_1) des Kreisbogens ab. Die Erddruckkraft Hf verläuft horizontal von dem Pol bis zu der vertikalen Kreisachse. Wählt man als Kreisdurchmesser die Wandhöhe h , so lässt sich über die neu eingeführte Kraftzahl gi ein Verhältnis zu der Gewichtskraft G herstellen. Über die Kraftzahl und die Kraftlängen innerhalb des Mohr'schen Kreises können dann die gewünschten Kräfte/Spannungen errechnet werden. Keine Anwendung finden bei dieser Erddruckermittlung der Erddruckbeiwert K_a , die Erddruckneigungswinkel δ_a bzw. δ_p , der Wandreibungswinkel und die Bodenkohäsion, d. h. die vorstehenden Werte sind für eine Erddruckermittlung ebenso überflüssig, wie die außerhalb des Spannungskreises liegende Spannung σ_{ik} und die Winkel δ_x und δ_z .

Fazit:

Die Lehre weist in ihrer Literatur darauf hin [1: S. I.14ff.], dass das Mohr-Coulomb'sche Bruchkriterium auf der Coulomb'schen Fließbedingung aufbaut. Da im Gegensatz zur Coulomb'schen Erddruck-Theorie (Abb. 9, Fig. 7) eine Originalaufzeichnung zur Fließbedingung nicht vorliegt, bleibt in Hinblick auf das Kräfteverhalten beim Betrieb einer Sanduhr festzustellen, dass die Spannungsverteilung der Lehre mit der Kraftverteilung von Coulomb nicht in Einklang zu bringen ist [1: S. I.5]. Auch die Lagebestimmung der Erddruckkraft E_d innerhalb des Mohr'schen Spannungskreises über die externe Spannung σ_{ik} und die Winkel δ_x und δ_z liefert kein Ergebnis, welches sich durch das ‚Berechnungsbeispiel‘ auf Seite. 37 oder die nachfolgenden Versuchsanordnungen bestätigen lässt, siehe Unterkapitel 2.8, S. 52ff.

2.3.6 Vergleich: Mohr'sche Spannungstheorie mit Bruchkriterium

Die Mohr'sche Theorie stellt u. a. die Universität Bremen in einer Kurzfassung vor [7]. Im Spannungskreis mit dem Radius r sind anzutragen die Mittelpunktkoordinaten $(\sigma_M, 0)$ und auf deren Hauptachse σ die Werte σ_x und σ_y . Über dem Wert σ_x liegt die Schubspannung τ_{xy} und über dem Wert σ_y die gleiche Spannung mit umgekehrtem Vorzeichen. Auf dem Kreisbogen entstehen damit zwei Punkte, deren Verbindungsgerade über den Kreismittelpunkt führt [7: S. 391]. Wird ein anderer Punkt auf dem Spannungskreis festgelegt, lässt sich über deren Koordinaten der Wandel der Hauptspannungen und der Hauptschubspannungen unmittelbar ablesen [7: S. 392].

Hierzu zeigt die angeführte Kurzfassung der Mohr'schen Theorie auf, dass die Hauptspannungen wie auch die Hauptschubspannungen innerhalb des Kreisbogens liegen, d. h. die Spannungen können die Kreisfläche nicht verlassen. Die Lehre verändert nach Sicht des Verfassers die Mohr'sche Theorie, indem sie außerhalb des Kreisbogens die Spannung σ_{ik} ansetzt und den Abstand dieser Spannung zum Durchmesser zu der Bestimmung der Winkel (δ_x und δ_z) nutzt, siehe Bild I01.70b. Sie begründet das Verlassen des Spannungskreises durch die Berücksichtigung einer Bodenkohäsion, welche die Erdspannungen beeinflussen würde (siehe hierzu die definierte Bruchbedingung, die als Mohr-Coulomb'sche Bruchbedingung im Bild I06.10 vorgestellt wird [1: S. I.14]).

Nach Überzeugung des Verfassers kann sich eine Kraft (Spannung σ_{ik}) nur aus der ihr zugehörigen Masse entwickeln, d. h. diese Masse müsste über eine Fläche ($A_o = V_o/a$) innerhalb des Kreisbogens ermittelbar sein. Da bei Coulomb die Gewichtskraft G die Masse des Erdkeils hinter der stützenden Wand voll in Anspruch nimmt, dürfte für die Ausbildung einer Kohäsionskraft die entsprechende Masse fehlen. Demzufolge kann die Kohäsion nur ein bescheidener Anteil der Gewichtskraft G sein, der Bodenbewegungen nicht aufhalten, aber kurzfristig verzögern kann. Folglich können die Kräfte der inneren Reibung und der Kohäsion nur in der Neigungsebene des Bodens wirken und keine unterschiedlichen Richtungen oder Winkel einnehmen, wie die Lehre dieses darstellt mit dem Bild I06.20 [1: S. I.15]. Der Unterschied zwischen der Reibungs-/Neigungsebene und der Scherebene von Böden wird an andere Stelle der Studie noch beschrieben.

Fazit:

Der vorstehende Vergleich der Mohr'schen Spannungstheorie mit dem Mohr-Coulomb'schen Bruchkriterium zeigt durch die Einbeziehung einer externen Spannung σ_{ik} in das Bild des Spannungskreises eine unzulässige Wandlung der Mohr'schen Theorie, siehe Bild I01.70, S. 30. Aus der Drehung des Bildes um 90° lässt sich erkennen, dass die Lehre die Mohr'sche Spannungstheorie nutzt, die vertikale Kraft aus dem Erdeigengewicht in eine andere Richtung zu bringen, siehe Bild I01.70b, S. 32. Wohl kein Statiker würde dem Bruchkriterium folgen und ein Bauwerk schräg stellen, um hiernach in dieser Position Wände und Decken zu bemessen. Die von der Lehre vorgenommene Drehung von Kräften oder Spannungen zur Erddruckberechnung können nur fehlerhafte Ergebnisse bringen, siehe Kraftverteilung in dem folgenden Berechnungsbeispiel und Darstellung in den Abb. 13 und 14, S. 38.

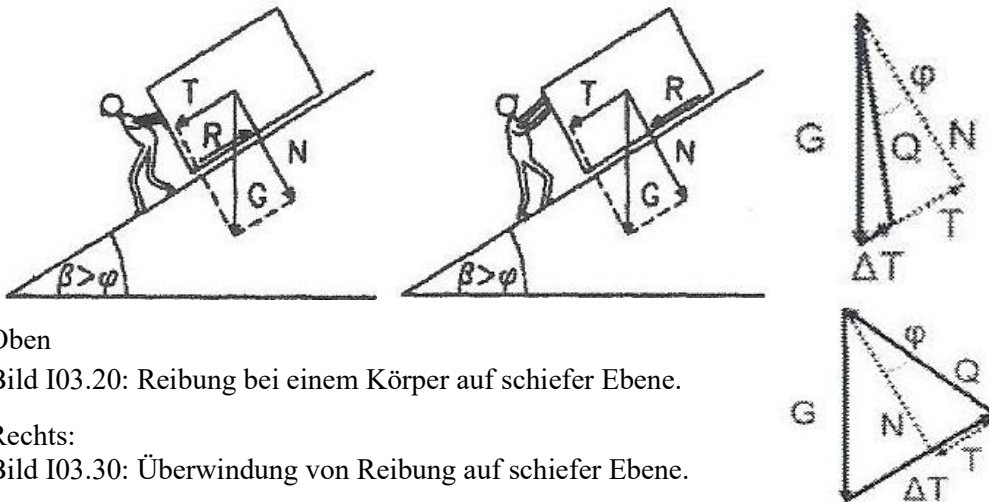
2.3.7 Kraftverteilung nach physikalischer Ebene und Bruchkriterium

Letztlich beschreibt die Lehre eine Gleichwertigkeit zwischen der Kraftverteilung nach der physikalischen Ebene und dem Mohr-Coulomb'schen Bruchkriterium. Zu der Begründung dieser Parität zeigt die Lehre die Bilder I01.70, I03.10, I03.20 [1: S. .8] und P01.30 [1: S. P.1].

Um die Vorgaben zur Ermittlung des Erddrucks von Lehre, physikalischer Ebene und Coulomb in vereinfachter Weise vergleichen zu können, werden den der-

zeitigen Kraftbezeichnungen jene der neuen Theorie zugeordnet. Die Bezeichnungen und die Lage der Kräfte innerhalb eines Erdblocks sind dargestellt in den Abbildungen 10 bis 12, S. 31.

Die Normalkraft N (FT) steht winklig auf der geneigten Ebene und die Hangabtriebskraft T (FL) liegt in der geneigten Ebene. Für den Fall, dass weder eine Wandreibung noch Kohäsion zur Minderung der Gewichtskraft G angesetzt wird, stellt die Gewichtskraft G die Hypotenuse im Kraftkeil dar und der Anstiegswinkel α der geneigten Ebene ist gleich mit dem Kontakt-Reibungswinkel φ . Damit wäre der Winkel $\beta = 90^\circ - \alpha$ als Ergänzungswinkel zu dem Winkel α anzusehen. Werden Wandreibung und Kohäsion über den Reibungswinkel δ zur Minderung der Gewichtskraft G angesetzt, wandelt sich die Gewichtskraft G zur kleineren Querkraft Q . In den Bildern wird der Kontakt-Reibungswinkel φ zwischen der Querkraft und der Normalkraft gemessen. Die Erddruckkraft E_a (Lh) setzt auf der geneigten Ebene in dem Ansatzpunkt der Neigungskraft N (FT) an und führt in horizontaler Richtung (ohne Wandreibung) zu der den Boden stützenden rückwärtigen Wandfläche (Ebene der Gewichtskraft G). Möglicherweise fehlt zu der Beschreibung der Lage der Gewichtskraft die Analogie zum Bild P05.50, S. P10.



Oben
Bild I03.20: Reibung bei einem Körper auf schiefer Ebene.

Rechts:
Bild I03.30: Überwindung von Reibung auf schiefer Ebene.

Zur Kraftermittlung führt die Lehre aus [1: S. I.9], dass, falls das Erdeigengewicht G auf eine geneigte Ebene gestellt wird, sich diese Kraft zerlegt in die Hangabtriebskraft T (FL) und in die Normalkraft N (FT), somit gilt:

$$N = G \cdot \cos \beta \quad \text{und} \quad T = G \cdot \sin \beta$$

Der Erdkörper könnte in Bewegung geraten, wenn der Winkel der geneigten Ebene größer als der Kontakt-Reibungswinkel φ wird; dann gilt:

$$R = N \cdot \tan \varphi = G \cdot \cos \beta \cdot \tan \varphi < G \cdot \sin \beta$$

Gemäß der Lehre entspricht der Proportionalitätsfaktor $f = \mu$ dem Verhältnis von Hangabtriebskraft T zu Normalkraft N . *Der Winkel zwischen der Resultierenden und der Normalen wird als Reibungswinkel δ , auch als Kontakt-Reibungswinkel φ bezeichnet.* Bleibt hierbei der auf die geneigte Ebene gestellte Körper in Ruhe, so gilt: $T < N \cdot \tan \varphi$, d. h. der Körper kann mit einer kleinen Kraft ΔT gehalten werden (Bild I03.20). Konträr zur Hangabtriebskraft T wirkt die Reibungskraft R , welche zum Verschieben des Körpers überwunden werden muss. Nach Sicht der Lehre wird *„die Reibungskraft R erst durch eine angreifende Kraft mobilisiert und in ihrer Richtung bestimmt“*

$$\sin \varphi' = \tan \alpha = \tan (90^\circ - \beta); [\text{Bild I06.20: S. I.15}].$$

Ohne diese Mobilisierung wird der Kontakt-Reibungswinkel φ zwischen der Vertikalen und der Ebene der Querkraft gemessen (Bild I03.10). Die Lehre schreibt zu den mobilisierenden Kräften, dass die Größe der Erddruckkraft auch von Bewegungen zwischen Boden und Wand abhängig ist. Der Erddruck ist dann größer, wenn sich die Wand gegen den anstehenden Boden bewegt. Rückt die Wand vom Erdkeil ab, reduziert sich die Erddruckkraft. In der Verschiebungsrichtung besteht somit eine Analogie zu der möglichen Kraft, die einen Körper auf der geneigten Ebene zusätzlich bewegen kann, Bild P01.30 [1: S. P.1].

Den vorangestellten Ausführungen der Lehre sowie dem Bild I03.03 ist entgegenzuhalten, dass beim ‚stehenden Erkeil‘ die Normalkraft FN bereits winklig auf die Neigungs-/Hangabtriebsebene aufsetzt, d. h. innerhalb der Kraftfläche der Hangabtriebskraft wäre keine weitere Normalkraftebene einzufügen. Um den Unterschied zwischen den Berechnungssystemen aufzeigen zu können, werden im nächsten Abschnitt die Kräfte nach neuer Art errechnet und diese hiernach dem Bruchkriterium zugeordnet, siehe folgende Abb. 13 und 14.

Für das nachstehende ‚Berechnungsbeispiel‘ wird als Vorgabe der Lehre herangezogen: P.5.3.1 Grundsätzliches [1: S. P.10 und S. I.15]. Auf den Ansatz von Wandreibung und Kohäsion wird verzichtet.

2.3.8 Erddruck nach Bruchkriterium und Coulomb

Berechnungsbeispiel

Die Kraftermittlung stützt sich einerseits auf die Vorlage der Lehre – P.5.3.1 Grundsätzliches [1: S. P.10 und S. I.15] – und andererseits auf die klassische Erddruck-Lehre von Coulomb (Fig. 7). Auf den Ansatz von Wandreibung und Kohäsion wird in diesem Beispiel verzichtet. Als Boden, der hinter einer 5,00 m hohen Wand anstehen soll, wird ein fest gelagertes Geröll mit der Trockendichte $\rho_{tg} = 2,046 \text{ t/m}^3$ (Anlage 1) und dem Neigungswinkel $\beta = 65^\circ$ ($\alpha = \varphi = 25^\circ$) angenommen. Die Gewichtskraft $G = 116,9 \text{ kN}$ des Erdkeils wurde mit der Berechnungstiefe $a = 1,00 \text{ m}$ ermittelt. Über die Abhängigkeiten zwischen Bodendichte und Neigungswinkel wird berichtet in Kapitel 3, S. 56.

- A) Ermittlung nach der Lehre, wobei auf den Nachweis $\varphi = \alpha$ verzichtet wird, siehe hierzu die Bilder P01.30 und P03.20 [1: S. P.1 u. P.5].

Die Vorgaben zur Berechnung der Kräfte N , T und R sind dargestellt in [1: I.3.1; S. I.8f.].

Gewichtskraft G_I	$G = 116,9 \text{ kN}$	$\rightarrow \varphi = \alpha = 25^\circ$
Beiwert K_a	$K_a = \tan^2 (45 - \varphi/2) = 0,406$	
Erddruckkraft E_a	$E_a = \frac{1}{2} \cdot K_a \cdot \gamma \cdot g \cdot h^2 \cdot \cot \theta$	$\rightarrow \theta = \beta = 65^\circ$
$H = h$	$E_a = 0,5 \cdot 0,406 \cdot 2,046 \cdot 9,807 \cdot 5,0^2 \cdot 0,466$	
	$E_a = 47,5 \text{ kN}$	
Normalkraft N (FT)	$N = G \cdot \cos \beta = 116,9 \cdot 0,423 = 49,4 \text{ kN}$	
Hangabtriebskraft T (FL)	$T = G \cdot \sin \beta = 116,9 \cdot 0,906 = 105,9 \text{ kN}$	
Reibungszahl / Geröll	$\mu = T / N = 105,9 / 49,4 = 2,144$	
Reibungskraft / Geröll	$-R = N \cdot \tan \varphi = 49,4 \cdot 0,466 = 23,0 \text{ kN}$	
Moment M_B der Kraft Hf	$M_{Bl} = E_a \cdot h/3 = 47,5 \cdot 1,67 = 79,3 \text{ kNm}$	

- B) Ermittlung nach Coulomb in Anlehnung an die Fig. 7:

Gewichtskraft G	$G = 116,9 \text{ kN}$	$\rightarrow \beta = 65^\circ$
Normalkraft FN (N)	$FN = G \cdot \cos \beta = 116,9 \cdot 0,423 = 49,4 \text{ kN}$	
Hangabtriebskraft FH (T)	$FH = G \cdot \sin \beta = 116,9 \cdot 0,906 = 105,9 \text{ kN}$	
Erddruckkraft Hf	$Hf = FH \cdot \cos \beta = 105,9 \cdot 0,423 = 44,8 \text{ kN}$	
Vertikaler Anteil von FH	$Hv = G \cdot \sin^2 \beta = 116,9 \cdot 0,821 = 96,0 \text{ kN}$	
Reibungskraft / Geröll	$-FR = FH = 105,9 \text{ kN}$	
Reibungszahl / Geröll	$\mu = FH / FN = \tan \beta \rightarrow \tan 65^\circ = 2,145$	
Kraftzahl gi (neu)	$gi = G / h = 116,9 / 5,00 = 23,38 \text{ kN/m}$	
Kraftmeter	$fn = FN / gi = 49,4 / 23,38 = 2,11 \text{ m}$	

Kraftmeter	$fh = FH / gi = 105,9 / 23,38 = 4,53 \text{ m}$
	$hf = Hf / gi = 44,8 / 23,38 = 1,92 \text{ m}$
	$hv = Hv / gi = 96,0 / 23,38 = 4,11 \text{ m}$
Moment M_B der Kraft Hf	$M_{B2} = Hf \cdot hv = 44,8 \cdot 4,11 = 184,1 \text{ kNm}$

Besonders deutlich wird der Unterschied in den Berechnungen, wenn man die Momente $M_{b1} = 79,3 \text{ kNm}$ und $M_{b2} = 184,1 \text{ kNm}$ gegenüberstellt. Auch die Gleichheit der Kräfte T und FH sowie N und FN verliert an Wert, weil die Kräfte in dem System völlig andere Lagen einnehmen. Während Coulomb (Fig. 7) in die Keilfläche Ao mit dem Neigungswinkel $\beta = 65^\circ$ die Gewichtskraft G , die Hangabtriebskraft FH und die Normalkraft FN einfügt (Abb. 13), dreht die Lehre die Kräfte von Coulomb so, dass die Hangabtriebskraft T in die geneigte Ebene mit dem Anstiegswinkel $\alpha = 25^\circ$ kommt. Winklig auf der Ebene der Kraft T steht die Normalkraft N und die Gewichtskraft G verläuft in der Ebene ($A'B'$). Diese Ebenen zeigen weder eine Parallelität zu der natürlichen Neigungsebene ($C-B$) noch zu der Scherebene ($C-F$). Da sich Kräfte über die Kraftzahl in Kraftmeter umrechnen lassen, können deren Größe und Lage in den nachstehenden Abbildungen gezeigt werden, vergl. Abb. 13 und 14.

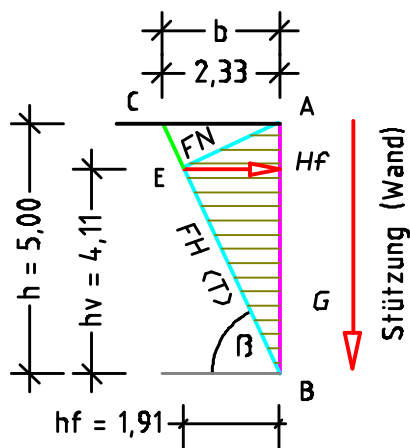


Abb. 13 zeigt die schraffierte Fläche der Hangabtriebskraft nach Coulomb mit der Erddruckkraft Hf und der Höhe hv als Hebelarm.

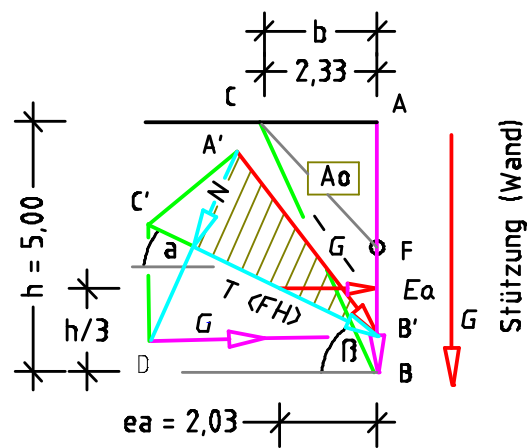


Abb. 14 zeigt die auf die horizontale Ebene gedrehte Hangabtriebskraft T , die winklig auf diese Ebene gestellte Kraft N und die Schrägelage der Gewichtskraft G .

Während Coulomb auch die Erddruckkraft Hf in die Keilfläche Ao platziert und dieser Kraft die Angriffshöhe hv zuordnet, errechnet die Lehre die Erddruckkraft E_a und teilt ihr die Angriffshöhe $h/3$ zu. Die Lehre übersieht offensichtlich, dass es den Drittpunkt auf der Bruchgeraden und die dortige Zuordnung der Gewichtskraft G überhaupt nicht geben kann, vergleiche Fig. 7 mit Bild P05.50:

S. 26. Auch eine Spiegelung der Lastfläche um die Ebene C'–B' würde weder die Größe noch die Zuordnung der Momente verändern. Selbst die unterschiedlichen Schwerpunkte S1 bis S4 und die Krafrichtungen in der Abb. 6 sowie die Lage der Gewichtskraft G in der Abb. 7, S. 26 weisen hier auf Mängel in den Berechnungsvorgaben der Lehre hin.

Fazit:

Des Weiteren schreibt die Lehre, dass die Größe der Erddruckkraft Ea auch von Bewegungen zwischen Boden und Wand abhängig ist, wobei sie diese Wandbewegung als mobilisierende Kraft sieht. Des Weiteren soll der Erddruck dann größer werden, wenn sich die Wand gegen den anstehenden Boden bewegt. Rückt die Wand vom Boden ab, reduziert sich die Erddruckkraft. In der Verschiebungsrichtung sieht die Lehre eine Analogie zu einer möglichen Kraft, die einen Körper auf der geneigten Ebene zusätzlich bewegen kann, Bild P01.30 [1: S. P.1]. Der Verfasser kann dieser Sichtweise nicht folgen; denn sonst gäbe es in dem Boden hinter einer unverrückbaren, nicht drehbaren Wand weder eine Mobilisierung der horizontalen Kräfte noch eine Erddruckkraft gegen die Wand. Es ergeht hier nochmals der Hinweis, dass die neue Erddruck-Theorie ständige horizontale Spannungen in dem Erdreich sieht, die das Gleichgewicht in dem Erdreich halten. Nur ein hartes, porenloses Felsgestein (Granit, Basalt) ist ungeeignet, horizontale Kräfte gegen die Wand zu entwickeln. Alle weiteren Bodenarten und Wasser können ohne besondere Mobilisierung des Bodens Reibungsebenen und damit auch innere Reibungskräfte aufbauen.

Bei der Lehre bleibt zudem in den Berechnungen weitestgehend unbeachtet, dass unterschiedliche Bodenarten auch unterschiedliche Neigungswinkel von $\beta t = 0,6^\circ$ bis $\sim 89,4^\circ$ ausbilden. Will man die Kräfte nach dem Regelwerk der physikalischen Ebene berechnen, so ist zunächst der Anstiegswinkel der Ebene dem Neigungswinkel der entsprechenden Bodenart anzupassen. Die Lehre sieht eine derartige Anpassung in der Anwendung des Mohr-Coulomb'schen Bruchkriteriums und weist daraufhin, dass ihre Berechnungsart auf der Coulomb'schen Fließbedingung aufbaut [1: S. I.14ff.]. Die nachstehenden Versuchsanordnungen 4 und 5, S. 52ff. belegen jedoch, dass die Coulomb'sche Erddruck-Theorie (Fig. 7) und die Fließbedingung zwei unterschiedliche physikalische Sachverhalte beschreiben. Die Coulomb'sche Fließbedingung ist keine Modifikation der Coulomb'schen Erddruck-Lehre!

Es kann zusammengefasst werden, dass das Mohr-Coulomb'sche Bruchkriterium weder der klassischen Erddruck-Lehre von Coulomb (Fig. 7), noch der Mohr'schen Spannungstheorie, noch den Regeln der physikalischen Ebene folgt. Auch kann die These der Lehre nicht bestätigt werden, dass es zur Weckung horizontaler Kräfte im Erdreich und zur Richtungsbestimmung der Reibungskraft einer mobilisierenden Kraft bedarf.

Zu der enormen Differenzen bei den errechneten Momenten $M_{b1} = 79,3$ kNm und $M_{b2} = 184,1$ kNm bleibt anzumerken, wer seine Wand nach dem Moment M_{b1} bemisst, kann sich in kürzester Zeit darauf einstellen, dass Wandschäden auftreten oder die Wand kippt oder sich versetzt.

2.4 Bestimmung des natürlichen Neigungs- und Scherwinkels von Böden

Aus den Bildern I06.20 bis I06.40 [1: S. I.15] könnte man ableiten, dass der Winkel der Bruchgeraden φ und der Anstiegswinkel α der geneigten Ebene identisch seien. Eindeutiger leitet die Lehre in dem Bild I06.20 den Winkel φ' der Schergeraden aus dem Ansatz $\sin \varphi' = \tan \alpha$ ab. Der Scherwinkel φ wird über Scherversuche ermittelt, wobei die Scherfestigkeit an Bodenproben unter axialer oder triaxialer Druckausübung gemessen wird [1: S. I.9, Bild I03.30]. In der DIN 1055-2 wird für die Erddruckermittlung ein breites Spektrum an Bodenkenngrößen und Winkeln vorgegeben, [1: S. I.19f. und 5: S. 7ff.]. In Kenntnis, dass sich nur wenige Bodenarten für die Durchführung eines Scherversuchs eignen und für die Durchführung nach DIN 18137-1 /-2 Zylindergrößen von nur $\varnothing_i = 1,05$ dm, Höhe 1,00 dm, $V = 0,87$ dm³ oder $\varnothing_i = 1,50$ dm, Höhe 1,25 dm, $V = 2,21$ dm³ zugelassen sind, mehren sich die Zweifel des Verfassers über die Verwendbarkeit der vorgegebenen Tabellenwerte. Damit dürfte ein Großteil der in der DIN 1055-2 gelisteten Bodenkenngrößen auf empirischem Wege gefunden sein und somit nicht identisch sein mit den realen Dichten und Winkeln von Böden in freier Natur. Zudem fördert die freihändige Auswahl von Bodenwerten der DIN 1055-2 [1: S. I.19] ein mögliches ‚Schönrechnen‘ von Erddruckkräften und damit die Hinnahme von Unterbemessungen von Bauteilen. Um unspezifische Tabellenwerte für Erddruckermittlungen zukünftig auszuschließen, wurde das Mehrphasensystem der Festkörperphysik entsprechend erweitert. Diese Erweiterung erlaubt, Bodeneigenschaften und Winkel zu berechnen, egal ob der Boden sich im trockenen, feuchten oder nassen Zustand befindet [5: S. 47ff.; 6: S. 2.2-1 und 8: S. 5ff.].

In dem Kapitel 3 folgen Experimente, mithilfe derer Bodenkenngrößen ermittelt werden, wie die Größe des natürlichen Neigungswinkels β , die Bodendichte und die Druckfestigkeit σ_D von Böden. Zunächst erfolgt nur die Bestimmung der Lage der Winkel in den Erdkörpern, weil die Lehre weitere Winkel nennt, die sich in freier Natur nicht bestimmen lassen. Es werden nachstehend drei Versuche mit Sand und Wasser in dem Glaskasten (Abb. 1, S. 7) durchgeführt.

2.4.1 Ausbildung der natürlichen Scherebene im Sand, Versuch 1

Das Experiment wurde dazu angelegt, die natürliche Lage der Neigungsebene sowie der Scherebene eines trockenen Sandes zu bestimmen. Im Vordergrund stand die Beobachtung des natürlichen Bodenverhaltens, nicht aber die Messung empirischer Werte. In die Kammer mit der Breite $bk_l = 2,44$ dm wurden 27,0 kg trockener Sand unverdichtet und gleichmäßig eingebaut, die Oberfläche abgeglichen und anschließend die Einbauhöhe $ht = 2,33$ dm gemessen. Nach dem ruckartigen Ziehen der eingestellten Glasscheibe glitt Sand in die rechte Kammer ab. Die sich hiernach gebildete Scherebene wurde in Grün und die Neigungsebene in Rot nachgezeichnet. Geringe Abweichungen zwischen den realen und den eingezeichneten Ebenen sind von der jeweiligen Pixelgröße des Bildes abhängig und werden hingenommen. siehe Abb. 15.

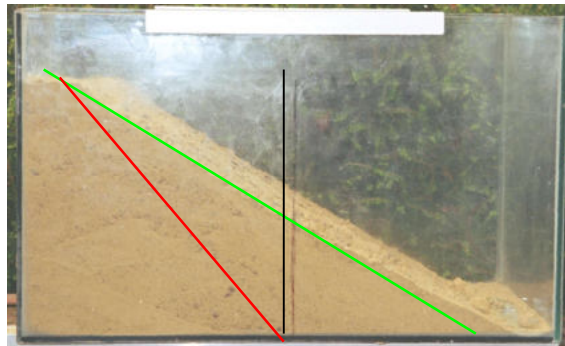


Abb. 15 zeigt die Ausbreitung des Sandes mit eingezeichneter Scherebene (grün) und Neigungsebene (rot).

Ablagerungen des Füllstoffs (Sand) in dem oberen Bereich der Scherebene können entstehen, da hier nur die vertikale Kraftkomponente N_v der Normalkraft FN vorherrscht ($nn \cdot nv/2$), d. h. in diesem Teil der Normalkraftfläche fehlen horizontale Kräfte, die das Abgleiten des Sandes unterstützen könnten, siehe Abb. 12, S. 31. Für die Kraftermittlung ist die Einbauhöhe h des Füllstoffs zu messen und über den Neigungswinkel β der Bodenart die Breiten $bo = bu$ zu errechnen. Die Breite bo setzt oben an der Behältermitte an und führt bis zur

Bruchkante des Sandes. Die Breite bu nimmt unten den Abstand ein zwischen der Behältermitte und dem Fußpunkt der Scherebene. Die Breite der natürlichen Scherebene wird mit $bue = bo + bu$ und ihre Winkel mit s bezeichnet. Der doppelte Tangens des Scherwinkels entspricht dem Tangens des Neigungswinkels β ($2 \tan s = \tan \beta$). Lockert der Boden beim Abgleiten auf, werden die Breiten bo und bu ungleich und verändern den Winkel. Über die Folgen von Auflockerungen oder Verdichtungen von Böden wird noch berichtet.

Neigungswinkel β

$$\tan \beta = h/b \rightarrow \tan \beta = 2,33/1,91 = 1,220 \quad 2.15$$

$$\beta = 50,7^\circ \quad [-] \quad 2.16$$

Scherwinkel s

$$\tan s = (\tan \beta) / 2 \rightarrow \tan s = 1,220/2 = 0,610 \quad 2.17$$

$$s = 31,4^\circ \quad [-] \quad 2.18$$

Die Versuchsanordnung kann grafisch wie folgt dargestellt werden:

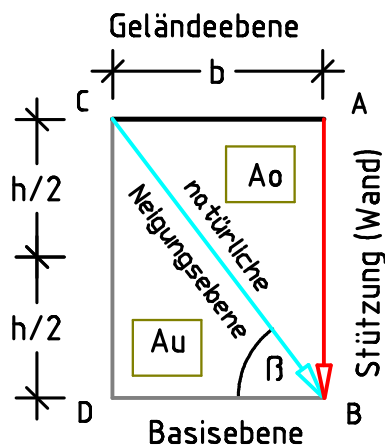


Abb. 16 zeigt die Keilflächen Ao und Au , die durch die Neigungsebene mit dem Winkel β unterteilt werden.

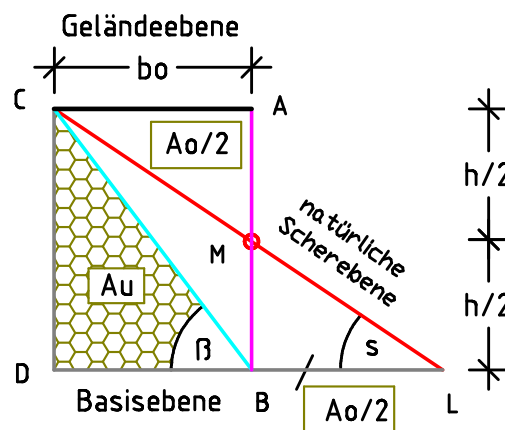


Abb. 17 zeigt den ‚liegenden Erdkeil‘ (C-L-D), die Neigungsebene und die Scherebene unter dem Winkel s .

In dieser Studie wird die Fläche Ao als aktiv bezeichnet, weil deren Erdmasse auf der Neigungsebene abgleitet, wenn ihr der seitliche Halt genommen wird. In der reaktiven Fläche Au fehlt das Bestreben zum Abgleiten, weil die Erdmasse durch den angrenzenden Erdblock gehalten wird. Über die Höhe h und den Winkel β bzw. s lassen sich die Länge der Neigungs- bzw. der Scherebene berechnen. Die Dichte und damit die Winkel dieser Bodenart ändern sich, wenn der Boden beim Abgleiten auflockert oder durch eine externe Kraft verdichtet wird. Beide Umstellungen lassen eine neue Bodenart entstehen.

2.4.2 Ausbildung der natürlichen Neigungsebene im Sand, Versuch 2

Für dieses Experiment wurden wieder 27 kg Sand lose in die linke Kammer eingefüllt und die Oberfläche geebnet. Die Füllhöhe wurde mit $ht = 2,36$ dm gemessen. Anschließend wurde die rechte Kammer bis zur Höhe 2,75 dm mit Wasser aufgefüllt und nach ca. 2 Stunden das Wasser über einen dünnen Schlauch mit dem Innendurchmesser $\varnothing_i = 6$ mm mittels Unterdrucks abgesaugt. Am nächsten Tag, nach dem Erstarren des Sandes wurde die trennende Glasscheibe gezogen und das Experiment für 10 Tage stehen gelassen, damit der Sandkörper natürlich trocknen konnte. Da sich nach dieser Zeit im Sandkörper die erwartete Rissbildung entlang der vermuteten Neigungsebene nicht zeigte, wurde, um eine mögliche Querspannung in dem Sandkörper aufzuheben, ein Schnitt mit einem feinen Sägeblatt durchgeführt. Der Schnitt wurde parallel zu den Längsseiten des Behälters und mittig durch den erstarrten Sandkörper geführt. Nach einem leichten Druck auf die geteilte Oberfläche bildeten sich die Sandkeile aus (Abb. 18). Das Verhältnis der Höhe $hb = 2,11$ dm zu der gemessenen Breite $b - b_0 = 1,35$ dm zeigt den Tangens des Neigungswinkels β der Bruchebene des erstarrten Sandkörpers an.

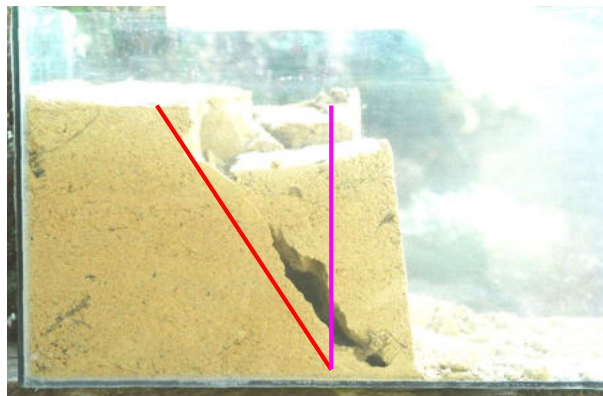


Abb. 18 zeigt den erstarrten Sandkörper mit seiner Neigungsebene (rot).

Es werden berechnet:

Neigungswinkel β

$$\tan \beta = 2,11/1,35 = 1,563 \quad 2.19$$

$$\beta = 57,4^\circ \quad [-] \quad 2.20$$

Verdichtungsfaktor λ

$$\lambda = ht/hb \rightarrow \lambda = 2,36/2,11 = 1,12 \rightarrow 12 \text{ Vol.-%} \quad 2.21$$

In der nachstehenden Beschreibung der Versuchsergebnisse wird auf die vorherigen Berechnungsansätze bzw. Gleichungen mit entsprechender () verwiesen.

Aus der Versuchsanordnung lässt sich ableiten, dass das Wasser den trockenen Sand mit der Füllhöhe $ht = 2,36$ dm um 12 Vol.-% verdichtet hat und diese Verdichtung zum Anstieg des Neigungswinkels von $\beta = 50,7^\circ$ (2.16) auf $\beta = 57,4^\circ$ (2.20) geführt hat. Zur Absicherung des Verdichtungs-faktors λ des Sandes, der in Höhe von 12 Vol.-% allein durch die Wasserzugabe entstanden ist, wird nachstehend ein weiterer Versuch mit Sand und Wasser durchgeführt.

2.4.3 Verdichtung von trockenem Sand durch Wasserzugabe, Versuch 3

Für die Versuchsanordnung wurde ein Glaszylinder mit der Innenhöhe 2,97 dm und dem Innendurchmesser $\varnothing_i = 1,41$ dm benutzt. In den Zylinder wurden 7,6 kg trockener Sand lose eingefüllt und behutsam 2,0 Liter Wasser zugegeben. Nach einer Wartezeit von ca. 10 Stunden hatte sich der Sand von der Füllhöhe $ht = 2,97$ dm bis zur Höhe $hb = 2,60$ dm abgesetzt. Damit hat sich der trockene Sand allein durch die Wasserzugabe um den Wert λ verdichtet.



Abb. 19 zeigt den Zylinder und die Füllhöhe ht .



Abb. 20 zeigt den verdichteten Sand mit der Höhe hb .



Abb. 21 zeigt Hohlräume im verdichteten Sand

Nachstehend werden errechnet:

Verdichtungs-faktor λ

$$\lambda = 2,97/2,60 = 1,142 \quad \rightarrow 14,2 \quad \text{Vol.-%} \quad 2.22$$

Trockendichte ptg

$$ptg = kg/V = 7,6 \cdot 4 / (2,97 \cdot 1,41^2 \cdot \pi) = 1,639 \quad \text{kg/dm}^3 \quad 2.23$$

Trockendichte ptg'

$$ptg' = kg/V' = 7,6 \cdot 4 / (2,60 \cdot 1,41^2 \cdot \pi) = 1,872 \quad \text{kg/dm}^3 \quad 2.24$$

Auch wenn bei den Versuchsanordnungen 2 und 3 zwischen den Verdichtungs-faktoren eine geringe Differenz besteht ($\lambda = 12,0$ Vol.-% zu $\lambda = 14,2$ Vol.-%), die sich ergeben kann durch unterschiedliche Trockendichten und geringste Mes-sungengenauigkeiten, bleibt Folgendes festzustellen:

Würde man den nassen Sand wieder trocknen, bliebe die Höhe hb konstant und die Trockendichte des losen Sandes ptg würde sich wandeln in die Trockendichte des trockenen verdichteten Sandes ptg' . Hieraus lässt sich ableiten, dass Wasser das Volumen eines trockenen Bodens nur mindern kann, wenn dieser erstmals einer Flüssigkeit ausgesetzt wird. Würde der verdichtete Boden getrocknet und erneut vom Wasser überflutet werden, ggf. mit wechselnden Pegelständen, wür-de sich die Trockendichte zu einer Nassdichte wandeln, aber sich das Bodenvo-lumen nicht noch mal ändern.

Fazit:

Aus den Versuchsanordnungen 1 bis 3 kann abgeleitet werden, dass:

1. die natürliche Scherebene eines Sandes (Bodens) sich einstellt, wenn Bo-den aus einem „stehenden“ in einen „liegenden“ Erdkeil abgleitet und hierbei nicht auflockert, siehe Abb. 15 bis 17, S. 41ff.
2. die Scherebene und die Neigungsebene eine Gerade ausbilden und keine konvexe Krümmung, wie die Lehre diese mit dem folgenden Bild P05.60 darstellt [1: S. P.11].

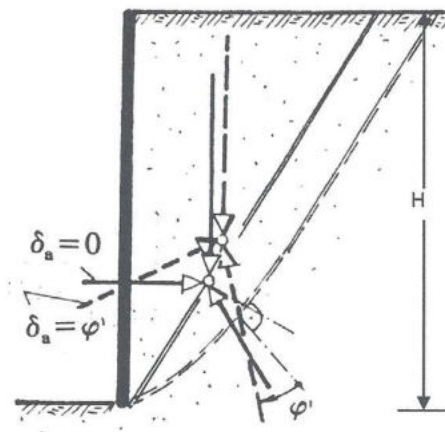


Bild P05.60: konvexe Krümmung der Bruchfläche infolge einer positiven Wandreibung

Es bleibt anzumerken, dass sich eine konvexe Krümmung der Bruchfläche trotz der Vielzahl der eigenen Experimente mit unterschiedlichen Boden-arten bei den Versuchen nie ausgebildet hat.

3. der Scherwinkel s zum Neigungswinkel β eines Bodens in einem direkten Verhältnis steht: $\tan s = (\tan \beta) / 2$ (2.17),
4. Wasser einen trockenen Sand bis zu 14,2 Vol.-% (2.22) verdichten kann,
5. sich im nassen verdichteten Sand, wie beobachtet wurde, Hohlräume bilden und zerfallen, um sich an anderer Stelle wieder neu zu bilden, Abb. 21, S. 44.

2.5 Bestimmung von Neigungs- und Scherwinkel unter Auflast

Coulomb und die Lehre verfolgen im Erdreich den Abtrag von Auflasten Ee oder externe Kräfte Ge , die auf eine Geländeoberfläche aufgetragen werden, auf unterschiedliche Weise. Diesen Unterschieden wird nachgegangen.

Coulomb stellt in der Fig. 7 die Auflast P als Verbreiterung des Erdkeils ($a-a'$) dar. Die Lehre übernimmt die verbreiterte Fläche nach Fig. 7, spiegelt sie aber vertikal in das Spannungsfeld nach Bild P05.120 [1: S. P.15]. Diese Änderung bezeichnet die Lehre als *zweckmäßig und stimmig* bezüglich möglicher Einflüsse aus benachbarten Lasten [1: S. P.14f.].

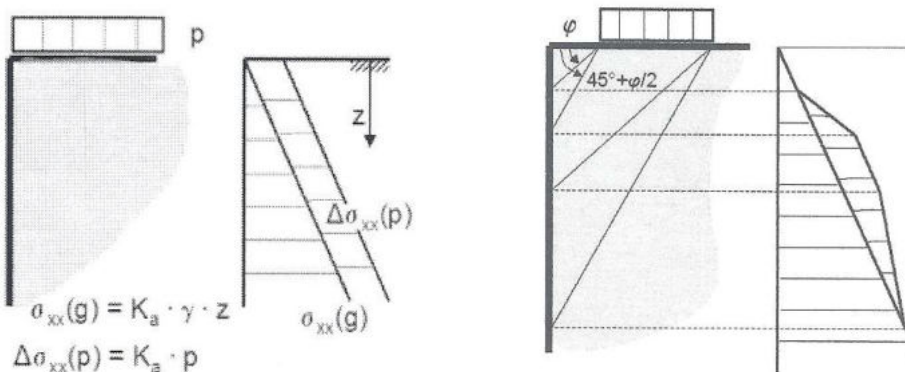


Bild P05.120: Erddruckspannungen aus belasteter Geländeoberfläche

Während bei Coulomb die Auflast P die Breite und die Höhe des Erdkeils hinter der Wand verändert, sieht die Lehre nur eine Verbreiterung des Erdkeils. Bei beiden Verfahren bleibt der Neigungswinkel des belasteten Bodens konstant. Fügt man diesen Darlegungen eigene Beobachtungen zum Bodenverhalten hinzu, so wird ein belasteter Erdkeil schneller abgleiten als ein unbelasteter und damit Einfluss nehmen auf die Lage der Neigungsebene und ihren Winkel.

Die neue Theorie erkennt, dass Auflasten oder externe Kräfte, die eine Geländeoberfläche belasten, über aktive und reaktive Kraftfelder im Erdreich abgetragen werden. Für den Kraftabbau bildet sich im Erdreich folgerichtig eine längere Reibungs-/Neigungsebene aus. Im Regelfall, wenn tiefere Bodenschichten die-

sen Kraftabbau zulassen, wird die von Coulomb aufgezeigte veränderte Berechnungshöhe in Anspruch genommen, siehe Fig. 7 und Abb. 22.

Zum besseren Nachvollzug der Kraftverteilung wird die Neigungsebene „ohne Auflast“ (cyan) und „mit Auflast“ (rot) gezeigt. Die ursprüngliche Keilfläche Ao mit der Keilhöhe h und der Keilbreite b wird durch die Auflastfläche Ae belastet. Für den Abtrag der Auflast bildet sich im Erdreich die gleichgroße Fläche Ae aus (C-B-B'-D). Diese unterteilt sich in die aktive Teilfläche (C-B-B) und in die reaktive Teilfläche (C-B'-D), so dass sich hierdurch die steilere Neigungsebene (C-B') ausbildet.

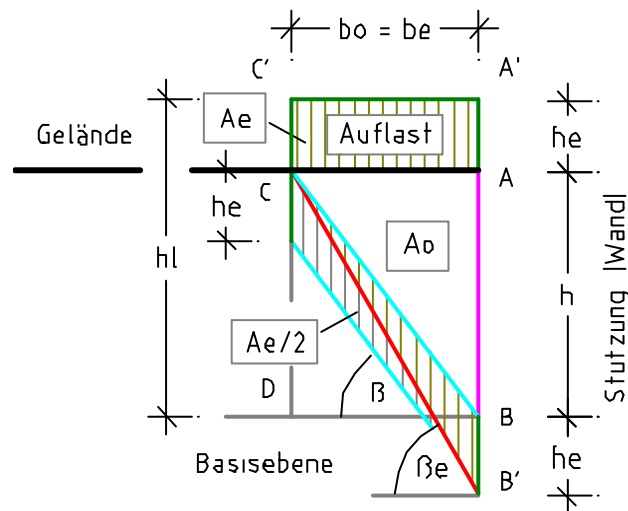


Abb. 22 zeigt den unbelasteten Erdkeil (C-A-B), die aktive Kraftfläche der Auflast (C-B-B') und die steilere Neigungsebene (C-B') infolge der Auflast.

Externe Kräfte, die als Streckenlast q in kN/m zu behandeln sind, werden über die Höhe he in das Berechnungssystem eingeführt. Die Höhe he errechnet sich aus der Streckenlast q dividiert durch die Trockendichte ρ_{tg} (neuer Begriff) und die Fallbeschleunigung $g = 9,807 \text{ m/s}^2$. Die Trockendichte wird gewählt, weil Flüssigkeiten/Wasser unter Druck ausweichen und somit Wasser keine Lasten übernehmen und abtragen können, siehe Berechnung der Bodeneigenschaften im Kapitel 3, S. 56.

Addiert man die Auflasthöhe he zu der Höhe h , so lassen sich über die Gesamthöhe hl und die Keilbreite b der steilere Neigungswinkel β_e und die neue Kraftfläche A_{ae} ermitteln.

Höhe he

$$he = q / \rho_{tg} \cdot g \quad \text{m} \quad 2.25$$

Höhe h

$$h = b \cdot \beta \quad \text{m} \quad 2.26$$

ter axialem oder triaxialem Druck gemessen wird [1: S. I.11ff.]. In den Abb. 24 und 25 wird der Kraftabbau innerhalb einer Bodenprobe bei Behinderung des vertikalen Kräfteflusses dargestellt.

Die gezeigten Erdblöcke (Probekörper) sind gleich hoch, unterscheiden sich aber in der Breite, b zu b' . Das Höhen/Seiten-Verhältnis ist in Abb. 24 so gewählt, dass die natürliche Neigungsebene (A–C) als Diagonale in dem Erdkörper Platz findet.

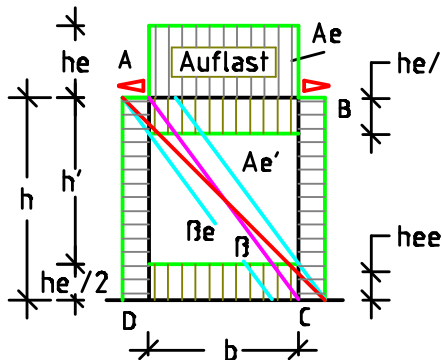


Abb. 24

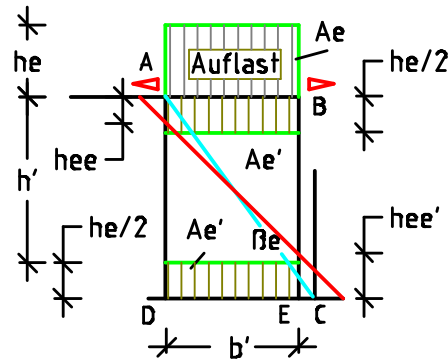


Abb. 25

Abb. 24 zeigt die veränderte Lage der Neigungsebene im Erdkörper infolge der aufgebrachtten externen Kraft/Auflast.

Abb. 25 zeigt den Erdkörper, dessen Neigungsebene (A–C) abweicht von dem Höhen/Seiten-Verhältnis des Zylinders.

Die gleiche Neigungsebene, wie sie in der Abb. 24 dargestellt ist, endet bei dem schmälere Erdblock bereits in der Ebene (D'–C'). Durch den ausgeübten vertikalen Druck auf den Probekörper verändern sich die Lage der Neigungsebene in den Körpern von (A–C) nach (A'–C') und der Winkel von β nach β_e . Da bei gleichem Druck der Winkel β_e konstant bleibt, verlässt die Neigungsebene den schmalen Körper bereits in der Höhe des Punktes E', siehe Abb. 25.

Fazit:

Die Abb. 22 bis 25 zeigen ein unterschiedliches Kräfteverhalten beim Abtrag von externen Kräften oder Auflasten im Erdkörper, welches abhängig davon ist, ob der vertikale Kraftfluss sich uneingeschränkt ausbreiten kann oder durch bspw. eine Felsschicht behindert wird. Die Abb. 24 und 25 stellen die Veränderungen der Scherebenen innerhalb von Probekörpern dar, die zur Messung der Scherfestigkeit in eine Apparatur eingespannt sind und auf denen Druck ausgeübt wird. Folglich kann der Winkel, der derzeit über die Scherfestigkeit des Bodens bestimmt wird, nicht identisch sein mit dem natürlichen Neigungswinkel β

des Bodens, der sich ohne diese Druckausübung im Erdreich einstellt. Die neue Theorie unterscheidet deshalb zwischen dem ‚Neigungswinkel β_e unter Auflast‘ und dem ‚natürlichen‘ Neigungswinkel β , d. h. ohne Auflast (Vergleiche Druckfestigkeitsprüfung nach DIN EN 1926 sowie Abbildungen in [6: S. 5.2–1ff. und 10: S. 25]).

2.6 Bestimmung von Neigungs- und Scherwinkel bei Bodenauflockerung

Nachstehend wird mit Abb. 26 und 27 dargestellt, dass auch Auflockerungen oder Verdichtungen von Böden die Winkel im Erdblock beeinflussen.

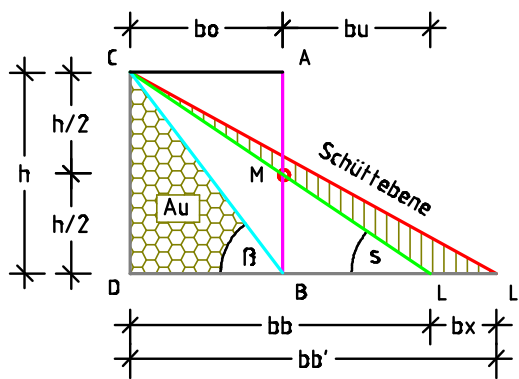


Abb. 26 zeigt die Massenmehrung durch die Bodenauflockerung (C–L'–L).

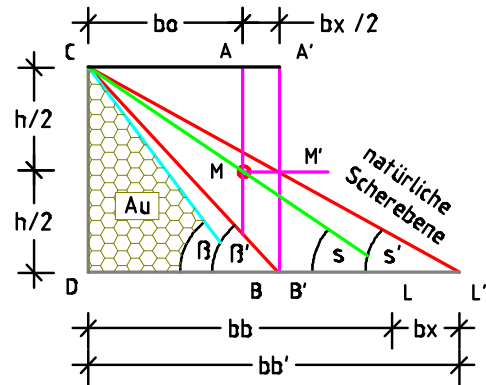


Abb. 27 zeigt die Verbreiterung des Keils um bx und des Blocks um $bx/2$.

Bei einem Boden, der beim Abgleiten nicht auflockert, teilt die Scherebene die aktive Fläche Aa in die Fläche $Aa/2$ links und $Aa/2$ rechts der Bezugsachse. Lockert der Boden jedoch beim Abgleiten auf, zeigt sich der Porenzuwachs des Bodens in der Keilfläche (C–L'–L) mit der Höhe h und der Breite bx . Durch die Bodenauflockerung führt die Ebene (C–L') nicht mehr durch den Mittelpunkt der lotrechten Bezugsachse, so dass die Ebene (C–L') als ‚Böschungs- oder Schüttelebene‘ bezeichnet werden kann. Versetzt man die Bezugsachse um das Maß $bx/2$ nach rechts (Abb. 27), stellen sich die Breiten $bo + bx/2 = bu + bx/2$ ein. Unter dieser Bedingung wird aus der ‚Böschungs- oder Schüttelebene‘ wieder die ‚natürliche Scherebene‘ des aufgelockerten Bodens mit dem Scherwinkel s' . Formt man aus dem aufgelockerten Boden wieder einen Erdblock, so nimmt dieser bei gleicher Höhe h die Blockbreite $b + bx/2$ und den Neigungswinkel β' ein. Da die direkte Abhängigkeit zwischen dem Neigungswinkel β' und dem Scherwinkel s' gegeben ist, verbleibt der Ansatz $\tan s' = (\tan \beta') / 2$. Verdichtungen von Böden laufen konträr zur Bodenauflockerung und lassen den Neigungswinkel ansteigen.

2.7 Winkeländerung durch Kohäsion und/oder Wandreibung

In der Lehre wird beschrieben, dass eine Kohäsion (Haftfestigkeit bindiger Böden) und eine Wandreibung (zwischen erdberührter Fläche und anstehendem Boden) den Bruchwinkel α bzw. den Scherwinkel φ' ändern können [1: S. P.8ff.] und Tabelle in [1: S. I.19]. Darüber hinaus wird in der Lehre mit dem Bild P03.20 [1: S. P.5] gezeigt, dass ein Boden im Ruhespannungszustand bei einer unter dem Winkel α geneigten Wandfläche seine maximale Scherbeanspruchung σ_α entwickelt und sich zwischen Wand und Boden die Wandreibung τ_α einstellt [1: S. P.5 und S. P.22ff.].

Es bleibt anzumerken, dass eine Wandreibung an einer geneigten Wandfläche sowie eine Mantelreibung an einem Pfahlschaft, wie die Lehre dieses in [1: S. P.11 und S. P.25ff.] darstellt, keinen Bezug zur physikalischen Reibung erkennen lässt. Die Physik beschreibt die Reibung als Kraft zwischen zwei sich gegeneinander bewegenden festen Körpern [15: S. 98f.]. Folgt man den Regeln der Physik, so müssen sich, um eine Wandreibung erzeugen zu können, entweder die Wand oder der Boden hinter der Wand dauerhaft bewegen. Da im Erdbau derartige Bewegungen nicht gewollt sind, kann in statischem Zustand die sog. Wandreibung weder eine Kraft erzeugen noch Einfluss nehmen auf die Richtung anderer Kräfte oder Spannungen im Erdreich.

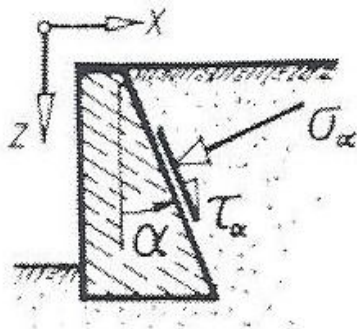


Bild P03.20: zeigt eine unter dem Winkel α geneigte Wand und die Lage der Spannung σ_α gegen diese.

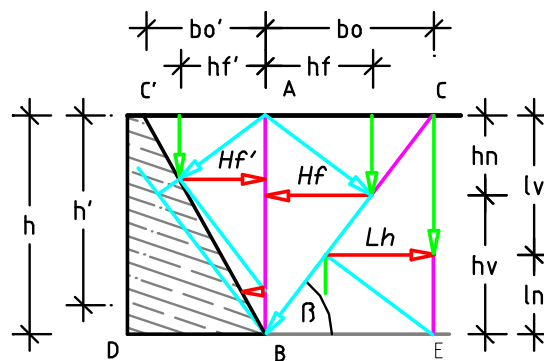


Abb. 28 zeigt eine geneigte Wand und dahinter die neue Art der Kraftverteilung.

Gleiches wie zuvor gilt für die Mantelreibung an einem Pfahlschaft. Sie wäre für den Augenblick vorstellbar, wo der Pfahl infolge einer Überlastung ‚durchsackt‘, d. h. seine Stabilität im Erdreich verliert und sich infolgedessen bewegt. Die neue Theorie hingegen sieht dauerhaft wirkende Kraftfelder im Erdreich, deren horizontale Kräfte einen Anpressdruck gegen die Wand oder den Pfahlschaft ausüben. Beim Pfahl wirken die Kräfte radial auf den Pfahlmantel und übernehmen, wie auch der Pfahlfuß, den Kraftabtrag der auf den Pfahl aufragenden

Kräfte, siehe auch Unterkapitel 4.8, S. 153ff. Es wird somit in Abrede gestellt, dass die Schräge einer Wandfläche oder ihre Rauigkeit den Winkel und die Größe der Spannung σ_α bestimmen können (Bild P03.20). Die durchgeführten Experimente zeigen, dass die anstehende Bodenart die Größe der Kraft und ihr Neigungswinkel die Krafrichtung bestimmen und nicht die Schrägheit einer Wand, wie dargestellt im Unterkapitel 4.4, S. 131ff.

Die Lehre beschreibt hingegen die *Kohäsion* als haftende Wirkung bindiger, feuchter Böden und ordnet ihr Fähigkeiten zu, Kräfte und Krafrichtungen im Erdreich beeinflussen zu können [1: I.5–I.8 und 1: S. P.11]. Die neue Theorie hingegen erkennt die haftende Wirkung der Kohäsion, bezweifelt aber deren Möglichkeit, auf Kräfte oder Krafrichtungen Einfluss nehmen zu können. Eher wird die Kohäsion als Bestandteil der Gewichtskraft gesehen, die wohl Bodenbewegungen verlangsamen, aber nicht aufhalten kann (siehe Bodeneigenschaften und Bodenverhalten feuchter oder nasser Böden in Kapitel 3). Ebenso wird eine geringe Wandverschiebung oder Wanddrehung, wie die Lehre diese zur Mobilisierung der horizontalen Kräfte im Erdreich vorstellt, weder den Neigungswinkel β noch die Erddruckkraft beeinflussen können. Erst wenn ein deutliches Abrücken einer lotrechten Wand von dem anstehenden Boden oder eine gravierende Schrägstellung der Wand sich einstellen, können sich nach einer Auflockerung des Bodens hinter der Wand die Bodendichte und der Neigungswinkel ändern. Dieser Sachverhalt wird weiter behandelt in Kapitel 4.

2.8 Fließbedingung und Erddruck, Versuche 4 und 5.

Da dem Verfasser die Möglichkeit fehlt, die Originalfassung der Coulomb'schen Fließbedingung mit den Darstellungen der Erddruck-Lehre zur Fließbedingung [1: S. I.14ff.] zu vergleichen, sind Versuchsanordnungen in dem Glaskasten ausgeführt worden. Insbesondere sollen diese das Abgleiten von Böden aus einem stehenden in einen liegenden Erdkeil aufzeigen.

Versuchsanordnung 4

In eine Kammer des Glaskastens wurde schichtweise zunächst trockener und zuletzt nasser Basaltgrus eingebaut. Der Materialwechsel und einzelne Papierstreifen zwischen den Schichten sollte das Abgleiten des Gruses aus dem stehenden in den liegenden Erdkeil sichtbar machen.



Abb. 29 zeigt den schichtweisen Einbau des Basaltgruses.



Abb. 30 zeigt nach dem Ziehen der eingestellten Glasscheibe die Lage des Basaltgruses und der Papierstreifen.



Abb. 31 zeigt die Lage des Basaltgruses nach dem Ziehen der Papierstreifen aus der 2. und 3. Schichtebene.

Nach dem Ziehen der Glasscheibe und dem Abgleiten des Gruses legten sich die je Schicht eingefügten drei Papierstreifen in die Gleitrichtung. Um das Abgleiten des Basaltgruses weiter verfolgen zu können, wurden die Papierstreifen der oberen drei Schichten vorsichtig und horizontal aus dem Material gezogen. Hiernach stelle sich die Scherebene des Gruses unter dem Winkel s ein ($\tan s = \tan \beta / 2$), vergleiche hierzu Abb. 15, Seite 41.

Nicht bestätigt hat sich ein Verformungszustand nach der Mohr-Coulomb'schen Fließbedingung' [1: S. I.14ff.] mit einer horizontalen Kraftentfaltung in dem unteren Drittel der Füllhöhe.

Versuchsordnung 5

Bei dieser Versuchsanordnung wurden in die linke Kammer des Glaskastens unterschiedlich hohe Schichten aus Sand und Basaltgrus lose eingebaut. Auf die Einlage von Papierstreifen wurde verzichtet. Die Materialverteilung nach dem Ziehen der Glasscheibe wird in der Abbildung gezeigt.



Abb. 32 zeigt nach dem Abgleiten der Füllstoffe die Neigungsebene des Sandes und die Scherebene des Gruses.

Fazit:

Die Versuchsanordnung 4 mit dem Basaltgrus als Füllmaterial zeigt, dass sich der von Erddruck-Lehre beschriebene Reibungswinkel φ' beim Abgleiten, d. h. auch beim „Fließen des spröden Materials“ nicht eingestellt hat, siehe hierzu Bild I06.20, Seite 28.

Gleiches Ergebnis bringt die Versuchsanordnung 5 mit den unterschiedlichen Schichthöhen von Sand und Basaltgrus. Auch hier ist kein Fließen der Materialien nachzuweisen, welches ansatzweise der Beschreibung des Bruchkriteriums der Erddruck-Lehre folgt. Vielmehr bestätigen die Versuchsergebnisse, dass die Fließbedingung keine Modifikation der Coulomb'schen Erddruck-Theorie darstellt, sondern die Fließbedingung und die Erddruck-Theorie von Coulomb offensichtlich unterschiedliche Sachverhalte beschreiben.

Zu der Versuchsanordnung 5 bleibt anzumerken, dass über die Coulomb'sche Erddruck-Theorie (Abb. 9, S. 25) der Nachweis über die Kraftverteilung in den Erdkörpern vor und nach dem Ziehen der eingestellten Glasscheibe erbracht werden kann, siehe Abschnitt 4.3.4, S. 124ff. Dort werden die Ebenen, Winkel und Kräfte errechnet, die das Abgleiten der Füllstoffe in der Abb. 32 erklären. Ein „Fließen der Füllstoffe“, wie die Lehre dieses in ihrer Bruchbedingung beschreibt [1: S. I.14ff.], lässt sich weder durch die Versuchsanordnungen 4 und 5 noch durch die durchgeführten Berechnungen belegen, siehe Abb. 30 bis 32.

2.9 Silotheorie und Erddruck

Die Lehre weist auf einen Zusammenhang zwischen dem Mohr-Coulomb'schen Bruchkriterium und der Silotheorie hin. Sie begründet damit, dass die von ihr angenommene Wandreibung zwischen rückseitiger Wandfläche und dem anstehenden Boden hinter der Wand die Erddruckkraft gegen die Wand reduzieren kann [1: S. P.2]. Die Lehre zeigt ferner an, dass zur Ermittlung der Gewölbewirkung die Untersuchungen von Janssen für Getreidesilos herangezogen werden können und diese Vorgaben von Terzaghi und Houska für die Belastungszustände der Tunnelschale modifiziert wurden [1: S. 3.5]. Hierbei wird der Beiwert K_0 definiert über das Verhältnis der effektiven horizontalen zu der effektiven vertikalen Spannung.

Geht man von der reinen Physik aus, so kann sich eine Reibung an der Silowand nur einstellen, wenn das Füllgut an der Silowand in Bewegung gerät. Sieht man in ein Getreidesilo, wenn über eine Ablassvorrichtung in der Mitte des Behälterbodens Getreide entnommen wird, so lässt sich an der Oberfläche des Füllgutes mittig eine trichterförmige Senke erkennen. Diese Senke zeugt eher davon, dass sich die Getreidekörner von der Silowand zur Silomitte hinbewegen und damit für eine Wandreibung nicht mehr zur Verfügung stehen können. Dieser Hohlkegel stellt sich auch ein, wenn man losen, trockenen Sand in einen Trichter einfüllt und diesen über die untere Trichteröffnung ablässt. Gleiche Merkmale lassen sich erkennen, wenn Wasser aus einem Spülbecken abgelassen wird. Auch hier kann eher ein Hohlkegel in dem Wasser über dem Ablass beobachtet werden als ein Abfließen des Wassers über die Beckenwände zum Siphon. Es bestehen somit arge Zweifel, dass es die von der Lehre angesetzte Wandreibung überhaupt gibt und dass diese Reibung die Erddruckkraft mindern kann.

Fazit:

Wenn nach der reinen Physik eine Reibung nur bei einer gegenläufigen Bewegung zweier fester Körper entstehen kann [15: S. 98ff.], dann dürfte bei ruhenden Körpern weder eine Wandreibung noch eine Mantelreibung entstehen. Es bleibt somit der Lehre überlassen, die Richtigkeit des Beiwerts K_0 in ihrer Erddruckermittlung zu begründen. Bedenklich ist, wenn die gleichen Faktoren bei der Ermittlung einer Tunnelschale Anwendung finden [1: S. 3.3].

3 Berechnung von Bodeneigenschaften

3.1 Allgemeines zu den Bodeneigenschaften

Derzeit gibt es eine Vielzahl von Regelwerken und DIN-Normen, welche empirische Bodenkenngrößen für Erddruckermittlungen mit oft großen Wertdifferenzen in Tabellen vorhalten [1: S. J.2f.]. Werden aus diesen Tabellen Kenngrößen gewählt, die von den realen Bodenwerten abweichen, so vervielfältigen sich die Unstimmigkeiten in der Erddruckberechnung mit steigender Berechnungshöhe h . Letztlich kann dieser Mangel zu Unterbemessungen von Bauwerken, zu Bauschäden und ggf. zu verletzten und getöteten Personen führen. Um hier Abhilfe zu schaffen, stützt sich die neue Erddruck-Theorie auf Bodenkenngrößen, die auf einfachste Art vor Ort über den Wassergehalt und die Trockendichte des anstehenden Bodens ermittelt werden können. Die mit unterschiedlichen Böden durchgeführten Experimente führten zur eigenen Erweiterung des Mehrphasensystems der Festkörperphysik. Diese Neuerung erlaubt unter der Berücksichtigung von Raum- und Gewichtsteilen von Böden, die Bodendichte ρ_{tg} (ρ_{ig} , ρ_{ng} , ...), die Reibungszahl μ , den Neigungswinkel β und den Scherwinkel s von allen Bodenarten eindeutig zu bestimmen.

Wie ausgeführt, werden die Bodenarten als Zerfallsprodukte ihrer Ursprungsgesteine gesehen. Eine immerwährende Erosion lässt ein hartes Felsgestein zu Staub und Druck lässt wieder Staub zu Fels werden. Jede Auflösungs- oder Verdichtungsphase vergrößert oder verkleinert das Porenvolumen in der Masse und erzeugt hierdurch eine neue Bodenart mit neuen Eigenschaften. Folglich bestehen ein trockenes erosives Felsgestein oder ein trockener Boden aus Feststoffen und Poren, wobei als ‚Poren‘ alle Hohlräume im Stein- oder Bodengefüge gemeint sind, egal ob diese Wasser aufnehmen können oder nicht. Das in das Porengefüge eindringende Wasser (Flüssigkeit) kann mittelfristig weder das Poren- noch das Feststoffvolumen verändern, sondern nur die Bodeneigenschaften beeinflussen, wie die Dichte, den Neigungswinkel und das Bodenverhalten. Da zur Ermittlung des Erddrucks nur die Bodendichte und der Neigungswinkel benötigt werden, können insbesondere bei steigender Berechnungshöhe alle weiteren Einflüsse auf die Bodenkennwerte unberücksichtigt bleiben, wie die Art des Ursprungsgesteins, das Gefüge des Steinverbundes sowie das Korn-, Richtungs- und Verteilungsgefüge [9: S. 3f.]. Auch mögliche

Zeitfaktoren sowie thermische Wirkungen auf Böden werden bei der Berechnung der Bodeneigenschaften übergangen.

Die Berechnung der Bodeneigenschaften basiert auf der Dichte und dem Neigungswinkel β eines ideellen Felsgesteins (Granit), das porenlos sein soll und nur vertikale Spannungen zulässt. Als Trockendichte wurde $\rho_{t90} = 3,0 \text{ t/m}^3$ übernommen [6: S. 2.2–2 und 15: S. 605] und als Tangens des Neigungswinkels β die Reibungszahl $\mu = 100$ gewählt. Somit lässt sich über die gewählte Reibungszahl eine Felssäule darstellen mit dem Neigungswinkel $\beta = 89,4^\circ \sim 90^\circ$, der Höhe $h^* = 100 \text{ m}$, der Tiefe $a = 1,00 \text{ m}$ und der Breite $b^* = 1,00 \text{ m}$. Mit dem Index 90 kann z. B. bei der Dichte ρ_{t90} des Granitgesteins auf seinen Neigungswinkel $\beta_{90} = 90^\circ$ hingewiesen werden. Zudem war es zur Darstellung der Erddruck-Theorie notwendig neue Begriffe einzuführen, siehe Symbolverzeichnis und ‚Begriffe zur Erddruck-Theorie‘, S. 240.

Zur vereinfachten Verfolgung von Berechnungsergebnissen wird in dieser Studie für die Dichte die Einheit t/m^3 gewählt. Weil die Bodendichte und der Neigungswinkel die gleiche Bodenart beschreiben, lassen sich die Bodenarten über ihre Winkel von $\beta = 0,6^\circ$ (Urstaub) bis $\beta = 89,4^\circ$ (Granit) stufenlos in den sogenannten Halbkreis der Bodenarten einordnen. Den Winkeln bzw. den Ebenen wurde die derzeitige Benennung der Bodenarten zugeordnet. Über die innerhalb des Kreises gemessenen oder berechneten Kraftmeter n_v , h_v und h_f – und diese multipliziert mit der jeweiligen Kraftzahl g_i – lassen sich die Erdkräfte FN , N_v , FH , H_v und H_f ermitteln, siehe Abschnitt 2.3.2, Seite 20ff.

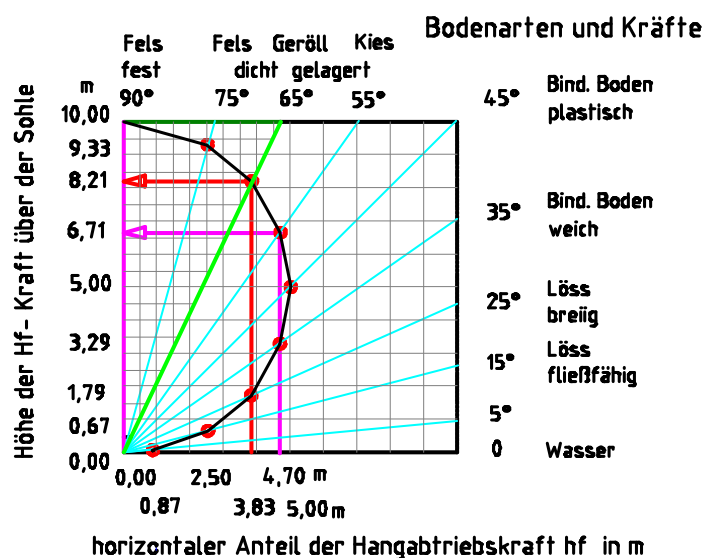


Abb. 33 zeigt die Kraftmeter der Böden in dem ‚Halbkreis der Bodenarten‘, wobei der ‚Urstaub‘ mit $\beta = 0,6^\circ$ oberhalb des Wassers anzuordnen wäre.

Für den ‚Halbkreis der Bodenarten‘ wurden die Ordinatenhöhe mit $h = 10,0$ m gewählt und die Neigungswinkel trockener Böden von dem Nullpunkt aus angetragen. Dort wo die Neigungsebene der Bodenart den Kreisbogen schneidet, steigt die Normalkraftebene zum oberen Punkt der Ordinate auf und die Hangabtriebsebene fällt zum Nullpunkt zurück. Die horizontale Ebene von dem Schnittpunkt zu der Ordinate entspricht dem Kraftmeter hf . Die horizontale Ebene unterteilt die Ordinate und damit die Keilhöhe in den Kraftmeter nv der vertikalen Komponente Nv der Normalkraft FN und unterhalb in den Kraftmeter hv der vertikalen Komponente Hv der Hangabtriebskraft FH . Für die gewählte Bodenart mit dem Winkel $\beta_t = 65^\circ$ sind in dem Halbkreis die Kraftmeter $hv = 8,21$ m und $hf = 3,83$ m eingezeichnet. Vor der Ermittlung der Kräfte über die Kraftmeter ist die Kraftzahl gi (2.7) über die Keilbreite $bo = h/\tan \beta_{65}$, die Bodendichte ptg_{65} und die Fallbeschleunigung g zu berechnen. Spiegelt man den im Halbkreis dargestellten Erdkeil mit seinen Kräften horizontal, entsteht die Kraftverteilung nach Abb. 34. Würde man ferner um den eingetragenen Mittelpunkt (M) einen Kreisbogen schlagen, so dass die Punkte C, C', D' und D auf dem Bogen zu liegen kommen, entspräche dieses Bild der Spannungsverteilung nach der Mohr'schen Theorie.

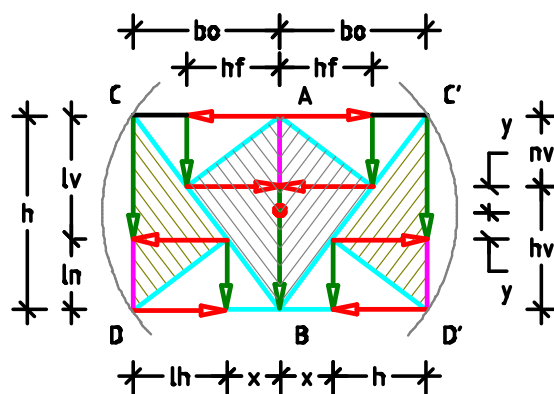


Abb. 34 zeigt konträre Erdblöcke mit der Höhe h , der Breite bo sowie den horizontalen (hf) und vertikalen (nv und hv) Kraftmetern.

Die Abbildungen 33 und 34 belegen, dass die Einordnung der ‚trockenen‘ Böden über die Dichte $ptg_{90} = 3,00$ t/m³ und die Reibungszahl $\mu = 100$ des idealisierten harten Felsgesteins möglich ist und die Kraftverteilung nach neuer Erddruck-Theorie in unveränderter Weise der Erddruck-Theorie von Coulomb, der Spannungstheorie von Mohr und der Berechnungsart nach physikalischer Ebene folgt.

3.1.1 Berechnung der Eigenschaften trockener Böden

Über das Mehrphasensystem der Festkörperphysik werden Bodenklassifizierungen über die Festsubstanz (feste Phase), die Porenmenge (gasförmige Phase) sowie die vom Boden aufgenommene Flüssigkeitsmenge (flüssige Phase) abgeleitet. Derzeit dient das Mehrphasensystem insbesondere dazu, Messergebnisse der untersuchten Bodenarten in den einzelnen Phasen grafisch darzustellen [4: 1.4–1.8; 6: S. 2.2–2.3 und 8: S. 2–6] sowie deren Eigenschaften zu entwickeln.

Dieses Mehrphasensystem wurde von dem Verfasser dahingehend erweitert, dass die unterschiedlichsten Wandlungen von Bodeneigenschaften über und unter Wasser nachvollziehbar und berechenbar bleiben. Ausgegangen wird von einem Felswürfel (Granit) in trockenem Zustand, der die Höhe $h = 1,00$ m, die Breite $b = 1,00$ m und die Tiefe $a = 1,00$ m einnimmt. Wie bereits ausgeführt, soll der porenlose Fels unter dem Neigungswinkel $\beta \sim 90^\circ$ die Dichte $\rho_{t90} = 3,0$ t/m³ einnehmen. Damit gleicht das Volumen $V_{p90} = 1,00$ m³ des Felswürfels dem Volumen der Festsubstanz oder neu des ‚Feststoffes‘ V_{f90} . Ferner wird angenommen, dass sich durch Erosionsprozesse im Felsgestein ‚Poren‘ mit dem Volumen V_l bilden und die Poren das Felsgestein durchdringen. Mit jeder Porenmehrung entsteht so eine neue Bodenart, bis letztlich aus dem harten Felsgestein Staub geworden ist. Dieser Vorgang wird mit den Volumina $V_{p'} = V_{f90} + V_l$ beschrieben. Würde man den Porenzuwachs nur in axialer Richtung zulassen, könnte das Volumen V_l über die Breite Δb ermittelt werden: $V_{p'} = h \cdot a \cdot (b + \Delta b)$. Die Grenze der Felsauflösung wird mit dem Begriff ‚Urstaub‘ angezeigt. Das Volumen $V_p = 1,00$ m³ des Urstaubs soll nach der Normierung aus dem Feststoffvolumen $V_f = 0,01$ m³ und dem Porenvolumen $V_l = 0,99$ m³ bestehen. Für den Urstaub errechnet sich aus dem Verhältnis V_f zu V_l die Reibungszahl $\mu = \tan \beta = 0,01$ und damit der Neigungswinkel $\beta_t = 0,6^\circ$. Trotz der aufgezeigten Porenmehrung $V_l = 99$ m³ bei dem Urstaub bleibt das Anfangsvolumen des Feststoffs $V_{f90} = 1,00$ m³ unverändert.

Als Beispiel wird der Veränderung des Felsgesteins nachgegangen, welches seine ursprüngliche Würfelgröße $V_{p90} = 1,00$ m³ infolge einer linearen Erosion durch den ansteigenden Porenzuwachs um die Breite $\Delta b = 0,70$ m dehnt. Um über das errechnete Bodenvolumen $V = h \cdot a \cdot (b + \Delta b) = 1,70$ m³ alle weiteren

Eigenschaften der neuen Bodenart ermitteln zu können, ist zunächst über die Normierung das Verhältnis V_f zu V_l im Volumen $V_{p_n} = 1,00 \text{ m}^3$ darzustellen. In Abb. 35 bis 37 wird diese Umstellung auf das Volumen V_{p_n} gezeigt.

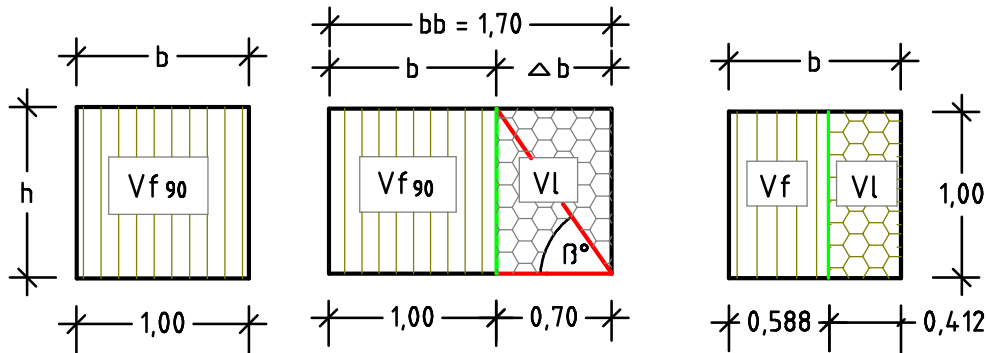


Abb. 35 zeigt den Fels mit dem Volumen $V_{f_{90}}$.

Abb. 36 zeigt die Felsanhafung (Luftvolumen V_l) nach den Erosionsphasen.

Abb. 37 zeigt das Volumen $V_{p_n} = V_f + V_l$ des Bodens mit dem Winkel $\beta_t = 55^\circ$.

Es werden berechnet:

Feststoffvolumen V_{f_n} der neuen Bodenart

$$V_{f_n} = V_{f_{90}} \cdot V_p / V_{p'}$$

$$V_{f_n} = 1,00 \cdot 1,00 / 1,70 = 0,588 \quad \text{m}^3 \quad 3.1$$

Porenvolumen V_{l_n} der neuen Bodenart

$$V_{l_n} = V_{f_{90}} - V_{f_n} \rightarrow 1,00 - 0,588 = 0,412 \quad \text{m}^3 \quad 3.2$$

Neigungswinkel β_t

$$\tan \beta_t = \mu = V_{f_n} / V_{l_n} \rightarrow 0,588 / 0,412 = 1,428 \quad 3.3$$

$$\beta_t = 55,0^\circ \quad [-] \quad 3.4$$

oder Neigungswinkel β_t

$$\tan \beta_t = \mu = b / \Delta b \rightarrow 1,00 / 0,70 = 1,428 \quad 3.5$$

$$\beta_t = 55,0^\circ \quad [-] \quad 3.6$$

Scherwinkel st

$$\tan st = (\tan \beta_t) / 2 = 1,428 / 2 = 0,714 \quad 3.7$$

$$st = 35,5^\circ \quad [-] \quad 3.8$$

In den Berechnungsansätzen kann zur Kennzeichnung der Volumina zunächst n eingesetzt und danach durch die Winkelgröße ersetzt werden, z. B. $V_{f_n} = V_{f_{55}}$ oder $V_{l_n} = V_{l_{55}}$. Über das Feststoffvolumen $V_{f_{55}} = 0,588 \text{ m}^3$ (3.1), die Felsdichte $\rho_{f_{90}} = 3,00 \text{ t/m}^3$, das Porenvolumen $V_{l_{55}} = 0,412 \text{ m}^3$ und die Gasdichte $\rho_l = 0,00 \text{ t/m}^3$ lässt sich die Trockendichte $\rho_{t_{55}}$ errechnen.

Trockendichte $\rho_{t_{55}}$

$$\rho_{t_{55}} = (V_{f_{55}} \cdot \rho_{f_{90}} + V_{l_{55}} \cdot \rho_l) / V_{p_{90}} \quad (3.1)$$

$$\rho_{t_{55}} = (0,588 \cdot 3,00 + 0,0) / 1,00 = 1,764 \text{ t/m}^3 \quad 3.9$$

Ergebnis:

Für den trockenen Boden mit den Raumteilen $Vf_{55} = 0,588 \text{ m}^3$ (3.1) und $Vl_{55} = 0,412 \text{ m}^3$ (3.2) sind der Neigungswinkel $\beta t = 55,0^\circ$ (3.4), der Scherwinkel $st = 35,5^\circ$ (3.8) und die Dichte $ptg_{55} = 1,764 \text{ t/m}^3$ (3.9) berechnet worden. Diese Berechnungsart der Raumteile (Volumina), Winkel und Trockendichte lässt sich anwenden auf alle Bodenarten vom harten Felsgestein bis hin zum Urstaub. Der Neigungswinkel bildet die Grundlage des Systems, über das sich alle Bodenarten stufenlos einordnen lassen, siehe auch Abb. 33, S. 57.

3.1.2 Berechnung der Eigenschaften nasser Böden

Als ‚nass‘ wird nach neuer Theorie ein Boden bezeichnet, dessen Porengefüge Vln ($n = \text{nass}$) sich ausnahmslos, d. h. vollständig mit Wasser gefüllt hat. Wird Druck auf diesen nassen Boden ausgeübt, entweicht zumindest ein Teil des vom Boden aufgenommenen Porenwassers. Hieraus lässt sich ableiten, dass zum Kraftabtrag innerhalb eines nassen Bodens nur die Feststoffstruktur des belasteten Bodens herangezogen werden kann, d. h. anzusetzen sind die Feststoffe des Bodens im trockenen Zustand. Jedoch bleibt bei der Berechnung der Kraftfläche für den Kraftabtrag der Neigungswinkel des nassen bzw. feuchten Bodens unverändert. Selbst durchgeführte Experimente zeigten zudem, dass sich ein trockener Boden, der einmal vollständig vom Wasser überflutet und durch das Wasser verdichtet worden ist, bei erneuter Wasseraufnahme nicht weiter verdichtet, siehe Versuchsanordnung 3, S. 44ff. und nachstehendes Unterkapitel 3.1.3.

Da die Beweglichkeit ‚trockener‘ Böden abhängig ist von dem Verhältnis ‚Feststoff- zu Porenvolumen‘ und damit auch von ihrem Neigungswinkel βt , dürfte unter ähnlichen Bedingungen auch der Neigungswinkel βn eines ‚nassen‘ Bodens zu berechnen sein. Zu berücksichtigen wäre lediglich die treibende Wirkung des Wassers, welches von dem trockenen Boden aufgenommen worden ist. Wie bei der Bestimmung des Ausbreitmaßes bei Frischbeton [DIN 1045–2] dürfte die Wassermenge im Boden Einfluss darauf nehmen, ob sich der Neigungswinkels βn eines ‚nassen‘ oder eines ‚feuchten‘ Bodens einstellt. Bei der Winkelberechnung trockener Böden nimmt das Feststoffvolumen Vf die Stelle des Zählers und das Porenvolumen Vl die Stelle des Nenners ein. Weil der Feststoff kein Wasser aufnehmen kann, ist bei der Ermittlung des

Neigungswinkels βn nasser Böden die seitwärts strebende Kraft des Wassers auf der Nennerseite des Bruches zu finden. Geht man weiter davon aus, dass sich maximal das Porenvolumen Vl mit Wasser füllen kann und die Dichten von Fels $ptg_{90} = 3,00 \text{ m}^3$ und Wasser $pwg = 1,00 \text{ m}^3$ anzugleichen sind, so wird zu der Berücksichtigung dieser Fakten das ‚fiktive‘ Feststoffvolumen $Vfn = Vl \cdot pwg/ptg$ ergänzend in die Winkelberechnung trockener Böden eingeführt. Für das fiktive Feststoffvolumen Vfn nasser Böden ergeben sich die folgenden Abhängigkeiten:

$$Vfn = Vln \cdot pwg/ptg_{90} \rightarrow Vln/3 = Vl/3 \quad \text{m}^3 \quad 3.10$$

Mit den bereits errechneten Bodenkenngrößen $Vf_{55} = 0,588 \text{ m}^3$ (3.1) und $Vl_{55} = 0,412 \text{ m}^3$ (3.2) lässt sich der Neigungswinkel βn für die gleiche Bodenart im nassen Zustand wie folgt ermitteln:

Neigungswinkel βn

$$\tan \beta n = Vf / (Vl + Vfn) \quad 3.11$$

$$\tan \beta n_{55} = 0,588 / (0,412 + 0,412/3) = 1,071$$

$$\beta n_{55} = 47,0^\circ \quad [-] \quad 3.12$$

Scherwinkel sn

$$\tan sn = (\tan \beta t) / 2 = 1,071/2 = 0,536 \quad 3.13$$

$$st = 28,2^\circ \quad [-] \quad 3.14$$

Vergleiche hierzu auch die Ermittlung des Neigungswinkels βt des gleichen Bodens in trockenem Zustand (3.3) und die Abb. 36 mit den Abb. 38 und 39. Die Volumina des nassen Bodens werden am verbreiterten Erdwürfel gezeigt.

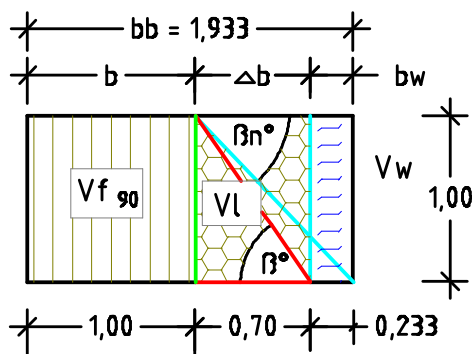


Abb. 38 zeigt die Erweiterung des Erdkörpers der Abb. 31 um das Wasservolumen Vw und den Neigungswinkel βn° .

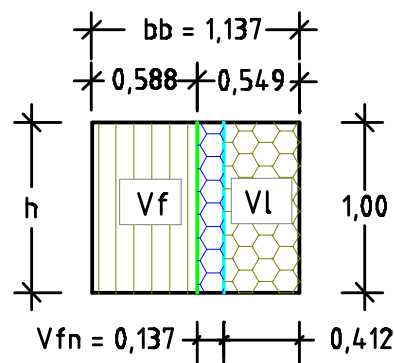


Abb. 39 zeigt die Erweiterung des Erdkörpers der Abb. 32 um das fiktive Feststoffvolumen Vfn .

Für den nassen Boden errechnet sich die Nassdichte png über die Trockendichte $ptg_{55} = 1,764 \text{ t/m}^3$ (3.9) plus das Gewicht des Porenwassers, wobei das Wasservolumen mit $Vw = Vl$ bezeichnet wird.

Nassdichte p_{ng}

$$p_{ng} = (V_{f55} \cdot p_{tg90} + V_{l55} \cdot p_{wg}) / V_{p90}$$

$$p_{ng} = (0,588 \cdot 3,00 + 0,412 \cdot 1,0) / 1,0 = 2,176 \quad \text{t/m}^3 \quad 3.15$$

Ergebnis:

Es wurde gezeigt, dass sich der Neigungswinkel des nassen Bodens $\beta_n = 47,0^\circ$ (3.12) über das Feststoffvolumen $V_{f55} = 0,588 \text{ m}^3$ (3.1) und das Porenvolumen $V_{l55} = 0,412 \text{ m}^3$ (3.2) des trockenen Bodens errechnen lässt. Um den Tangens des Neigungswinkels β_n ermitteln zu können, wurde das fiktive Feststoffvolumen V_{fn} mit $V/3$ auf der Nennerseite des Bruches eingefügt. Die Nassdichte $p_{ng} = 2,176 \text{ t/m}^3$ (3.15) leitet sich aus der Addition von Trockendichte $p_{tg} = 1,764 \text{ t/m}^3$ (3.9) und Gewicht des aufgenommenen Porenwassers her.

Für den nassen Boden wird das Ordnungssystem dargestellt in der Abb. 40. Es zeigt in Abhängigkeit von den Dichten p_{tg} und p_{wg} das Feststoffvolumen V_f , das fiktive Feststoffvolumen V_{fn} und das Porenvolumen V_l . Es bleibt anzumerken, dass auch die Eigenschaften eines nassen Bodens in einem direkten Verhältnis zueinanderstehen, d. h. ändert sich die Dichte, so ändert sich auch der Winkel und umgekehrt. Jeder Wandel erzeugt eine andere Bodenart.

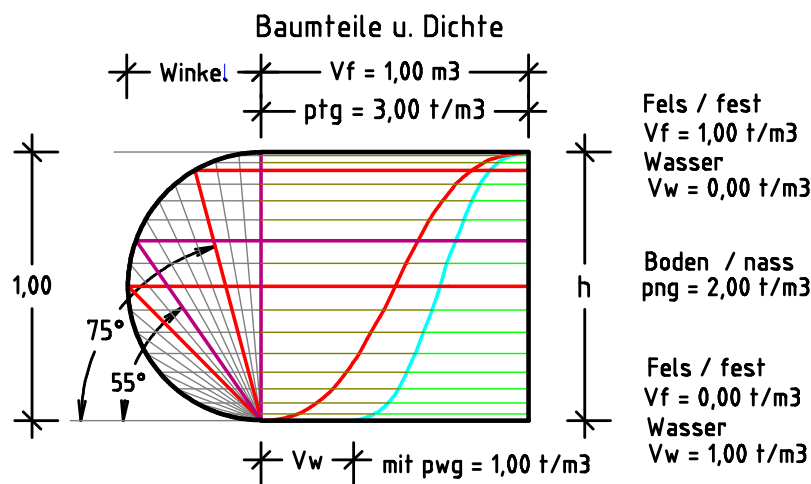


Abb. 40 zeigt, dass bei steigendem Winkel die Porenvolumina V_l und V_{fn} abnehmen und das Feststoffvolumen V_f zunimmt.

Die vorstehende Abbildung stellt ein Koordinatensystem dar. Links der Ordinate steigen die Neigungsebenen der trockenen Bodenarten unter ihrem Winkel β_t vom Nullpunkt bis zum Halbkreis auf. Rechts der Achse ist die Ansichtsfläche eines Erdwürfels aufgetragen mit der Höhe $h = 1,00 \text{ m}$ und der Breite $b = 1,00 \text{ m}$. Setzt man an den Schnittpunkten der Neigungsebenen mit dem Bogen horizontale Linien an und führt diese zur rechten Seite des Würfels, so lassen

sich auf diesen Ebenen die Volumina V_f und V_l sowie V_{fn} als Breiten auftragen. Die Endpunkte der Breiten miteinander verbunden lassen die Kurven in der Abb. 40 entstehen. Die rote Kurve zeigt die Trennungslinie zwischen dem Feststoff- und dem Porenvolumen und die blaue Kurve fasst das Feststoffvolumen V_f und das fiktive Feststoffvolumen V_{fn} zusammen. In der Ansichtsfläche nimmt das Felsgestein mit dem Volumen $V_{f90} = 1,00 \text{ m}^3$ und der Trockendichte $ptg_{90} = 3,00 \text{ t/m}^3$ den oberen Rand ein. Den unteren Rand belegt das Porenvolumen. Etwas oberhalb wäre der sog. Urstaub einzuordnen, der sich zusammensetzt aus dem Feststoffvolumen $V_{f0,6} = 0,010 \text{ m}^3$ und dem Porenvolumen $V_l = 0,990 \text{ m}^3$. Die Abb. 40 zeigt zudem, dass sich die Dichten trockener und nasser Böden auch grafisch bestimmen lassen.

3.1.3 Berechnung der Eigenschaften nasser Böden bei Bodenverdichtung

Dieses Beispiel stützt sich auf die Versuchsanordnung 3, Seite 44, wo loser Sand mit der Trockendichte $ptg = 1,639 \text{ kg/dm}^3$ (2.23) allein durch die Wasserzugabe verdichtet wurde.

Für die Berechnung werden übernommen:

$V_{f55} = 0,588 \text{ m}^3$ (3.1)	$V_{l55} = 0,412 \text{ m}^3$ (3.2)
Winkel $\beta_t = 55,0^\circ$ (3.4)	Dichte $ptg_{55} = 1,764 \text{ t/m}^3$ (3.9)
Winkel $\beta_n = 47,0^\circ$ (3.12)	Dichte $p_{ng} = 2,176 \text{ t/m}^3$ (3.15)
$V_{p90} = 1,00 \text{ m}^3$ und Verdichtungsgrad $\lambda = 14,2 \text{ Vol.-%}$ (2.22)	

Es werden berechnet:

Porenvolumen V_l'

$$V_l' = V_{l55} - V_p \cdot \lambda = 0,412 - 1,00 \cdot 0,147 = 0,265 \quad \text{m}^3 \quad 3.16$$

Gesamtvolumen V_p'

$$V_p' = V_{f55} + V_l' = 0,588 + 0,265 = 0,853 \quad \text{m}^3 \quad 3.17$$

Feststoffvolumen V_f^* → normiert auf $V_{p90} = 1,00 \text{ m}^3$

$$V_f^* = V_{f55} \cdot V_{p90} / V_p'$$

$$V_f^* = 0,588 \cdot 1,000 / 0,853 = 0,689 \quad \text{m}^3 \quad 3.18$$

Porenvolumen V_l^* → normiert auf $V_p = 1,00 \text{ m}^3$

$$V_l^* = V_l' \cdot V_{p90} / V_p'$$

$$V_l^* = 0,265 \cdot 1,000 / 0,853 = 0,311 \quad \text{m}^3 \quad 3.19$$

Neigungswinkel β_t^* → bei Trocknung des Bodens

$$\tan \beta_t^* = V_f^* / V_l^* = 0,689 / 0,311 = 2,215 \quad 3.20$$

$$\beta_t^* = 65,7^\circ \quad [-] \quad 3.21$$

Neigungswinkel βn^* → des Bodens, nass und verdichtet

$$\tan \beta n^* = Vf^*/1,333 \cdot Vl^* \quad 3.22$$

$$\tan \beta n^* = 0,689/1,333 \cdot 0,311 = 1,662 \quad 3.22$$

$$\beta n^* = 59,0^\circ \quad [-] \quad 3.23$$

Gewichtsteil des Wassers pwg^*

$$pwg^* = Vl^* \cdot p_w/Vp_{90} = 0,311 \cdot 1,0/1,0 = 0,311 \quad t/m^3 \quad 3.24$$

Nassdichte png^*

$$png^* = Vf^* \cdot ptg/Vp_{90} + pwg^*$$

$$png^* = 0,689 \cdot 3,0/1,0 + 0,311 = 2,378 \quad t/m^3 \quad 3.25$$

Ergebnis:

Der vorgegebene Boden hat durch den Ansatz des Verdichtungsfaktors von 14,2 Vol.-% (2.22) seine Raumteile und damit seine Eigenschaften verändert.

Vor der Verdichtung (trocken)	Nach der Verdichtung (nass)
Winkel $\beta t = 55,0^\circ$ (3.4)	Winkel $\beta t^* = 65,7^\circ$ (3.21)
Winkel $\beta n = 47,0^\circ$ (3.12)	Winkel $\beta n^* = 59,0^\circ$ (3.23)
Dichte $png = 2,176 t/m^3$ (3.15)	Dichte $png^* = 2,378 t/m^3$ (3.25)

3.1.4 Berechnung der Eigenschaften feuchter Böden

Als ‚feucht‘ werden Böden bezeichnet, deren Porengefüge eine vollständige Wasseraufnahme nicht gestattet. Die Struktur des Gesteins oder des Bodens erlaubt in diesen Fällen nicht, dass sich alle Poren vollständig mit Wasser anreichern können. Somit lassen sich feuchte Böden entsprechend ihrem Wassergehalt einordnen zwischen trockenen und nassen Böden. Das Porenvolumen Vl teilt sich auf in das vom Wasser unbesetzte Volumen Vlt und das vom Wasser besetzte Volumen Vln . Dem feuchten oder vom Wasser infiltrierten Boden werden der Neigungswinkel βi und die Feuchtdichte ptg zugeordnet.

Die tatsächlich vom Boden aufgenommene Wassermenge sowie die Minimal- und Maximalwerte der Wasseraufnahmefähigkeit sind anhand ungestörter Bodenproben unter Laborbedingungen zu ermitteln [DIN 18121-1/-2].

Für das Berechnungsbeispiel werden übernommen:

$Vf_{55} = 0,588 m^3$ (3.1)	$Vl_{55} = 0,412 m^3$ (3.2)
Winkel $\beta t = 55,0^\circ$ (3.4)	Dichte $ptg = 1,764 t/m^3$ (3.9)

Zudem wird vorgegeben, dass sich 75 Vol.-% des Porenvolumens Vl mit Wasser füllen können, d. h. 25 Vol.-% des Porenvolumens bleiben trocken.

Porenvolumen V_{lt} → vom Wasser unbesetzt → 25 Vol.-%

$$V_{lt} = V_l \cdot 0,25 = 0,412 \cdot 0,25 = 0,103 \quad \text{m}^3 \quad 3.26$$

Porenvolumen V_{ln} → vom Wasser besetzt → 75 Vol.-%

$$V_{ln} = V_l \cdot 0,75 = 0,412 \cdot 0,75 = 0,309 \quad \text{m}^3 \quad 3.27$$

Fiktives Feststoffvolumen V_{fn}

$$V_{fn} = V_{ln} \cdot p_{wg}/p_{tg90} = 0,309 \cdot 1/3 = 0,103 \quad \text{m}^3 \quad 3.28$$

Neigungswinkel β_i

$$\tan \beta_i = V_f / (V_l + V_{fn}) = 0,588 / (0,412 + 0,103) = 1,142 \quad 3.29$$

$$\beta_i = 48,8^\circ \quad [-] \quad 3.30$$

Gewichtsteil des Wassers p_{wg}

$$p_{wg} = V_{ln} \cdot p_w / V_{p90} = 0,309 \cdot 1,0 / 1,0 = 0,309 \quad \text{t/m}^3 \quad 3.31$$

Nassdichte p_{ig}

$$p_{ig} = V_f \cdot p_{tg} / V_{p90} + p_{wg}$$

$$p_{ig} = 0,588 \cdot 3,0 / 1,0 + 0,309 = 2,073 \quad \text{t/m}^3 \quad 3.32$$

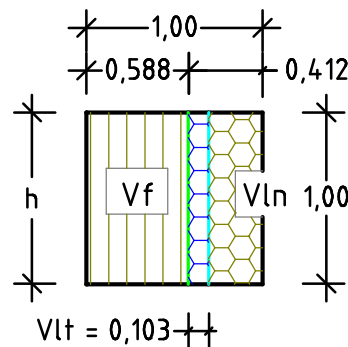


Abb. 41 zeigt die Teilung des Porenvolumens V_l in V_{lt} und V_{ln} .

Ergebnis:

Über die Volumina $V_{lt} = 0,103 \text{ m}^3$ (3.26) und $V_{ln} = 0,309 \text{ m}^3$ (3.27) konnten der Winkel β_i und die Dichte p_{ig} des feuchten Bodens errechnet werden.

Vor der Wasseraufnahme	Nach der Wasseraufnahme
Winkel $\beta_t = 55,0^\circ$ (3.4)	Winkel $\beta_i = 48,8^\circ$ (3.30)
Dichte $p_{tg} = 1,764 \text{ t/m}^3$ (3.9)	Dichte $p_{ig} = 2,073 \text{ t/m}^3$ (3.32)

Betrachtet man einerseits die unterschiedlichen Dichten und Neigungswinkel, die ein trockener Boden durch die Aufnahme von mehr oder weniger Porenwasser ausbildet, und stellt dagegen die pauschalierten empirischen Tabellenwerte der geltenden Regelwerke, so kann eine Erddruckberechnung unter Verwendung von Tabellenwerten nur ein nicht theoriekonformes Ergebnis bringen. Nicht nachvollziehbar bleibt, wie man eindeutige Bodenkennziffern über die „Fingerprobe“, den „Knetversuch“ oder die derzeitigen Bodenzustandsbe-

schreibungen erhält (fest, steif, weich, breiig, flüssig, schluffig usw.). Errechnen lässt sich, dass bei einem trockenen Boden eine Winkeldifferenz von $60^\circ - 55^\circ = 5^\circ$ für die Gewichtskraft G bereits eine Abweichung von ca. 8 % bewirkt. Diese Kraftdifferenz mag bei niedrigen Berechnungshöhen $h < 3,0$ m noch überbrückbar sein, bei steigender Höhe h könnte sie möglicherweise zu Bauschäden führen. Zu finden sind die angeführten Tabellenwerte in den Normen [DIN 18196], [DIN 18300], [DIN 18301] sowie in [1: E.6ff. und 1: I.19]. Es bleibt festzustellen, dass durch die Berechnung der Bodeneigenschaften über die Erweiterung des Mehrphasensystems der Festkörperphysik weitestgehend auf die Verwendung der Tabellenwerte verzichtet werden könnte.

3.1.5 Ausbildung der Scherebene im feuchten Basaltgrus, Versuch 6

Aus der Versuchsreihe 6 wurde das nachstehende Experiment ausgewählt. Zuvor wurde in einem anderen Behälter trockener Basaltgrus 0/3 mm und Wasser gemischt und danach ohne Verdichtung in die linke Kammer des Glaskastens eingefüllt und die Oberfläche des Gemisches geglättet. Für die Versuchsanordnungen in dem Glaskasten wird die Einheit der Dichten von t/m^3 auf kg/dm^3 umgestellt. Für die Berechnung werden folgende Werte vorgegeben:

$G_t = 30,5$ kg Basaltgrus 0/3 mm	Dichte $\rho_{tg} = 1,808$ kg/dm^3
$G_w = 3,0$ kg Wasser	Einbauhöhe $h_i = 2,34$ dm

Ermittelt werden zunächst die Eigenschaften des trockenen Bodens und hier-nach über die Wasserzugabe zu dem trockenen Boden die Kennwerte des feuchten Bodens. Mit dem Neigungswinkel β_i und dem Scherwinkel s_i des feuchten Bodens lassen sich dann die Breiten b_o und b_u errechnen, die sich nach dem Ziehen der trennenden Glasscheibe und dem Ableiten des Basaltgruses einstellen werden.



Abb. 42 zeigt den Glaskasten mit dem eingefüllten feuchten Basaltgrus.

Es werden berechnet:

Grundfläche $Ak_l \rightarrow$ der linken Kammer mit der Breite $bk_l = 2,44$ dm

$$Ak_l = a \cdot b = 2,90 \cdot 2,44 = 7,08 \quad \text{dm}^2 \quad 3.33$$

Volumen $Vkt \rightarrow$ des trockenen Basaltgruses

$$Vkt = Gt/ptg = 30,5/1,808 = 16,87 \quad \text{dm}^3 \quad 3.34$$

Füllhöhe $ht \rightarrow$ des trockenen Basaltgruses

$$ht = Vkt/Ak_l = 16,87/7,08 = 2,38 \quad \text{dm} \quad 3.35$$

Volumen $Vki \rightarrow$ des feuchten Basaltgruses $\rightarrow hi = 2,34$ dm gemessen

$$Vki = Ak_l \cdot ht = 7,08 \cdot 2,34 = 16,57 \quad \text{dm}^3 \quad 3.36$$

Verdichtungsfaktor λ

$$\lambda = Vkt/Vki = 16,87/16,57 = 1,017 \quad \text{Vol.-%} \quad 3.37$$

Gewichtsteil des Wassers p_{wg}

$$p_{wg} = Gw/Vki = 3,0/16,57 = 0,181 \quad \text{kg/dm}^3 \quad 3.38$$

Nassdichte p_{ig}

$$p_{ig} = (Gt + Gw)/Vki = 33,5/16,57 = 2,022 \quad \text{kg/dm}^3 \quad 3.39$$

Fiktives Feststoffvolumen Vfn

$$Vfn = p_{wg} \cdot Vp_{90}/ptg_{90} = 0,181 \cdot 1,0/3,0 = 0,060 \quad \text{dm}^3 \quad 3.40$$

Feststoffvolumen $Vf \rightarrow$ des trockenen Basaltgruses

$$Vf = Gt \cdot Vp_{90}/Vki \cdot ptg_{90}$$

$$Vf = 30,5 \cdot 1,0/16,58 \cdot 3,0 = 0,613 \quad \text{dm}^3 \quad 3.41$$

Porenvolumen $Vl \rightarrow$ des trockenen Basaltgruses

$$Vl = Vp_{90} - Vf = 1,000 - 0,613 = 0,387 \quad \text{dm}^3 \quad 3.42$$

Neigungswinkel β_i

$$\tan \beta_i = Vf/(Vl + Vfn) = 0,613 / (0,387 + 0,060) = 1,371 \quad 3.43$$

$$\beta_i = 53,9^\circ \quad [-] \quad 3.44$$

Scherwinkel si

$$\tan si = (\tan \beta_i) / 2 = 1,371/2 = 0,686 \quad 3.45$$

$$si = 34,4^\circ \quad [-] \quad 3.46$$

Keilbreite $bo = bu \rightarrow$ bei der gemessenen Einbauhöhe $hi = 2,34$ dm

$$bo = hi / \tan \beta_i = 2,34/1,371 = 1,71 \quad \text{dm} \quad 3.47$$

Breite bue

$$bue = bo + bu = 2 \cdot bo = 2 \cdot 1,71 = 3,42 \quad \text{dm} \quad 3.48$$

Die Breite bue zeigt die horizontale Ebene der Scherebene an, welche sich addiert über die Breiten bo und bu , siehe Unterkapitel 2.4, S. 40ff. Lockert der Boden beim Abgleiten aus dem stehenden in den liegenden Erdkeil nicht auf, sind die Breiten bo und bu sowie die seitlichen Abstände zu den Behälterwänden bl und br gleich groß, siehe nachstehende Abb. 43.

Für die nachstehende Berechnung wird angenommen, dass der Basaltgrus beim Abgleiten nicht oder kaum merklich auflockert.

Breite $bl = br \rightarrow$ Kastenbreite $b = 4,88$ dm.

$$bl = (b - bue)/2 = (4,88 - 3,42)/2 = 0,73 \quad \text{dm} \quad 3.49$$

Aus der Abb. 43 wurden die Breite $bl' = 0,70$ dm und die Breite $br' = 0,68$ dm gemessen, so dass sich die neue Breite bue' ergibt. Über die Höhe $hi = 2,34$ dm und die Breite bue' lässt sich dann der Scherwinkel si' des feuchten Basaltgruses ermitteln.

Breite bue'

$$bue' = b - bl' - br' = 4,88 - 0,70 - 0,68 = 3,50 \quad \text{dm} \quad 3.50$$



Abb. 43 zeigt die Lage der Scherebene des feuchten Basaltgruses.

Scherwinkel si'

$$\tan si' = hi/bue' = 2,34/3,50 = 0,669 \quad 3.51$$

$$si' = 33,8^\circ \quad [-] \quad 3.52$$

Neigungswinkel $\beta i'$

$$\tan \beta i' = 2 \cdot \tan si' = 2 \cdot 0,669 = 1,337 \quad 3.53$$

$$\beta i' = 53,2^\circ \quad [-] \quad 3.54$$

Ergebnis:

Diese **Versuchsanordnung 6** zeigt, dass die eigene Erweiterung des Mehrphasensystems der Feststoffphysik zur Ermittlung von Bodeneigenschaften Anwendung finden kann. Die geringe Differenz zwischen den errechneten und gemessenen Winkeln kann im Zusammenhang stehen mit einer geringen Auflockerung des Gemisches beim Abgleiten, siehe nachstehende Tabelle.

Berechnet	Gemessen
Neigungswinkel $\beta_i = 53,9^\circ$ (3.44)	Neigungswinkel $\beta_i' = 53,2^\circ$ (3.54)
Scherwinkel $si = 34,4^\circ$ (3.46)	Scherwinkel $si' = 33,8^\circ$ (3.52)
Breite $bue = 3,42$ dm (3.48)	Breite $bue' = 3,50$ dm (3.50)

Die Differenz bei den Neigungswinkeln $\beta_i = 53,9^\circ$ (3.44) und $\beta_i' = 53,2^\circ$ (3.54) würde bei einer Erddruckberechnung mit vorgegebener Keilhöhe $h = 5,00$ m bei den Keilbreiten bo und bo' folgende Abweichung bringen:

Keilbreite bo bei $h = 5,00$ m

$$bo = h / \tan \beta_i = 5,00 / 1,371 = 3,65 \quad \text{m} \quad 3.55$$

Keilbreite bo' bei $h = 5,00$ m

$$bo' = h / \tan \beta_i' = 5,00 / 1,337 = 3,74 \quad \text{m} \quad 3.56$$

Bei der Höhe $h = 5,00$ m differieren die Keilbreiten bo und bo' um $0,09$ m. Dieses Ergebnis ist selbst für die Bemessung einer Stützwand hinnehmbar!

3.2 Allgemeines zu Böden unter Wasser

Die zu diesem Komplex ausgeführten Experimente zeigen, dass sich die dargestellten Abhängigkeiten zwischen Dichte, Winkel und Raumteilen von Böden über Wasser auf nasse und feuchte Böden unter Wasser übertragen lassen. In den zuvor beschriebenen Formeln sind Ergänzungen erforderlich, die sich aus dem Bodenauftrieb nach dem archimedischen Prinzip ableiten [15: S. 148f.]. Wie in dem Unterkapitel 3.1.2 dargestellt, füllt sich bei einem nassen Boden das Porenvolumen Vl mit Wasser und erhält hiernach die Bezeichnung Vln . Zudem wird der Porenwasserdruck aus dem Volumen Vln durch den konträr wirkenden hydrostatischen Wasserdruck überlagert und das Ausbreitverhalten des nassen Bodens dadurch gemindert.

Da sich der hydrostatische Wasserdruck keilförmig unter dem Winkel 45° ausbildet, wird das Wasservolumen $Vw = h \cdot a \cdot b/2$ in der Ansichtsfläche $Aw = Vw/a$ des ‚Erdbandes‘ als Rechteck dargestellt, wobei als Erdband eine Erweiterung des Erdwürfels zu verstehen ist. Auch bei nassen Böden unter Wasser stellt der Tangens β_{nw} das Verhältnis von Feststoffvolumen zu Porenvolumen dar. Jedoch teilt bei Böden unter Wasser der Auftrieb das Feststoffvolumen Vf entsprechend den Dichten p_w zu ptg_{90} auf in das Auftriebsvolumen $Vfa = Vf/3$ und das verbleibende Feststoffvolumen unter Wasser $Vfw = 2 \cdot Vf/3$, welches den Zähler bildet. Auf der Nennerseite des Bruches stehen das Porenvolumen Vl und das vom Wasser besetzte Porenvolumen $Vln = Vl$. Das Volumen Vln ist

wieder über die Dichten p_w/ptg_{90} umzuwandeln in das fiktive Feststoffvolumen $V_{fn} = V_{ln} \cdot 1,0/3,0$. Somit bildet sich der ‚Erddruck unter Wasser‘ aus dem fiktiven Feststoffvolumen V_{fn} und dem Volumen $V_w = V_{ln}/2$ der seitlich strebenden Kraft nasser Böden unter Wasser.

Konträr zu dem Erddruck steht der Wasserdruck mit dem Volumen $V_w = V_{ln}/2$ aus der Wassersäule. Über die vorstehenden Volumina lässt sich der Tangens des nassen Bodens unter Wasser wie folgt errechnen:

$$\tan \beta_{nw} = 2/3 \cdot V_{f1} / (V_l + V_{fn} - V_w) = 2/3 \cdot V_{f1} / (V_l \cdot 5/6)$$

Da in dem Kraftsystem ‚Boden unter Wasser‘ im Regelfall der Erddruck den Wasserdruck übersteigt, wird für die statische Berechnung von Bauteilen der Erddruck maßgebend. In gleicher Weise können daher Auflasten auf Böden unter Wasser nur über die Bodenstruktur abgeleitet werden.

Zu den Dichten nasser und feuchter Böden unter Wasser (p_{nwg} und p_{iwg}) bleibt anzumerken, dass diese wegen des scheinbaren Gewichtsverlustes durch den Auftrieb nur für die Kraftermittlung unter Wasser gelten.

3.2.1 Berechnung der Eigenschaften nasser Böden unter Wasser

Bei dieser Berechnung der Bodeneigenschaften wird angenommen, dass der Boden durch das Wasser bereits verdichtet worden ist und somit keinen neuen Volumenverlust durch das Wasser mehr erleidet.

Es werden folgende Werte übernommen:

Feststoff- $V_{f55} = 0,588 \text{ m}^3$ (3.1)	Poren- $V_{l55} = 0,412 \text{ m}^3$ (3.2)
Winkel $\beta_t = 55,0^\circ$ (3.4)	Dichte $ptg = 1,764 \text{ t/m}^3$ (3.9)

Es werden berechnet:

Feststoffvolumen $V_{fw} \rightarrow$ unter Auftrieb

$$V_{fw} = 2 \cdot V_{f3} = 2 \cdot 0,588/3 = 0,392 \quad \text{m}^3 \quad 3.57$$

Wasservolumen V_w

$$V_w = V_{ln}/2 = 0,412/2 = 0,206 \quad \text{m}^3 \quad 3.58$$

Besetztes Porenvolumen $V_{ln} \rightarrow$ bei nassem Boden

$$V_{ln} = V_l = 0,412 \quad \text{m}^3 \quad 3.59$$

Fiktives Feststoffvolumen V_{fn}

$$V_{fn} = V_{ln} \cdot p_w/ptg_{90} = 0,412 \cdot 1/3 = 0,137 \quad \text{m}^3 \quad 3.60$$

Bei dem nassen Boden unter Wasser wirkt der horizontale Anteil der Gewichtskraft des aufgenommenen Porenwassers mit dem fiktiven Feststoffvo-

lumen V_{fn} konträr zum hydrostatischen Wasserdruck, dessen Volumen mit $V_{ln}/2$ angesetzt wird.

Im nachstehenden Erdband werden dargestellt: Wasservolumen $V_{nw} = V_w$ (3.58) minus V_{fn} (3.60), Volumen V_{fa} des Bodenauftriebs, Volumen V_{fw} zur Ermittlung der Bodendichte aus dem Feststoff und das Porenvolumen V_{ln} des Bodens. Daraus lässt sich ableiten, dass der Erddruck und der Wasserdruck gegen eine Wand nicht getrennt voneinander berechnet werden müssen, sondern als ein Lastfall behandelt werden kann.

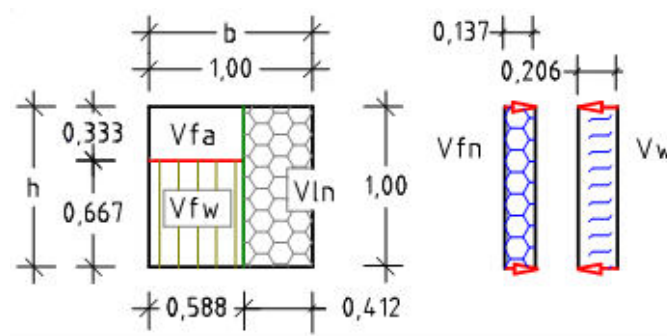


Abb. 44 zeigt das Erdband des nassen Bodens unter Wasser und seine Volumina V_{fw} (3.57), V_{fn} (3.60) und $V_{fa} = 0,333 \cdot 0,588 = 0,196 \text{ m}^3$.

Es werden berechnet:

Neigungswinkel β_{nw}

$$\tan \beta_{nw} = V_{fw} / (V_l + V_{fn} - V_w) \quad 3.61$$

$$\tan \beta_{nw} = 0,392 / (0,412 + 0,137 - 0,206) = 1,143$$

$$\beta_{nw} = 48,8^\circ \quad [-] \quad 3.62$$

Scherwinkel snw

$$\tan snw = (\tan \beta_{nw}) / 2 = 1,143/2 = 0,571 \quad 3.63$$

$$snw = 29,7^\circ \quad [-] \quad 3.64$$

Gewichtsteil des Wassers G_w

$$G_w = V_{ln} \cdot p_{wg} / V_{p90} = 0,412 \cdot 1,0 = 0,412 \quad \text{t/m}^3 \quad 3.65$$

Nassdichte p_{nwg}

$$p_{nwg} = (V_{fw} \cdot p_{tg90} + V_{ln} \cdot p_w) / V_{p90}$$

$$p_{nwg} = (0,392 \cdot 3,0 + 0,412 \cdot 1,0) / 1,0 = 1,588 \quad \text{t/m}^3 \quad 3.66$$

Ergebnis:

Die Berechnungswerte sind nachstehend zusammengefasst und in dem Erdkörper in Abb. 45 dargestellt:

Neigungswinkel β_{nw}	=	48,8°	(3.62)
Scherwinkel snw	=	29,7°	(3.64)
Nassdichte p_{nwg}	=	1,588 t/m ³	(3.66)

Die im Erdband in Abb. 44 dargestellten Volumina werden durch die Normierung umgewandelt und ergeben den Erdwürfel der neuen Bodenart, Abb. 45. Das verbleibende Wasservolumen errechnet sich $V_{nw} = V_w - V_{fn} = 0,206 - 0,137 = 0,069 \text{ dm}^3$.

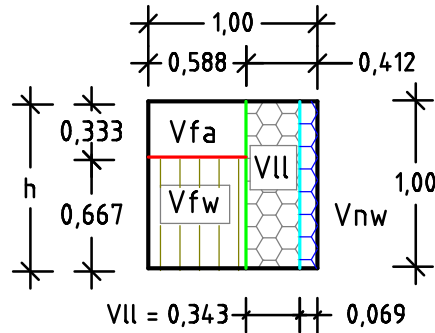


Abb. 45 zeigt den Erdwürfel des nassen Bodens unter Wasser und dessen Raumteile nach der Normierung.

3.2.2 Experiment mit nassem Basaltgrus unter Wasser, Versuch 7

Das nachstehende Experiment der Versuchsreihe 7 ist angelegt, die über die Raum- und Gewichtsteile errechneten Winkel und Dichten von nassen Böden unter Wasser zu überprüfen. Hierzu werden eingesetzt:

Basaltgrus, $G_t = 30,0 \text{ kg}$	Einbauhöhe $h_t = 2,34 \text{ dm}$
Wasser, $G_w = 22,0 \text{ kg}$	Einfüllhöhe $h_w = 2,28 \text{ dm}$
Gemessene Höhe $h_b = 2,14 \text{ dm}$, siehe Abb. 46 und 48.	

Der trockene Grus 0/3 mm wurde bis zur Füllhöhe $h_t = 2,34$ in die linke Kammer des Glaskastens eingebaut, die Oberfläche abgeglichen und danach das Wasser in die rechte Kammer behutsam eingefüllt.



Abb. 46 zeigt die Höhe $h_w = 2,28 \text{ dm}$ des Wasserspiegels an, der sich nach Beendigung des Füllvorgangs eingestellt hat.

Da das Wasser durch die Fugen zwischen den Behälterwänden und der eingestellten Glasscheibe in den Basaltgrus einsickern konnte, wurde nach einer vierstündigen Wartezeit davon ausgegangen, dass sich alle Poren des Basaltgruses zwischenzeitlich mit Wasser angereichert haben. Hiernach wurden die Höhe des Wasserspiegels $h_w = 2,28$ dm und die Höhe $h_b = 2,14$ dm des verdichteten nassen Basaltgruses unter Wasser gemessen und die trennende Glasscheibe gezogen. Die Wartezeit wurde gewählt, weil aus ähnlichen Versuchsanordnungen mit Basaltgrus unter Wasser bekannt war, dass sich dieser nach der benannten Zeitspanne nicht weiter absetzte.

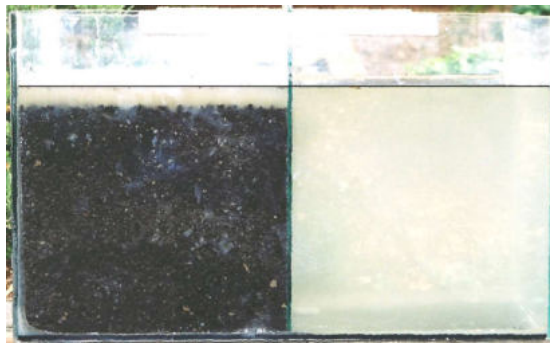


Abb. 47 zeigt die gemessene Höhe $h_b = 2,14$ dm des durch das Wasser verdichteten Gruses vor dem Ziehen der Glasscheibe.



Abb. 48 zeigt die Scherebene des Basaltgruses unter Wasser.

Nach dem Abgleiten des nassen Basaltgruses in die rechte Kammer wurden die Breiten $bl = 1,06$ dm und $br = 1,06$ dm gemessen und die Breite bue berechnet.

$$bue = b - bl - br = 4,88 - 1,06 - 1,06 = 2,76 \quad \text{dm} \quad 3.67$$

Die Breite bue entspricht der horizontalen Ebene der geneigten Oberfläche des Basaltgruses. Sie wird in die Breite bo links der vertikalen Mittelachse und in die Breite bu rechts davon unterteilt. Bilden sich Breiten bo und bu nach dem Abgleiten des Füllmaterials ungleich aus, deutet die Differenzbreite bx auf eine Materialauflockerung.

Breite bo → gemessen an dem Glasbehälter
 $bo = bk_l - bl = 2,44 - 1,06 = 1,38$ dm 3.68

Breite bu → gemessen
 $bu = bk_l - br = 2,44 - 1,06 = 1,38$ dm 3.69

Breite bx → Auflockerungsbreite
 $bx = bo - bu = 1,06 - 1,06 = 0,00$ dm 3.70

Um die Eigenschaften des nassen Gruses unter Wasser errechnen zu können, sind zunächst die Eigenschaften des trockenen Basaltgruses zu ermitteln.

Zu errechnende Eigenschaften des trockenen Basaltgruses

Volumen Vkt → $ht = 2,34$ dm, $Ak_l = 7,08$ dm³ (3.33)
 $Vkt = ht \cdot Ak_l = 2,34 \cdot 7,08 = 16,57$ dm³ 3.71

Trockendichte ptg
 $ptg = Gt/Vkt = 30,0/16,57 = 1,811$ kg/dm³ 3.72

Feststoffvolumen Vf_n → Index n kann durch Winkel βt ersetzt werden.
 $Vf_n = Vf_{90} \cdot ptg/ptg_{90} = 1,0 \cdot 1,811/3,0 = 0,604$ dm³ 3.73

Porenvolumen Vl_n
 $Vl_n = Vp_{90} - Vf_n = 1,000 - 0,604 = 0,396$ dm³ 3.74

Neigungswinkel βt
 $\tan \beta t = Vf_n/Vl_n = 0,604/0,396 = 1,525$ 3.75
 $\beta t = 56,7^\circ$ [-] 3.76

Scherwinkel st
 $\tan st = (\tan \beta t) / 2 = 1,525/2 = 0,763$ 3.77
 $st = 37,3^\circ$ [-] 3.78

Die Trockenmasse im Glaskasten mit dem Volumen Vkt setzt sich zusammen aus dem Feststoffvolumen $\sum Vf_{57}$ und dem Porenvolumen $\sum Vl_{57}$, die nachstehend berechnet werden.

Feststoffvolumen $\sum Vf_{57}$
 $\sum Vf_{57} = Vkt \cdot Vf_n/Vp_{90} = 16,57 \cdot 0,604/1,0 = 10,01$ dm³ 3.79

Porenvolumen $\sum Vl_{57}$
 $\sum Vl_{57} = Vkt \cdot Vl_n/Vp_{90} = 16,57 \cdot 0,396/1,0 = 6,56$ dm³ 3.80

Teilergebnis:

Eigenschaften des trockenen Basaltgruses (unverdichtet)	
Feststoffv. $Vf = 0,604$ dm ³ (3.73)	Porenvol. $Vl = 0,396$ dm ³ (3.74)
Volumen $Vkt = 16,57$ dm ³ (3.71)	Dichte $ptg = 1,811$ kg/dm ³ (3.72)
Gesamt $\sum Vf = 10,01$ dm ³ (3.79)	Winkel $\beta t = 56,7^\circ$ (3.76)
Gesamt $\sum Vl = 6,56$ dm ³ (3.80)	Winkel $st = 37,3^\circ$ (3.78)

Zu errechnende Eigenschaften des nassen Basaltgruses unter Wasser

Neben den zuvor ermittelten Werten des trockenen Basaltgruses sind die Eigenschaften des nassen Gruses unter Wasser zu ermitteln über die Wassermenge von 22,0 l (gleich dem Volumen $\sum V_w = 22,0 \text{ dm}^3$), die Höhe $h_w = 2,28 \text{ dm}$ des Wassers und die Höhe $h_b = 2,14 \text{ dm}$ des durch das Wasser verdichteten Basaltgruses.

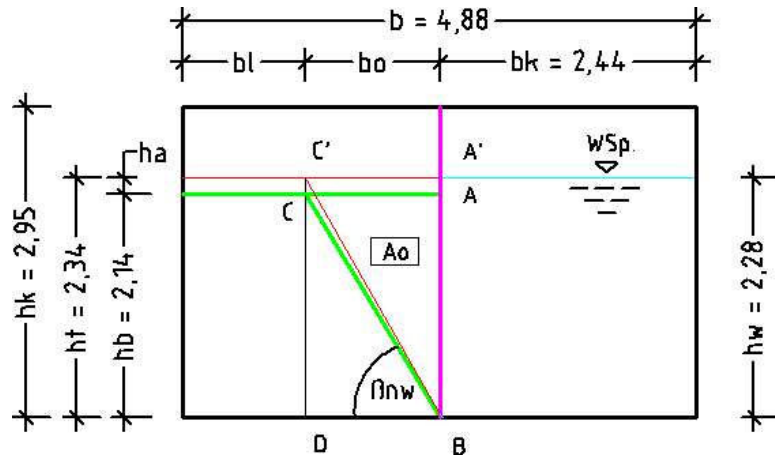


Abb. 49 zeigt die Füllhöhe des Gruses $h = h_t = 2,34 \text{ dm}$, die Höhe des Wassers $h_w = 2,28 \text{ dm}$ und die Höhe des verdichteten Gruses $h_b = 2,14 \text{ dm}$.

Da die Höhe h_w des Wasserspiegels vor dem Ziehen der Glasscheibe gemessen wurde, erfolgt nun die Reduzierung der Höhe h_w um den Höhenanteil, der sich aus dem Volumen V_g der Glasscheibe ergibt, siehe Abb. 49. Die neue Höhe erhält die Bezeichnung h_w' .

Volumen V_g der Glasscheibe mit $b_g = 0,04 \text{ dm}$ und der Höhe $h_w = 2,28 \text{ dm}$

$$V_g = h_w \cdot a \cdot b_g = 2,28 \cdot 2,90 \cdot 0,04 = 0,26 \quad \text{dm}^3 \quad 3.81$$

Höhe h_w'

$$h_w' = h_w - V_g/a \cdot b = 2,28 - 0,26/2,90 \cdot 4,88 = 2,26 \quad \text{dm} \quad 3.82$$

Die Verteilung des Wassers lässt sich wie folgt nachvollziehen:

- Linke Kammer: Das Porenwasser im verdichteten Grus mit dem Volumen V_{w1} kann über die Höhendifferenz ($h_w' = 2,26 \text{ dm}$ minus $h_b = 2,14 \text{ dm}$), die Tiefe $a = 2,90 \text{ dm}$ und das vom Wasser verdichtete Porenvolumen $\sum V_l^*$ berechnet werden.
- Rechte Kammer: Das Wasservolumen V_{w2} lässt sich ermitteln über die Breite $b_{k1} = 2,44 \text{ dm}$, die Höhe $h_w' = 2,26 \text{ dm}$ und die Tiefe $a = 2,90 \text{ dm}$.

Es werden ermittelt nach der Verdichtung des Gruses:

Volumen $V_{kn} \rightarrow h_b = 2,14 \text{ dm}$, $A_{k1} = 7,08 \text{ dm}^3$ (3.33)

$$V_{kn} = h_b \cdot A_{k1} = 2,14 \cdot 7,08 = 15,15 \quad \text{dm}^3 \quad 3.83$$

Gesamtporenvolumen $\sum V_{l57}^*$

$$\sum V_{l57}^* = V_{kn} - \sum V_{f57} = 15,15 - 10,01 = 5,14 \quad \text{dm}^3 \quad 3.84$$

Volumen $V_{W1} \rightarrow$ Wasser in der linken Kammer

$$V_{W1} = (hw' - hb) \cdot a \cdot bk_l + \sum V_{l57}^*$$

$$V_{W1} = (2,26 - 2,14) \cdot 2,90 \cdot 2,44 + 5,14 = 5,99 \quad \text{dm}^3 \quad 3.85$$

Volumen $V_{W2} \rightarrow$ Wasser in der rechten Kammer

$$V_{W2} = hw' \cdot a \cdot bk_l = 2,26 \cdot 2,90 \cdot 2,44 = 15,99 \quad \text{dm}^3 \quad 3.86$$

Mit der nachstehenden Berechnung wird geprüft, ob die Füllmenge des Wassers mit 22,0 l der Höhe $hw' = 2,26$ dm entspricht und wie viele Basaltporen $\sum V_{ln}$ sich tatsächlich mit Wasser gefüllt haben.

Volumen $\sum V_{ln}$

$$\sum V_{ln} = V_{W1} + V_{W2} = 5,99 + 15,99 = 21,98 \quad \text{dm}^3 \quad 3.87$$

Volumen $\sum V_{lt}$

$$\sum V_{lt} = \sum V_w - \sum V_{ln} = 22,00 - 21,98 = 0,02 \quad \text{dm}^3 \quad 3.88$$

Der Überhang an Porenvolumen $\sum V_{lt} = 0,02$ dm³ kann entweder auf Messungenauigkeiten hinweisen, auf eine Bodenauflockerung beim Abgleiten oder auf ein Porenvolumen V_{lt} , das vom Wasser nicht besetzt werden konnte. Bei der Ermittlung der Eigenschaften des nassen Basaltgruses bleibt das Volumen $\sum V_{lt}$ unberücksichtigt.

Es werden berechnet:

Porenvolumen V_{l}^*

$$V_{l}^* = \sum V_{l57}^* / V_{kn} = 5,14 / 15,15 = 0,339 \quad \text{dm}^3 \quad 3.89$$

Feststoffvolumen V_{f}^*

$$V_{f}^* = V_{p90} - V_{l}^* = 1,00 - 0,339 = 0,661 \quad \text{dm}^3 \quad 3.90$$

Feststoffvolumen $V_{fw} \rightarrow$ unter Auftrieb

$$V_{fw} = 2 \cdot V_{f}^* / 3 = 2 \cdot 0,661 / 3 = 0,441 \quad \text{dm}^3 \quad 3.91$$

Wasservolumen V_w

$$V_w = V_{l}^* / 2 = 0,339 / 2 = 0,170 \quad \text{dm}^3 \quad 3.92$$

Besetztes Porenvolumen $V_{ln} = V_{l}^* \rightarrow$ mit Wasser, beim nassen Boden

$$V_{ln} = V_{l}^* = 0,339 \quad \text{dm}^3 \quad 3.93$$

Fiktives Feststoffvolumen V_{fn}

$$V_{fn} = V_{ln} \cdot p_w / p_{tg90} = 0,339 \cdot 1/3 = 0,113 \quad \text{dm}^3 \quad 3.94$$

Neigungswinkel β_{nw}

$$\tan \beta_{nw} = V_{fw} / (V_{l}^* + V_{fn} - V_w)$$

$$\tan \beta_{nw} = 0,441 / (0,339 + 0,113 - 0,170) = 1,564 \quad 3.95$$

$$\beta_{nw} = 57,4^\circ \quad [-] \quad 3.96$$

Scherwinkel snw

$$\tan snw = (\tan \beta_{nw}) / 2 = 1,564/2 = 0,782 \quad 3.97$$

$$snw = 38,0^\circ \quad [-] \quad 3.98$$

Gewichtsteil des Wassers p_{wg}

$$p_{wg} = V_{ln} \cdot p_w / V_{p90} = 0,339 \cdot 1/1 = 0,339 \quad \text{kg/dm}^3 \quad 3.99$$

Nassdichte p_{nwg}

$$p_{nwg} = V_{fw} \cdot p_{tg90} / V_{p90} + p_{wg}$$

$$p_{nwg} = 0,441 \cdot 3,0/1,0 + 0,339 = 1,662 \quad \text{kg/dm}^3 \quad 3.100$$

Das Volumen $V_{kt} = 16,57 \text{ dm}^3$ (3.71) des trockenen Gruses in Relation zum Volumen $V_{kn} = 15,15 \text{ dm}^3$ (3.83) des nassen Gruses zeigt das Verdichtungsverhältnis an, welches sich durch die Zugabe des Wassers eingestellt hat.

Lagerdichte d_{Bt}

$$d_{Bt} = V_{kt} / V_{kn} = 16,57/15,15 = 1,094 \quad [-] \quad 3.101$$

Verdichtungsfaktor λ in Vol.-%

$$\lambda = (d_{Bt} - 1,0) \cdot 100 = 9,4 \quad \text{Vol.-%} \quad 3.102$$

Nach dem Ziehen der trennenden Glasscheibe rutschte der nasse verdichtete Basaltgrus unter Wasser aus dem linken stehenden Erdkeil in den rechten liegenden Erdkeil und bildete hierbei die Böschungsebene (C-L) aus, siehe Abb. 50.

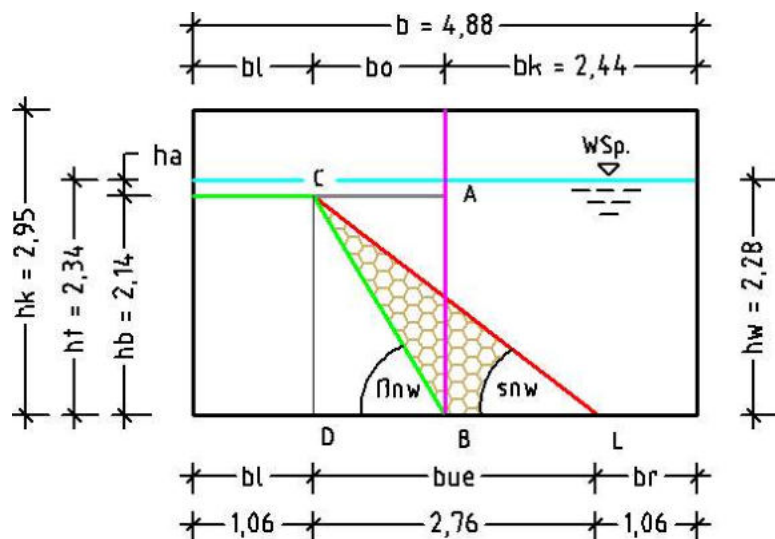


Abb. 50 zeigt den abgeglittenen Erdkeil (C-L-B) und seine Bemaßung.

Darstellung der berechneten Böschungsebene (C-L)

über die zuvor errechneten Bodeneigenschaften:

Breite bo^* → über die Höhe $hb = 2,14 \text{ dm}$ und den Winkel $\beta_{nw} = 57,0^\circ$ (3.96)

$$bo^* = hb / \tan \beta_{nw} = 2,14/1,564 = 1,37 \quad \text{dm} \quad 3.103$$

Breite bue^*

$$bue^* = 2 \cdot bo^* = 2 \cdot 1,37 = 2,74 \quad \text{dm} \quad 3.104$$

Breite bl^*

$$bl^* = (bk_1 - bo^*) = (2,44 - 1,37) = 1,07 \quad \text{dm} \quad 3.105$$

Breite br^*

$$br^* = b - bl^* - bue^* = 4,88 - 1,07 - 2,74 = 1,07 \quad \text{dm} \quad 3.106$$

Ergebnis:

Die gemessenen Höhen wurden in die Berechnung der Bodenwerte übertragen. Im Ergebnis stehen den gemessenen Breiten $bl + bue + br = 1,06 + 2,76 + 1,06 = 4,88$ dm die errechneten Breiten $bl^* + bue^* + br^* = 1,07 + 2,74 + 1,07 = 4,88$ dm gegenüber. Die geringen Abweichungen sind für den Erdbau hinnehmbar. Der Wandel der Eigenschaften des trockenen Basaltgruses hin zu jenen des nassen Basaltgruses unter Wasser lässt sich über die nachstehenden Tabellenwerte verfolgen.

Tabelle

Vor der Wasseraufnahme (trocken)	Nach der Wasseraufnahme (nass)
Feststoffv. $Vf_{57} = 0,604 \text{ dm}^3$ (3.73)	Feststoffv. $Vf^* = 0,661 \text{ dm}^3$ (3.90)
Porenvol. $VI_{57} = 0,396 \text{ dm}^3$ (3.74)	Porenvol. $VI^* = 0,339 \text{ dm}^3$ (3.89)
Volumen $Vkt = 16,57 \text{ dm}^3$ (3.71)	Volumen $Vkn = 15,15 \text{ dm}^3$ (3.83)
Gesamt $\sum Vf_{57} = 10,01 \text{ dm}^3$ (3.79)	Gesamt $\sum Vf^* = 10,01 \text{ dm}^3$ (3.79)
Gesamt $\sum VI_{57} = 6,56 \text{ dm}^3$ (3.80)	Gesamt $\sum VI^* = 5,14 \text{ dm}^3$ (3.84)
Winkel $\beta_{t57} = 56,7^\circ$ (3.76)	Winkel $\beta_{nw} = 57,4^\circ$ (3.96)
Winkel $st_{57} = 37,3^\circ$ (3.78)	Winkel $snw = 38,0^\circ$ (3.98)
Dichte $ptg = 1,811 \text{ kg/dm}^3$ (3.72)	Dichte $pnwg = 1,662 \text{ kg/dm}^3$ (3.100)

Es kann aufgezeigt werden, dass sich die Eigenschaften eines trockenen Bodens bis hin zu einem nassen Boden unter Wasser berechnen lassen.

3.2.3 Berechnung der Eigenschaften feuchter Böden unter Wasser

Als feuchte Böden werden jene betrachtet, deren Struktur eine vollständige Anreicherung der Poren mit Wasser verhindert (Gaseinschluss) oder bei welchen der vorhandene Wasservorrat nicht ausreicht, alle Bodenporen zu füllen. Damit teilt sich das Porenvolumen VI eines feuchten Bodens auf in das von Wasser besetzte Porenvolumen VI_n und in das von Wasser unbesetzte Porenvolumen VI_t . Während bei einem nassen Boden unter Wasser nur 1/3 des Feststoffvolumens Vf dem Auftrieb unterliegt, erhöht das mit Gas angereicherte Porenvolu-

men V_{lt} den Auftrieb erheblich. Wählt man die Volumina des nassen Bodens unter Wasser als Basis, so sind diese zu ergänzen durch die Volumina, welche den Auftrieb und die Teilfüllung der Poren berücksichtigen.

Die Volumina feuchter Böden lassen sich wie folgt berechnen:

Auftriebsvolumen $V_{fa} = (V_f + V_{lt}) / 3$	Porenvolumen $V_{ln} = V_l - V_{lt}$
Feststoffvolumen $V_{fw} = (2 \cdot V_f - V_{lt}) / 3$	Fiktives Feststoffvolumen $V_{fn} = V_{ln} / 6$.

Wie in den vorstehenden Berechnungsansätzen dargestellt, erhöht das von Wasser unbesetzte Porenvolumen V_{lt} den Auftrieb, mindert das Feststoffvolumen V_f und das besetzte Porenvolumen V_{ln} und hebt den Ausdehnungsdrang des Porenwassers $V_{fn} = V_{ln}/6$ weitestgehend auf. Für den feuchten Boden unter Wasser errechnet sich der Tangens des Neigungswinkels β_{iw} über den Ansatz:

$$\tan \beta_{iw} = V_{fw} / (V_l - V_{fn}) \quad \text{oder} \quad \tan \beta_{iw} = V_{fw} / (V_l - V_{ln}/6).$$

Um zu erkunden, wie sich der voll gesättigte Basaltgrus verhält, wenn ihm Wasser entzogen wird, wurde aus dem Glasbehälter das freie Wasser mittels eines Schlauchs $\varnothing_i = 6 \text{ mm}$ entfernt.

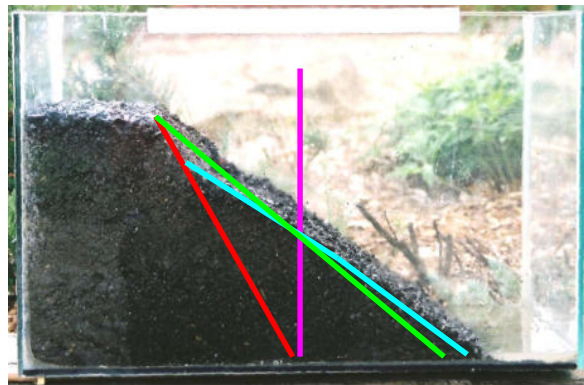


Abb. 51 zeigt die Ausbreitung des Gruses nach dem Absaugen des Wassers.

Während des Wasserentzugs veränderte sich die Scherebene (grün) des Basaltgruses (Abb. 48, S. 74) und nahm teilweise die flachere Scherebene (cyan) des feuchten Bodens über Wasser an (Abb. 43, S. 69). Diese Umformung des Erdkörpers liegt offensichtlich darin begründet, dass dem Basaltgrus der Wasserdruck aus dem freien Wasser entzogen worden ist, siehe Abb. 51.

Zur weiteren Darstellung des Bodenverhaltens feuchter Böden unter Wasser werden ein Berechnungsbeispiel mit Boden und danach ein Experiment mit Basaltgrus unter Wasser ausgeführt und beschrieben.

Für das Berechnungsbeispiel mit Boden werden angesetzt:

Feststoff- $V_{f55} = 0,588 \text{ m}^3$ (3.1)	Poren- $V_{l55} = 0,412 \text{ m}^3$ (3.2)
Winkel $\beta_t = 55,0^\circ$ (3.4)	Dichte $ptg = 1,764 \text{ t/m}^3$ (3.9)
Porenvolumen $V_{lt} = 5,8 \text{ Vol.-%}$ vom Porenvolumen V_{l55} (3.2)	

Unbesetztes Porenvolumen $V_{lt} \rightarrow$ gewählt mit 5,8 Vol.-% von $V_l = 0,412 \text{ m}^3$

$$V_{lt} = V_l \cdot 0,058 = 0,412 \cdot 0,058 = 0,024 \quad \text{m}^3 \quad 3.107$$

Besetztes Porenvolumen V_{ln}

$$V_{ln} = V_l - V_{lt} = 0,412 - 0,024 = 0,388 \quad \text{m}^3 \quad 3.108$$

Volumen des Auftriebs V_{fa}'

$$V_{fa}' = (V_f + V_{lt}) \cdot p_{wg}/p_{tg90} = (0,588 + 0,024)/3 = 0,204 \text{ m}^3 \quad 3.109$$

Feststoffvolumen V_{fw}

$$V_{fw} = (2 \cdot V_f - V_{lt})/3 = (2 \cdot 0,588 - 0,024)/3 = 0,384 \quad \text{m}^3 \quad 3.110$$

Fiktives Feststoffvolumen $V_{fn} \rightarrow V_w = V_{ln}/2$

$$V_{fn} = V_{ln}/3 - V_{ln}/2 = 0,388/6 = 0,065 \quad \text{m}^3 \quad 3.111$$

Neigungswinkel β_{iw}

$$\tan \beta_{iw} = V_{fw} / (V_l - V_{fn}) = 0,384 / (0,412 - 0,065) = 1,107 \quad 3.112$$

$$\beta_{iw} = 47,9^\circ \quad [-] \quad 3.113$$

Scherwinkel s_{iw}

$$\tan s_{iw} = (\tan \beta_{iw}) / 2 = 1,107 / 2 = 0,553 \quad 3.114$$

$$\beta_{iw} = 29,0^\circ \quad [-] \quad 3.115$$

Dichte p_{iwg}

$$p_{iwg} = V_{fw} \cdot p_{tg90}/V_{p90} + V_{ln} \cdot p_w/V_{p90}$$

$$p_{iwg} = 0,384 \cdot 3,0/1,0 + 0,388 \cdot 1,0/1,0 = 1,540 \quad \text{t/m}^3 \quad 3.116$$

Ergebnis:

Die berechneten Volumina/Raumteile werden in der Abb. 52 als Erdwürfel gezeigt und nachstehend in der Abb. 53 als Erdband mit den Erweiterungen des Erdwürfels durch die Volumina V_{ln} und V_w (vor der Normierung).

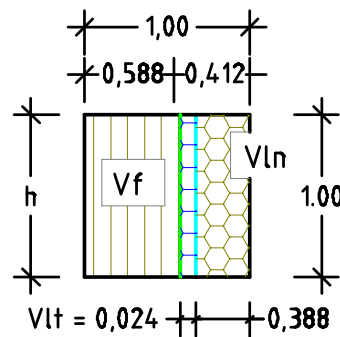


Abb. 52 zeigt die Raumteile eines feuchten Bodens über Wasser.

Die wichtigsten Eigenschaften des feuchten Basaltgruses sind nachstehend dargestellt, siehe auch Abb. 53:

Neigungswinkel β_{iw}	$= 47,9^\circ$	(3.113)
Scherwinkel s_{iw}	$= 29,0^\circ$	(3.115)
Nassdichte ρ_{iwg}	$= 1,540 \text{ t/m}^3$	(3.116)

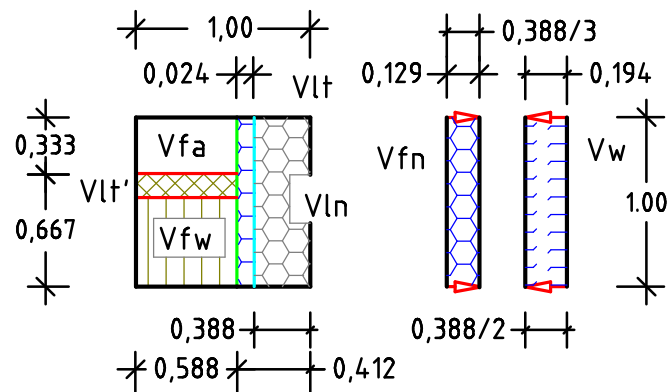


Abb. 53 zeigt den Wandel der Raumteile eines feuchten Bodens über Wasser zu einem feuchten Boden unter Wasser.

3.2.4 Experiment mit feuchtem Basaltgrus unter Wasser, Versuch 8

Das Experiment gehört zur Versuchsreihe 8. Es wurde ausgeführt, um die Richtigkeit der zuvor berechneten Eigenschaften des feuchten Basaltgruses über und unter Wasser zu überprüfen. Um einen feuchten Basaltgrus unter Wasser zu erhalten, wurden nach der Wasserzugabe in den Glaskasten die zunächst erforderlichen Messungen durchgeführt und nach insgesamt ca. 30 Minuten die trennende Glasscheibe gezogen. Mit diesem Vorgehen wurde erreicht, dass sich nicht alle Poren des trockenen Basaltgruses mit Wasser füllen konnten.

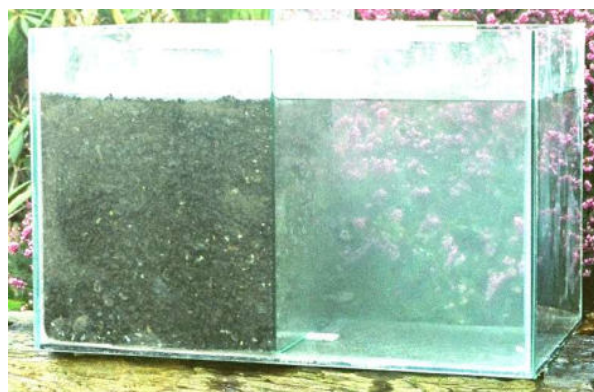


Abb. 54 zeigt die gleiche Füllhöhe hb von Basaltgrus und Wasser vor dem Ziehen der Glasscheibe.

Der trockene Grus 0/3 mm wurde bis zur Füllhöhe $ht = 2,56 \text{ dm}$ in die linke Kammer des Glaskastens eingebaut, die Oberfläche abgeglichen und danach in die rechte Kammer 20 Liter Wasser eingefüllt. Durch die Wasserzugabe ver-

dichtet sich der Basaltgrus bis zu der Höhe $hb = 2,35$ dm und der Wasserspiegel pendelte sich auf die gleiche Höhe $hw = 2,35$ dm ein. Nach dem Ziehen der Scheibe senkte sich der Wasserspiegel um 2 mm, damit Höhe $hw' = 2,33$ dm.

Die Versuchsanordnung basiert auf folgenden Werten:

Basaltgrus $G_t = 33,0$ kg	Einbauhöhe $h_t = 2,56$ dm
Wasser $G_w = 20,0$ kg	Einfüllhöhe $h_w = 2,35$ dm
Gemessene Höhe $h_b = 2,35$ dm, siehe Abb. 53 und 57.	

Zu errechnende Eigenschaften des trockenen Basaltgruses

Volumen $V_{kt} \rightarrow h_t = 2,56$ dm, $A_{k1} = 7,08$ dm² (3.33)

$$V_{kt} = h_t \cdot A_{k1} = 2,56 \cdot 7,08 = 18,12 \quad \text{dm}^3 \quad 3.117$$

Trockendichte ptg

$$ptg = G_t / V_{kt} = 33,0 / 18,12 = 1,821 \quad \text{kg/dm}^3 \quad 3.118$$

Feststoffvolumen $V_{fn} \rightarrow$ Index n kann durch Winkel $\beta_t = 57^\circ$ ersetzt werden.

$$V_{fn} = V_{f90} \cdot ptg / ptg_{90} = 1,0 \cdot 1,821 / 3,0 = 0,607 \quad \text{dm}^3 \quad 3.119$$

Porenvolumen V_{ln}

$$V_{ln} = V_{p90} - V_{fn} = 1,000 - 0,607 = 0,393 \quad \text{dm}^3 \quad 3.120$$

Neigungswinkel β_t

$$\tan \beta_t = V_{fn} / V_{ln} = 0,607 / 0,393 = 1,544 \quad 3.121$$

$$\beta_t = 57,0^\circ \quad [-] \quad 3.122$$

Scherwinkel st

$$\tan st = (\tan \beta_t) / 2 = 1,544 / 2 = 0,772 \quad 3.123$$

$$st = 37,7^\circ \quad [-] \quad 3.124$$

Die Trockenmasse im Glaskasten mit dem Volumen V_{kt} setzt sich zusammen aus dem Feststoffvolumen $\sum V_{f57}$ und dem Porenvolumen $\sum V_{l57}$.

Feststoffvolumen $\sum V_{f57}$

$$\sum V_{f57} = V_{kt} \cdot V_{fn} / V_{p90} = 18,12 \cdot 0,607 / 1,0 = 11,00 \text{ dm}^3 \quad 3.125$$

Porenvolumen $\sum V_{l57}$

$$\sum V_{l57} = V_{kt} \cdot V_{ln} / V_{p90} = 18,12 \cdot 0,393 / 1,0 = 7,12 \text{ dm}^3 \quad 3.126$$

Teilergebnis:

Eigenschaften des trockenen Basaltgruses	
Feststoff- $V_f = 0,607$ dm ³ (3.119)	Volumen $V_{kt} = 18,12$ dm ³ (3.117)
Poren- $V_l = 0,393$ dm ³ (3.120)	Dichte $ptg = 1,821$ kg/dm ³ (3.118)
Gesamt $\sum V_f = 11,00$ dm ³ (3.125)	Winkel $\beta_t = 57,0^\circ$ (3.122)
Gesamt $\sum V_l = 7,12$ dm ³ (3.126)	Winkel $st = 37,7^\circ$ (3.124)

Zu errechnende Eigenschaften des feuchten, verdichteten Basaltgruses

Vorab zu ermitteln ist die Absenkung des Wasserspiegels durch das Ziehen der trennenden Glasscheibe.

Volumen V_g der Glasscheibe mit $b_g = 0,04$ dm und Höhe $h_w = 2,35$ dm

$$V_g = h_w \cdot a \cdot b_g = 2,35 \cdot 2,90 \cdot 0,04 = 0,27 \quad \text{dm}^3 \quad 3.127$$

Höhe h_w'

$$h_w' = h_w - V_g / (a \cdot b) = 2,35 - 0,27 / (2,90 \cdot 4,88) = 2,33 \text{ dm} \quad 3.128$$

Für den verdichteten Basaltgrus unter Wasser bleibt die Höhe $h_b = 2,35$ dm, während sich die Höhe des ursprünglichen Wasserspiegels h_w um die Höhe $h_{oo} = 0,02$ dm auf die Höhe $h_w' = 2,33$ dm reduziert. Ferner wird angenommen, dass sich das Wasser durch die Kapillarwirkung in dem gesamten Porenvolumen $\sum V_l^*$ ausbreiten wird und nicht nur in dem Volumen (V_{w1}) unterhalb des Wasserspiegels.

Volumen $\sum V_{kn} \rightarrow h_b = 2,35$ dm, $A_{k1} = 7,08$ dm² (3.33)

$$\sum V_{kn} = h_b \cdot A_{k1} = 2,35 \cdot 7,08 = 16,64 \quad \text{dm}^3 \quad 3.129$$

Gesamtporenvolumen $\sum V_{l57}^* \rightarrow$ nach der Verdichtung des Gruses

$$\sum V_l^* = V_{w1} = V_{kn} - \sum V_f = 16,64 - 11,00 = 5,64 \quad \text{dm}^3 \quad 3.130$$

Die Verteilung des Wassers lässt sich in der linken Kammer über das Volumen $\sum V_l^*$ des verdichteten Gruses nachvollziehen und in der rechten Kammer über die Grundfläche $A_{k1} = 7,08$ dm² (3.33) und die Höhe des Wasserspiegels h_w' .

Volumen V_{w2}

$$V_{w2} = h_w' \cdot A_{k1} = 2,33 \cdot 7,08 = 16,50 \quad \text{dm}^3 \quad 3.131$$

Nachstehend wird ermittelt, ob die Füllmenge des Wassers der gemessenen Höhe $h_w' = 2,33$ dm entspricht und wie viel Basaltporen $\sum V_{ln}$ sich tatsächlich mit Wasser gefüllt haben.

Volumen $\sum V_{ln}$

$$\sum V_{ln} = \sum V_l^* + V_{w2} = 5,64 + 16,50 = 22,14 \quad \text{dm}^3 \quad 3.132$$

Volumen $\sum V_{lt} \rightarrow$ Wasserzugabe $G_w = 20,00$ kg

$$\sum V_{lt} = \sum V_w - \sum V_{ln} = 20,00 - 22,14 = -2,14 \quad \text{dm}^3 \quad 3.133$$

Zur vollständigen Porenfüllung fehlen 2,14 dm³ Wasser, d. h. der Basaltgrus kann als feucht eingestuft und die Bodeneigenschaften mit den vorstehenden Werten ermittelt werden.

Porenvolumen V_l^*

$$V_l^* = \sum V_l^* / V_{kn} = 5,64 / 16,64 = 0,339 \quad \text{dm}^3 \quad 3.134$$

Feststoffvolumen V_f^*

$$V_f^* = V_{p90} - V_l^* = 1,000 - 0,339 = 0,661 \quad \text{dm}^3 \quad 3.135$$

Porenvolumen $V_{lt} \rightarrow$ ohne Wasser

$$V_{lt} = \sum V_{lt} / V_{kn} = 2,14 / 16,64 = 0,129 \quad \text{dm}^3 \quad 3.136$$

Besetztes Porenvolumen $Vln = VI^* - Vlt \rightarrow$ beim feuchten Boden			
$Vln = VI^* - Vlt = 0,339 - 0,129 = 0,210$	dm^3		3.137
Feststoffvolumen $Vfa \rightarrow$ unter Auftrieb			
$Vfa = (Vf^* + Vlt) / 3 = (0,661 + 0,129) / 3 = 0,263$	dm^3		3.138
Feststoffvolumen $Vfw \rightarrow$ beim feuchten Boden unter Auftrieb			
$Vfw = (2 \cdot Vf^* - Vlt) / 3$			
$Vfw = (2 \cdot 0,661 - 0,129) / 3 = 0,398$	dm^3		3.139
Wasservolumen $Vw \rightarrow Vln/2$			
$Vw = Vln/2 = 0,210 / 2 = 0,105$	dm^3		3.140
Fiktives Feststoffvolumen Vfn			
$Vfn = Vln \cdot p_w / ptg_{90} - Vln / 2$			
$Vfn = 0,210 \cdot 1/3 - 0,210 / 2 = -0,035$	dm^3		3.141
Neigungswinkel $\beta_{iw} \rightarrow$ des feuchten Gruses			
$\tan \beta_{iw} = Vfw / (VI^* - Vfn)$			
$\tan \beta_{iw} = 0,398 / (0,339 - 0,035) = 1,309$			3.142
$\beta_{iw} = 52,6^\circ$	[-]		3.143
Scherwinkel siw			
$\tan siw = (\tan \beta_{iw}) / 2 = 1,309/2 = 0,655$			3.144
$siw = 33,2^\circ$	[-]		3.145
Neigungswinkel $\beta_{nw} \rightarrow$ nasser, verdichteter Grus			
$\tan \beta_{nw} = 2/3 \cdot Vf / (VI \cdot 5/6)$			
$\tan \beta_{nw} = (2/3 \cdot 0,661) / (0,339 \cdot 5/6) = 1,560$			3.146
$\beta_{nw} = 57,3^\circ$	[-]		3.147
Scherwinkel $snw \rightarrow$ nasser, verdichteter Grus			
$\tan snw = (\tan \beta_{nw}) / 2 = 1,560/2 = 0,780$			3.148
$snw = 38,0^\circ$	[-]		3.149
Gewichtsteil des Wassers p_{wg}			
$p_{wg} = Vln \cdot p_w / Vp_{90} = 0,210 \cdot 1,0 / 1,0 = 0,210$	kg/dm^3		3.150
Feuchtdichte p_{iwg}			
$p_{iwg} = Vfw \cdot ptg_{90} / Vp_{90} + p_{wg}$			
$p_{iwg} = 0,398 \cdot 3,0/1,0 + 0,210 = 1,404$	kg/dm^3		3.151
Das Volumen $Vkt = 18,12 \text{ dm}^3$ (3.117) des trockenen Gruses in Relation gesetzt zum Volumen $Vkn = 16,64 \text{ dm}^3$ (3.129) des feuchten verdichteten Gruses zeigt das Verdichtungsverhältnis an, welches die Wasserzugabe bewirkt hat.			
Lagerdichte dBt			
$dBt = Vkt/Vkn = 18,12/16,64 = 1,089$		[-]	3.152
Verdichtungsgrad λ			
$\lambda = (dBt - 1,0) \cdot 100 = 8,9$		Vol.-%	3.153

Die Eigenschaften eines feuchten Basaltgruses unter Wasser sind in der Abb. 55 dargestellt und in der nachstehenden Tabelle zusammengefasst.

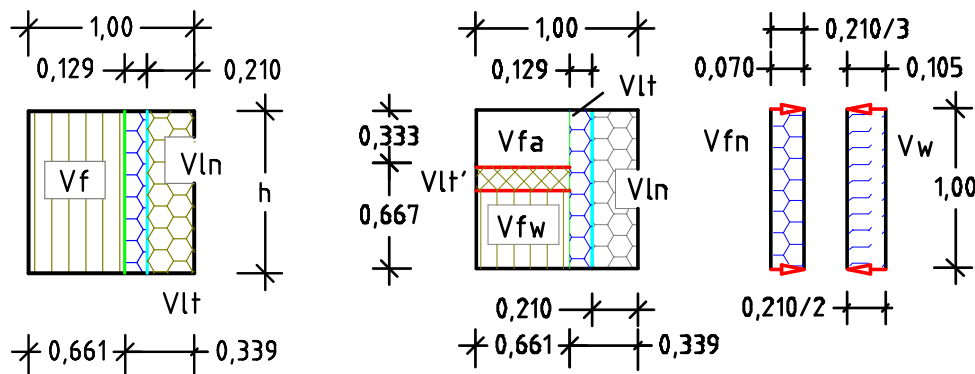


Abb. 55 zeigt die Bildung der Volumina eines feuchten Bodens unter Wasser.

Teilergebnis:

Vor der Wasseraufnahme (trocken)	Nach der Wasseraufnahme (feucht)
Feststoffv. $Vf_{57} = 0,607 \text{ dm}^3$ (3.119)	Feststoffv. $Vf^* = 0,661 \text{ dm}^3$ (3.135)
Porenvol. $Vl_{57} = 0,393 \text{ dm}^3$ (3.120)	Porenvol. $Vl^* = 0,339 \text{ dm}^3$ (3.134)
Volumen $Vkt = 18,12 \text{ dm}^3$ (3.117)	Volumen $Vkn = 16,64 \text{ dm}^3$ (3.129)
Gesamt $\sum Vf_{57} = 11,00 \text{ dm}^3$ (3.125)	Gesamt $\sum Vf^* = 11,00 \text{ dm}^3$ (3.125)
Gesamt $\sum Vl_{57} = 7,12 \text{ dm}^3$ (3.126)	Gesamt $\sum Vl^* = 5,64 \text{ dm}^3$ (3.130)
Winkel $\beta_{t57} = 57,0^\circ$ (3.122)	Winkel $\beta_{iw} = 52,6^\circ$ (3.143)
Winkel $st_{57} = 37,7^\circ$ (3.124)	Winkel $siw = 33,2^\circ$ (3.145)
Dichte $ptg = 1,821 \text{ kg/dm}^3$ (3.118)	Winkel $\beta_{nw} = 57,3^\circ$ (3.147)
Verdichtung $\lambda = 8,9 \text{ Vol.-%}$ (3.153)	Dichte $piwg = 1,404 \text{ kg/dm}^3$ (3.151)

Darstellung der gemessenen Böschungsebene (C–L)

Nach dem Abgleiten des Basaltgruses wurde die Böschungsebene aufgemessen (Abb. 56) und die Maße wurden übertragen in die Abb. 57 auf Seite 87. Gemessen wurden in der Höhe $hb = 2,35 \text{ dm}$ die Breite $bl = 0,38 \text{ dm}$, in der Behältermitte die Höhe $hmu = 0,99 \text{ dm}$, im Abstand der Breite $bru = 0,45 \text{ dm}$ von der rechten Behälterwand die Höhe $hri = 0,31 \text{ dm}$ und an der Behälterwand die Höhe $hs = 0,20 \text{ dm}$. In den Fotos können farbig nachgezogene Ebenen geringfügig infolge der Pixelabstände von den realen Ebenen abweichen. Diese Abweichungen beeinflussen die Auswertung des Experiments jedoch nicht.

Vorab ist über das Gesamtvolumen $Vkn = 16,64 \text{ dm}^3$ (3.129) zu prüfen, ob sich der Basaltgrus beim Abgleiten aufgelockert hat. Eine Auflockerung hat stattgefunden, wenn das Volumen des abgeglittenen Bodens rechts der Achse ungleich ist zu dem Volumen des aufgestauten Bodens links der Achse.

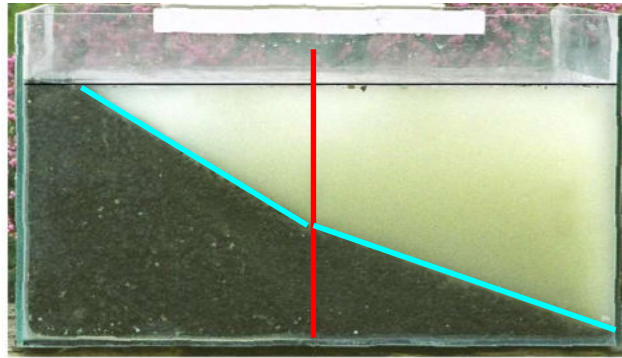


Abb. 56 zeigt die Versuchsanordnung nach dem Ziehen der Glasscheibe.

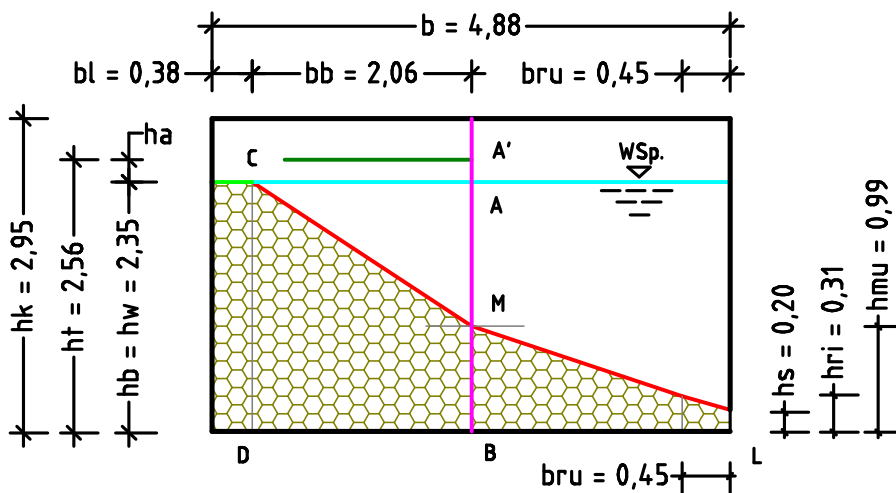


Abb. 57 zeigt die an dem Glaskasten gemessenen Maße.

Fläche Akn' → $Vkn = 16,64 \text{ dm}^3$ (3.129)

$$Akn' = Vkn/a = 16,64/2,90 = 5,74 \quad \text{dm}^2 \quad 3.154$$

Linke Fläche Akn^*

$$Akn^* = bl \cdot hb + (bk_l - bl) \cdot (hb + hmu) / 2$$

$$Akn^* = 0,38 \cdot 2,35 + (2,44 - 0,38) \cdot (2,35 + 0,99) / 2$$

$$Akn^* = 0,89 + 3,44 = 4,33 \quad \text{dm}^2 \quad 3.155$$

In die rechte Kammer sind danach abgeglitten:

$$Akn_l = Akn' - Akn^* = 5,74 - 4,33 = 1,41 \quad \text{dm}^2 \quad 3.156$$

Rechte Fläche Akn_r

$$Akn_r = (bk_l - bru) \cdot (hmu + hru) + bro \cdot (hru + hs) / 2$$

$$Akn_r = (2,44 - 0,45) \cdot (0,99 + 0,31) / 2 \dots$$

$$\dots + 0,45 \cdot (0,31 + 0,20) / 2 = 1,40 \quad \text{dm}^2 \quad 3.157$$

Bei der Fläche $Akn_l = 1,41 \text{ dm}^2$ (3.156) lässt sich nicht abklären, ob die gemessene Breite bl die Abrisskante des Basaltgruses anzeigt oder die Breite eine geringe Materialmenge einschließt, die wegen fehlender Horizontalkräfte in der Fläche der Kraft N_v nicht abgleiten konnte, siehe hierzu Abb. 12, S. 31.

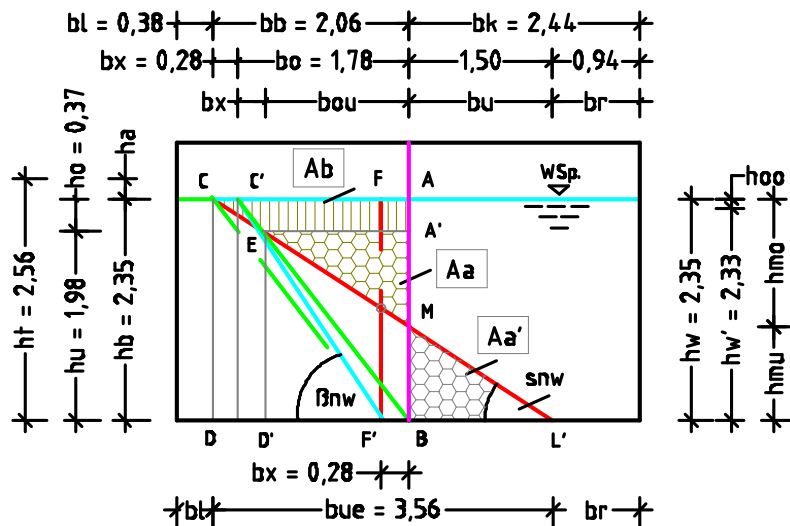


Abb. 58 zeigt in der Fläche *Ab* das unbesetzte Porenvolumen *Aknl* und den hierdurch ausgelösten Versatz der Neigungsebene um die Breite *bx*.

Über die gemessene Breite $bb = bk_1 - bl = 2,44 - 0,38 = 2,06$ dm und die Höhe $hmo = 1,36$ dm werden der Scherwinkel siw^* und mit dem Winkel die weiteren Abmessungen ermittelt.

Scherwinkel $siw^* \rightarrow$ feuchter Grus, über die gemessene Höhe und Breite

$$\tan siw^* = hmo/bb = 1,36/2,06 = 0,660 \quad 3.158$$

$$siw^* = 33,4^\circ \quad [-] \quad 3.159$$

Neigungswinkel β_{iw}^*

$$\tan \beta_{iw}^* = 2 \cdot \tan siw = 2 \cdot 0,660 = 1,320 \quad 3.160$$

$$\beta_{iw}^* = 52,9^\circ \quad [-] \quad 3.161$$

Mit den nachstehenden Abmessungen lässt sich das Bodenverhalten bei dem Abgleiten des Bodens aus dem stehenden in den liegenden Erdkeil ergründen.

Breite *bue*

$$bue = hb / \tan siw^* = 2,35/0,660 = 3,56 \quad \text{dm} \quad 3.162$$

Breite *bo*

$$bo = hp / \tan \beta_{iw}^* = 2,35/1,320 = 1,78 \quad \text{dm} \quad 3.163$$

Breite *bx*

$$bx = bb - bo = 2,06 - 1,78 = 0,28 \quad \text{dm} \quad 3.164$$

Breite *bou*

$$bou = bo - bx = 1,78 - 0,28 = 1,50 \quad \text{dm} \quad 3.165$$

Breite *bu*

$$bu = hmu / \tan siw^* = 0,99/0,660 = 1,50 \quad \text{dm} \quad 3.166$$

Breite *br*

$$br = b - bl - bue = 4,88 - 0,38 - 3,56 = 0,94 \quad \text{dm} \quad 3.167$$

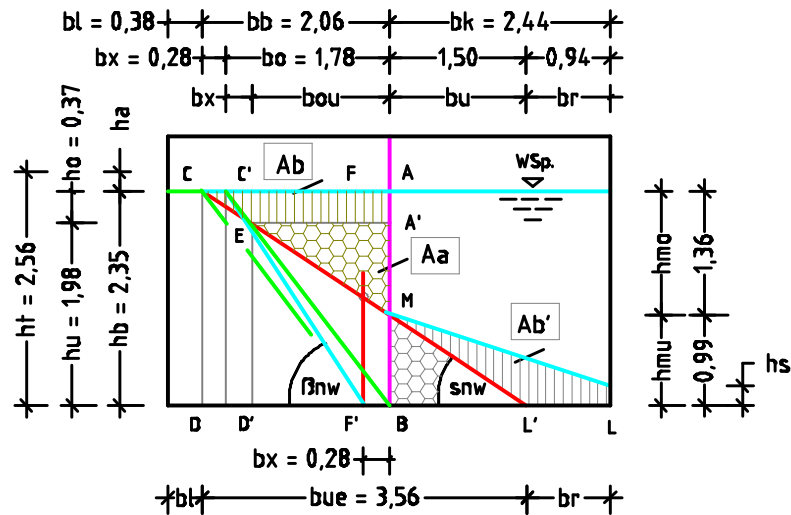


Abb. 59 zeigt die Flächenverteilung nach dem Abgleiten des Bodens (Fläche Ab).

Höhe ho

$$ho = bx \cdot \tan \beta_{iw}^* = 0,28 \cdot 1,320 = 0,37 \quad \text{dm} \quad 3.168$$

Höhe hu

$$hu = bou \cdot \tan \beta_{iw}^* = 1,50 \cdot 1,320 = 1,98 \quad \text{dm} \quad 3.169$$

Fläche Ac

$$Ac = hmo \cdot bb/2 = 1,36 \cdot 2,06/2 = 1,40 \quad \text{dm}^2 \quad 3.170$$

Fläche $Aa = Aa'$

$$Aa = hmu \cdot bu/2 = 0,99 \cdot 1,50/2 = 0,74 \quad \text{dm}^2 \quad 3.171$$

Fläche $Ab = Ab'$

$$Ab = Ac - Aa' = 1,40 - 0,74 = 0,66 \quad \text{dm}^2 \quad 3.172$$

Darstellung der berechneten Böschungsebene (C-L)

Wie zuvor, werden zur grafischen Darstellung der Bodenbewegungen im Glaskasten weitere Abmessungen für den feuchten Boden unter Wasser über die Höhe $hb = 2,35$ dm und die errechneten Winkel $\beta_{iw} = 52,6^\circ$ (3.144) mit $\tan \beta_{iw} = 1,309$ sowie $\sigma_{iw} = 33,2^\circ$ (3.146) mit $\tan \sigma_{iw} = 0,655$ (3.145) ermittelt.

Höhe $ho^* \rightarrow$ Volumen $V_{lt} = 0,129$ dm³ (3.137)

$$ho^* = hb \cdot V_{lt}/V_p = 2,35 \cdot 0,129/1,00 = 0,30 \quad \text{dm} \quad 3.173$$

Höhe hu^*

$$hu^* = hb - ho^* = 2,35 - 0,30 = 2,05 \quad \text{dm} \quad 3.174$$

Breite bo^*

$$bo^* = hb / \tan \beta_{iw} = 2,35/1,309 = 1,80 \quad \text{dm} \quad 3.175$$

Breite bx^*

$$bx^* = ho^* / \tan \beta_{iw} = 0,30/1,309 = 0,23 \quad \text{dm} \quad 3.176$$

Breite bb^*

$$bb^* = bo^* + bx^* = 1,80 + 0,23 = 2,03 \quad \text{dm} \quad 3.177$$

Breite bl^*	$bl^* = bk_l - bb^* = 2,44 - 2,03 = 0,41$	dm	3.178
Breite bue^*	$bue^* = hb / \tan siw = 2,35/0,655 = 3,59$	dm	3.179
Breite bou^*	$bou^* = bo^* - bx^* = 1,80 - 0,23 = 1,57$	dm	3.180
Breite bu^*	$bu^* = bue^* - bo^* = 3,59 - 2,03 = 1,56$	dm	3.181
Breite br^*	$br^* = bk_l - bu^* = 2,44 - 1,56 = 0,88$	dm	3.182
Höhe hmo^*	$hmo^* = bb \cdot \tan siw = 2,03 \cdot 0,665 = 1,35$	dm	3.183
Höhe hmu^*	$hmu^* = hb - hmo^* = 2,35 - 1,35 = 1,00$	dm	3.184
Fläche Ac^*	$Ac^* = bb \cdot hmo^*/2 = 2,03 \cdot 1,35/2 = 1,37$	dm ²	3.185
Fläche Aa^*	$Aa^* = bu^* \cdot (hp - hmo^*) / 2$ $Aa^* = 1,56 \cdot (2,35 - 1,35) / 2 = 0,78$	dm ²	3.186
Fläche Ab^*	$Ab^* = Ac - Aa' = 1,37 - 0,78 = 0,59$	dm ²	3.187

Ergebnis:

Die gemessenen und errechneten Abmessungen des feuchten Basaltgruses unter Wasser werden nachstehend als Tabelle zusammengefasst. Die Aufstellung ist unterteilt in die Maße, die an dem Erdkörper messbar sind, und in jene, die benötigt wurden, um den Umbau der Bodeneigenschaften von einem trockenen in einen feuchten Boden unter Wasser verfolgen zu können. Bei den letztgenannten Maßen zeigen sich geringe Differenzen zwischen den experimentellen Werten und denen, die über die Volumina des Basaltgruses errechnet worden sind. Die Abweichungen lassen sich möglicherweise begründen mit der Vorgehensweise, einen trockenen Grus ohne vorhergehende Mischung über die bloße Wasserzugabe in einem feuchten Boden umwandeln zu wollen. Die geringen Ungenauigkeiten bei den Berechnungen wären ggf. auch bei einer vorhergehenden Mischung von Grus und Wasser aufgetreten, weil durch das Einfüllen des Wassers in die rechte Kammer eine weitere Wasseranreicherung des feuchten Basaltgruses möglich war. Letztlich zeigt auch dieses Experiment, dass sich das Verhalten eines feuchten Bodens unter Wasser über seine Raum- und Gewichtsteile ermitteln lässt.

Auflistung der Ergebnisse:

Maße am Glaskasten gemessen	Maße errechnet
Breite $bl = 0,39$ dm	Breite $bl^* = 0,41$ dm (3.178)
Breite $bo = 1,78$ dm (3.164)	Breite $bo^* = 1,80$ dm (3.175)
Höhe $hmo = 1,36$ dm	Höhe $hmo = 1,35$ dm (3.182)
Maße innerhalb des Erdkörpers	Maße innerhalb des Erdkörpers
Höhe $ho = 0,37$ dm (3.169)	Höhe $ho^* = 0,30$ dm (3.173)
Breite $bx = 0,28$ dm (3.165)	Breite $bx^* = 0,23$ dm (3.176)
Breite $bb = 2,05$ dm	Breite $bb^* = 2,03$ dm (3.177)
Breite $bue = 3,56$ dm (3.163)	Breite $bue^* = 3,59$ dm (3.179)
Breite $bou = 1,50$ dm (3.166)	Breite $bou^* = 1,57$ dm (3.180)
Breite $bu = 1,50$ dm (3.167)	Breite $bu^* = 1,56$ dm (3.181)
Breite $br = 0,94$ dm (3.168)	Breite $br^* = 0,88$ dm (3.182)
Fläche $Ac = 1,40$ dm ² (3.170)	Fläche $Ac^* = 1,37$ dm ² (3.184)
Fläche $Aa = 0,74$ dm ² (3.171)	Fläche $Aa^* = 0,78$ dm ² (3.185)
Fläche $Ab = 0,66$ dm ² (3.172)	Fläche $Ab^* = 0,59$ dm ² (3.186)

3.3 Bodenkenngrößen in tabellarischer Zusammenfassung

Um den zuvor geschilderten Wandel der Bodenkenngrößen trockener, nasser und nasser Boden unter Wasser besser verfolgen zu können, wurde eine Tabelle erstellt. Die Berechnungsergebnisse für den Boden mit dem Neigungswinkel $\beta t = 45^\circ$ sind rot markiert. Siehe beigefügte Anlage 1, S. 247.

Spalte 1 der Tabelle beinhaltet die unterschiedlichen Bodenarten mit der herkömmlichen Bezeichnung, wobei unterhalb der Bodenbezeichnung ‚Löß, wässrig‘ mehrfach ‚Urstaub unter Wasser‘ aufgeführt wurde. Die Mehrfachnennung wird genutzt, um dem Boden-Wasser-Gemisch unterschiedliche Feststoffanteile V_f zuzuordnen zu können.

Spalte 2: In ihr sind den Bodenarten die Neigungswinkel βt zugeordnet.

Spalte 3: Hier steht der Tangens des Neigungswinkels βt .

Spalten 4 und 5: Sie beinhalten die Scherwinkel st und den jeweiligen Tangens.

Spalten 6 und 7: Sie zeigen die Höhe und Breite des Erdwürfels unter Berücksichtigung der Berechnungstiefe $a = 1,00$ m.

Spalte 8: Hier ist die Breite Δb eingefügt, über welche mit der Berechnungstiefe $a = 1,00$ m die Volumenmehrung ΔV errechnet wird (Spalte 10).

Spalte 9: Das Anfangsvolumen $V_o = 1,00$ m³ plus Volumen ΔV ergibt das Gesamtvolumen V_p (Spalte 11).

Spalten 12 und 13: Sie beinhalten die Feststoff- und Porenvolumina (V_f und V_l) der jeweiligen Bodenart.

Spalten 14 bis 18: In ihnen sind die Gewichtsteile der Böden und darüber ihre Berechnungsansätze aufgeführt.

Spalten 19 bis 24: Hier sind den Bodenarten die Winkel nasser Böden und nasser Böden unter Wasser zugeordnet.

Spalte 25: Sie beinhaltet die Fallbeschleunigung g .

In ähnlicher Weise, wie die Tabelle der Anlage 1, soll die nachstehende grafische Darstellung der Kräfte trockener und nasser Böden helfen, die Veränderungen der Kräfte innerhalb trockener Böden durch die Wasseraufnahme nachvollziehbar zu gestalten. Für den Aufbau der Grafik (Abb. 60, S. 93) sind aus den Tabellen der beigefügten Anlagen 2 und 3 die errechneten Werte der Bodenarten mit den Neigungswinkeln βt (75° , 65° , 55° bis 5°) entnommen und alle übrigen Werte über den jeweiligen Neigungswinkel βt bzw. βt der Bodenart errechnet worden, siehe Anlagen, S. 247ff.

Auf der Ordinatenachse wurden die Wandhöhe $h = 10,00$ m und die Angriffshöhen h_v des Erddrucks aufgetragen. Die horizontale Kraft H_f und ihr Kraftmeter hf wurden in die Abszissenachse gelegt. Das Höhe/Kraft-Verhältnis wurde mit $1 : 50$ gewählt. Die Verbindung der aufgetragenen Erddruckkräfte H_f der trockenen Böden lässt die rote Kurve entstehen und die blaue Kurve zeigt die Erddruckkräfte des nassen Bodens an. Empirische Beiwerte oder angenommene Bodendichten benötigt dieses Berechnungsverfahren nicht.

Der aufgezeigte Unterschied zwischen den Erddruckkräften trockener und nasser Böden verdeutlicht, dass der Wassergehalt eines Bodens ausschlaggebend ist bei der Winkel- und Dichtebestimmung von Böden. Um verlässliche Werte für eine Erddruckberechnung zu erhalten, würde es ausreichen, im Baufeld ungestörte Bodenproben zu nehmen und deren Wassergehalt und die Trockendichte zu bestimmen. Über diese beiden Faktoren lassen sich alle weiteren Eigenschaften des Bodens und ggf. Eingriffe in die Eigenschaften nachvollziehen, welche aus Verdichtung, Belastung, Überbelastung u. a. der Böden entstehen können.

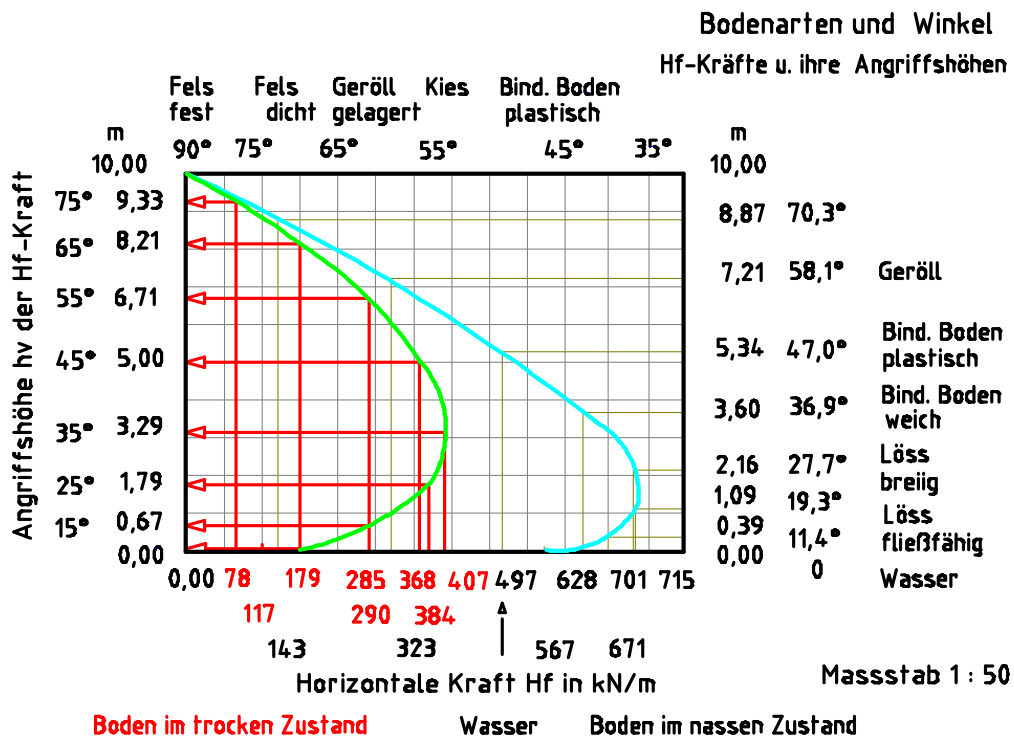


Abb. 60 zeigt bei einer Wandhöhe $h = 10,0$ m die Erddruckkräfte gleicher Bodenarten im trockenen Zustand (rot) und im nassen Zustand (cyan).

3.4 Fazit zum Kapitel 3

Das Mehrphasensystem der Festkörperphysik mit dem Feststoffvolumen V_f (feste Phase), dem Porenvolumen V_l (gasförmige Phase) und dem Wasservolumen V_n (flüssige Phase) wird derzeit genutzt, um die Volumina einer Bodenart grafisch darzustellen. Der Verfasser hat Verhältnisgrößen mit der Felsdichte $\rho_{t90} = 3,00 \text{ t/m}^3$ und der Reibungszahl $\mu = \tan \beta t = 100$ für den idealisierten porenlosen Granit gewählt, über die sich die Raum- und Gewichtsteile aller Bodenarten errechnen lassen. Hierbei zeigte sich, dass bei trockenen Böden die Reibungszahl μ der inneren Reibung und der Tangens des Neigungswinkels βt dem Proportionalitätsfaktor V_f/V_l entsprechen. Mit dieser Erkenntnis konnte ein Ordnungssystem frei von empirischen Beiwerten aufgebaut werden, in das sich alle Bodenarten vom angewitterten Felsgestein bis hin zum ‚Urstaub‘ stufenlos über den Neigungswinkel von $\beta = 89,4^\circ$ bis $0,6^\circ$ einfügen lassen. Mit dem Porenvolumen V_l des Bodens als Wasserreservoir entstand eine weitere Ordnung, die es erlaubt, zwischen den Polen ‚trockener Boden‘ und ‚nasser Boden‘ feuchte Böden entsprechend ihrem Wassergehalt einzugliedern. Während sich bei einem nassen Boden alle Poren vollständig mit Wasser füllen, verhindert bei einem feuchten Boden entweder das Korngefüge des Bo-

dens oder der Wassermangel im Umfeld des Bodens eine völlige Wasseraufnahme. Folglich entspricht bei einem nassen Boden das Porenvolumen V_l dem vom Wasser besetzten Volumen V_{ln} , während sich beim feuchten Boden das Porenvolumen unterteilt in das vom Wasser unbesetzte Volumen V_{lt} und in das vom Wasser besetzte Volumen $V_{ln} = V_l - V_{lt}$. Die Unterteilung des Porenvolumens unterstützt die Winkelberechnung und die Ermittlung der Bodendichten, wie sie in den einzelnen Unterkapiteln dargestellt worden ist.

Die Vielzahl der durchgeführten Versuchsanordnungen im Glaskasten mit feuchten (teilgesättigten) und nassen Böden (vollgesättigten) und mit Böden unter Wasser haben zudem erkennen lassen, dass:

- sich das Bodenvolumen reduziert, wenn trockener Boden lose in einen Behälter eingefüllt und Wasser zugegeben wird;
- das Bodenvolumen konstant bleibt, wenn ein durch Wasser verdichteter trockener Boden wieder getrocknet und danach abermals unter Wasser gesetzt wird, d. h. Böden in freier Natur, die wiederholt dem Grundwasser ausgesetzt sind, werden ihr Volumen nicht mehr reduzieren;
- das Bodenverhalten berechenbar ist und ein nasser Boden unter Wasser geringere Horizontalkräfte aufbaut als ein feuchter Boden unter Wasser;
- ein Boden, der auf einer geneigten Felsschicht lagert, seinen Scherwinkel beim Abgleiten der Erdmasse auf eine horizontale Ebene nicht wandelt. Diese Feststellung ändert sich, wenn Auflasten auf den Boden aufgetragen werden, deren vertikale Kräfte sich bis zum Erreichen der Felsschicht nicht vollständig abbauen und somit in horizontale Kräfte übergehen.

4 Bodenverhalten und Kraftaufbau nach neuer Sicht

In Kapitel 2 wurde gezeigt, dass die Erddruck-Lehre das Mohr-Coulomb'sche Bruchkriterium für die Ermittlung von Erdspannungen fördert. Sie gibt vor, dass dieses Verfahren konform sei mit der Coulomb'schen Erddruck-Lehre, der Mohr'schen Spannungstheorie und den Regeln der physikalischen Ebene. Dieser dargestellten Analogie zwischen den Berechnungsverfahren wurde nachgegangen mit dem Ergebnis, dass für den Verfasser eine theoriekonforme Verbindung zwischen dem Bruchkriterium und den anderen Regelwerken nicht erkennbar ist. Des Weiteren stützt sich die Lehre auf empirisch ermittelte Bodenkenngrößen, die, wie das Mohr-Coulomb'sche Bruchkriterium, zu ungenauen Erddruckermittlungen und damit zu Bauschäden führen können. Im Rahmen der vorstehenden Erörterung wurden die Grundlagen der neuen Erddruck-Theorie vorgestellt, die der Erddruck-Lehre von Coulomb folgen.

Bei der Erddruckermittlung nach neuer Art wird gänzlich auf empirische Werte verzichtet und stattdessen die Bodeneigenschaften über die ‚Raum- und Gewichtsteilen von Böden‘ ermittelt. Nach diesem Verfahren lassen sich die Bodenkennziffern, Dichten und Winkel aller Bodenarten im trockenen, feuchten und nassen Zustand über und unter Wasser errechnen. Dieses Berechnungssystem wird als eine Erweiterung des Mehrphasensystems der Festkörperphysik vorgestellt, siehe Kapitel 3.

Zur Vertiefung der neuen Erddruck-Theorie folgen Anwendungsbeispiele, die teilweise durch Experimente begleitet werden. Gewählt für die Versuchsanordnungen wurden unterschiedliche Bodenarten, um damit auch auf die Übereinstimmung der gemessenen und errechneten Bodenkenngrößen hinweisen zu können.

4.1 Allgemeines zu der neuen Erddruck-Theorie

Die neue Erddruck-Theorie folgt den Grundlagen der Physik und stützt sich auf das Verhalten der Böden in freier Natur. Zudem wurde erkannt, dass sich alle Bodenarten entsprechend ihrem Neigungswinkel $\beta = 89,4^\circ$ bis $\beta = 0,6^\circ$ in den ‚Halbkreis der Bodenarten‘ stufenlos einordnen lassen (Abb. 33). Auf die bisherige Unterteilung der Böden nach ihren magmatischen, metamorphen oder sedimentären Ursprungsgesteinen kann ebenso verzichtet werden wie auf die Einteilung nichtbindige und bindige Böden. Die Berechnung der Bodenkenngrößen macht es zudem möglich, die Belastbarkeit von Böden zu ermitteln.

4.2 Ableitung der Belastbarkeit von Böden – Erdwiderstand –

Die Ermittlung der Belastbarkeit/Tragfähigkeit von Böden wird analog zur Berechnung der Bodeneigenschaften über das fiktive, spannungsfreie und trockene Felsgestein mit der Dichte $\rho_{\text{Fels}} = 3,00 \text{ t/m}^3$ geführt. Anstatt des Würfels wird hier als Basis eine quadratische Felssäule mit der Höhe $h^* = 100 \text{ m}$, der ‚Aufstandsfläche‘ $A_d = b \cdot a = 1,00 \text{ m}^2$ und dem Volumen $V^* = 100 \text{ m}^3$ gewählt. Die Steinsäule erzeugt auf ein Felsmassiv gestellt über die Gewichtskraft G in der Aufstandsfläche A_d die zulässige Pressung σ_{Dzul}

$$\sigma_{Dzul} = G/A_d \quad \text{in kN/m}^2.$$

Der Berechnungsansatz zur Ermittlung von σ_{Dzul} bliebe unverändert, wenn man anstatt der Felssäule eine Erdsäule auf die Geländeebene auftragen würde. Lediglich die geringere Dichte des Bodens würde zur Reduzierung der Gewichtskraft G und damit zu einer geringeren Pressung führen. Da der Boden – im Gegensatz zum Fels – seine äußere Form aufgeben und sich nach allen Seiten unter dem Scherwinkel ausbreiten kann, wird sich mit zunehmender Breite die Säulenhöhe reduzieren.

Würde man unterhalb der Geländeoberfläche in das anstehende Erdreich eine Aussparung fertigen und eine gleichgroße Felssäule einfügen können, so würde der die Säule umgebende Boden horizontale Kräfte entwickeln und die Säule fest in dem Boden einspannen. Die Situation würde sich ändern, wenn anstatt der Felssäule eine Erdsäule in das Erdreich eingesetzt werden könnte. Der Boden der Säule würde seine Fähigkeit nutzen und horizontale Kräfte gegen das anstehende Erdreich entwickeln. In gleicher Weise würde das anstehende Erdreich horizontale Kräfte gegen die Erdsäule ausbilden und damit einen Ausgleich zwischen den aufgezeigten entgegengerichteten Kräften herstellen. Wie ausgeführt, entstehen horizontale Kräfte dadurch, dass vertikale Kräfte aus Erd Eigengewicht und Gravitation, über die Neigungsebenen der Böden in horizontale Kräfte umgewandelt werden. Dieses Kräftespiel hält das Gleichgewicht in dem Erdreich.

Geht man bei der Belastbarkeit von Böden davon aus, dass eine Erdsäule, die auf eine Geländeoberfläche gestellt wird, ihre Form nicht verändern kann, so wird unterhalb der Geländeoberfläche, bei ansonsten gleichen Bedingungen, nur eine gleich hohe Säule die Auflast übernehmen können. Gibt man anschließend der unteren Säule die Möglichkeit, ihre Last über eine einseitige

Kraftableitung abzutragen, so wird sich zunächst eine diagonal verlaufende Neigungsebene in der Säule einstellen. Diese unterteilt die Ansichtsfläche $A = V^*/a$ der Säule in eine aktive und eine reaktive Keilfläche, so dass jede dieser Flächen die gleiche Größe $Aa = Ar = A/2$ einnimmt. In der Abb. 61 wird eine Felssäule gezeigt mit der Höhe $hx = 100$ m, der Breite $bx = 1,00$ m und der Berechnungstiefe $a = 1,00$ m.

Wählt man anstatt der Felssäule eine Erdsäule gleichen Inhalts und lässt bei dem Lastabtrag eine einseitige Kraftausbreitung zu, so wird sich die Breite bx zu der Breite b wandeln und die Höhe $hx = 100$ m sich über den Neigungswinkel der Bodenart reduzieren zu der Höhe h , siehe Abb. 62 und 63.

Die Abmessungen der neuen Kraftfläche errechnen sich:

$$\text{Höhe } h = \sqrt{(A \cdot \tan \beta)} \quad \text{und} \quad \text{Breite } b = \sqrt{(A / \tan \beta)}.$$

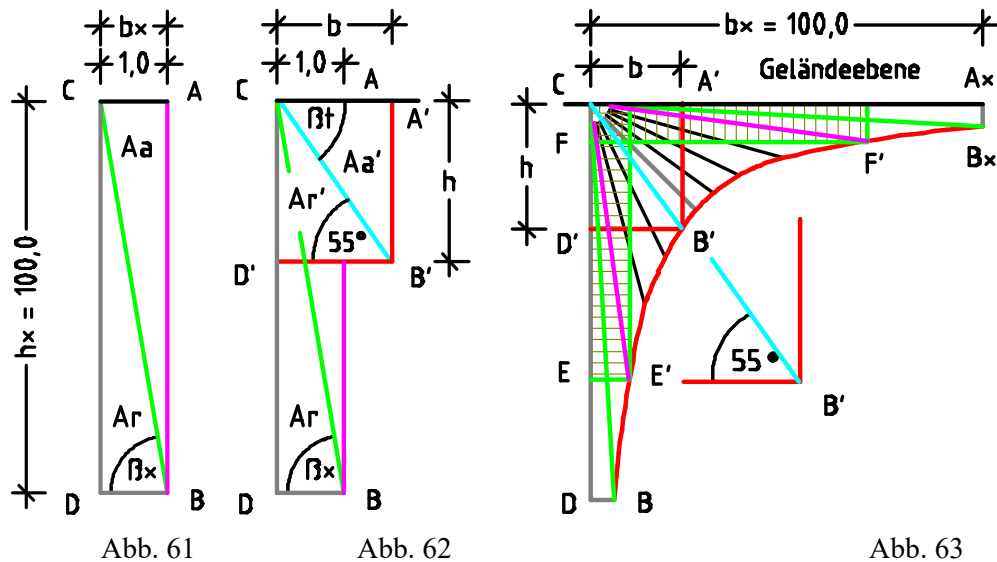


Abb. 61 zeigt die Felssäule mit der Höhe h^* , der Breite b^* und der Neigungsebene.

Abb. 62 zeigt die Umwandlung der Lastfläche A in die Kraftflächen Aa' und Ar' .

Abb. 63 zeigt den Wandel der stehenden Felssäule in die Säulen der Bodenarten.

Die beiden Keilflächen Aa' und Ar' bilden gegenläufig Horizontalkräfte aus, die nach dem Grundsatz *actio = reactio* das Gleichgewicht in dem Fels- bzw. Erdblock halten. In der Abb. 62 wird eine einseitige Kraftausbreitung dargestellt innerhalb des harten Felsgesteins mit dem Neigungswinkel $\beta = 89,4^\circ \rightarrow \mu = 100$ und innerhalb des Bodens mit dem Neigungswinkel $\beta = 55,0^\circ$. In der Abb. 63 wird der Wandel gezeigt, der eine vertikale Steinsäule über die Neigungswinkel der unterschiedlichen Bodenarten zu einer liegenden Säule des Urstaubs mit dem Neigungswinkel $\beta = 0,6^\circ$ werden lässt.

In gleicher Weise, wie der Ansatz des Neigungswinkels die Höhe h der Erdsäule zugunsten ihrer Breite b reduziert, so nimmt auf den Quadratmeter bezogen die Gewichtskraft und damit auch die zulässige Pressung $\sigma_{Dzul} = G/Ad$ ab. Schiebt man die Auflast, die über den Neigungswinkel auf die Breite b verteilt worden ist, wieder auf das Quadrat mit der Breite $b^* = 1,00$ m zusammen, so stellt sich die ursprüngliche Last der 100 m hohen Erdsäule über dem Quadrat wieder ein. Für die Berechnung der zulässigen Pressung σ_{Dzul} wird die Bodenart mit dem Neigungswinkel $\beta = 55,0^\circ$ gewählt. Ihre Bodenkenngrößen wurden bereits ermittelt (S. 60 und werden hierher übertragen:

$Vf_{55} = 0,588 \text{ m}^3$ (3.1)	$Vl_{55} = 0,412 \text{ m}^3$ (3.2)
Winkel $\beta = 55,0^\circ$ (3.4)	Dichte $\rho_{t55} = 1,764 \text{ t/m}^3$ (3.9)
Fläche $A = 100 \text{ m}^2$	Fläche $Ad = 1,00 \text{ m}^2$

Es werden berechnet:

Höhe h

$$h = \sqrt{A \cdot \tan \beta} = \sqrt{100 \cdot 1,428} = 11,95 \quad \text{m} \quad 4.1$$

Breite b

$$b = \sqrt{A / \tan \beta} = \sqrt{100 / 1,428} = 8,37 \quad \text{m} \quad 4.2$$

Volumen Vt_{55}

$$Vt_{55} = Ad \cdot h = 1,00 \cdot 11,95 = 11,95 \quad \text{m}^3 \quad 4.3$$

Gewichtskraft $Gt \rightarrow$ mit $g = 9,807 \text{ m/s}^2$

$$Gt = Vt_{55} \cdot \rho_{t55} \cdot g = 11,95 \cdot 1,764 \cdot 9,807 = 206,7 \quad \text{kN} \quad 4.4$$

Bodenpressung σ_{Dzul}

$$\sigma_{Dzul} = Gt/Ad = 206,7/1,00 = 206,7 \quad \text{kN/m}^2 \quad 4.5$$

Ergebnis:

Mit dem Berechnungsbeispiel wird auch gezeigt, dass nach neuer Erddruck-Theorie für jede Bodenart die zulässige Bodenpressung $\sigma_{Dzul} = 206,7 \text{ kN/m}^2$ (4.5) über den Neigungswinkel $\beta = 55^\circ$, die Säulenhöhe $h = 11,95 \text{ m}$ (4.1) und die Trockendichte $\rho_{t55} = 1,764 \text{ t/m}^3$ (3.9) exakt errechnet werden kann. In Gegensatz dazu verwendet die DIN 1054 ‚Zulässige Belastung des Baugrundes‘ für die Bodenpressung empirische Werte, welche den einzelnen Böden über die Konsistenz steif, halbfest und fest zuzuordnen sind. Ein direkter Vergleich der errechneten zulässigen Bodenpressung mit den entsprechenden Tabellenwerten der DIN lässt sich somit nicht durchführen [vgl. 1: S. K.4]. Insbesondere fehlen in der DIN die Angaben zu dem Neigungswinkel des Bodens, der Bodendichte und des Wassergehalts in dem Boden.

4.2.1 Belastbarkeit von Böden bei einseitiger Kraftausbreitung

Nach der Berechnung der zulässigen Tragfähigkeit von Böden wird der Kraftverteilung im Boden nachgegangen, die durch das Aufbringen von Lasten oder Kräften auf die Geländeoberfläche entstehen. Zum vereinfachten Nachvollziehen der Kraftverteilung im Erdreich wird wieder nur eine einseitige Kraftausbreitung im Boden zugelassen. Als Auflast auf die Geländeoberfläche wird die zuvor ermittelte Erdsäule gestellt, mit der Höhe $h = 11,95 \text{ m}$ (4.1), der Breite $b^* = 1,00 \text{ m}$, der quadratischen Aufstandsfläche $Ad = 1,00 \text{ m}^2$ und der Kraft $Gt = 206,7 \text{ kN}$ (4.4), siehe nachstehende Abb. 64.

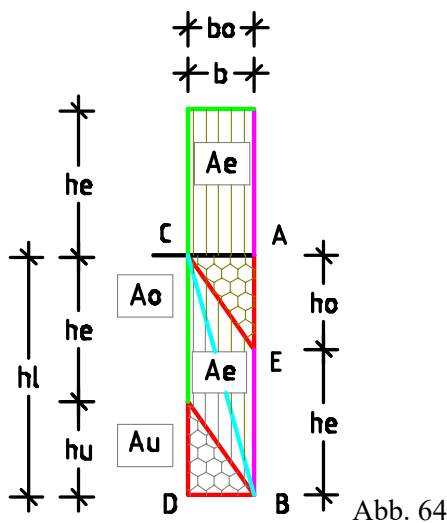


Abb. 64

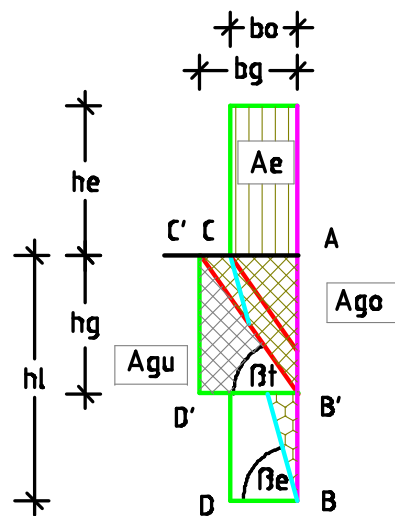


Abb. 65

Abb. 64 zeigt unterhalb der Geländeoberfläche die Auflastfläche Ae , die Flächen des Erdeigengewichtes Ao und Au sowie die Säulenhöhe hl .

Abb. 65 zeigt bei einseitiger Kraftausbreitung den Umbau der Kraftflächen Ae , Ao und Au in die Flächen Aae und Agu mit der Höhe hg .

Um Begriffsverwechslungen zwischen den Begriffen zur Ermittlung der Bodenpressung und zur Darstellung des Kraftabtrags im Erdreich zu vermeiden, werden die Höhe h zur Lasthöhe he , die Breite b^* zur Fundamentbreite bf und die Gewichtskraft Gt zu Ge umbenannt. Dem Erdeigengewicht unterhalb der Auflastfläche Ad wird das Volumen V mit der Tiefe a , der Breite bo bzw. bu und der Höhe ho zugeordnet. Die Neigungsebene teilt das Volumen V in das aktive Volumen Vo und in das reaktive Volumen Vu . Die Volumina Vo und Vu lassen durch die Berechnungstiefe $a = 1,00 \text{ m}$ dividiert die Ansichtsflächen $Ao = Au = V/a$ entstehen. Addiert man die Flächen Ao , Au und Ae , so bildet sich unterhalb der Aufstandsfläche $Ad = 1,00 \text{ m}^2$ eine quadratische Erdsäule mit der Höhe $hl = ho + he$ (Abb. 64 und 65).

Setzt man für die Bodenart mit der Dichte $\rho_{tg55} = 1,764 \text{ t/m}^3$ (3.9) die maximale Erdlast mit der Höhe $h_e = h = 11,95 \text{ m}$ (4.1) an, so bildet sich unterhalb der Aufstandsfläche Ad eine Erdsäule aus. Setzt man als Berechnungstiefe $a = 1,00 \text{ m}$ an, so können der Fläche Ae die Gewichtskraft und den Flächen Ao und Au das Erdeigengewicht zugeordnet werden. Da sich die zulässige Bodenpressung in der Aufstandsfläche einstellt, ist das Fundamenteigengewicht Gf von der zulässigen Gewichtskraft Ge der Auflast in Abzug zu bringen. Als Nutzlast verbleibt $Ee = (Ge - Gf) / g$. Durch die Auflast vergrößert sich die lastabtragende Kraftfläche im anstehenden Erdreich. Sie ist aufzuteilen in die aktive $Ago = Ao + Ae/2$ und in die reaktive Kraftfläche $Agu = Au + Ae/2$. Durch die horizontale Ausdehnung der Kraftfläche unter dem natürlichen Neigungswinkel β_t wird die Breite b^* zur Breite bg und die Höhe hl zur Höhe hg . Der Flächeninhalt bleibt unverändert, siehe Abb. 65.

4.2.2 Belastbarkeit von Böden bei mehrseitiger Kraftausbreitung

Wird für den Kraftabbau im Erdreich mehr als nur eine Krafrichtung zugelassen, so ist auch hier die Gewichtskraft Ge über die zulässige Pressung σ_{Dzul} des belasteten Bodens multipliziert mit der Aufstandsfläche Ad zu ermitteln.

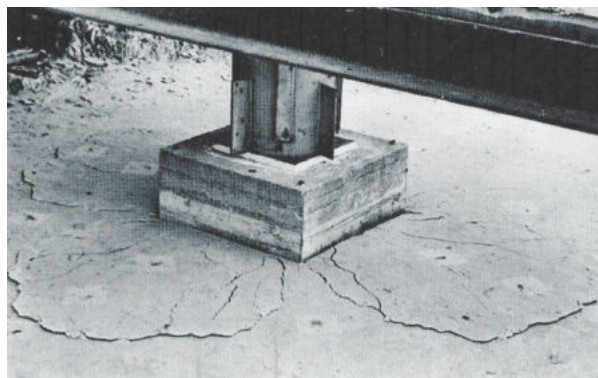


Abb. 66 zeigt die sichtbaren Spuren einer allseitigen Kraftausbreitung im Erdreich nach dem Belastungsversuch der Degebo [A].

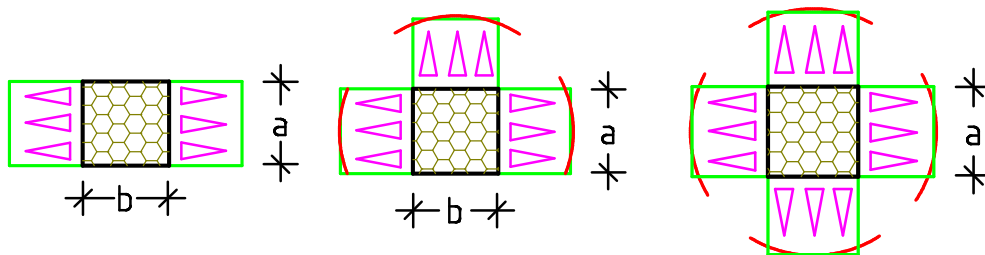


Abb. 67 zeigt eine zwei-seitige Kraftausbreitung.

Abb. 68 zeigt eine dreiseitige Kraftausbreitung.

Abb. 69 zeigt eine allsei-tige Kraftausbreitung.

Die Anzahl der zugelassenen Krafrichtungen ist nicht frei wählbar, sondern wird von den örtlichen Gegebenheiten vorgegeben. Wände oder zu geringe Fundamentabstände können die Kraftausbreitung und damit auch den Kraftabbau im Erdreich einschränken und zur Minderung der Tragfähigkeit des Bodens führen. Die Draufsichten mehrseitiger Kraftausbreitungen in Erdreich sind dargestellt in den Abb. 67 bis 69.

Werden Nutzlasten Ee oder Gewichtskräfte Ge zum Abtrag in den anstehenden Baugrund genannt, sind diese in fiktive Erdkörper über die Dichte des belasteten Bodens umzurechnen und ihre Volumina in die weiteren Kraftermittlungen aufzunehmen. Für die Umrechnung ist die Trockendichte ρ_{tg} des belasteten Bodens zu wählen, weil bei feuchten oder nassen Böden das aufgenommene Porenwasser zwar die Bodendichte erhöht, aber unter Druck ausweicht. Wasser ist somit für einen Kraftabtrag ungeeignet. Im Erdreich übernimmt jede Krafrichtung mit ihrem Volumen $V = a \cdot b \cdot h$ den Kraftabbau. Bei einem quadratischen Einzelfundament mit vierseitiger Kraftabstrahlung könnte, ausgehend von dem Beispiel mit der Trockendichte $\rho_{tg55} = 1,764 \text{ t/m}^3$ (3.9), der Höhe $h = 11,95 \text{ m}$ (4.1) und der Breite $b = 8,37 \text{ m}$ (4.2), die maximale Aufstandsfläche $Ad = 4 \cdot 8,37 = 33,48 \text{ m}^2$ oder die Seitenlänge $bf = \sqrt{Ad/a} = \sqrt{(33,48/1,0)} = 5,78 \text{ m}$ zugelassen werden. Multipliziert man die Fläche $Ad = 33,48 \text{ m}^2$ mit der zulässigen Höhe $h = 11,95 \text{ m}$ (4.1), so ergibt dies für jede der vier Erdsäulen wieder das Volumen $V^* = 100 \text{ m}^3$. Mit jeder Überschreitung der maximalen Flächengröße Ad nimmt die Tragfähigkeit des Bodens ab. Um die Ausgewogenheit der Kräfte im Erdreich zu erhalten, wäre dann die zulässige Gewichtskraft der Auflast zu berechnen über den Ansatz $Ge' = Ad \cdot \sigma_{Dzul} / Ad'$, wobei Ad' die neue Fundamentgröße beschreibt.

Zum Nachvollziehen einer zweiseitigen Kraftausbreitung im Erdreich wird das Beispiel eines Streifenfundamentes gewählt. Für den Kraftabtrag unterhalb des Fundaments ist mittig der Fundamentbreite $bf = 1,00 \text{ m}$ eine vertikale Achse einzufügen, an der beidseitig die Kraftflächen A mit der Höhe h und der Breite b anzulegen sind. Über die zulässige Bodenpressung $\sigma_{Dzul} = 206,7 \text{ kN/m}^2$ (4.5) des gewählten Bodens kann die maximal aufzutragende Gewichtskraft $Gt = 206,7 \text{ kN}$ (4.4) je zur Hälfte über den Boden links und rechts der Bezugsachse abgetragen werden, siehe Abb. 67, S. 100 und Abb. 70, S. 102.

Ergebnis:

Kraftabtrag unter einem Streifenfundament	
Neigungswinkel $\beta t = 55,0^\circ$ (3.4)	Höhe $hg = 3,01$ m (4.11)
Gewichtskraft $Gt = 206,7$ kN (4.4)	Breite $bg = 2,11$ m (4.12)
Fläche $Ago = Agu = 3,17$ m ² (4.10)	

Für den Kraftabtrag in Erdreich bildet sich links und rechts der Bezugsachse die Fläche $Ago = Agu = 3,17$ m² (4.10) mit der Höhe $hg = 3,01$ m (4.11) und der Breite $bg = 2,11$ m (4.12) aus. Da die Gewichtskraft $Ge = Gt = 206,7$ kN (4.4) der zulässigen Belastung entspricht (Nutzlast plus Fundamenteigengewicht), wird sich eine Bodensetzung unter dem Fundament nicht einstellen. Um den Wandel der Kraftfelder im Boden bei einer Fundamentüberlastung aufzeigen zu können, wird in dem folgenden Beispiel eine Bodensetzung zugelassen.

4.2.3 Belastbarkeit von Fundamenten bei zugelassener Bodensetzung

Bodensetzungen, egal ob unter Fundamenten oder Pfählen, stellen eine Überbelastung des Erdreichs dar. In ihrem Einflussbereich reduzieren sie das Porenvolumen des Bodens und ändern damit dessen Eigenschaften, wie Neigungswinkel, Reibungszahl und Dichte. Dieser Umbau der Bodenstruktur unterliegt keinem Zeitdiktat, d. h. die Bodensetzung sowie ihre Folgen können zeitversetzt und damit erst Jahre später auftreten.

Nachstehend wird die Gewichtskraft Ge ermittelt, die bei einem Streifenfundament mit der Breite $bf = 1,00$ m und den vorherigen Bodenkenngrößen eine Setzung um die Höhe $\Delta h = 0,08$ m verursacht.

Es werden übernommen:

Winkel $\beta t = 55,0^\circ$ (3.4)	Dichte $\rho_{tgs5} = 1,764$ t/m ³ (3.9)
Breite $bg = 2,11$ m (4.12)	Fundamentbreite $bf = 1,00$ m
Höhe $hg = 3,01$ m (4.11)	Höhe $\Delta h = 0,08$ m
Bodenpressung $\sigma_{Dzul} = 206,7$ kN/m ² (4.5)	

In der Abb. 70 sind links der lotrechten Bezugsachse die aktive Fläche Ago und die reaktive Fläche Agu dargestellt: Über diese Flächen trägt sich die Gewichtskraft $Ge = Gt = 206,7$ kN (4.4) ab, ohne dass sich das Fundament setzt. Wird der Boden durch eine höhere Gewichtskraft $Ge' = Ge + \Delta Ge$ belastet und damit die zulässige Bodenpressung überschritten, setzt sich das Erdreich unter dem Fundament um die angenommene Höhe Δh .

Für die Ermittlung der Nutzlasterhöhung ΔGe bieten sich zwei Berechnungsverfahren an, auf die noch näher über Berechnungsbeispiele eingegangen wird. Der erste Weg – mit eher überschlägigen Ergebnissen – führt über die Fläche $A_s = bg \cdot \Delta h$, die zwischen den Kraftflächen A_{go} und A_{gs} liegt und diese anteilmäßig vergrößert. Bei dieser Berechnungsart bleiben die Bodenkenngrößen konstant. Die Flächen werden rechts der Achse in Abb. 71 gezeigt.

Der andere Weg zur Ermittlung der Kraft ΔGe führt über die Bodenverdichtung in der lastabtragenden Erdsäule, d. h. über den Wandel des Neigungswinkels und der Raumteile in dem Boden unter dem Fundament. In der nachstehenden Abbildung werden links der Achse (A–B) die Kraftflächen A_{go} und A_{gu} gezeigt, die sich bei Einhaltung der zulässigen Bodenpressung ausbilden. Rechts der Achse wird das Eindringen der Auflast um die Höhe Δh in den Untergrund angedeutet. Die Höhe Δh führt über die Breite bg zu der Kraftfläche A_s , die anteilmäßig zu verteilen ist auf die Kraftflächen A_{go} und A_{gu} . Für den Berechnungsweg über die Bodenverdichtung ist zunächst der Winkel der Neigungsebene (C'–B') zu bestimmen und darüber die weiteren Kennwerte des verdichteten Bodens. In Abb. 71 ist die Höhe he in einem anderen Maßstab als die Höhen unterhalb der Geländeebene dargestellt.

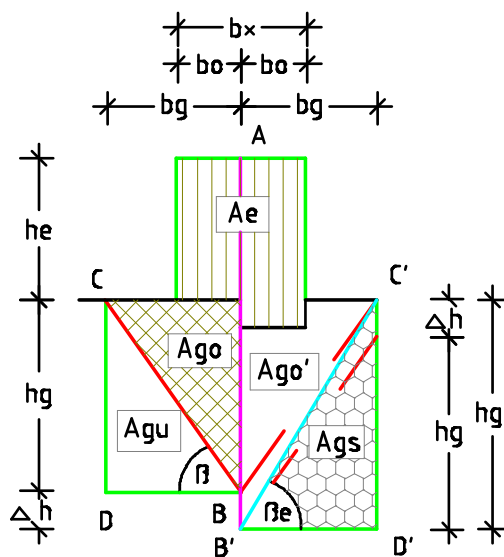


Abb. 71 zeigt die Kraftflächen, links der Achse bei zulässiger Bodenpressung und rechts bei Überschreitung und Bodensetzung um Δh .

Berechnung der Gewichtskraft ΔGe über die Flächenmehrung

Höhe hg'

$$hg' = hg + \Delta h = 3,01 + 0,08 = 3,09 \quad \text{m} \quad 4.13$$

Fläche $A_{go}' = A_{gu}' \rightarrow$ mit der Breite $bg = 2,11$ m (4.12)

$$A_{go}' = bg \cdot hg' / 2 = 2,11 \cdot 3,09 / 2 = 3,26 \quad \text{m}^2 \quad 4.14$$

Fläche Ae'

$$Ae' = 2 \cdot (Ago' - Ao) = 2 \cdot (3,26 - 0,18) = 6,16 \quad \text{m}^2 \quad 4.15$$

Gewichtskraft $Ge \rightarrow ptg_{55} = 1,764 \text{ t/m}^3$ (3.9)

$$Ge = 2 \cdot Ae' \cdot ptg \cdot g = 2 \cdot 6,16 \cdot 1,764 \cdot g = 213,1 \quad \text{kN} \quad 4.16$$

Gewichtskraft $\Delta Ge \rightarrow Gt = 206,7 \text{ kN}$ (4.4)

$$\Delta Ge = Ge - Gt = 213,1 - 206,7 = 6,4 \quad \text{kN} \quad 4.17$$

Berechnung der Gewichtskraft ΔGe über die Bodenverdichtung

Setzt man für die gewählte Bodenart die Erdsäule mit der Höhe $h = 11,95 \text{ m}$ als Gewichtskraft $Ge = Gt = 206,7 \text{ kN}$ (4.4) an und lässt eine Bodensetzung um die Höhe $\Delta h = 0,08 \text{ m}$ zu, so mindert sich die Säulenhöhe h um $2 \cdot \Delta h = 0,16 \text{ m}$ (aktiver und reaktiver Anteil). Die Höhenreduzierung verändert auch das Feststoffvolumen $Vf = 0,588 \text{ m}^3$ (3.1) und das Porenvolumen $Vl = 0,412 \text{ m}^3$ (3.2) der gewählten Bodenart.

Volumen $\sum Vf \rightarrow$ innerhalb des Volumens $Ve = Ad \cdot h = 11,95 \text{ m}^3$

$$\sum Vf = Ve \cdot Vf/V_{90} = 11,95 \cdot 0,588 = 7,027 \quad \text{m}^3 \quad 4.18$$

Volumen $Ve^* \rightarrow$ der komprimierten Erdsäule

$$Ve^* = Ad \cdot (h - 2 \cdot \Delta h) = 1 \cdot (11,95 - 0,16) = 11,79 \quad \text{m}^3 \quad 4.19$$

Volumen $Vf^* \rightarrow$ neu

$$Vf^* = \sum Vf \cdot V_{90}/Ve^* = 7,027/11,79 = 0,596 \quad \text{m}^3 \quad 4.20$$

Neigungswinkel βe^*

$$\tan \beta e^* = Vf^*/(1,00 - Vf^*) = 0,596/(1,00 - 0,596) = 1,475 \quad 4.21$$

$$\beta e^* = 55,9^\circ \quad [-] \quad 4.22$$

Dichte ptg^*

$$ptg^* = Vf^* \cdot ptg_{90}/V_{90} = 0,596 \cdot 3,00 / 1,0 = 1,788 \quad \text{t/m}^3 \quad 4.23$$

Über den Neigungswinkel βe^* lässt sich die Höhe h der neuen Erdsäule bestimmen, siehe Abb. 62, S. 97.

Höhe h

$$h = \sqrt{V^* \cdot \tan \beta e^* / a} = \sqrt{100 \cdot 1,475 / 1,0} = 12,14 \quad \text{m} \quad 4.24$$

Gewichtskraft $Ge^* \rightarrow$ mit ptg^* und $g = 9,807 \text{ m/s}^2$.

$$Ge^* = Ad \cdot h \cdot ptg^* \cdot g = 12,14 \cdot 1,788 \cdot g = 212,9 \quad \text{kN} \quad 4.25$$

Gewichtskraft ΔGe^*

$$\Delta Ge^* = Ge^* - Ge = 212,9 - 206,7 = 6,2 \quad \text{kN} \quad 4.26$$

Ergebnis:

Die Gewichtskräfte $\Delta Ge = 6,4 \text{ kN}$ (4.17) und $\Delta Ge^* = 6,2 \text{ kN}$ (4.26) zeigen an, dass bereits eine geringe Bodenüberlastung zu einer erheblichen Fundamentsetzung $\Delta h = 0,08 \text{ m}$ führen kann. Zudem ändern sich die Bodenkenngrößen wie folgt, siehe nachstehende Tabelle:

Vorgegeben ist die Einbindetiefe des Fundaments $\Delta h = 1,00$ m. Zu berechnen ist die Gewichtskraft ΔGt aus den Kraftflächen Ao neben dem Fundament. Die Kraft ΔGt entspricht der vertikalen Kraftkomponenten Hv der Hangabtriebskraft FH , die beidseitig der Achse anzusetzen ist, siehe Abb. 72.

Es werden berechnet:

Breite bo

$$bo = \Delta h / \tan \beta_{55} = 1,00 / 1,428 = 0,70 \quad \text{m} \quad 4.27$$

Fläche Ao

$$Ao = bo \cdot \Delta h / 2 = 0,70 \cdot 1,00 / 2 = 0,35 \quad \text{m}^2 \quad 4.28$$

Gewichtskraft $\Delta Gt \rightarrow$ aus dem Erdeigengewicht mit der Trockendichte

$$\Delta Gt = Ao \cdot \rho_{t55} \cdot g = 0,35 \cdot 1,764 \cdot 9,807 = 6,0 \quad \text{kN} \quad 4.29$$

Kraft Hf

$$Hf = \Delta Gt \cdot \sin \beta_{55} \cdot \cos \beta_{55} = 6,0 \cdot 0,470 = 2,8 \quad \text{kN} \quad 4.30$$

Kraft Hv

$$Hv = \Delta Gt \cdot \sin^2 \beta_{55} = 6,0 \cdot 0,671 = 4,0 \quad \text{kN} \quad 4.31$$

Gewichtskraft $\Delta Gt \rightarrow$ doppelte Kraft Hv

$$\Delta Gt = 2 \cdot Hv = 2 \cdot 4,0 = 8,0 \quad \text{kN} \quad 4.32$$

Gewichtskraft $\sum Gt$

$$\sum Gt = Gt + \Delta Gt = 206,7 + 8,0 = 214,7 \quad \text{kN} \quad 4.33$$

Ergebnis:

zum Streifenfundament mit Einbindetiefe $\Delta h = 1,00$ m.

Kraftabtrag unter dem Streifenfundament	
Neigungswinkel $\beta_{t55} =$	55,0° (3.4)
Gewichtskraft $Gt =$	206,7 kN (4.4)
Gewichtskraft $\Delta Gt =$	8,0 kN (4.32)
Gewichtskraft $\sum Gt =$	214,7 kN (4.33)

In der Kraft $\sum Gt$ ist das Fundamenteigengewicht enthalten. Die Erhöhung der Gewichtskraft Gt um die Kraft ΔGt setzt einen kraftschlüssigen Übergang von dem anstehenden Boden zum Fundament voraus. Zudem sind Erschütterungen im Fundamentbereich auszuschließen.

4.3 Erddruck bei Böden mit geneigter Oberfläche

Als geneigte Oberfläche wird die aufsteigende oder abfallende Geländeoberfläche eines Erdkörpers bezeichnet. Eingeschlossen in diese Betrachtung wird ein Erdkörper, der durch eine lotrechte Wand (Bezugsachse) gestützt wird und dessen Geländeoberfläche unter dem Winkel x ansteigt.

Um den Erddruck aus derartigen Körpern gegen die Wand ermitteln und das Abgleiten von Erdmassen aus einem Hang beurteilen zu können, sind Kenntnisse über die Lage der Neigungs- und der Scherebene in den Erdkörpern mit geneigter Oberfläche erforderlich. Die Lehre zeigt hierzu Bilder, über die sie den Winkel φ' und den Wert K_{ah} ableitet [1: S. P.12ff., Bilder P05.70, P05.80, P05.90, P08.10 und P08.30]. Die neue Theorie sieht andere Zusammenhänge bei der Ausbildung der Winkel und weist diese über die nachstehenden Versuchsanordnungen mit Sand in dem Glaskasten nach. Den Experimenten folgen Kraftermittlungen.

4.3.1 Scherebene in Böden mit geneigter Oberfläche, Versuch 9

Behandelt wurden bisher Erdblöcke mit horizontaler Oberfläche, die durch eine reale oder fiktive Wand (Bezugsachse) gehalten wurden. Die horizontale Geländeebene soll nun ersetzt werden durch eine geneigte Oberfläche. Somit fügt sich die Ansichtsfläche eines Erdkörpers zusammen aus einer rechteckigen Grundfläche und einer keilförmigen Auflastfläche. Da hier davon auszugehen ist, dass der Boden in der Keilfläche als Auflast auf den unteren Erdkörper wirkt, wird diese Auflast, ähnlich wie bei rechteckigen Auflastflächen, die natürlichen Winkel der Neigungs- und Scherebene verändern. Dem Wandel der Winkel bei Erdkörpern mit horizontaler Oberfläche wurde nachgegangen in dem Unterkapitel 2.5, S. 46ff., siehe Abb. 22.

Die Abbildung 22 zeigt einen Erdkörper und eine rechteckige Auflastfläche mit der Höhe he und der Berechnungstiefe $a = 1,00$ m. Für den Lastabtrag wurde eine gleichgroße Fläche unterhalb der Geländeebene angeordnet, die diagonal in den aktiven und den reaktiven Anteil der Auflast zu unterteilen war. Diese Teilung bestimmte die Lage der ‚Neigungsebene unter Auflast‘. Wie vor, kann der Neigungswinkel β_e auch bei keilförmiger Auflast über die Breite bx und die Höhe $he = hx/4$ ermittelt werden. Die Höhe hx ist vorzugeben oder über den Böschungswinkel s' des Geländeanstiegs zu berechnen. Die Viertelung der Höhe hx ergibt sich aus der Halbierung der rechteckigen Auflastfläche und der Teilung der Auflast in die aktiven und reaktiven Anteile der Auflast. Ist eine Bodenschicht als Auflast anzusetzen, ist abzuklären, ob der Abtrag der Auflast in der lastabtragenden Bodenschicht oder bereits in der Auflastfläche beginnen kann, d. h. in der Keilfläche oberhalb des Erdblocks.

Wählt man die Blockhöhe hm , die Höhe hx und die Breite $bo = bx = hm / \tan \beta$, so errechnet sich der Winkel β_e unter Auflast: $\tan \beta_e = (hm + hx/4) / bo$.

Zur Bestätigung der vorstehenden Annahmen und um ggf. Unterschiede beim Abgleiten von Böden aus einem Erdblock (Abb. 15: S. 41) und einem Erdblock mit keilförmiger Erdlast zu erkennen, wurde die Versuchsreihe 9 mit Sand und Basaltgrus in dem Glaskasten durchgeführt. Aus der Versuchsreihe werden drei Versuchsanordnungen mit trockenem Sand beschrieben, wobei das Experiment 9.1 zur Erhebung von Grunddaten für die Versuche 9.2 und 9.3 angelegt worden ist. Durchgeführt werden die Experimente mit gleicher Sandmenge, jedoch mit unterschiedlichen Einbauhöhen des Sandes und abweichenden Geländeneigungen. Für die Berechnungen wurde an der bodenseitigen Wandfläche der herausnehmbaren Glasscheibe eine Bezugsachse gelegt und dort, wo die geneigte Oberfläche auf die Bezugsachse trifft, eine horizontale Ebene eingefügt. Der Sand in der Keilfläche mit der Höhe hx und der Breite bx wird als Auflast auf den darunter liegenden Erdblock angesehen.

Versuchsanordnung 9.1

Für den Versuch wurden 26,5 kg trockener Sand bis zur Höhe $ht = 2,28$ dm in die linke Kammer des Glaskastens eingefüllt, die Oberfläche des Sandkörpers horizontal geebnet und dann die trennende Glasscheibe gezogen. Nach dem Abgleiten des Sandes stellten sich zwischen der geneigten Oberfläche und der linken Glaswand die Breite $bl' = 0,56$ dm und zu der rechten Glaswand die Breite $br' = 0,54$ dm ein. Die nahezu identischen Breiten zeigen an, dass die Geländeebene als ‚natürliche Scherebene‘ des Sandes bezeichnet werden kann, siehe Unterkapitel 2.4, S. 40ff.



Abb. 73 zeigt den Sandeinbau mit horizontaler Oberfläche als Ausgangsbasis.



Abb. 74 zeigt die Scherebene (grün) und den Scherwinkel s des Sandes.

Folgende Grunddaten werden ermittelt:

Volumen $V_{kt} \rightarrow$ Grundfläche $A_{k1} = 7,08 \text{ dm}^2$ (3.33)

$$V_{kt} = A_{k1} \cdot ht = 7,08 \cdot 2,28 = 16,14 \quad \text{dm}^3 \quad 4.34$$

Trockendichte ptg

$$ptg = Gt/V_{kt} = 26,5/16,14 = 1,642 \quad \text{kg/dm}^3 \quad 4.35$$

Feststoffvolumen V_f

$$V_f = ptg \cdot V_{p90}/ptg_{90} = 1,642 \cdot 1,0/3,0 = 0,547 \quad \text{dm}^3 \quad 4.36$$

Porenvolumen V_l

$$V_l = V_{p90} - V_f = 1,000 - 0,547 = 0,453 \quad \text{dm}^3 \quad 4.37$$

Neigungswinkel βt

$$\tan \beta t = V_f/V_l = 0,547/0,453 = 1,208 \quad 4.38$$

$$\beta t = 50,4^\circ \quad [-] \quad 4.39$$

Scherwinkel st

$$\tan st = (\tan \beta t) / 2 = 1,208/2 = 0,604 \quad 4.40$$

$$st = 31,1^\circ \quad [-] \quad 4.41$$

Breite $bo = bu$

$$bo = ht / \tan \beta t = 2,28/1,208 = 1,89 \quad \text{dm} \quad 4.42$$

Breite bl

$$bl = bk_1 - bo = 2,44 - 1,89 = 0,55 \quad \text{dm} \quad 4.43$$

Breite bue

$$bue = ht / \tan st = 2,28/0,604 = 3,77 \quad \text{dm} \quad 4.44$$

Breite br

$$br = bk_1 - bue/2 = 2,44 - 3,77/2 = 0,56 \quad \text{dm} \quad 4.45$$

Höhe $hmu = hmo$

$$hmu = hmo = ht/2 = 2,28/2 = 1,14 \quad \text{dm} \quad 4.46$$

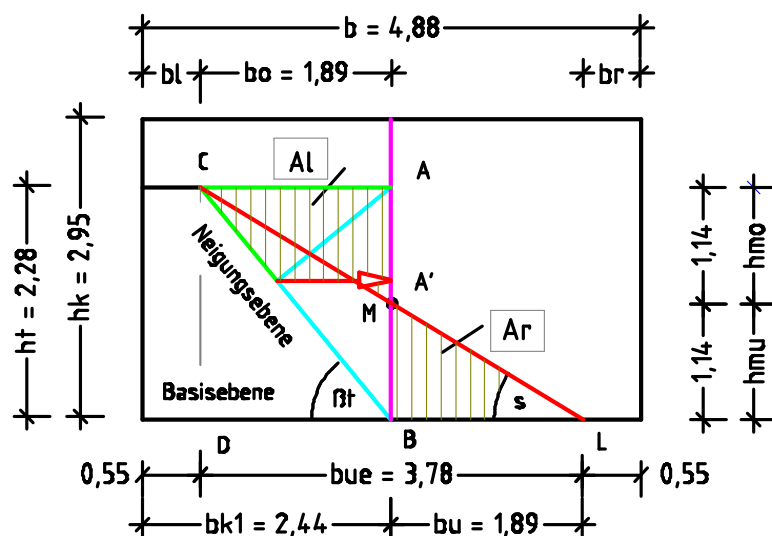


Abb. 75 zeigt die natürliche Scherebene (C-L), auf welcher der Boden aus der Fläche Al in die Fläche Ar abgleitet.

Die zuvor über die Raumteile des Sandes ermittelten Winkel (4.39) und (4.41) sind vergleichbar mit den Winkeln, die über die gemessene Höhe $ht = 2,28$ dm und die Keilbreite $bue = 3,78$ dm berechnet werden.

Scherwinkel st'

$$\tan st' = ht/bue' = 2,28/3,78 = 0,603 \quad 4.47$$

$$st' = 31,1^\circ \quad [-] \quad 4.48$$

Neigungswinkel $\beta t'$

$$\tan \beta t' = 2 \cdot \tan st' = 2 \cdot 0,603 = 1,206 \quad 4.49$$

$$\beta t' = 50,3^\circ \quad [-] \quad 4.50$$

Die berechneten und die gemessenen Winkel werden als gleich betrachtet. Für die weiteren Experimente werden die Winkel (4.39) und (4.41) herangezogen.

Kraftermittlungen zu 9.1:

Mit den folgenden Werten werden die Erddruckkraft Hf und ihre Angriffshöhe hv über die Keilfläche (C–A–B) ermittelt:

Füllhöhe $ht = 2,28$ dm	Breite $bo = 1,89$ dm (4.42)
Winkel $\beta t = 50,4^\circ$ (4.39)	Dichte $ptg_{50} = 1,642$ kg/dm ³

Es werden berechnet:

Volumen $Vo \rightarrow$ über die Berechnungstiefe $a = 2,90$ dm

$$Vo = ht \cdot bo \cdot a/2 = 2,28 \cdot 1,89 \cdot 2,9/2 = 6,25 \quad \text{dm}^3 \quad 4.51$$

Gewichtskraft Gt

$$Gt = Vo \cdot ptg_{50} \cdot g = 6,25 \cdot 1,642 \cdot 9,807 = 100,6 \quad \text{N} \quad 4.52$$

Kraft $Nv \rightarrow$ mit dem Neigungswinkel $\beta t = 50,4^\circ$ (4.39)

$$Nv = Gt \cdot \cos^2 \beta t = 100,6 \cdot 0,406 = 40,8 \quad \text{N} \quad 4.53$$

Kraft Hv

$$Hv = Gt \cdot \sin^2 \beta t = 100,6 \cdot 0,594 = 59,8 \quad \text{N} \quad 4.54$$

Erddruckkraft Hf

$$Hf = Gt \cdot \sin \beta t \cdot \cos \beta t = 100,6 \cdot 0,491 = 49,4 \quad \text{N} \quad 4.55$$

Die Kraft Hf (4.55) ist in der Abb. 75 als roter Pfeil dargestellt.

Kraftzahl git

$$git = bo \cdot a \cdot ptg_{50} \cdot g/2 = 15,2$$

$$git = 1,89 \cdot 2,90 \cdot 1,642 \cdot 9,807/2 = 44,1 \quad \text{N/dm}^2 \quad 4.56$$

Angriffshöhe hv der Kraft Hf gegen die Wand

$$hv = Hv/git = 59,8/44,1 = 1,35 \quad \text{dm} \quad 4.57$$

Versuchsanordnung 9.2

Für diesen Versuch wurde der Sand der Versuchsanordnung 9.1 verwandt und in die linke Kammer des Glaskastens bis zur Füllhöhe $ht = 2,58$ dm lose eingefüllt. Eventuelle Streuverluste und Sandanhaftungen an den Glasscheiben wurden nicht weiterverfolgt. Diese können bei Bedarf über die gemessenen Erdkörper vor und nach dem Abgleiten des Sandes errechnet und ggf. von dem ursprünglichen Füllgewicht in Abzug gebracht werden.

Wie in der Abb. 76 dargestellt, wurde unterhalb der Füllhöhe eine Keilfläche ausgespart. Die horizontale und die geneigte Oberfläche des Erdkörpers wurden mittels Spitzkelle geglättet und danach die Keilhöhe $hx = 1,02$ dm und die Keilbreite $bx = 1,54$ dm gemessen. Nach dem Ziehen der Glasscheibe stellten sich bei der Füllhöhe $ht = 2,58$ dm die Breiten $bl = 0,21$ dm, $bue = 3,77$ dm sowie $br = 0,90$ dm ein. Die Maße zeigen, dass sich die Scherebene aus der Mittellage (Abb. 77) nach links um die Breite bm verschoben hat, siehe Abb. 78, S. 114. Für die Einpassung der natürlichen Neigungs- und Scherebene in die neue Körperform und die Berechnung der Winkel unter Auflast wird vorerst das Volumen V_{kt}' des eingebauten Sandes über die Füllhöhe $ht = 2,58$ dm und die ausgesparte Fläche $Ax = hx \cdot bx / 2$ errechnet.



Abb. 76 zeigt den Sandkörper mit teilweise geneigter Oberfläche.

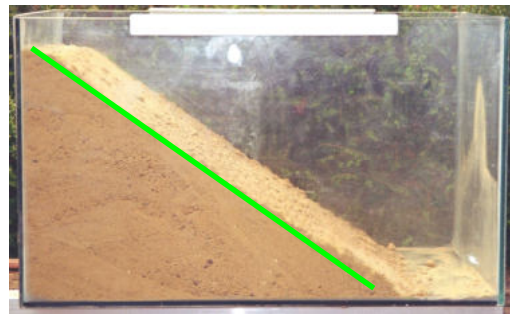


Abb. 77 zeigt die Scherebene nach dem Abgleiten des Sandes.

Es werden berechnet:

Ansichtsfläche $A \rightarrow$ des gemessenen Sandkörpers mit der Höhe ht

$$A = bk_1 \cdot ht = 2,44 \cdot 2,58 = 6,295 \quad \text{dm}^3 \quad 4.58$$

Ansichtsfläche $Ax \rightarrow$ sandfreie Fläche

$$Ax = bx \cdot hx / 2 = 1,54 \cdot 1,02 / 2 = 0,785 \quad \text{dm}^3 \quad 4.59$$

Volumen $V_{kt}' \rightarrow a = 2,90$ dm Behältertiefe

$$V_{kt}' = (A - Ax) \cdot a = (6,295 - 0,785) \cdot 2,9 = 15,98 \quad \text{dm}^3 \quad 4.60$$

Da die Volumenminderung von V_{kt} zu V_{kt}' nicht verdichtungsbedingt, sondern durch Streuverlust eingetreten ist, bleiben die Dichte $\rho_{tg} = 1,653 \text{ kg/dm}^3$ (4.35) und die Winkel $\beta_t = 50,4^\circ$ (4.39) und $st = 31,1^\circ$ (4.41) unverändert. Für die Ermittlung des ‚Neigungswinkels β_e unter Auflast‘ ist zunächst ein Erdblock mit der Breite bx und der Höhe hm' zu bilden.

Höhe hm'

$$hm' = bx \cdot \tan \beta_t = 1,54 \cdot 1,208 = 1,86 \quad \text{dm} \quad 4.61$$

Für die Winkelberechnung ist zu der Höhe hm' die Höhe $hx/4$ zu addieren.

Neigungswinkel β_e

$$\tan \beta_e = (hm' + hx/4) / bx = (1,86 + 1,02/4) / 1,54 = 1,373 \quad 4.62$$

$$\beta_e = 53,9^\circ \quad [-] \quad 4.63$$

Scherwinkel se

$$\tan se = (\tan \beta_e) / 2 = 1,373 / 2 = 0,687 \quad 4.64$$

$$se = 34,5^\circ \quad [-] \quad 4.65$$

Wird dem Sand durch das Ziehen der trennenden Glasscheibe der Halt genommen, gleitet er auf der ‚Scherebene unter Auflast‘ ab und bildet einen liegenden Erdkeil aus (Abb. 77). Hierdurch entsteht zwischen dem abgleitenden und dem aufstauenden Sand eine Mengenausgleich (Abtrag = Auftrag), der zur Absenkung der Scherebene um die Höhe hy führt. Für deren Berechnung sind bekannt: die Höhen $hx = 1,02 \text{ dm}$ und $hm = ht - hx$, die Fläche $Ax = 0,785 \text{ dm}^2$ (4.59) sowie der Winkel $se = 34,5^\circ$ (4.65).

Höhe hm

$$hm = ht - hx = 2,58 - 1,02 = 1,56 \quad \text{dm} \quad 4.66$$

Höhe hy

$$(hx + hy)^2 / (2 \cdot \tan se) = (hm - hy)^2 / (2 \cdot \tan se) + Ax$$

$$(1,02 + hy)^2 / (2 \cdot 0,687) = (1,56 - hy)^2 / (2 \cdot 0,687) + 0,785$$

$$hy^2 + 2,04 hy + 1,04 = hy^2 - 3,12 hy + 2,42 + 1,08$$

$$hy = 2,46 / 5,16 = 0,48 \quad \text{dm} \quad 4.67$$

Höhe ho

$$ho = hx + hy = 1,02 + 0,48 = 1,50 \quad \text{dm} \quad 4.68$$

Höhe hu

$$hu = ht - ho = 2,58 - 1,50 = 1,08 \quad \text{dm} \quad 4.69$$

Breite bo

$$bo = ho / \tan se = 1,50 / 0,687 = 2,18 \quad \text{dm} \quad 4.70$$

Breite bl'

$$bl' = bk_l - bo = 2,44 - 2,18 = 0,26 \quad \text{dm} \quad 4.71$$

Breite bu

$$bu = hu / \tan se = 1,08 / 0,687 = 1,57 \quad \text{dm} \quad 4.72$$

Fläche Al → des abgeglittenen Bodens

$$Al = (bo' \cdot ho) / 2 - Ax =$$

$$Al = (2,18 \cdot 1,50) / 2 - 0,785 = 0,85 \quad \text{dm}^2 \quad 4.73$$

Fläche Ar → des aufgestauten Bodens

$$Ar = bu \cdot hu / 2 = 1,57 \cdot 1,08 / 2 = 0,85 \quad \text{dm}^2 \quad 4.74$$

Breite br'

$$br' = bk_l - bu = 2,44 - 1,57 = 0,87 \quad \text{dm} \quad 4.75$$

Breite bm

$$bm = (bo' - bu) / 2 = (2,18 - 1,57) / 2 = 0,31 \quad \text{dm} \quad 4.76$$

Breite bue'

$$bue' = ht / \tan se = 2,58 / 0,687 = 3,76 \quad \text{dm} \quad 4.77$$

Höhe hs

$$hs = bo \cdot \tan \beta_e = 2,18 \cdot 1,373 = 2,99 \quad \text{dm} \quad 4.78$$

Höhe hz

$$hz = hs - ht = 2,99 - 2,58 = 0,41 \quad \text{dm} \quad 4.79$$

Höhe hu'

$$hu' = hs - hx = 2,99 - 1,02 = 1,97 \quad \text{dm} \quad 4.80$$

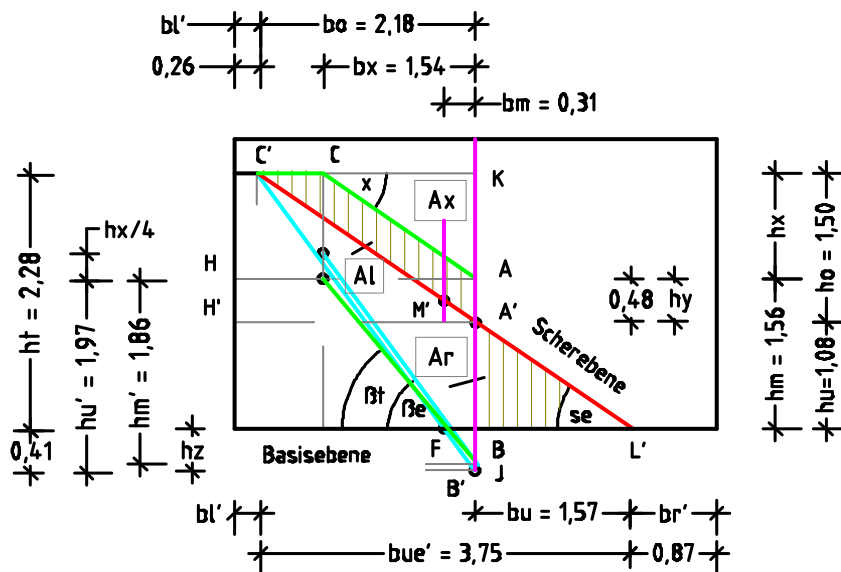


Abb. 78 zeigt die Bodenaufplastung in der Fläche Al , die auf der Scherebene unter Auflast abgleitet, wenn sie ihren Halt an der Achse verliert.

Vorab ist für den Vergleich der gemessenen und errechneten Werte noch über die gemessenen Höhen und Breiten der Scherwinkel se' und die Höhe hu' an der Bezugsachse zu ermitteln.

Scherwinkel se'

$$\tan se' = ht / bue' = 2,58 / 3,77 = 0,684 \quad 4.81$$

$$se' = 34,4^\circ \quad [-] \quad 4.82$$

Höhe hu'

$$hu' = (bk_l - br) \cdot \tan se'$$

$$hu' = (2,44 - 0,90) \cdot 0,684 = 1,05 \quad \text{dm} \quad 4.83$$

Ergebnis zur Versuchsanordnung 9.2:

In der Tabelle sind die gemessenen und errechneten Maße vor und nach dem Abgleiten des Sandes zusammengefasst.

Gemessene Maße	Berechnete Maße
Breite $bl = 0,21$ dm	Breite $bl' = 0,26$ dm (4.71)
Breite $bue = 3,77$ dm	Breite $bue' = 3,76$ dm (4.77)
Breite $br = 0,90$ dm	Breite $br' = 0,87$ dm (4.75)
Höhe $hu' = 1,05$ dm	Höhe $hu = 1,08$ dm (4.69)
Scherwinkel $se' = 34,4^\circ$	Scherwinkel $se = 34,5^\circ$ (4.65)

Kleine Differenzen in den Höhen und Breiten der Erdkörper können sich entwickeln aus Ungenauigkeiten beim Aufmaß, Hemmungen des Abgleitens durch die geringe Behälterbreite oder Auflockerungen beim Abgleiten des Füllgutes sowie Aufrundungen der Rechenwerte. Hier jedoch zeigt der Abgleich zwischen den gemessenen und errechneten Maßen eine wesentliche Übereinstimmung. Es kann damit gezeigt werden, dass sich das Abgleiten von Erdmassen aus einem Hang errechnen lässt.

Versuchsanordnung 9.3

Um die Ergebnisse der Versuchsanordnung 9.2 zu festigen, wurde dieses Experiment mit gleicher Sandmenge, jedoch mit anderer Körperform durchgeführt. Aufgemessen wurden nach dem Einbau die Füllhöhe $ht = 2,95$ dm, die Breite $bx = 2,34$ dm und die Höhe $hx = 1,48$ dm. Nach dem Ziehen der Glasscheibe stellte sich ein Sandkeil ein, der an der linken Behälterwand die Höhe $hd = 2,75$ dm und am Behälterboden die Breiten $bue = 3,96$ dm und $br = 0,92$ dm einnahm.



Abb. 79 zeigt den Sandkörper mit vollständig geneigter Oberfläche.



Abb. 80 zeigt die Scherebene nach dem Abgleiten des Sandes.

Nachstehend werden berechnet:

Ansichtsfläche $A \rightarrow$ des gemessenen Sandkörpers mit der Höhe $ht = 2,95$ dm

$$A = bk_l \cdot ht = 2,44 \cdot 2,95 = 7,198 \quad \text{dm}^2 \quad 4.84$$

Ansichtsfläche $Ax \rightarrow$ sandfreie Fläche

$$Ax = bx \cdot hx/2 = 2,34 \cdot 1,48/2 = 1,732 \quad \text{dm}^2 \quad 4.85$$

Volumen $Vkt' \rightarrow a = 2,90$ dm Behältertiefe

$$Vkt' = (A - Ax) \cdot a = (7,198 - 1,732) \cdot 2,9 = 15,85 \quad \text{dm}^3 \quad 4.86$$

Für die weiteren Berechnungen werden aus der Versuchsanordnung 9.1 die Winkel $\beta t = 50,4^\circ$ (4.39) und $st = 31,1^\circ$ (4.41) übernommen. Der Neigungswinkel βe unter Auflast wird wieder über die Blockbreite bx und die Höhen $hx/4$ und hm' ermittelt, siehe hierzu nachstehende Abb. 81.

Höhe hm'

$$hm' = bx \cdot \tan \beta t = 2,34 \cdot 1,208 = 2,83 \quad \text{dm} \quad 4.87$$

Neigungswinkel βe

$$\tan \beta e = (hm' + hx/4) / bx = (2,83 + 1,48/4) / 2,34 = 1,368 \quad 4.88$$

$$\beta e = 53,8^\circ \quad [-] \quad 4.89$$

Scherwinkel se

$$\tan se = (\tan \beta e) / 2 = 1,368 / 2 = 0,684 \quad 4.90$$

$$se = 34,4^\circ \quad [-] \quad 4.91$$

Höhe hm

$$hm = ht - hx = 2,95 - 1,48 = 1,47 \quad \text{dm} \quad 4.92$$

Höhe hy

$$(hx + hy)^2 / (2 \cdot \tan se) = (hm - hy)^2 / (2 \cdot \tan se) + Ax$$

$$(1,48 + hy)^2 / (2 \cdot 0,684) = (1,47 - hy)^2 / (2 \cdot 0,684) + 1,732$$

$$hy^2 + 2,96 hy + 2,19 = hy^2 - 2,94 hy + 2,16 + 2,37$$

$$hy = 2,34 / 5,90 = 0,40 \quad \text{dm} \quad 4.93$$

Höhe ho

$$ho = hx + hy = 1,48 + 0,40 = 1,88 \quad \text{dm} \quad 4.94$$

Höhe hu

$$hu = ht - ho = 2,95 - 1,88 = 1,07 \quad \text{dm} \quad 4.95$$

Breite $bo \rightarrow$ legt die Breite bl' fest

$$bo = ho / \tan se = 1,88 / 0,684 = 2,75 \quad \text{dm} \quad 4.96$$

Breite bl'

$$bl' = bk_l - bo = 2,44 - 2,75 = -0,31 \quad \text{dm} \quad 4.97$$

Breite bu

$$bu = hu / \tan se = 1,07 / 0,684 = 1,56 \quad \text{dm} \quad 4.98$$

Fläche Al

$$Al = (bo' \cdot ho) / 2 - Ax =$$

$$Al = (2,75 \cdot 1,88) / 2 - 1,732 = 0,85 \quad \text{dm}^2 \quad 4.99$$

Fläche A_r	$A_r = b_u \cdot h_u / 2 = 1,56 \cdot 1,07 / 2 = 0,84$	dm ²	4.100
Breite br'	$br' = bk_l - b_u = 2,44 - 1,56 = 0,88$	dm	4.101
Breite bm	$bm = (b_o' - b_u) / 2 = (2,75 - 1,56) / 2 = 0,60$	dm	4.102
Breite bue'	$bue' = ht / \tan se + bl' = 2,95 / 0,684 - 0,31 = 4,00$	dm	4.103
Höhe hd'	$hd' = bue' \cdot \tan se = 4,00 \cdot 0,684 = 2,74$	dm	4.104
Höhe hs	$hs = b_o \cdot \tan \beta_e = 2,75 \cdot 1,368 = 3,76$	dm	4.105
Höhe hz	$hz = hs - ht = 3,76 - 2,95 = 0,81$	dm	4.106
Höhe hu'	$hu' = hs - hx = 3,76 - 1,48 = 2,28$	dm	4.107

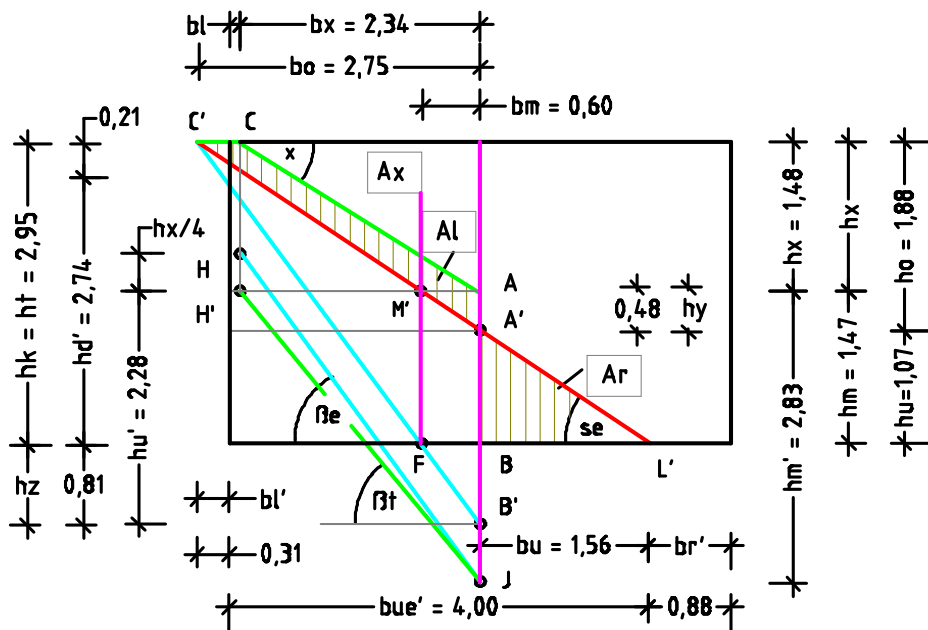


Abb. 81 zeigt die natürliche Neigungsebene (H'-J), die Neigungsebene unter Auflast (H-J) und (C'-B') sowie die Scherebene unter Auflast (C'-L').

Vorab ist für den Vergleich der gemessenen und errechneten Werte noch über die gemessenen Höhen und Breiten der Scherwinkel se' und die Höhe hu' an der Bezugsachse zu ermitteln.

Scherwinkel se'

$$\tan se' = hd' / bue' = 2,75 / 3,96 = 0,694 \quad 4.108$$

$$se' = 34,8^\circ \quad [-] \quad 4.109$$

Höhe hu^*

$$hu^* = (bk_1 - br) \cdot \tan se'$$

$$hu^* = (2,44 - 0,88) \cdot 0,694 = 1,08 \quad \text{dm} \quad 4.110$$

Ergebnis zur Versuchsanordnung 9.3:

Die wichtigsten gemessenen und errechneten Maße vor und nach dem Abgleiten des Sandes sind in der folgenden Tabelle zusammengefasst.

Gemessene Maße	Berechnete Maße
Breite $br = 0,92$ dm	Breite $br' = 0,88$ dm (4.101)
Höhe $hd = 2,75$ dm	Höhe $hd' = 2,74$ dm (4.104)
Breite $bue = 3,96$ dm	Breite $bue' = 4,00$ dm (4.103)
Höhe $hu' = 1,08$ dm	Höhe $hu = 1,07$ dm (4.95)
Scherwinkel $se' = 34,8^\circ$	Scherwinkel $se = 34,4^\circ$ (4.91)

Der Vergleich der gemessenen und der errechneten Maße zeigt auch hier eine weitestgehende Übereinstimmung der Werte. Damit bestätigt sich, dass sich der Neigungswinkel βe unter Auflast über die keilförmige Auflastfläche mit der Höhe hx berechnen lässt.

4.3.2 Kräfte in trockenen Böden bei geneigter Oberfläche

Zur Versuchsanordnung 9.3 werden die Erdkräfte vor und nach dem Abgleiten des Sandes aus der linken Kammer als Variante A und B errechnet. Die Ermittlungen basieren auf den errechneten Bodeneigenschaften sowie Abmessungen der Erdkörper.

Die zu ermittelnden Kraftflächen – mit und ohne Auflast – ihre Lage innerhalb des Erdkeils sowie ihre horizontalen Kräfte können aus der nachstehenden Abb. 82 entnommen werden.

Für die Berechnung stehen zur Verfügung:

Dichte $ptg = 1,653$ kg/dm ³	Füllhöhe $ht = 2,95$ dm
Berechnungstiefe $a = 2,90$ dm	Höhe $hx = 1,48$ dm
Breite $bk_1 = 2,44$ dm	Höhe $hm = 1,47$ dm (4.92)
Breite $bx = 2,34$ dm	Höhe $hu = 1,07$ dm (4.95)
Breite $bo = 2,75$ dm (4.96)	Höhe $hz = 0,81$ dm (4.106)
	Höhe $hu' = 2,28$ dm (4.107)
Winkel $\beta e = 53,8^\circ$ (4.89)	$\tan \beta e = 1,368$ (4.88)

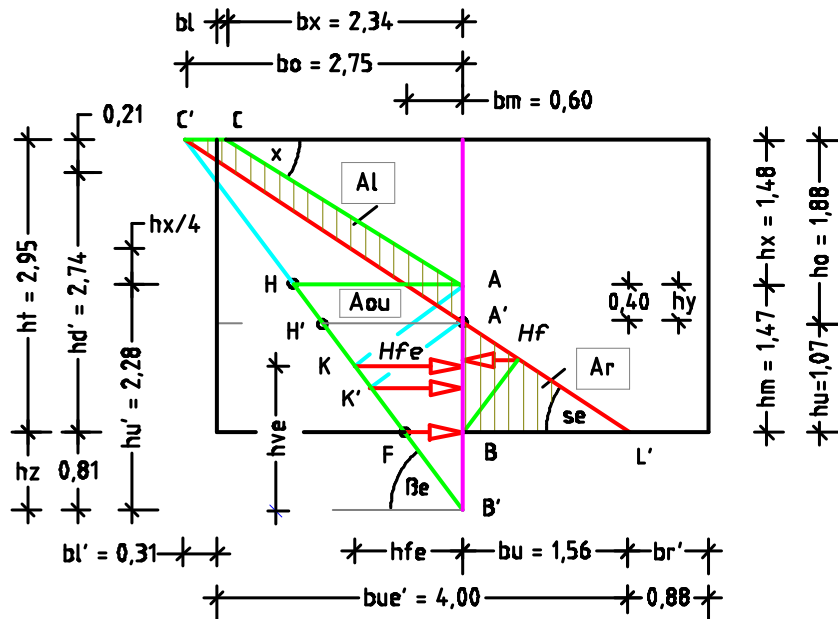


Abb. 82 zeigt unterhalb der Ebene (H–A) die Kraftfläche Aou , aus welcher die Erddruckkraft Hfe gegen die Bezugsachse (A–B') wirkt.

Variante A: Kräfte im Erdkeil vor dem Abgleiten des Bodens

Für diesen Lastfall gilt die Lastfläche (H–A–B'), die über die vorstehenden Werte ermittelt werden kann.

Fläche bo' → Winkel $\beta_e = 53,8^\circ$ (4.89)

$$bo' = hu' / \tan \beta_e = 2,28 / 1,368 = 1,67 \quad \text{dm}^2 \quad 4.111$$

Volumen V_e

$$V_e = hu' \cdot a \cdot bo' / 2 = 2,28 \cdot 2,90 \cdot 1,67 / 2 = 5,52 \quad \text{dm}^3 \quad 4.112$$

Gewichtskraft Ge

$$Ge = V_e \cdot \rho_{tg} \cdot g = 5,52 \cdot 1,653 \cdot 9,807 = 89,5 \quad \text{N} \quad 4.113$$

Kraft N_{ve}

$$N_{ve} = Ge \cdot \cos^2 \beta_e = 89,5 \cdot 0,349 = 31,2 \quad \text{N} \quad 4.114$$

Kraft H_{ve}

$$H_{ve} = Ge \cdot \sin^2 \beta_e = 89,5 \cdot 0,652 = 58,4 \quad \text{N} \quad 4.115$$

Erddruckkraft H_{fe}

$$H_{fe} = Ge \cdot \sin \beta_e \cdot \cos \beta_e = 89,5 \cdot 0,477 = 42,7 \quad \text{N} \quad 4.116$$

Kraftzahl git

$$git = bo' \cdot a \cdot \rho_{tg} \cdot g / 2$$

$$git = 1,67 \cdot 2,90 \cdot 1,653 \cdot 9,807 / 2 = 39,25 \quad \text{N/dm}^2 \quad 4.117$$

Höhe nv'

$$nv = N_{ve} / git = 31,2 / 39,25 = 0,79 \quad \text{dm} \quad 4.118$$

Angriffshöhe hv → der Erddruckkraft H_{fe}

$$hv = H_{ve} / git = 58,4 / 39,25 = 1,49 \quad \text{dm} \quad 4.119$$

Da der Boden des Glasbehälters – ähnlich einer Felsschicht – den vertikalen Kraftabbau in dem Sand verhindert, wandelt sich die noch nicht abgebaute vertikale Kraft der Fläche Ae in die horizontale Kraft Hf^* (F–B).

Erddruckkraft Hfe^*

$$Hfe^* = Hfe \cdot hz/hv' = 42,7 \cdot 0,81/1,49 = 23,2 \quad \text{N} \quad 4.120$$

Ergebnis:

Während die Kraft $Hfe^* = 23,2 \text{ N}$ (4.120) in Höhe des Behälterbodens wirkt, greift die Erddruckkraft $Hfe = 42,7 \text{ N}$ (4.116) gegen die Bezugsachse in der Höhe $hv = 1,49 \text{ dm}$ (4.119) an.

Variante B: Kräfte im Erdkeil nach dem Abgleiten des Bodens

Nach dem Abgleiten des Bodens schneidet die Scherebene die Bezugsachse in dem Punkt A', so dass die Gewichtskraft Ge' für die Kraftermittlung aus der Erdkeilfläche (H'–A'–B') zu ermitteln ist. Es bietet sich an, zunächst die Höhen nv und hv und danach die Erddruckkräfte Hf über das Verhältnis der Höhen zu ermitteln. Die Höhe $Hfe^* = 23,2 \text{ N}$ (4.120) verändert sich nicht.

Höhe $nv' \rightarrow$ Winkel $\beta_e = 53,8^\circ$ (4.89)

$$nv' = (hu' + hz) \cdot \cos^2 \beta_e = (1,07 + 0,81) \cdot 0,349 = 0,66 \text{ dm} \quad 4.121$$

Angriffshöhe hv'

$$hv' = (hu' + hz) \cdot \sin^2 \beta_e = 1,88 \cdot 0,651 = 1,22 \quad \text{dm} \quad 4.122$$

Kraftmeter hf'

$$hf' = (hu' + hz) \cdot \sin \beta_e \cdot \cos \beta_e = 1,88 \cdot 0,477 = 0,90 \quad \text{dm} \quad 4.123$$

Erddruckkraft $Hf \rightarrow$ über die Kraft $Hfe = 42,7 \text{ N}$ (4.116)

$$Hf = Hfe \cdot (hu' + hz) / hu' = 42,7 \cdot 1,88 / 2,28 = 35,2 \quad \text{N} \quad 4.124$$

oder Hf

$$Hf = hf' \cdot git = 0,90 \cdot 39,25 = 35,3 \quad \text{N} \quad 4.125$$

Ergebnis:

Die Erddruckkraft $Hf = 35,2 \text{ N}$ (4.124) wirkt in der Höhe $hv' = 1,22 \text{ dm}$ (4.122) gegen die Bezugsachse und die Kraft $Hfe^* = 23,2 \text{ N}$ (4.120) am Behälterboden bleibt unverändert.

4.3.3 Einfluss von Auflasten auf Böden mit geneigter Oberfläche

In dem vorangestellten Abschnitt wurde über Versuchsanordnungen das Abgleiten von Sand in einem Körper mit geneigter Oberfläche dargestellt. Hierbei zeigte sich, dass der Sand, der oberhalb der natürlichen Scherebene lagert, als

In der Abb. 83 wird die Schüttung/Auflast durch die Fläche (D–C–A–D') gekennzeichnet. Sie bewirkt, dass sich die Lage der Erddruckkraft H_f (grün) nach oben verschiebt und zur Kraft H_{fe} (rot) wird.

Setzt man hingegen eine Kraft auf einen Erdblock (Abb. 84 und 85) und wandelt diese in die Auflastfläche (D–C–A–D') um, so ist die Fläche unterhalb der natürlichen Neigungsebene (D'–B) anzuordnen. Die Fläche ist hierbei zu unterteilen in den aktiven Part (D'–B–B') und in den reaktiven Part mit der Flächenbezeichnung A_r . Der aktive Flächenanteil A_a ist zu der Fläche A_o des Erd-eigengewichts zu addieren, so dass die Gesamtfläche $A_{ae} = A_o + A_a$ entsteht. Die Blockhöhe h vergrößert sich durch den Lastabtrag im Erdreich um die Höhe h_e und nimmt damit die Höhe h_l ein. Die Lage der natürlichen Scherebene (D'–M), der Scherebene unter Auflast (D'–A'), der natürlichen Neigungsebene (D'–B) mit dem Winkel β und die der Neigungsebene unter Auflast (D'–B') mit dem Winkel β_e sind im Block eingezeichnet.

In der Abb. 85 ist die Kraftverteilung dargestellt, in Grün die Erddruckkraft H_f ohne Auflast und in Rot die Erddruckkraft H_{fe} unter Auflast. Hierbei wird deutlich, dass zum Abtrag von Auflasten tiefer liegendes Erdreich in Anspruch genommen wird. Verhindern Fels- oder Betonschichten den vertikalen Kraftabbau, können sich die noch nicht im Erdreich abgebauten vertikalen Kräfte in horizontale wandeln. Hierüber wird im Unterkapitel 4.6, S. 141 berichtet.

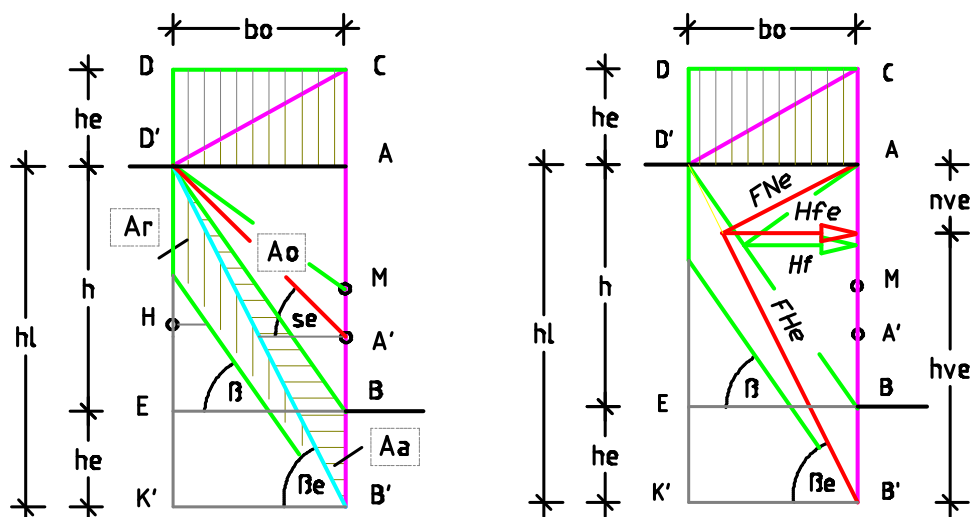


Abb. 84 zeigt links einen Erdblock mit rechteckiger Auflastfläche sowie deren Neigungs- und Scherebenen ohne und mit Auflast.

Abb. 85 zeigt rechts einen Erdblock mit rechteckiger Auflastfläche und deren Kraftverteilung in der Keilfläche (D'–A–B')

Nachstehend werden keilflächige Auflasten auf Erdblöcken behandelt.

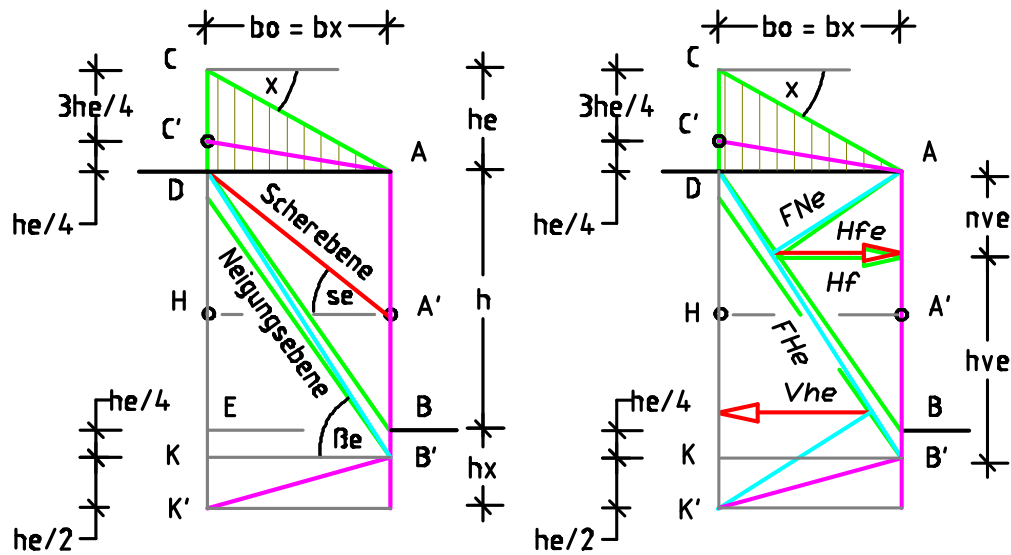


Abb. 86 (links) zeigt einen Erdblock mit aufsteigender Oberfläche (A–C) und die Winkeländerungen infolge der Auflast.

Abb. 87 (rechts) zeigt einen Erdblock mit aufsteigender Oberfläche und die Kraftverteilung innerhalb der Keilfläche (D–A–B’)

Der Ansatz der Höhe he zur Ermittlung der Neigungsebene unter Auflast mit dem Winkel β_e basiert auf den Ergebnissen der Versuche 9.2 und 9.3.

Nachstehend werden die Ermittlung der Neigungsebene unter Auflast und die Kraftverteilung bei einem Erdkörper mit abfallend geneigter Oberfläche gezeigt.

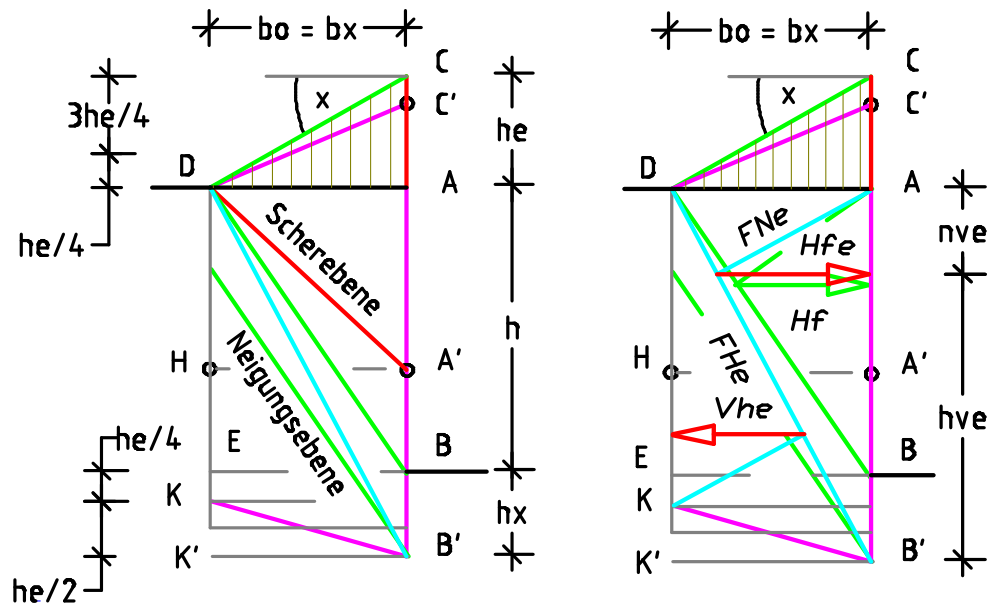


Abb. 88 (links) zeigt einen Erdblock mit abfallender Geländeoberfläche sowie die Neigungs- und die Scherebene unter Auflast.

Abb. 89 (rechts) zeigt einen Erdblock mit abfallender Geländeoberfläche und die Kraftverteilung innerhalb der Keilfläche (D–A–B’).

4.3.4 Ermittlung der Kräfte und Winkel zur Versuchsanordnung 5

Zum Nachweis, dass Böden beim Abgleiten aus einem stehenden in einen liegenden Erdkeil weder einer Fließbedingung noch dem Mohr-Coulomb'schen Bruchkriterium unterliegen, sind Versuche in dem Unterkapitel 2.8, S. 52ff. durchgeführt worden. Mit der Versuchsanordnung 5 (Abb. 32, S. 54) wird aufgezeigt, dass sich die ausgebildeten Ebenen und Winkel in dem abgeglittenen Füllstoff über seine Bodeneigenschaften (Kapitel 3) und die Kräfte über die klassische Erddruck-Theorie von Coulomb (Fig. 7) errechnen lassen. Die Kraftermittlung folgt zudem den Vorgaben des Abschnitts 4.3.3, Abb. 83, S. 121. Als Berechnungstiefe wird $a' = 1,00$ dm gewählt.

Für den Versuch 5 ist in die linke Kammer des Glaskastens trockener Sand mit der Dichte $ptg_1 = 1,638$ kg/dm³ und dem Füllgewicht $E_1 = 22,0$ kg eingebaut und seine Oberfläche geglättet worden. Hiernach wurde trockener Basaltgrus mit der Dichte $ptg_2 = 1,846$ kg/dm³ und dem Gewicht $E_2 = 13,5$ kg eingefüllt.

Errechnet werden zunächst die Eigenschaften der Füllstoffe und danach die Lage der Ebenen sowie deren Winkel und Erdkräfte.

Eigenschaften des Sandes:

Volumen V_1

$$V_1 = E_1 / ptg_1 = 22,0 / 1,638 = 13,43 \quad \text{dm}^3 \quad 4.126$$

Höhe $h_1 \rightarrow$ über die Grundfläche der Kammer $Ak_1 = 7,08$ dm² (3.33).

$$h_1 = V_1 / Ak_1 = 13,43 / 7,08 = 1,90 \quad \text{dm} \quad 4.127$$

Feststoffvolumen

$$V_{f1} = V_p \cdot ptg_1 / ptg_{90} = 1,0 \cdot 1,638 / 3,0 = 0,546 \quad \text{dm}^3 \quad 4.128$$

Porenvolumen

$$V_{l1} = V_p - V_{f1} = 1,0 - 0,546 = 0,454 \quad \text{dm}^3 \quad 4.129$$

Neigungswinkel β_1

$$\tan \beta_1 = V_{f1} / V_{l1} = 0,546 / 0,454 = 1,203 \quad 4.130$$

$$\beta_1 = 50,3^\circ \quad [-] \quad 4.131$$

Scherwinkel s_1

$$\tan s_1 = \tan \beta / 2 = 1,203 / 2 = 0,601 \quad 4.132$$

$$s_1 = 31,0^\circ \quad [-] \quad 4.133$$

Eigenschaften des Basaltgruses:

Volumen V_2

$$V_2 = E_2 / ptg_2 = 13,5 / 1,846 = 7,31 \quad \text{dm}^3 \quad 4.134$$

Höhe h_2

$$h_2 = V_2 / Ak_1 = 7,31 / 7,08 = 1,03 \quad \text{dm} \quad 4.135$$

Feststoffvolumen

$$Vf_2 = Vp \cdot ptg_2 / ptg_{90} = 1,0 \cdot 1,846 / 3,0 = 0,615 \quad \text{dm}^3 \quad 4.136$$

Porenvolumen

$$Vl_2 = Vp - Vf_2 = 1,0 - 0,615 = 0,385 \quad \text{dm}^3 \quad 4.137$$

Neigungswinkel β_2

$$\tan \beta_2 = Vf_1 / Vl_1 = 0,615 / 0,385 = 1,597 \quad 4.138$$

$$\beta_2 = 58,0^\circ \quad [-] \quad 4.139$$

Scherwinkel s_2

$$\tan s_2 = \tan \beta_2 / 2 = 1,597 / 2 = 0,799 \quad 4.140$$

$$s_2 = 38,6^\circ \quad [-] \quad 4.141$$

Wegen der unterschiedlichen Dichten ptg_1 und ptg_2 wird der Basaltgrus zur Auflast des Sandes. Für die weiteren Berechnungen empfiehlt es sich, die Schichthöhe h_2 des Basaltgruses über den Faktor ptg_2/ptg_1 umzuwandeln in die Schichthöhe h_3 .

Höhe h_3

$$h_3 = h_2 \cdot ptg_2 / ptg_1 = 1,03 \cdot 1,846 / 1,638 = 1,16 \quad \text{dm} \quad 4.142$$

Nach dem Angleichen der Dichten können die Gewichtskraft Ge , die Hangabtriebskraft FHe und die Erddruckkraft Hfe gegen die Wand über die Höhe $hl' = h_1 + h_3$, den Neigungswinkel β_1 und das Keilvolumen $Voe = Aoe \cdot a'$ errechnet werden.

Berechnungshöhe $hl \rightarrow$ Füllhöhe $h = h_1 + h_2 = 2,93 \text{ dm}$

$$hl = h_1 + h_3 = 1,90 + 1,16 = 3,06 \quad \text{dm} \quad 4.143$$

Keilbreite be

$$be = hl / \tan \beta_1 = 3,06 / 1,203 = 2,54 \quad \text{dm} \quad 4.144$$

Lastkeil $Voe \rightarrow$ bezogen auf die Tiefe $a' = 1,00 \text{ dm}$

$$Voe = hl \cdot be \cdot a' / 2 = 3,06 \cdot 2,54 \cdot 1,00 / 2 = 3,89 \quad \text{dm}^3 \quad 4.145$$

Gewichtskraft Ge

$$Ge = Voe \cdot ptg_1 \cdot g = 3,89 \cdot 1,638 \cdot 9,807 = 62,5 \quad \text{N} \quad 4.146$$

Hangabtriebskraft $FHe \rightarrow$ mit $\beta_1 = 50,3^\circ$

$$FHe = Ge \cdot \sin \beta_1 = 62,5 \cdot 0,769 = 48,1 \quad \text{N} \quad 4.147$$

Erddruckkraft Hfe

$$Hfe = Ge \cdot \sin \beta_1 \cdot \cos \beta_1 = 62,5 \cdot 0,769 \cdot 0,639 =$$

$$Hfe = 30,7 \quad \text{N} \quad 4.148$$

Kraftmeter hfe

$$hfe = hl \cdot \sin \beta_1 \cdot \cos \beta_1 = 3,06 \cdot 0,491 = 1,50 \quad \text{dm} \quad 4.149$$

Angriffshöhe hve

$$hve = hl \cdot \sin^2 \beta_1 = 3,06 \cdot 0,592 = 1,81 \quad \text{dm} \quad 4.150$$

Zu der Angriffshöhe $h_{ve} = 1,81$ dm (4.150) der Erddruckkraft H_{fe} gegen die lotrechte Wand bleibt anzumerken, dass diese Höhe auch der Anpassung der Dichten unterliegt, d. h. real wäre die Höhe h_{ve} entsprechend dem Verhältnis der Höhen hl zu $h = 3,08 / 2,93$ zu reduzieren. In der Abbildung wird die über die Höhe hl errechnete Lage der Erddruckkraft H_{fe} dargestellt.

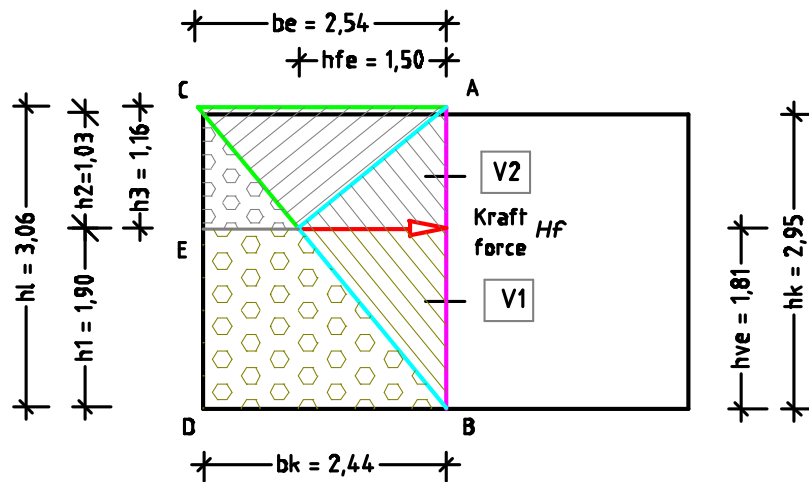


Abb. 90 zeigt die Keilfläche Ao und in der Höhe h_v die Erddruckkraft H_f gegen die eingestellte Glasscheibe (A–B).

Nach dem Ziehen der Glasscheibe und dem Abgleiten der Füllstoffe bildet sich aus dem stehenden Erdkeil (Abb. 90) ein liegender Erdkeil aus (Abb. 91). Seine Ebenen, Winkel und Erdkräfte werden nachstehend ermittelt. Infolge der Höhenanpassung über den Faktor ptg_2/ptg_1 kann der Erdkörper als zusammenhängende Masse gesehen und damit die Höhe $hl = 3,06$ dm (4.143), der Neigungswinkel $\beta_1 = 50,3^\circ$ und der Scherwinkel $s_1 = 31,0^\circ$ (4.133) des Sandes übernommen werden. Um links der Bezugsachse (A–B) die Erdauflast und die Kräfte gemäß den Abb. 86 und 87 ermitteln zu können, ist in der Höhe $hl/2 = 1,53$ dm die Ebene (H–A') einzufügen, siehe folgende Abb. 91.

Auf der Ebene (H–A') steht ein Erdkeil mit der Höhe hx und der Breite bx , der unterhalb der Ebene von dem Erdkeil mit der Höhe $hl/2$ und der Breite bx getragen wird. Da sich der Lastabtrag über aktive und reaktive Kraftanteile vollzieht, ist die Keilhöhe hx dem aktiven Lastanteil über die Höhe $hx/4 = h_e$ anzupassen. Die Höhe h_e beschreibt den Abstand der Punkte J zu H. Die Höhe hx errechnet sich über die Breite bx und den Scherwinkel $s_1 = 31,0^\circ$ (4.133).

Die Neigungsebene unter Auflast setzt an dem Punkt J an und führt zum Schnittpunkt von Bezugsachse und Behälterboden. Um die keilförmige Auflast in den Erdkeil unterhalb der Ebene (H–A') einbeziehen zu können, ist die Nei-

gungsebene unter Auflast vertikal und parallel an den Punkt H zu versetzen, so dass unterhalb der Basisebene auf der Bezugsachse der Punkt B entsteht.

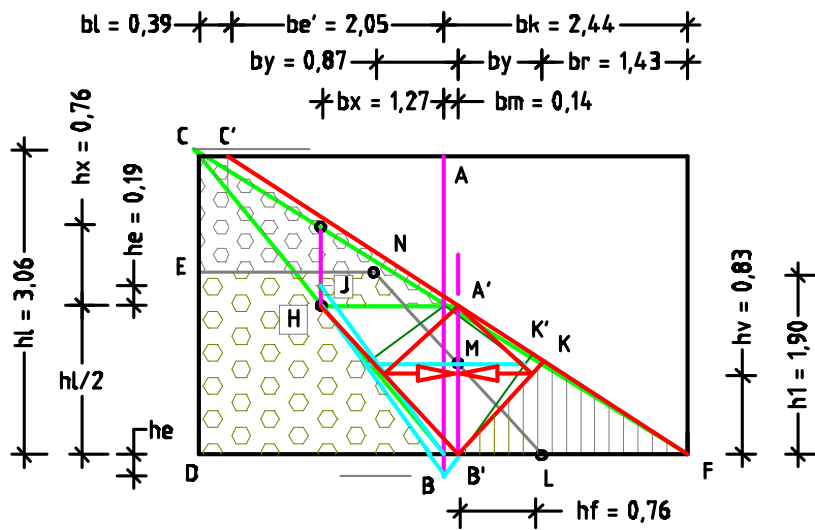


Abb. 91 zeigt die Keilflächen (H–A–B) sowie (H–A'–B') und die Erddruckkraft H_f (rot) gegen die Achse (A'–B') mit der Angriffshöhe h_v .

Da der Kraftabbau in der Neigungsebene unter Auflast durch den Glasboden behindert wird, bildet sich auf ihm die nicht abgebaute vertikale Kraft in eine horizontale Kraft um. Mit dem Ziehen der trennenden Glasscheibe wird diese horizontale Kraft aktiv und verschiebt die Bezugsachse (A–B) um die Breite bm in die Lage der Bezugsachse (A'–B'). Damit nimmt die Neigungsebene unter Auflast (rot) die Ebene (H–B') ein. Der Tangens des Winkel $\beta e'$ lässt sich nunmehr über die Höhe $hl/2$ dividiert durch die Breite $bx' = bx + bm$ errechnen. Durch die Verschiebung der Bezugsachse (A–B) in die Ebene (A'–B') entstehen die Keilflächen (H–A–B) und (H–A'–B') und damit zwei Lastfälle. Ermittelt werden über die Keilfläche (H–A'–B) die Lage der einzelnen Ebenen, deren Winkel und Kräfte, siehe Abb. 91. Da sich Sand und Basaltgrus beim Abgleiten unterschiedlich verhalten, können sich geringe Abweichungen zwischen den gemessenen und errechneten Werten ergeben.

Es werden errechnet:

Keilbreite $bx \rightarrow$ mit Winkel $\beta_I = 50,3^\circ$ (4.131) und Höhe $hl' = 3,06$ dm.

$$bx = hl / (2 \cdot \tan \beta_I) = 3,06 / (2 \cdot 1,203) = 1,27 \quad \text{dm} \quad 4.151$$

Höhe hx

$$hx = bx \cdot \tan s_I = 1,27 \cdot 0,602 = 0,76 \quad \text{dm} \quad 4.152$$

Höhe he

$$he = hx / 4 = 0,76 / 4 = 0,19 \quad \text{dm} \quad 4.153$$

Neigungswinkel β_{e1}

$$\tan \beta_{e1} = (hl/2 + he) / bx = (3,06/2 + 0,19) / 1,27 = 1,354 \quad 4.154$$

$$\beta_{e1} = 53,6^\circ \quad [-] \quad 4.155$$

Scherwinkel se_1

$$\tan se_1 = \tan \beta_{e1} / 2 = 1,354 / 2 = 0,677 \quad 4.156$$

$$se_1 = 34,1^\circ \quad [-] \quad 4.157$$

Versatzbreite bm

$$bm = he / \tan \beta_{e1} = 0,19 / 1,354 = 0,14 \quad \text{dm} \quad 4.158$$

Neigungswinkel $\beta_{e'}$

$$\tan \beta_{e'} = hl/2 \cdot (bx + bm) = 1,53 / (1,27 + 0,14) = 1,085 \quad 4.159$$

$$\beta_{e'} = 47,3^\circ \quad [-] \quad 4.160$$

Der Scherwinkel se' des Basaltgruses kann ermittelt werden über die Höhe $hl/2$ und die Breite $be = 2,52$ dm (4.144) minus der Breite $bm = 0,14$ dm.

Scherwinkel se'

$$\tan se' = hl/2 \cdot (be - bm) = 1,53 / (2,54 - 0,14) = 0,638 \quad 4.161$$

$$se' = 32,5^\circ \quad [-] \quad 4.162$$

Die Scherebene des Basaltgruses schneidet in der realen Höhe $h = h_1 + h_2 = 1,90 + 1,03 = 2,93$ den Erdkörper und lässt dort die Breiten be' und bl und unten an der Basisebene die Breiten by , br und br' entstehen.

Breite be'

$$be' = [(h_1 + h_2) / \tan se'] - be =$$

$$be' = (2,93 / 0,638) - 2,54 = 2,05 \quad \text{dm} \quad 4.163$$

Breite bl

$$bl = bk_1 - be' = 2,44 - 2,05 = 0,39 \quad \text{dm} \quad 4.164$$

Breite by

$$by = h_1 / (2 \cdot \tan \beta_{e'}) = 1,90 / (2 \cdot 1,085) = 0,87 \quad \text{dm} \quad 4.165$$

Breite br'

$$br' = be - by - bm = 2,54 - 0,87 - 0,14 = 1,53 \quad \text{dm} \quad 4.166$$

Breite br

$$br = bk_1 - by - bm = 2,44 - 0,87 - 0,14 = 1,43 \quad \text{dm} \quad 4.167$$

Kraftermittlung

Volumen V_{ou} → für die Kraftermittlung gegen die Bezugsachse (A–B)

$$V_{ou} = (hl/2 + he) \cdot bx \cdot a' / 2 =$$

$$V_{ou} = (1,53 + 0,19) \cdot 1,27 \cdot 1,00 / 2 = 1,09 \quad \text{dm}^3 \quad 4.168$$

Für die Kraftermittlung gegen die Bezugsachse (A'–B') ist das Volumen V_{ou}' über den Neigungswinkel $\beta_{e'}$, die Höhe $hl/2$ und die Breite $bx' = bx + bm$ zu ermitteln.

Volumen $V_{ou}' \rightarrow$ für die Kraftermittlung gegen die Bezugsachse (A'-B')

$$V_{ou}' = (hl / 2) \cdot (bx + bm) \cdot a' / 2 =$$

$$V_{ou}' = 1,53 \cdot (1,27 + 0,14) \cdot 1,00 / 2 = 1,08 \quad \text{dm}^3 \quad 4.169$$

Gewichtskraft $Ge \rightarrow$ mit $V_{oe}' = 1,08 \text{ dm}^3$ (4.168)

$$Ge = V_{oe}' \cdot \rho_{tg1} \cdot g = 1,08 \cdot 1,638 \cdot 9,807 = 17,3 \quad \text{N} \quad 4.170$$

Hangabtriebskraft $FHe \rightarrow$ mit $\beta_{e}' = 47,3^\circ$ (4.160)

$$FH = Ge \cdot \sin \beta_{e}' = 17,3 \cdot 0,737 = 12,7 \quad \text{N} \quad 4.171$$

Erddruckkraft Hf

$$Hf = Ge \cdot \sin \beta_{e}' \cdot \cos \beta_{e}' = 17,3 \cdot 0,737 \cdot 0,678 =$$

$$Hf = 8,6 \quad \text{N} \quad 4.172$$

Kraftmeter hf

$$hf = hl \cdot \sin \beta_{e}' \cdot \cos \beta_{e}' / 2 = 1,53 \cdot 0,500 = 0,76 \quad \text{dm} \quad 4.173$$

Angriffshöhe hv

$$hv = hl \cdot \sin^2 \beta_{e}' / 2 = 1,53 \cdot 0,540 = 0,83 \quad \text{dm} \quad 4.174$$

Die horizontale Kraft Hf' , die sich aus dem Erdkeil der rechten Kammer gegen die Bezugsachse A-B entwickelt, ist in der Abb. 91 dargestellt, wird aber nicht weiter berechnet.

Die nach dem Ziehen der Glasscheibe gemessenen Höhen, Breiten und Winkel sowie die errechneten Werte werden in der Tabelle gegenübergestellt.

Gemessene Maße	Berechnete Maße
Höhe $h_1 = 1,89 \text{ dm}$	Höhe $h_1 = 1,90 \text{ dm}$ (4.127)
Höhe $h_2 = 1,05 \text{ dm}$	Höhe $h_2 = 1,03 \text{ dm}$ (4.135)
Höhe $h = 2,94 \text{ dm}$	Höhe $h = 2,93 \text{ dm}$
Breite $bk_1 = 2,44 \text{ dm}$	Breite $bk_1 = 2,44 \text{ dm}$
Breite $be' = 2,02 \text{ dm}$	Breite $be' = 2,05 \text{ dm}$ (4.163)
Breite $bl = 0,42 \text{ dm}$	Breite $bl = 0,39 \text{ dm}$ (4.164)
Breite $byl = 0,74 \text{ dm}$	Breite $bm = 0,14 \text{ dm}$ (4.158)
Breite $byr = 0,98 \text{ dm}$	Breite $by = 0,87 \text{ dm}$ (4.165)
Breite $br = 1,46 \text{ dm}$	Breite $br = 1,43 \text{ dm}$ (4.167)
Neig.winkel $\beta_{e}' = 47,7^\circ$	Neig.winkel $\beta_{e}' = 47,3^\circ$ (4.160)
Scherwinkel $se' = 33,0^\circ$	Scherwinkel $se' = 32,5^\circ$ (4.162)

Als Ergebnis kann aufgezeigt werden, dass sich nach dem Abgleiten der Füllstoffe die Lage ihrer Ebenen und Winkel über deren Raum- und Gewichtsteile errechnen lassen. Zudem bestätigen die Kraftgrößen und ihre Zuordnungen, dass diese in dem stehenden Erdkeil (Abb. 90) als auch in dem liegenden Keil (Abb. 91) über die klassische Erddruck-Theorie von Coulomb (Fig. 7) ermittelbar sind. Nicht vorstellbar für den Verfasser bleibt, wie man über das Mohr-

Coulomb'sche Bruchkriterium die in der Tabelle dargestellten Ergebnisse errechnen könnte, siehe Berechnungsbeispiel und Abb. 13 und 14, S. 38ff.

4.3.5 Fazit zu 4.3:

Die Versuchsreihe 9 lässt erkennen, dass Erdmassen, die auf einer natürlichen Neigungsebene lagern, den Winkel der inneren Reibung steiler stellen und damit das Abgleiten von Erdmassen aus einem Hang fördern. Die Ermittlung des Winkels β_e unter Auflast ist damit abhängig von dem Winkel x der auf- oder absteigenden geneigten Geländeebene oder der Auflasthöhe hx , die oberhalb des Erdblocks anzusetzen ist. Die Höhe h oder die Breite bo sowie des Winkels β eines Erdblocks werden in der Regel vorgegeben oder bestimmen sich aus der Örtlichkeit. In der Ansichtsfläche eines Erdblocks nimmt die natürliche Neigungsebene die Diagonale ein. Um den Tangens des Neigungswinkels unter Auflast zu erhalten, ist zu der Blockhöhe h ein Anteil der Auflasthöhe hx zu addieren und durch die Blockbreite bo zu dividieren. Der anzusetzende Anteil der Höhe hx ist abhängig von der Richtung der geneigten Oberfläche, siehe Abb. 84 bis 89.

Der Umbau der Winkel verändert die Bodendichte nicht, schafft aber für den Kraftabbau in dem Erdreich neue Kraftfelder. Bei Erdmassen, die auf einer Felsschicht lagern, bleibt beim Kraftabbau zu beachten, dass sich nicht abgebaute vertikale Kräfte in horizontale Kräfte umwandeln können. Die Versuchsanordnungen 9.2 und 9.3 zeigen zudem auf, dass sich nach neuer Erddruck-Theorie ein Erdbeben im Voraus errechnen lässt. Zu den Veränderungen der Winkel und Kräfte infolge von Auflasten zeigen die Versuchsanordnungen 4 und 5, dass sich das Abgleiten der Füllstoffe über deren Raum- und Gewichtsteile und ihre Kräfte nach der Coulomb'schen Erddruck-Theorie (Abb. 9, S. 25) berechnen lassen. Weder die in den Abb. 90 und 91 dargestellten Ebenen und Winkel noch die Anordnung und Größe der Kräfte zeigen hierbei Ähnlichkeiten zu den Bildern I06.10 bis I06.70 [1: S. 114ff.].

Mit den Ergebnissen der Versuchsanordnungen 4 und 5 wird belegt, dass sich das natürliche Bodenverhalten keiner Fließbedingung – welcher auch immer – unterordnen lässt. Damit kann zur Erddruckermittlung nur die klassische Erddruck-Theorie von Coulomb herangezogen werden.

4.4 Kräfte in Böden unter Wasser bei geneigter Oberfläche

In den vorangestellten Versuchsanordnungen wurde trockener Sand als Boden verwandt und daraus die Veränderung der Winkel und Kraftflächen dargestellt. Um bei Schichtungen unterschiedlicher Bodenarten und geneigter Oberfläche die Wandlungen durch die Auflast leichter erkennen zu können, wurde ein Beispiel gewählt, bei dem ein nasser Boden unter Wasser überlagert wird mit einem trockenen Boden über Wasser. Auf eine Zwischenschicht, in der sich der trockene Boden dem nassen angleichen könnte, wurde verzichtet.

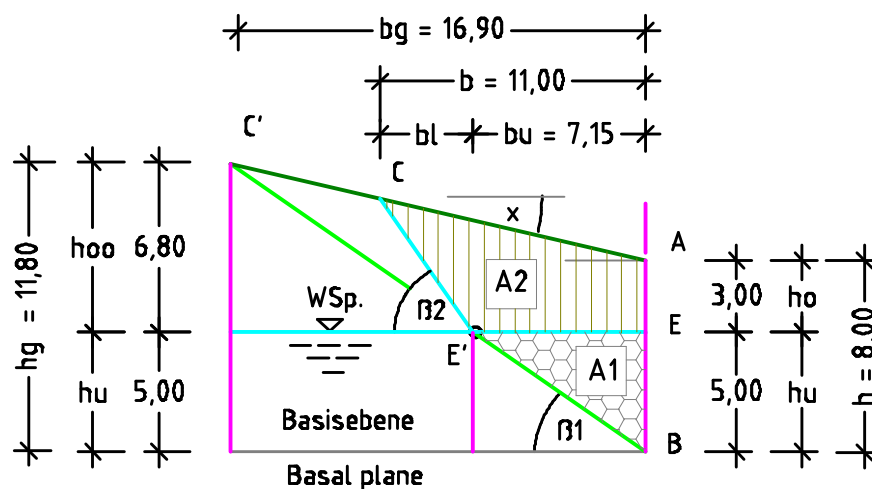


Abb. 92 zeigt die Grunddaten zur Ermittlung des ‚Kraftfeldes unter Auflast‘ bei Schichtung ungleicher Bodenarten.

Der nasse Boden unterhalb des Grundwasserspiegels (WSp) soll den Neigungswinkel $\beta_1 = \beta_{nw} = 35^\circ$ ausbilden. Seine Keilfläche mit der Bezeichnung *A1* wird durch die Neigungsebene und die Höhe $h_u = 5,00$ m begrenzt. Der darüber lagernde trockene Boden soll den Neigungswinkel $\beta_2 = \beta_t = 55^\circ$ entwickeln und an der lotrechten Bezugsachse die Höhe $h_o = 3,00$ m einnehmen. Bei dieser Erdschicht mit der Fläche *A2* soll die Oberfläche unter dem Winkel $x = 12,8^\circ$ ansteigen. Die Bemaßung wird in der Abb. 92 gezeigt.

Zu berechnen sind das Kraftfeld unter Auflast, die Erddruckkraft H_{fe} gegen die Bezugsachse und alle zur Ermittlung erforderlichen Eigenschaften der gewählten Bodenarten. In dem vorangestellten Unterkapitel wurde die Ermittlung des Kraftfeldes unter Auflast ausgehend von nur einer Bodenart behandelt. Zur Lösung der neuen Aufgabe bietet es sich an, die Eigenschaften der oberen Bodenschicht jenen der unteren Schicht anzugleichen und anschließend dem Berechnungsgang des Unterkapitels 4.3 zu folgen. Für die Wandlung der Bodeneigenschaften werden zunächst die Bodenkenngrößen beider Böden ermittelt.

4.4.1 Eigenschaften des nassen Bodens unter Wasser

Vorgegeben ist der Neigungswinkel $\beta_{nw} = 35^\circ$. Über diesen Winkel lassen sich der natürliche Scherwinkel snw , die Raumteile V_f und V_l sowie die Dichte $pnwg$ errechnen, siehe Unterkapitel 3.2, S. 70ff. Da bei einem nassen Boden das vom Wasser besetzte Volumen V_{ln} dem gesamten Porenvolumen V_l entspricht und das Feststoffvolumen $V_f = V_p - V_l$ ist, können über den Tangens $\tan \beta_{nw}$ des Neigungswinkels $\beta_{nw} = 35,0^\circ$ die nachstehenden Volumina errechnet werden. Der Ansatz des Feststoffvolumens unter Wasser mit $2/3 \cdot V_f$ leitet sich ab aus der Minderung infolge des Auftriebs, Abschnitt 3.2.1.

$$\tan \beta_{nw} = 2/3 \cdot V_f / (V_l + V_{fn} - V_w) = 2/3 \cdot V_f / V_l \cdot 5/6$$

Es werden berechnet:

Volumen $V_f \rightarrow$ zu ermitteln über das Volumen $V_p = 1,00 \text{ m}^3$

$$\tan \beta_{nw} \cdot 5 \cdot 3 \cdot (1,0 - V_f) = 12 \cdot V_f$$

$$0,700 \cdot 15 \cdot (1,0 - V_f) = 12 \cdot V_f \rightarrow 10,5 - 10,5 V_f = 12,0 V_f$$

$$V_f = 10,5 / 22,5 = 0,467 \quad \text{m}^3 \quad 4.175$$

Volumen V_l

$$V_l = V_p - V_f = 1,00 - 0,467 = 0,533 \quad \text{m}^3 \quad 4.176$$

Feststoffvolumen $V_{fw} \rightarrow$ unter Auftrieb

$$V_{fw} = 2 \cdot V_f / 3 = 2 \cdot 0,467 / 3 = 0,311 \quad \text{m}^3 \quad 4.177$$

Nassdichte $pnwg \rightarrow$ unter Wasser

$$pnwg = (V_{fw} \cdot \rho_{tg90} + V_{ln} \cdot \rho_w) / V_{p90}$$

$$pnwg = (0,311 \cdot 3,0 + 0,533 \cdot 1,0) / 1,0 = 1,466 \quad \text{t/m}^3 \quad 4.178$$

Ergebnis:

Winkel $\beta_{nw} = 35,0^\circ$, $\tan = 0,700$	Scherwinkel $snw = 19,3^\circ$
Feststoffv. $V_f = 0,467 \text{ m}^3$ (4.175)	Porenvol. $V_l = 0,533 \text{ m}^3$ (4.176)
Fiktives $V_{fw} = 0,311 \text{ m}^3$ (4.177)	Dichte $pnwg = 1,466 \text{ t/m}^3$ (4.178)

4.4.2 Eigenschaften des trockenen Bodens über Wasser

Für den Boden mit dem Neigungswinkel $\beta_t = 55^\circ$ sind die Kenngrößen bereits errechnet worden, siehe Abschnitt 3.1.1, S. 59.

Winkel $\beta_t = 55,0^\circ$ / $\tan \beta_t = 1,428$	Dichte $\rho_{tg} = 1,764 \text{ t/m}^3$ (3.9)
Feststoffv. $V_{f2} = 0,588 \text{ m}^3$ (3.1)	Porenvol. $V_{l2} = 0,412 \text{ m}^3$ (3.2)

Anpassung der Fläche A_2 an die Kenngrößen des nassen Bodens

Für die weiteren Berechnungen ist der trockene Boden (Schicht 2) dem nassen Boden (Schicht 1) über die Flächenmehrung anzupassen. Die neue Fläche lässt

sich ermitteln über die Höhen ho und hoo der Schicht 2 multipliziert mit dem Proportionalitätsfaktor Vf_2/Vf_1 .

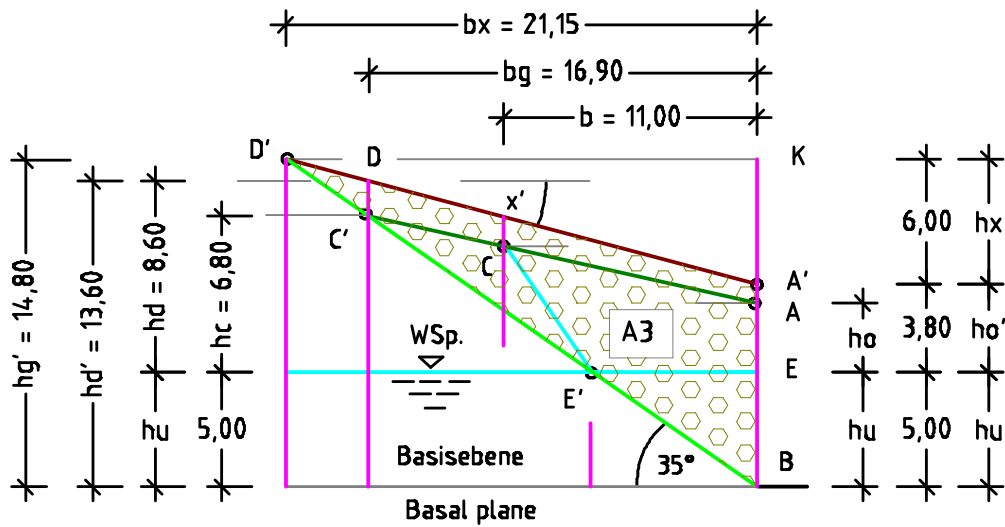


Abb. 93 zeigt die Fläche A3 (C'–A–B), welche durch die Anpassung des Bodens der Fläche A2 an die Bodeneigenschaften der Fläche A1 zu bilden war.

Es werden berechnet:

Breite $bg \rightarrow$ über die Winkel $\beta_{nw} = 35^\circ$ und $x = 12,8^\circ$ (vorgegeben)

$$bg = h / (\tan \beta_{nw} - \tan x)$$

$$bg = 8,00 / (0,700 - 0,227) = 16,90 \quad \text{m} \quad 4.179$$

Höhe ho'

$$ho' = ho \cdot Vf_2/Vf_1 = 3,00 \cdot 0,588/0,467 = 3,80 \quad \text{m} \quad 4.180$$

Höhe hc

$$hc = bg \cdot \tan \beta_{nw} - hu$$

$$hc = 16,90 \cdot 0,700 - 5,00 = 6,80 \quad \text{m} \quad 4.181$$

Höhe hd

$$hd = hc' \cdot Vf_2/Vf_1 = 6,80 \cdot 0,588/0,467 = 8,60 \quad \text{m} \quad 4.182$$

Winkel x'

$$\tan x' = (hd - ho') / bg = (8,60 - 3,80) / 16,90 = 0,284 \quad 4.183$$

$$x' = 15,9^\circ \quad [-] \quad 4.184$$

Breite bx

$$bx = (hu + ho') / (\beta_{nw} - \tan x')$$

$$bx = (5,00 + 3,80) / (0,700 - 0,284) = 21,15 \quad \text{m} \quad 4.185$$

Höhe hx

$$hx = bx \cdot \tan x' = 21,15 \cdot 0,284 = 6,00 \quad \text{m} \quad 4.186$$

Höhe hg

$$hg = bx \cdot \tan \beta_{nw} = 21,15 \cdot 0,700 = 14,80 \quad \text{m} \quad 4.187$$

Höhe hm

$$hm = hg - hx = 14,80 - 6,00 = 8,80 \quad \text{m} \quad 4.188$$

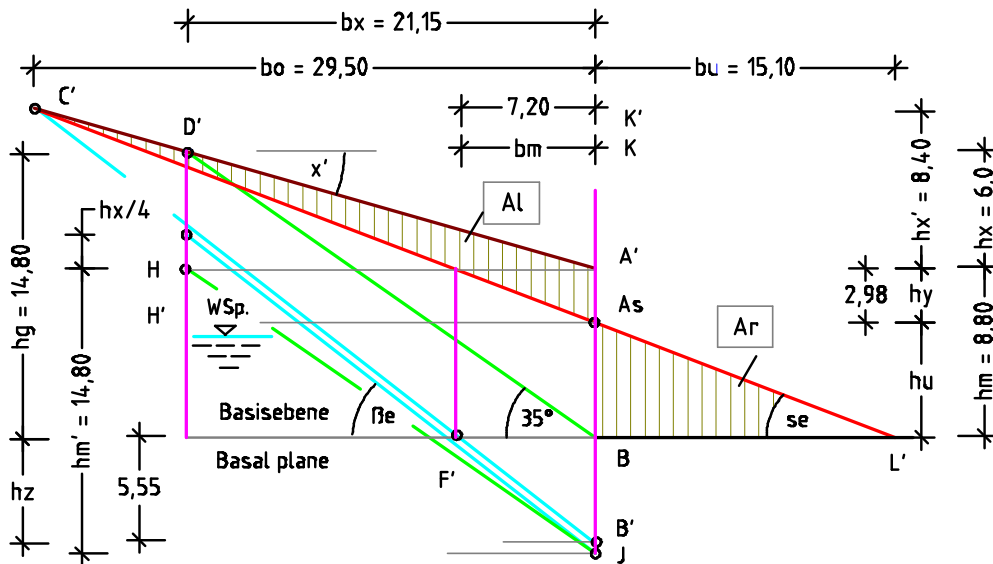


Abb. 94 zeigt die natürliche Scherebene (D'-L), die Scherebene (E-L') unter Auflast und die Fläche (E-D'-A'-A*) des Erdkörpers, der die Auflast bildet.

Für die Berechnung des Neigungswinkels β_e unter Auflast ist unterhalb der Ebene (H-A') die Höhe hg (4.187) als Höhe hm' anzutragen und die Höhe (hm' plus $hx/4$) durch die Blockbreite $bx = 21,15$ m (4.185) zu dividieren.

Neigungswinkel β_e

$$\tan \beta_e = (hm' + hx/4) / bx = (14,80 + 6,0/4) / 21,15 = 0,771 \quad 4.189$$

$$\beta_e = 37,6^\circ \quad [-] \quad 4.190$$

Scherwinkel se

$$\tan se = (\tan \beta_e) / 2 = 0,771 / 2 = 0,385 \quad 4.191$$

$$se = 21,1^\circ \quad [-] \quad 4.192$$

Die Lage der Scherebene unter Auflast wird durch die Höhe hy bestimmt, wobei diese sich errechnen lässt über den Scherwinkel se , den Winkel des Geländeanstiegs $x' = 15,9^\circ$ (4.184) sowie die Höhe $hm = 8,80$ m (4.188).

Höhe hy

$$hy^2 / [2 \cdot (\tan se - \tan x')] = (hm - hy)^2 / (2 \cdot \tan se)$$

$$hy^2 / [2 \cdot (0,385 - 0,284)] = (8,80 - hy)^2 / (2 \cdot 0,385)$$

$$hy^2 = (8,80 - hy)^2 \cdot 0,202 / 0,770 \quad hy = \sqrt{0,262} \cdot (8,80 - hy)$$

$$hy + 0,512 hy - 4,51 = 0 \quad hy = 4,51 / 1,512 = 2,98 \quad \text{m} \quad 4.193$$

Höhe hu'

$$hu' = hm - hy = 8,80 - 2,98 = 5,82 \quad \text{m} \quad 4.194$$

Breite bo

$$bo = hy / (\tan se - \tan x') =$$

$$bo = 2,98 / (0,385 - 0,284) = 29,50 \quad \text{m} \quad 4.195$$

Breite bu	$bu = hu' / \tan se = 5,82 / 0,385 = 15,12$	m	4.196
Höhe hx'	$hx' = bo \cdot \tan x' = 29,50 \cdot 0,284 = 8,38$	m	4.197
Höhe hg'	$hg' = bo \cdot \tan \beta e = 29,50 \cdot 0,771 = 22,74$	m	4.198
Höhe hz	$hz = hg' - hx' - hm = 22,74 - 8,38 - 8,80 = 5,56$	m	4.199
Breite bm	$bm = hz / \tan \beta e = 5,56 / 0,771 = 7,21$	m	4.200
Fläche Al	$Al = (bo \cdot hy) / 2 = (29,5 \cdot 2,98) / 2 = 43,96$	m ²	4.201
Fläche Ar	$Ar = (bu \cdot hu') / 2 = (15,12 \cdot 5,82) / 2 = 44,0$	m ²	4.202

Die Fläche $Al = 43,96 \text{ m}^2$ (4.201) erfasst die Erdmasse, welche auf der Scherebene unter Auflast lagert. Verliert der Boden an der Bezugsachse seinen Halt, gleitet er auf der Scherebene unter dem Winkel $se = 21,1^\circ$ (4.192) ab und bildet rechts der Achse einen Erdkörper mit der Fläche $Ar = 44,0 \text{ m}^2$ (4.202) aus.

4.4.3 Kraftermittlung gegen eine lotrechte fiktive Wand

Für die Berechnung der Gewichtskraft wird die Berechnungstiefe $a = 1,00 \text{ m}$ vorgegeben. Auf die Ermittlung der Teilkräfte aus der Gewichtskraft wird verzichtet, weil diese entsprechend den Varianten A und B des Abschnitts 4.3.2 erbracht werden kann.

Noch zu ermitteln sind:

Breite bou	$bou = (hm + hz) / \tan \beta e = (8,80 + 5,55) / 0,771 = 18,60$	m	4.203
Fläche Aou	$Aou = bou \cdot (hm + hz) / 2 = 18,60 \cdot 14,35 / 2 = 133,5$	m ²	4.204
Volumen $Vou \rightarrow$ bei der Berechnungstiefe $a = 1,00 \text{ m}$	$Vou = Aou \cdot a = 133,5 \cdot 1,00 = 133,5$	m ³	4.205
Gewichtskraft $Ge' \rightarrow$ mit der Dichte $pnwg = 1,466 \text{ t/m}^3$ (4.178)	$Ge' = Vou \cdot pnwg \cdot g = 133,5 \cdot 1,466 \cdot g = 1919$	kN	4.206
Kraftzahl gin	$gin = bou \cdot a \cdot ptg \cdot g / 2$		
	$gin = 18,60 \cdot 1,00 \cdot 1,466 \cdot 9,807 / 2 = 133,7$	kN/dm ²	4.207

Die errechneten Maße sind maßstabsgerecht dargestellt in der Abb. 95.

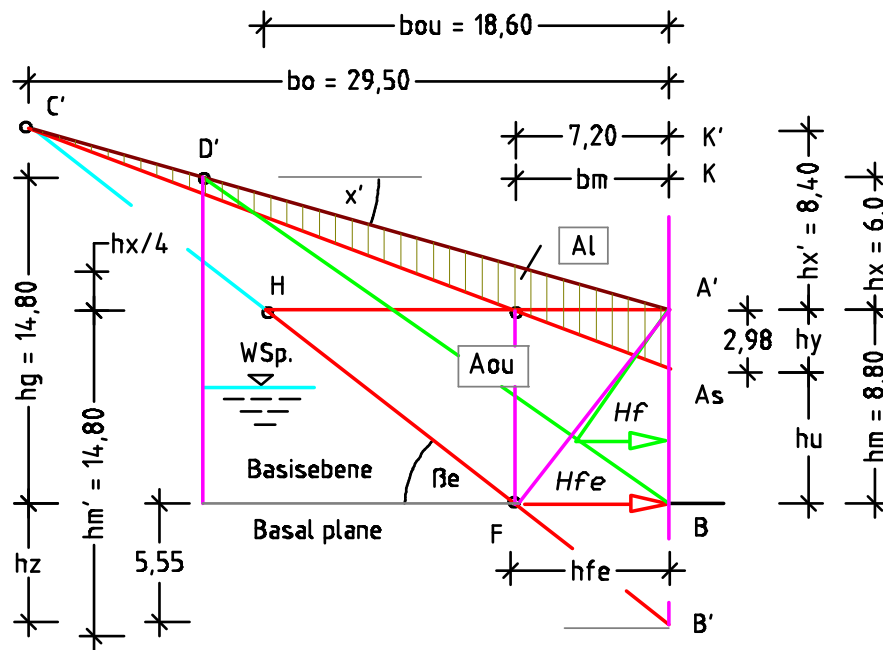


Abb. 95 zeigt die Fläche Aou ($H-A'-B'$), welche für die Kraftermittlung maßgebend wird, wenn der Boden durch die Wand ($A'-B'$) gehalten wird.

Fazit zu 4.4:

Zur Ermittlung des Neigungs- und des Scherwinkels unter Auflast sind bei Schichtungen unterschiedlicher Böden deren Volumina über die Bodenkenngrößen der untersten Schicht an das Volumen der untersten Schicht anzupassen. Diese Anpassung lässt einen fiktiver Erdkörper entstehen, der nach der Kraftermittlung über die Bodenkenngrößen der untersten Schicht wieder zurückgeführt werden kann. Bei einem Erdkörper mit geneigter Oberfläche wandelt sich der Anstiegswinkel der Geländeebene von x nach x' , siehe Abb. 93.

Der Neigungswinkel β_e unter Auflast kann errechnet werden, wenn zunächst auf der Bezugsachse in dem Ansatzpunkt A' der geneigten Oberfläche eine horizontale Ebene ($H-A'$) angelegt und unterhalb dieser Ebene ein Erdblock gestellt wird. Die Blockhöhe hm' kann ermittelt werden über die Breite bx und den natürlichen Neigungswinkel der untersten Bodenschicht. In diesem Fall, d. h. bei aufsteigender Geländeebene, ist auf die Blockhöhe hm' im Abstand der Breite bx von der Bezugsachse aus, die Höhe $hx/4$ anzusetzen, so dass dort die Höhe $hm' + hx/4$ entsteht. Die Höhe hx stellt auf der Bezugsachse den Abstand zwischen den Punkten K und A' dar. Der Tangens des Neigungswinkels β_e unter Auflast ergibt sich aus dem Ansatz $\tan \beta_e = (hm' + hx/4) / bx$. Über diesen Winkel lassen sich alle weiteren Maße des Erdkörpers errechnen.

4.5 Ableiten von Böden auf geneigter/ebener Felsschicht, Versuch 10

Um das Verhalten von Böden zu erkunden, wenn diese auf einer geneigten Basisebene (Felsschicht) lagern, ihren Halt an der imaginären Wand (Bezugsachse) verlieren und abgleiten, wurde die Versuchsanordnung 10 angelegt.

Bereits in dem Unterkapitel 2.4.1 wurde dargestellt, dass vertikal auf einen Erdkörper aufgetragene Kräfte in horizontale Kräfte umgelenkt werden, wenn der Erdkörper auf einer festen Unterlage steht, siehe Abb. 23 bis 25, S. 48ff. (Probekörper unter Druckausübung). Ergänzend zeigen die Versuche 9.2 und 9.3 auf, dass Horizontalkräfte in einem Erdkörper zusätzlich entstehen, wenn der anstehende Erdkörper mit geneigter Oberfläche in einen Erdblock und einen darüberliegenden Erdkeil zu unterteilen ist, siehe auch Abschnitt 4.3.3.

Für die Versuchsanordnung wurde ein trockenes Lehm-Sand-Gemisch in einem Bottich gemischt, danach in die linke Kammer des Glaskastens auf eine Holzrampe bis zur Füllhöhe $h = 2,26$ dm eingefüllt und die Oberfläche geebnet. Diese Holzrampe soll die Aufgabe einer geneigten Felsschicht übernehmen. Links an der Kammerwand wurde die Rampenhöhe $h_{uu} = 1,00$ dm und an der trennenden Glasscheibe die Höhe $h_s = 0,12$ dm gemessen. Die Grundfläche der Rampe $A_{k1} = 7,08$ dm² (3.33) ist über die Breite $b_{k1} = 2,44$ dm und die Tiefe $a = 2,90$ dm errechnet worden, siehe Abschnitt 3.1.1, S. 59ff.



Abb. 96 zeigt den Glaskasten mit dem eingebauten Holzkeil, dessen Oberfläche einer Felsschicht entsprechen soll.

Für das Gemisch wurde Sand mit dem Volumen $V_a = 10,00$ dm³ und der Dichte $\rho_{tg_a} = 1,645$ kg/dm³ sowie Lehm mit dem Volumen $V_b = 2,00$ dm³ und der Dichte $\rho_{tg_b} = 1,175$ kg/dm³ vermengt. Über das Gesamtvolumen $V_l = V_a + V_b = 12,00$ dm³ sowie über die Dichten von Sand und Lehm werden nachstehend alle weiteren Eigenschaften des Gemischs errechnet.

Berechnung der Bodeneigenschaften

Hierzu werden übernommen:

Sand	Lehm
Volumen $V_a = 10,0 \text{ dm}^3$	Volumen $V_b = 2,00 \text{ dm}^3$
Dichte $ptg_a = 1,645 \text{ kg/dm}^3$	Dichte $ptg_b = 1,175 \text{ kg/dm}^3$
Fläche $Ak_l = 7,08 \text{ dm}^2$ (3.33)	Füllhöhe $h = 2,26 \text{ dm}$
Mittlere Rampenhöhe $hm = (1,00 + 0,12) / 2 = 0,56 \text{ dm}$	

Es werden berechnet:

Füllvolumen V

$$V = Ak_l \cdot (h - hm) = 7,08 \cdot (2,26 - 0,56) = 12,00 \quad \text{dm}^3 \quad 4.208$$

Feststoffvolumen Vf_a des Sandes

$$Vf_a = Vf_{90} \cdot ptg_a / p_{90} = 1,0 \cdot 1,645 / 3,0 = 0,548 \quad \text{dm}^3 \quad 4.209$$

Porenvolumen Vl_a des Sandes

$$Vl_a = Vp - Vf_a = 1,000 - 0,548 = 0,452 \quad \text{dm}^3 \quad 4.210$$

Feststoffvolumen Vf_b des Lehms

$$Vf_b = Vf_{90} \cdot ptg_b / p_{90} = 1,0 \cdot 1,175 / 3,0 = 0,392 \quad \text{dm}^3 \quad 4.211$$

Porenvolumen Vl_b des Lehms

$$Vl_b = Vp - Vf_b = 1,000 - 0,392 = 0,608 \quad \text{dm}^3 \quad 4.212$$

Feststoffvolumen Vf_l (Gemisch)

$$Vf_l = (V_a \cdot Vf_a + V_b \cdot Vf_b) / (V_a + V_b)$$

$$Vf_l = (10,0 \cdot 0,548 + 2,0 \cdot 0,392) / 12,0 = 0,522 \quad \text{dm}^3 \quad 4.213$$

Porenvolumen Vl_l (Gemisch)

$$Vl_l = Vp - Vf_l = 1,000 - 0,522 = 0,478 \quad \text{dm}^3 \quad 4.214$$

Trockendichte ptg_l (Gemisch)

$$ptg_l = Vf_l \cdot p_{90} / Vf_{90} = 0,522 \cdot 3,00 / 1 = 1,566 \quad \text{kg/dm}^3 \quad 4.215$$

Neigungswinkel β_t (Gemisch)

$$\tan \beta_t = Vf_l / Vl_l = 0,522 / 0,478 = 1,092 \quad 4.216$$

$$\beta_t = 47,5^\circ \quad [-] \quad 4.217$$

Scherwinkel st

$$\tan st = (\tan \beta_t) / 2 = 1,092 / 2 = 0,546 \quad 4.218$$

$$st = 28,6^\circ \quad [-] \quad 4.219$$

Ergebnis:

Das trockene Gemisch hat die folgenden Eigenschaften:

Sand-Lehm-Gemisch	
Feststoffvolum. $Vf_l = 0,522 \text{ dm}^3$ (4.213)	Volumen $V = 12,0 \text{ dm}^3$
Porenvolumen $Vl_l = 0,478 \text{ dm}^3$ (4.214)	Neigungsw. $\beta_t = 47,5^\circ$ (4.217)
Dichte $ptg_l = 1,566 \text{ kg/dm}^3$ (4.215)	Scherwinkel $st = 28,6^\circ$ (4.219)

Berechnung des Erdkörpers

Bekannt sind für die weiteren Berechnungen das Volumen $V = 12,00 \text{ dm}^3$ (4.208), die Grundfläche $Ak_l = 7,08 \text{ dm}^2$ (3.33) und die Füllhöhe $h = 2,26 \text{ dm}$. Nach dem Ziehen der Glasscheibe und dem Abgleiten des Bodens bildeten sich links und rechts der Bezugsachse unterschiedliche Scherebenen aus.



Abb. 97 zeigt nach dem Abgleiten des Gemisches einen Böschungsverlauf an zwei ungleichen Scherwinkeln.

Links begann die obere Scherebene an der Füllhöhe $h = 2,26 \text{ dm}$ und führte über die Breite $bl = 0,49 \text{ dm}$ bis zur Bezugsachse, wo sie die Höhe $hmu = 1,06 \text{ dm}$ einnahm. Die rechte Scherebene setzte an der Höhe hmu an und endete an dem Glasboden in dem Abstand der Breite $br = 0,22 \text{ dm}$ zur rechten Behälterwand. Da sich bisher geradlinige Scherebenen bei den Experimenten eingestellt haben, wird der Ursache dieser Abweichung nachgegangen. Hierzu wird in der rechten Kammer der Behälterboden fiktiv um den Höhenversatz der Rampe $hs = 0,12 \text{ dm}$ angehoben und die Lage der natürlichen Scherebene errechnet.

Maße des liegenden Erdkeils und der Rampe:	
Volumen $V = 12,0 \text{ dm}^3$	Fläche $Ak_l = 7,08 \text{ dm}^2$
Füllhöhe $h = 2,26 \text{ dm}$	Tiefe $a = 2,90 \text{ dm}$
Höhe $h_{uu} = 1,00 \text{ dm}$	Breite $bk_l = 2,44 \text{ dm}$
Höhe $h_s = 0,12 \text{ dm}$	Breite $bl = 0,49 \text{ dm}$
Höhe $h_{mu} = 1,06 \text{ dm}$	Breite $br = 0,22 \text{ dm}$

Es werden berechnet:

Fläche A

$$A = V/a = 12,0/2,90 = 4,14 \quad \text{dm}^2 \quad 4.220$$

Höhe hb

$$hb = h - h_s = 2,26 - 0,12 = 2,14 \quad \text{dm} \quad 4.221$$

Breite bo' → mit $\tan \beta t = 1,092$ (4.216)

$$bo' = hb / \tan \beta t = 2,14/1,092 = 1,96 \quad \text{dm} \quad 4.222$$

Breite bl'

$$bl' = bk_l - bo' = 2,44 - 1,96 = 0,48 \quad \text{dm} \quad 4.223$$

Höhe $ho' = hmu' \rightarrow$ mit $\tan st = 0,546$ (4.218)

$$ho' = bo' \cdot \tan st = 1,96 \cdot 0,546 = 1,07 \quad \text{dm} \quad 4.224$$

Breite bu'

$$bu' = ho' / \tan s_l = 1,07 / 0,546 = 1,96 \quad \text{dm} \quad 4.225$$

Breite brr

$$brr = bk_l - bu' = 2,44 - 1,96 = 0,48 \quad \text{dm} \quad 4.226$$

Fläche $Az \rightarrow$ der Rampe, reduziert um die Höhe $hs = 0,12$ dm.

$$Az = (h_{uu}' - hs) \cdot bk_l / 2$$

$$Az = (1,00 - 0,12) \cdot 2,44 / 2 = 1,074 \quad \text{dm}^2 \quad 4.227$$

Fläche $AA' \rightarrow$ des Erdkörpers nach dem Abgleiten des Gemischs.

$$AA' = hp \cdot bl' + (hp + hmu') \cdot bo' / 2 + hmu' \cdot bu' / 2 - Az$$

$$AA' = 2,14 \cdot 0,48 + (2,14 + 1,07) \cdot 1,96 / 2 + 1,07 \cdot 1,96 / 2 - Az$$

$$AA' = 1,027 + 3,146 + 1,049 - 1,074 = 4,15 \quad \text{dm}^2 \quad 4.228$$

Ergebnis:

Aus der Flächengleichheit $A = 4,14 \text{ dm}^2$ (4.220) und $AA = 4,15 \text{ dm}^2$ (4.228) kann abgeleitet werden, dass die in die linke Kammer des Glaskastens eingestellte Holzrampe weder das Abgleiten des Füllgutes noch die Ausbildung der natürlichen Scherebene in dem trockenen Lehm-Sand-Gemisch beeinflusst.

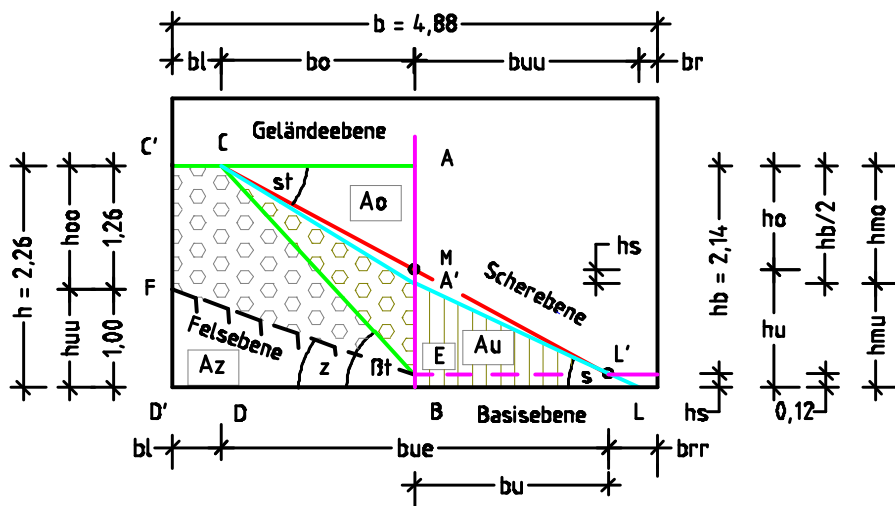


Abb. 98 zeigt die konkave Ebene (cyan) und darüber die Scherebene des Gemischs (rot), die sich ohne die Höhendifferenz hb eingestellt hätte.

Nach den Berechnungen steht die in der Abb. 98 erkennbare konkave Scherebene in einem ursächlichen Zusammenhang mit dem Höhenversatz zwischen der Holzrampe und den Glasboden der rechten Kammer. Ohne diese Versatz-

höhe hs hätte sich auch hier eine lineare Scherebene (rot) ausgebildet, vergleiche Abb. 96 und Abb. 97 mit Abb. 98.

Da bei der Bewegung von Erdmassen kein Unterschied gesehen wird, ob diese auf einer Holzrampe oder einer geneigten Felsschicht abgleiten, können die durch die Versuchsanordnung 10 gewonnenen Erkenntnisse übertragen werden auf die Bewegungen von Böden auf einer geneigten Felsschicht. Siehe hierzu die folgenden Berechnungsbeispiele sowie die Abb. 99 bis 101.

4.6 Abgleiten von Böden auf durchgehend geneigter Felsschicht

Die Versuche zeigen bisher, dass Erdmassen, die ihren Halt an einer Bezugsachse verlieren, so lange in Bewegung bleiben, bis sich deren Kräfte im Erdreich wieder angeglichen haben. Zur Vertiefung des Themas ‚Abgleiten bzw. Rutschen von Böden‘ werden weitere Beispiele vorgestellt.

Beispiel 1: Hier soll der Boden auf einer geneigten Ebene lagern, auf eine horizontale Ebene (B–L') abgleiten und sich auf dieser Ebene stabilisieren.

Beispiel 2: Der Boden auf einer geneigten Felsebene soll in Bewegung geraten, auf der geneigten Felsebene abgleiten und seinen neuen Halt finden.

Beispiel 3: Es soll dem Bodenverhalten nachgegangen werden, wenn Boden mit Auflast auf einer geneigten Felsebene abgleitet. Übertragen sollen hierzu die Abmessungen des Erdkörpers aus dem Unterkapitel 4.5.

Berechnung zum Beispiel 1

Für dieses Beispiel werden übernommen: das Bodenvolumen $V = 12,0 \text{ dm}^3$ (4.208), die Fläche $A = 4,14 \text{ dm}^2$ (4,220), die Berechnungshöhe $hb = h - hs = 2,14 \text{ dm}$ (4.221) und der Scherwinkel $st = 28,6^\circ$ (4.219). Der Anstiegswinkel z des Felsgesteins soll der Neigung der Holzrampe entsprechen.

Anstiegswinkel z

$$\tan z = (hub - hs) / bk_l = (1,00 - 0,12) / 2,44 = 0,361 \quad 4.229$$

$$z = 19,8^\circ \quad [-] \quad 4.230$$

Beim Abgleiten des Bodens bleibt eine Auflockerung unberücksichtigt. Die Lage des Erdkörpers auf der geneigten Basisebene wird errechnet.

Diagonale $fs \rightarrow$ Strecke (B–E), siehe Abb. 99.

$$fs = hb \cdot \cos st / 2 = 0,878 \cdot 2,14/2 = 0,94 \quad \text{m} \quad 4.231$$

Länge fr → der Scherebene

$$fr = bu \cdot \cos st = 1,96 \cdot 0,878 = 1,72 \quad \text{m} \quad 4.232$$

Länge fl → der Scherebene

$$fl = hb / \sin st - fr = 2,14 / 0,479 - 1,72 = 2,75 \quad \text{m} \quad 4.233$$

Ergebnis zum Beispiel 1: Die Maße sind dargestellt in der Abb. 99.

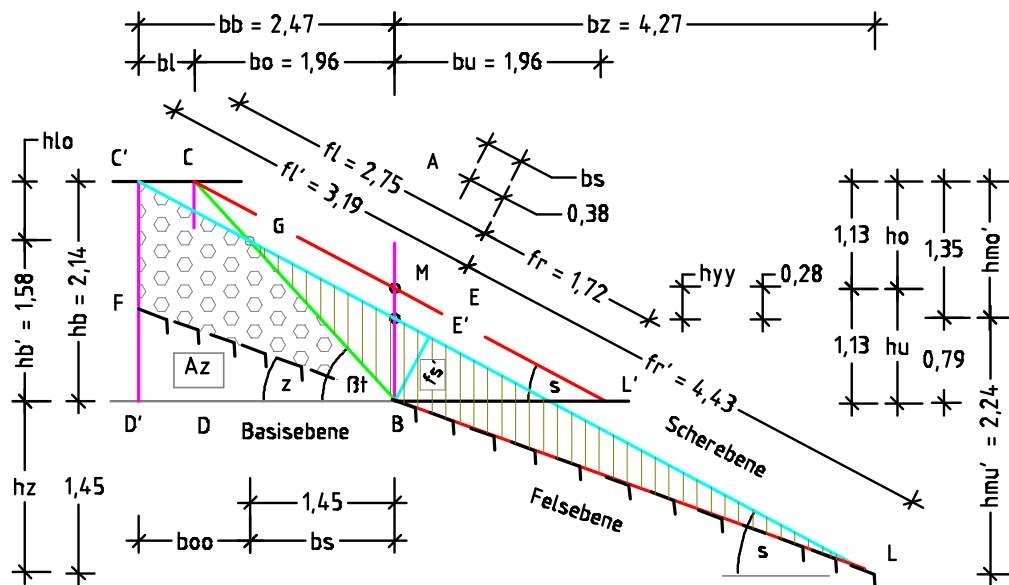


Abb. 99 zeigt die Absenkung der Scherebene infolge der durchgehend geneigten Felsschicht.

Berechnung zum Beispiel 2

Es wird dem Boden nachgegangen, der links der Bezugsachse anstatt auf eine horizontale Ebene auf die geneigte Felsschicht abgleitet. Vorgegeben wird der Winkel der geneigte Felsschicht mit $z = 13,0^\circ$. Zu berechnen sind die Absenkung der ‚Scherebene unter Auflast‘ um die Höhe hyy und die Bodenverteilung nach dem Abgleiten des Erdreichs auf der geneigten Felsebene.

Wie aus der Abb. 99 hervorgeht, werden größere Erdmengen als in dem Beispiel 1 in Bewegung geraten und die natürliche Scherebene um die Höhe hyy absenken. Die Höhe hyy lässt sich errechnen über die Höhe $ho = hb/2 = 1,07$ dm (4.221), den Scherwinkel $st = 28,6^\circ$ (4.219) sowie den Winkel des Felsanstiegs $z = 19,8^\circ$ (4.230).

Höhe hyy

$$\begin{aligned} (ho + hyy)^2 / \tan st &= (hu - hyy)^2 / (\tan st - \tan z) \\ (1,07 + hyy)^2 / 0,546 &= (1,07 - hyy)^2 / (0,545 - 0,361) \\ (1,07 + hyy) &= (1,07 - hyy) \cdot \sqrt{0,546/0,185} \\ hyy &= 0,77 / 2,72 = 0,28 \quad \text{dm} \quad 4.234 \end{aligned}$$

Höhe hmo'	$hmo' = hmo + hyy = 1,07 + 0,28 = 1,35$	dm	4.235
Höhe hu'	$hu' = hu - hyy = 1,07 - 0,28 = 0,79$	dm	4.236
Breite bb	$bb = hmo' / \tan st = 1,35 / 0,546 = 2,47$	dm	4.237
Breite bz → mit Winkel $z = 19,8^\circ$ (4.181)	$bz = hu' / (\tan st - \tan z)$		
	$bz = 0,79 / (0,546 - 0,361) = 4,27$	dm	4.238
Höhe hz → mit Winkel $z = 19,8^\circ$ (4.230)	$hz = bz \cdot \sin z = 4,27 \cdot 0,361 = 1,54$	dm	4.239
Höhe hmu'	$hmu' = hu' + hz = 0,79 + 1,54 = 2,33$	dm	4.240
Höhe hb'	$hb' = hu' / (\tan \beta t / \tan st) = 0,79 \cdot 2 = 1,58$	dm	4.241
Breite bs	$bs = hb' / \tan \beta t = 1,58 / 1,092 = 1,45$	dm	4.242
Fläche Aoo	$Aoo = bb \cdot hmo' / 2 = 2,47 \cdot 1,35 / 2 = 1,67$	dm ²	4.243
Fläche Auu	$Auu = bz \cdot hu' / 2 = 4,27 \cdot 0,79 / 2 = 1,68$	dm ²	4.244
Diagonale fs' → Strecke (B–E'), siehe Abb. 99.	$fs' = hu' \cdot \cos st = 0,79 \cdot 0,878 = 0,69$	dm	4.245
Breite bs	$bs = hu' \cdot \sin st = 0,79 \cdot 0,479 = 0,38$	dm	4.246
Länge fr' → der Scherebene unter dem Winkel $st = 28,6^\circ$ (4.219).	$fr' = bz / \cos st - bs = 4,27 / 0,878 - 0,38 = 4,48$	dm	4.247
Länge fl' → der Scherebene	$fl' = bb / \cos st + bs = 2,47 / 0,878 + 0,38 = 3,19$	dm	4.248

Ergebnis zum Beispiel 2:

Wie vor, sind die errechneten Maße in die Abb. 99 eingezeichnet. Die Berechnung offenbart, dass der Scherwinkel gleich bleibt, egal ob der Boden nach dem Beispiel 1 auf horizontaler Ebene abgeleitet oder wie in diesem Beispiel, sich auf einer durchgehend geneigten Felsschicht abstützen muss. Um zwischen dem abgeglittenen Boden links der Bezugsachse und dem aufgestauten Boden rechts die Flächengleichheit $Aoo = Auu$ herstellen zu können, war die natürliche Scherebene um die Höhe $hyy = 0,28$ dm (4.234) abzusenken.

Berechnung zum Beispiel 3

Es wird wie vor das Abgleiten von Erdmassen auf einer durchgehend geneigten Felsschicht berechnet, wobei der Boden mit einer Auflast vorbelastet sein soll. Zur Verkürzung der Berechnung wird das Beispiel mit den unterschiedlichen Bodenarten gewählt und mit dessen Vorgaben die Ermittlung der Bodenbewegung geführt, siehe Unterkapitel 4.4, S. 131.

Aus Unterkapitel werden übertragen:

Scherwinkel $se = 21,1^\circ$ (4.192)	Höhe $hx = 6,00$ m (4.186)
Winkel $x' = 15,9^\circ$ (4.184)	Höhe $hg = 14,80$ m (4.187)
Breite $bx = 21,15$ m (4.185)	Höhe $hm = 8,80$ m (4.188)

Die Höhe hyy wird berechnet über die Höhe hm , den Scherwinkel $se = 21,1^\circ$ (4.143), den Anstiegswinkel $x' = 15,9^\circ$ der geneigten Oberfläche sowie den Winkel des Felsanstiegs $z = 13,0^\circ$ mit $\tan z = 0,231$.

Höhe hyy

$$hyy^2 / [2 \cdot (\tan se - \tan x')] = (hm - hyy)^2 / [2 \cdot (\tan se - \tan z)]$$

$$hyy^2 / [2 \cdot (0,385 - 0,284)] = (8,80 - hyy)^2 / [2 \cdot (0,385 - 0,231)]$$

$$hyy^2 = (8,80 - hyy)^2 \cdot 0,202 / 0,308$$

$$hyy = \sqrt{0,656 \cdot (8,80 - hyy)} \quad hyy + 0,810 hyy - 7,127 = 0$$

$$hyy = 7,127 / 1,81 = 3,94 \quad \text{m} \quad 4.249$$

Die nachstehende Abbildung entspricht der Abb. 99, jedoch ist hier bereits die neue Lage der Scherebene eingezeichnet.

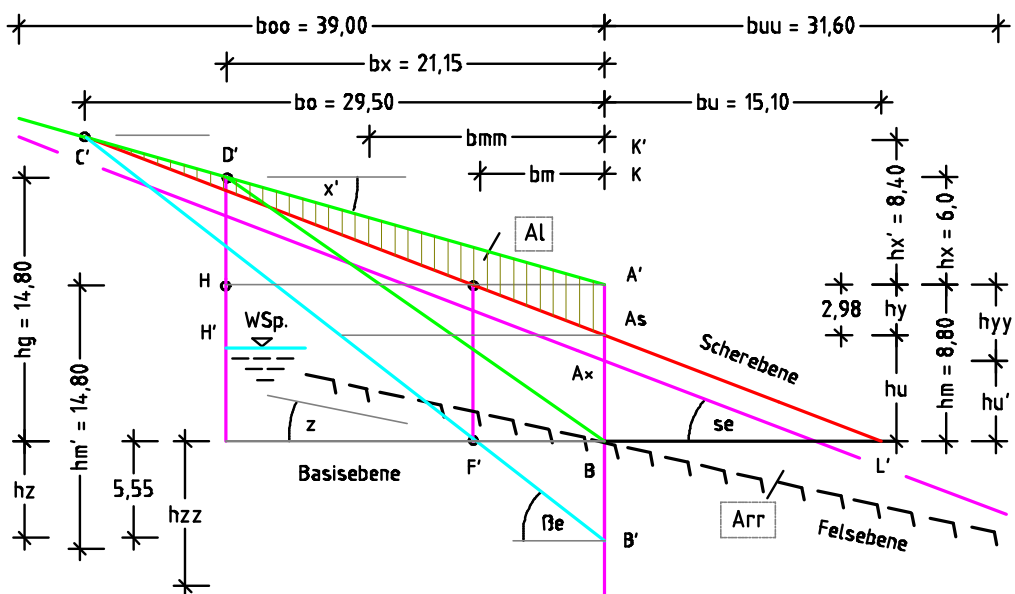


Abb. 100 zeigt eine weitere Absenkung der Scherebene infolge der Bodenverteilung auf einer durchgehend geneigten Felsschicht.

Höhe hu'	$hu' = hm - hyy = 8,80 - 3,94 = 4,86$	m	4.250
Breite boo	$boo = hyy / (\tan se - \tan x') =$ $boo = 3,94 / (0,385 - 0,284) = 39,0$	m	4.251
Breite buu	$buu = hu' / \tan se = 4,86 / (0,385 - 0,231) = 31,6$	m	4.252
Höhe hxx	$hxx = boo \cdot \tan x' = 39,0 \cdot 0,284 \sim 11,0$	m	4.253
Höhe hgg	$hgg = boo \cdot \tan \beta e = 39,0 \cdot 0,771 \sim 30,0$	m	4.254
Höhe hzz	$hzz = hgg - hxx - hm = 30,0 - 11,0 - 8,80 = 10,2$	m	4.255
Breite bmm	$bmm = hzz / \tan \beta e = 10,2 / 0,771 = 13,20$	dm	4.256
Fläche Al	$Al = (boo \cdot hyy) / 2 = (39,0 \cdot 3,94) / 2 = 76,8$	m ²	4.257
Fläche Ar	$Ar = (buu \cdot hu') / 2 = (31,6 \cdot 4,86) / 2 = 76,8$	m ²	4.258

Die Fläche $Al = 76,8 \text{ m}^2$ (4.257) erfasst die Erdmasse, welche auf der Scherebene unter Auflast lagert. Verliert der Boden an der Bezugsachse seinen Halt, gleitet er auf der Scherebene unter dem Winkel $se = 21,1^\circ$ (4.192) ab und bildet rechts der Achse einen Erdkeil mit der Fläche $Ar = 76,8 \text{ m}^2$ (4.258) aus.

Ergebnis zum Beispiel 3:

Die weitere Absenkung der Scherebene unter Auflast bewirkt zudem, dass sich die Breite $bm = 7,21 \text{ m}$ (4.200) auf die Breite $bmm = 13,20 \text{ m}$ (4.256) vergrößert und damit die horizontale Kraft Hfe in der geneigten Felsebene gegen die Bezugsachse steigert, d. h. einen Erdbeben erheblich fördert, siehe Abb. 101. Die Versuchsanordnungen 9.2 und 9.3 und die gezeigten Beispiele lassen erkennen, dass das Abgleiten von Erdmassen aus einem Hang mannigfachen Bedingungen unterliegt, wie wechselnde Bodeneigenschaften, horizontale und geneigte Oberflächen, horizontale und geneigte Basisebenen sowie durchgehend geneigte Basisebenen (Felsschichten). Die Beispiele zeigen aber auch, dass sich nach neuer Erddruck-Theorie die Erdbewegungen innerhalb eines Hanges bzw. auch Erdbeben errechnen lassen. Zum weiteren Beleg dieser These wird der Ursache nachgegangen, die zum Bergrutsch in Nachterstedt geführt haben könnte, siehe Unterkapitel 5.2.

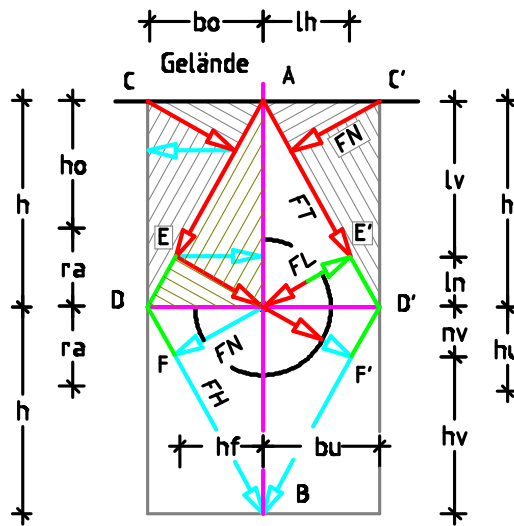


Abb. 102 zeigt das Koordinatenkreuz, das Rohr und die vier Quadranten.

Unterhalb der Koordinatenachse (D–D') sind die Kräfte der Erdlast und des Bauwerks, bestehend aus Eigengewicht, Innenausbau und Verkehrslasten, über die Kraftfläche (D–D'–B) abzutragen. Überschreitet der Bauwerksdurchmesser das Abstandsmaß (E–F'), so vergrößert sich die Kraftfläche über das maximal zulässige Maß hinaus. Diese Überlastung des Baugrunds kann zu einer Setzung des Bauwerks führen, siehe Abschnitt 4.2.3.

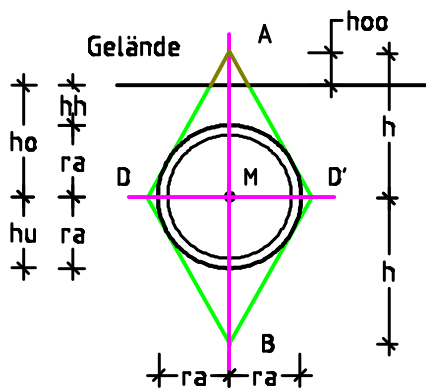


Abb. 103

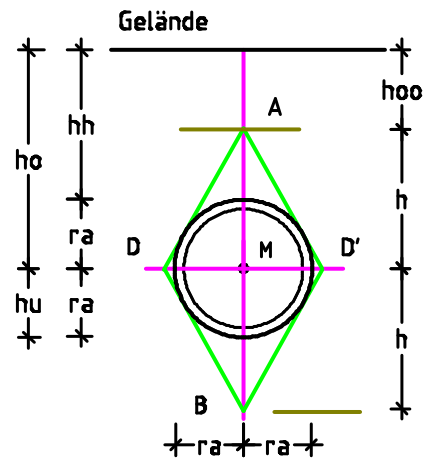


Abb. 104

Abb. 103 zeigt eine Minimierung der belastenden Keilfläche.

Abb. 104 zeigt die Absenkung der Keilfläche um die Höhe h_{oo} .

Der Abstand der natürlichen Kraftfläche zur Geländeebene kann zudem beeinflusst werden durch die Höhe h_{oo} , siehe Abb. 103 und 104. Wird die Höhe h des Kraftfelds (A–D'–D) der maximalen Erdbelastung durch die Höhe h_{oo} gemindert, reduziert sich auch die Bauwerksbelastung. Setzt hingegen die Höhe h_{oo} oberhalb der Höhe h an, belasten die Kräfte aus dieser Erdschicht das

Bauwerk nicht, da sie über die Neigungsebenen seitlich an dem Rohr- oder Tunnelquerschnitt vorbeigeführt werden. Wie bisher in den Rohrstatiken dargestellt, können bei oberflächennah verlegten Kanälen zusätzliche Kräfte aus Auf- oder Verkehrslasten anfallen.

In Hinblick auf die „Umfrage zum Zustand der Kanalisation in Deutschland“ [2], derzufolge ein Großteil des errechneten jährlichen Sanierungsbedarfs im Kanalbau zurückzuführen ist auf Achsverschiebungen und Unterbögen in den Leitungen, auf Rohrrisse und Rohrbrüche, abgetrennte Hausanschlussleitungen und ‚Spurrillen‘ im Straßenbelag, wurde die Versuchsreihe 11 durchgeführt. Für dieses Experiment wurde in den Glaskasten anstatt eines leicht formbaren Bodens Industriewatte in einer Schichthöhe von 1,0 dm eingebaut. Hiernach wurde die trennende Glasscheibe in den Behälter eingestellt und von links durch ein Brett (Länge = 2,44 dm; Breite = 1,0 dm) so arretiert, dass links und rechts des Bretts Basaltgrus und in die rechte Kammer weiter Watte eingebaut werden konnte. Nach dem Erreichen einer ca. 0,8 dm hohen Basaltschicht in der linken Kammer wurde das Brett entfernt und es wurden Basaltgrus und Watte bis zur Oberkante des Kastens eingefüllt. Nach dem Ziehen der trennenden Glasscheibe breitete sich der Basaltgrus in die Randbereiche der Watte aus.

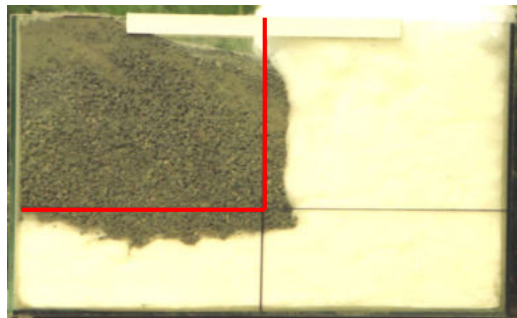


Abb. 105 zeigt das Modell ungleicher Bodenarten im Kanalgraben.

Der Versuch zeigt, dass ein anstehender Boden mit geringer Dichte durch eine Grabenverfüllung mit höherer Dichte an den Grabenwänden sowie an der Grabensohle verdrängt werden kann. Da Erdbewegungen an den Nahtstellen zweier unterschiedlicher Böden nach neuer Erddruck-Theorie errechenbar sind, ließen sich die bekannten Schäden an Leitungen vermeiden, wenn die derzeitigen Vorgaben zur Rohrstatik diesen Erkenntnissen angepasst würden.

Ermittlung der Erdkräfte auf ein verlegtes Rohr DN 1800 Sb

Errechnet werden die Kräfte gegen das Rohr DN 1800 Sb, welches in einem offenen Graben auf ‚steiniger Erde‘ mit der Bettungshöhe $hb = 0,22$ m verlegt werden soll, wobei der Graben nach der Rohrverlegung mit dem gleichen Material verfüllt werden soll. Als Sohltiefe wird $hs = 5,00$ m vorgegeben. Die ‚steinige Erde‘ soll die Feuchtdichte $pig = 1,992$ t/m³ besitzen und den Neigungswinkel $\beta i = 58,0^\circ$ ausbilden. Über die Rohrnennweite DN 1800 ($di = 1,80$ m), die Wanddicke $s = 0,18$ m und die Dicke der Verbaufeln $vd = 0,12$ m sind zunächst die Grabenabmessungen und hiernach die Kraftfelder sowie die Erdkräfte gegen das Rohr zu ermitteln. Die Auflasten aus Verkehr bleiben bei diesem Beispiel unberücksichtigt.

Die vorgegebenen Maße sind in der nachstehenden Tabelle zusammengefasst:

Graben	Rohr DN 1800 mm
Sohlentiefe $hs = 5,00$ m	Innendurchmesser $di = 1,80$ m
Bettungshöhe $hb = 0,22$ m	Außendurchmesser $da = 2,16$ m
Verbaudicke $vd = 0,12$ m	Rohrwanddicke $s = 0,18$ m
Dichte $pig = 1,992$ t/m ³	Neigungswinkel $\beta i = 58,0^\circ$

Über die Nennweite des Rohrs können die Grabentiefe $hg = hs + s + hb$ sowie die Grabenbreite errechnet werden, wobei die Breite bg sich addiert aus dem Rohr-Außendurchmesser da , zwei Arbeitsräumen $ar = 0,50$ m und zwei Verbaudicken vd , also $bg = da + 2 \cdot (ar + vd)$. Der halbe Außendurchmesser da wird durch die Höhe ra angezeigt, so dass die Erdblockhöhe bzw. Berechnungshöhe ermittelt werden kann über den Ansatz $h = hs + s - ra$.

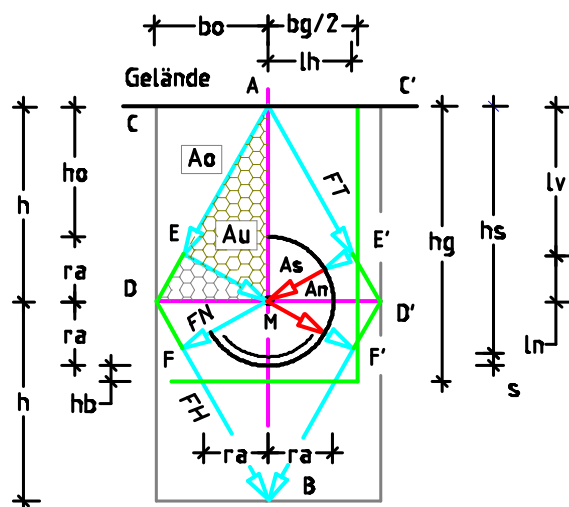


Abb. 106 zeigt das Rohr und die schraffierte Blockfläche $Au = A - Ao$.

Für die Kraftermittlung aus dem Füllboden sind vorgegeben: die Berechnungstiefe $a = 1,00$ m, die Feuchtdichte $\rho_{ig} = 1,992$ t/m³ und der Winkel $\beta_i = 58,0^\circ$. Zu ermitteln sind die Keilbreite bo , die Keilfläche Au sowie die Flächen As und An , die durch den Rohrradius aus der Fläche Au abgetrennt werden.

Es werden berechnet:

Rohraußenradius ra

$$ra = da/2 = 2,16/2 = 1,08 \quad \text{m} \quad 4.259$$

Blockhöhe h

$$h = hs + s - ra = 5,00 + 0,18 - 1,08 = 4,10 \quad \text{m} \quad 4.260$$

Grabentiefe hg

$$hg = hs + s + hb = 5,00 + 0,18 + 0,22 = 5,40 \quad \text{m} \quad 4.261$$

Grabenbreite bg

$$bg = da + 2 \cdot (ar + vd) = 2,16 + 2 \cdot 0,62 = 3,40 \quad \text{m} \quad 4.262$$

Keilbreite bo

$$bo = bu = h / \tan \beta_{i58} = 4,10/1,600 = 2,56 \quad \text{m} \quad 4.263$$

Keilfläche Au

$$Au = Ao = h \cdot bu/2 = 4,10 \cdot 2,56/2 = 5,25 \quad \text{m}^2 \quad 4.264$$

Höhe $lv \rightarrow$ Winkel $\beta_i = 58,0^\circ$

$$lv = h \cdot \sin^2 \beta_i = 4,10 \cdot 0,719 = 2,95 \quad \text{m} \quad 4.265$$

Höhe ln

$$ln = h \cdot \cos^2 \beta_i = 4,10 \cdot 0,281 = 1,15 \quad \text{m} \quad 4.266$$

Breite lh

$$lh = h \cdot \sin \beta_i \cdot \cos \beta_i = 4,10 \cdot 0,450 = 1,84 \quad \text{m} \quad 4.267$$

Fläche As

$$As = d^2 \cdot \pi \cdot 58/360 \cdot 4 = 2,16^2 \cdot \pi \cdot 0,04 = 0,590 \quad \text{m}^2 \quad 4.268$$

Fläche An

$$An = d^2 \cdot \pi \cdot 32/360 \cdot 4 = 2,16^2 \cdot \pi \cdot 0,022 = 0,326 \quad \text{m}^2 \quad 4.269$$

Die Größe der errechneten Kraftfläche $Au = 5,25$ m² (4.264) liegt weit unter der maximal zulässigen Kraftfläche $Au' = 50,0$ m². Eine Überlastung des Baugrunds durch die Kraft aus der errechneten Kraftfläche wird sich nicht einstellen, wenn der anstehende Boden eine ähnliche Dichte aufweist wie der Füllboden. Da die Kraftermittlung halbseitig erfolgt, sind bei der Rohrbemessung die Berechnungsergebnisse entsprechend anzupassen. Zu der nachstehenden Berechnung bleibt anzumerken, dass es vorteilhafter sein kann, zuerst die Kraftmeter lv , ln und lh zu ermitteln und danach über die Kraftzahl gi die Kraftmeter in Kräfte umzuwandeln, siehe Abb. 106.

Gewichtskraft $G \rightarrow$ mit $g = 9,807$ m/s²

$$G = Au \cdot \rho_{ig} \cdot g = 5,25 \cdot 1,992 \cdot 9,807 = 102,6 \quad \text{kN} \quad 4.270$$

Kraft FL	$FL = G \cdot \cos \beta_{i58} = 102,6 \cdot 0,530 = 54,3$	kN	4.271
Kraft FT	$FT = G \cdot \sin \beta_{i58} = 102,6 \cdot 0,848 = 87,0$	kN	4.272
Kraft L_v	$L_v = G \cdot \sin^2 \beta_{i58} = 102,6 \cdot 0,719 = 73,8$	kN	4.273
Kraft L_n	$L_n = G \cdot \cos^2 \beta_{i58} = 102,6 \cdot 0,281 = 28,8$	kN	4.274
Kraft L_h	$L_h = G \cdot \sin \beta_{i58} \cdot \cos \beta_{i58} = 102,6 \cdot 0,448 = 46,1$	kN	4.275
Kraftzahl g_i	$g_i = b_u \cdot p_{ig} \cdot g / 2 = 2,56 \cdot 1,992 \cdot 9,807 / 2 = 25,0$	kN/m	4.276
Kraftmeter fl	$fl = FL / g_i = 54,4 / 25,00 = 2,18$	m	4.277
Kraftmeter ft	$ft = FT / g_i = 87,0 / 25,00 = 3,48$	m	4.278
Kraftmeter lv	$lv = L_v / g_i = 73,8 / 25,00 = 2,95$	m	4.279
Kraftmeter ln	$ln = L_n / g_i = 28,8 / 25,00 = 1,15$	m	4.280
Kraftmeter lh	$lh = L_h / g_i = 46,1 / 25,00 = 1,84$	m	4.281

Der vertikalen Kraft $L_v = 73,8$ kN (4.273) ist die Kraftfläche (A–E'–M) und der Kraft $L_n = 28,8$ kN (4.274) die Kraftfläche (E'–D'–M) zuzuordnen, wobei der Buchstabe M den Rohrmittelpunkt beschreibt.

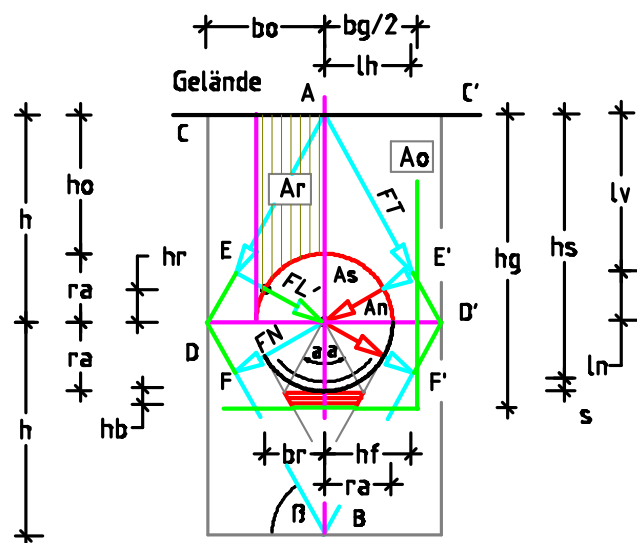


Abb. 107 zeigt die Kraftfläche Ar , die Kraft FL' und das Rohrauflager (rot) unter dem Winkel $2 \cdot \alpha$ des unter dem Rohr anstehenden Bodens.

Da insbesondere die Kraft L_v den Rohrquerschnitt nur teilweise belastet, sind für die Rohrbemessung die vorstehenden Kräfte und Kraftflächen den Teilflächen Ar , As und An anzupassen. Auf den Rohrscheitel wirkt beidseitig der Bezugsachse die vertikale Kraft L_v^* , die aus der Fläche $Ar = (h - ln) \cdot ra$ zu ermitteln und ggf. als Streckenlast auf den Rohrdurchmesser $da = 2,16$ m zu verteilen ist. In den Ebenen (E–M) und (E'–M) greift jeweils die Kraft FL gegen das Rohr in der Höhe hr und unter dem Winkel $\alpha = 90^\circ - \beta_i = 90^\circ - 58^\circ = 32^\circ$ an. Da die Kraft FL die Strecke (E–M) einnimmt, ist die Strecke um den Kraftanteil zu kürzen, der innerhalb des Rohres liegt. Die Kürzung lässt sich vollziehen über den Radius ra multipliziert mit der Kraftzahl gi , so dass hierdurch die Kraft $FL^* = FL - ra \cdot g$ entsteht.

Es werden ermittelt:

Fläche Ar

$$Ar = h \cdot ra - As - An = 4,10 \cdot 1,08 - 0,916 = 3,51 \quad \text{m}^2 \quad 4.282$$

Höhe hr

$$hr = ra \cdot \sin 32^\circ = 1,08 \cdot 0,530 = 0,57 \quad \text{m} \quad 4.283$$

Breite br

$$br = ra \cdot \cos 32^\circ = 1,08 \cdot 0,848 = 0,92 \quad \text{m} \quad 4.284$$

Diagonale $fl' \rightarrow$ in der Ebene (E–M)

$$fl' = \sqrt{h^2 + br^2} = \sqrt{0,57^2 + 0,92^2} = 1,08 = ra \quad \text{m} \quad 4.285$$

Kraft $L_v^* \rightarrow$ aus der Fläche $Ar \cdot a = Vr$ mit $a = 1,00$ m

$$L_v^* = Vr \cdot pig \cdot g = 3,51 \cdot 1,992 \cdot 9,807 = 68,6 \quad \text{kN} \quad 4.286$$

Kraft FL'

$$FL' = fl' \cdot gi = 1,08 \cdot 25,0 = 27,0 \quad \text{kN} \quad 4.287$$

Ergebnis:

Für die Rohrbemessung wären die vertikalen Kräfte $2 \cdot L_v^*$ als Streckenlast über den Rohrdurchmesser $da = 2,16$ m zu verteilen und die Kraft $FL = 27,0$ kN/m gegen das Rohr in den Ebenen (E–M) und (E'–M) anzusetzen. Die vorstehenden Kräfte können für den Kraftabbau gespiegelt werden, vor allem dann, wenn das Gewicht des Rohres und dessen Vollfüllung dem Gewicht des durch das Rohr verdrängten Erdreichs entspricht. Maßgebend für die Kraftableitung in den Baugrund sind die Eigenschaften und Winkel des anstehenden Bodens. Der Auflagerbereich des Rohres ist mit dem Winkel 2α in der Abb. 107 rot schraffiert dargestellt. Über die Belastbarkeit von Böden wurde bereits geschrieben in dem Unterkapitel 4.2.

Überlastungen des Baugrunds führen zu Rohrsetzungen!

4.8 Erddruck auf Einzelpfähle

In der Regel dienen Pfähle zum Abtrag größerer Lasten in weniger tragfähigen Böden. Die Arten der Pfahlgründungen, die Pfahlherstellung sowie die Begriffsbedeutungen werden übernommen aus der DIN 1054 und hier nicht weiter kommentiert, siehe auch ‚Tiefgründungen, Pfähle und Anker‘ [1: N].

Anders als in der DIN 1054 vorgegeben, wird für den Abtrag von Pfahlauflasten in das anstehende Erdreich ein Berechnungssystem aus acht Erdblöcken gewählt. In die vertikale Achse des Würfels wird der Pfahl gestellt, so dass die Kräfte der oberen vier Erdblöcke den Pfahl allseitig einspannen. Damit kann die auf den Pfahlkopf aufgetragene Kraft über den Pfahlmantel in das anstehende Erdreich übertragen und dort abgebaut werden. Die vier Erdblöcke der unteren Ebene übernehmen die Kraft, die über den Pfahlfuß in das Erdreich eingeleitet wird, und bauen sie ab. Über das Volumen und die Bemaßung von Erdblöcken sowie über die Berechnung der Tragfähigkeit von Böden wurde berichtet in dem Unterkapitel 4.2. Die dortigen Angaben beziehen sich auf die Berechnungstiefe $a = 1,00$ m, so dass für die quadratische Grundfläche des Erdwürfels die Höhe h' und die Breite $b' = \sqrt{4 \cdot a \cdot b}$ zu ermitteln sind über das Volumen $V = 4 \cdot V^* = 400$ m³ und den Neigungswinkel β der gewählten Bodenart. Wie für alle Berechnungen des Erddrucks gilt auch hier, dass der in die Abbildungen eingezeichnete Neigungswinkel β dem Winkel der jeweilig gewählten Bodenart β_t , β_i , β_n , β_{iw} oder β_{nw} anzupassen ist. Zudem ist die Kraft, die auf den Pfahl aufgetragen werden soll, über die Trockendichte $ptg_n = V_{fn} \cdot ptg_{90}$ des anstehenden Bodens in eine Lastfläche umzurechnen, d. h. bei dieser Umrechnung bleiben die tatsächliche Dichte feuchter sowie nasser Böden über und unter Wasser ebenso unberücksichtigt wie die Gravitation. Dieser Ansatz der Trockendichte wird für richtig angesehen, da in freier Natur Wasser im Erdreich unter Druck ausweicht und damit zum Lastabtrag nicht zur Verfügung steht. Erst wenn Kräfte aus Böden unter Wasser gegen Bauwerke zu ermitteln sind, ist in der Statik nicht die Trockendichte anzusetzen, sondern die realen Dichten der Böden unter Wasser ($piwg$ bzw. $pnwg$) und die Fallbeschleunigung g .

Über das Volumen des Kreiskegels V_r multipliziert mit der Trockendichte ptg lassen sich die Auflast Ee bzw. die Gewichtskraft $Ge = Ee \cdot g$ und die Teilkräfte L_v , L_n und L_h errechnen. Bei dem Lastabtrag unter dem Pfahlfuß ist zusätzlich das Erdeigengewicht zu berücksichtigen. Dieses kann ermittelt werden

über den Durchmesser \varnothing des Pfahlfußes, den Winkel β und die Bodendichte ptg des anstehenden Bodens. Abzutragen sind die Auflast und das Erdeigen-
gewicht über den Erdkegel mit der Höhe hg und dem Radius rg .

Lastauftrag und Lastabtrag bei einem Einzelpfahl

Es soll die Nutzlast für einen Pfahl $\varnothing = 0,60$ m errechnet werden, der ohne Fußverbreiterung aus Ortbeton mit der Dichte $p_{pf} = 2,30$ t/m³ herzustellen ist. Das Pfahleigen-
gewicht soll unter Ausnutzung der zulässigen Boden-
pressung vollständig von dem Boden unter dem Pfahl abgetragen werden. Dem anste-
henden Boden werden die Trockendichte $ptg = 1,764$ t/m³ (3.9) und der Nei-
gungswinkel $\beta t = 55^\circ$ zugeordnet. Die Boden-
pressung $\sigma_{Dzul} = 206,7$ kN/m² (4.5) wurde über die Erdsäule mit der Auflastfläche $Ad^* = 1,00$ m² und dem
Volumen $V^* = 100$ m³ bei einseitiger Kraftausdehnung über die Höhe $h =$
11,95 m (4.1) und die Breite $b = 8,37$ m (4.2) bereits errechnet, siehe S. 98ff.

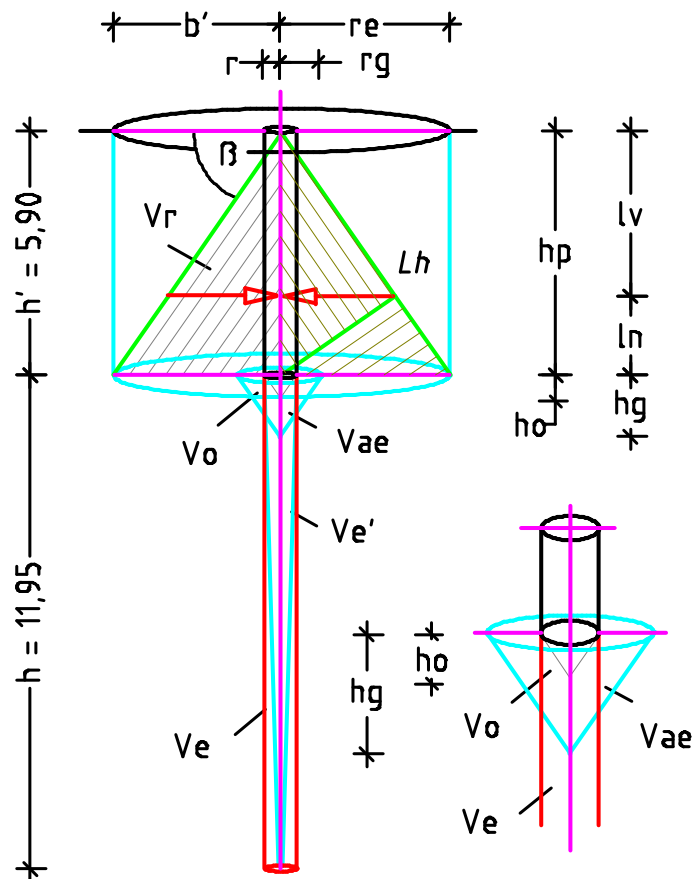


Abb. 108 zeigt einen Schnitt durch die Erdsäule mit der Lage und der Bezeichnung der einzelnen Volumina.

Die Höhe h' und die Breite b' des Kraftfelds lassen sich über den Neigungswinkel $\beta t = 55^\circ$ und das Volumen $4 \cdot V^* = 400 \text{ m}^3$ der oberen Ebene bestimmen.

In der Tabelle sind die Ausgangswerte für die Ermittlungen zusammengefasst:

Boden	Bewehrter Pfahl
Winkel $\beta t = 55,0^\circ$	Durchmesser $\varnothing = 0,60 \text{ m}$
Dichte $ptg = 1,764 \text{ t/m}^3$	Pfahldichte $p_{pf} = 2,30 \text{ t/m}^3$
Kraftfeldhöhe $h = 11,95 \text{ m}$	Pfahlhöhe $h_p = h'$
Kraftfeldbreite $b = 8,37 \text{ m}$	$\sigma_{Dzul} = 206,7 \text{ kN/m}^2$

Die Breite b' und die Höhe h' beschreiben einen Erdwürfel mit quadratischer Grundfläche. Da in diesem Fall die Kräfte gegen einen runden Pfahl zu ermitteln sind, ist in den Erdwürfel ein Kraftkegel mit dem Radius $r_e = b'$ und der Höhe h' einzufügen, siehe Abb. 108. Weitere Erläuterungen zu der Kraftermittlung gegen den Pfahl werden im Rahmen des Berechnungsbeispiels gegeben.

Abmessungen des Erdwürfels

Die Breite b' und die Höhe h des Erdwürfels können über das Volumen $V^* = 100 \text{ m}^3$ einer Erdsäule und den Neigungswinkel $\beta t = 55,0^\circ$ der gewählten Bodenart errechnet werden.

Breite b'

$$b' = \sqrt[3]{(V^* \cdot 8 / \tan \beta t)} = \sqrt[3]{(100 \cdot 8 / 1,428)} = 8,24 \quad \text{m} \quad 4.288$$

Höhe h'

$$h' = (b' \cdot \tan \beta t) / 2 = 8,24 \cdot 1,428 / 2 \sim 5,90 \quad \text{m} \quad 4.289$$

Für den Abtrag des Pfahleigengewichts bleibt die Höhe $h = 11,95 \text{ m}$ (4.1), über welche die zulässige Bodenpressung errechnet worden ist, weiter maßgebend.

Maximal zulässiger Lastabtrag unter dem Pfahlfuß

Unter der Vorgabe, dass die zulässige Bodenpressung unter dem Pfahl nicht überschritten werden darf, werden über die Höhe $h = 11,95 \text{ m}$, die Dichte $ptg = 1,764 \text{ t/m}^3$ und den Pfahldurchmesser $\varnothing = d = 0,60 \text{ m}$ die zulässige Auflast Eu und die Lastverteilung im Erdreich errechnet.

Auflastfläche Ad^*

$$Ad^* = \pi \cdot d^2 / 4 = \pi \cdot 0,60^2 / 4 = 0,283 \quad \text{m}^2 \quad 4.290$$

Umfang U

$$U = \pi \cdot d = \pi \cdot 0,60 = 1,88 \quad \text{m} \quad 4.291$$

Volumen V_e	$V_e = h \cdot Ad^* = 11,95 \cdot 0,283 = 3,382$	m^3	4.292
Auflast Eu	$Eu = V_e \cdot ptg = 3,382 \cdot 1,764 = 5,97$	t	4.293
Gewichtskraft $Gu =$ Gewichtskraft G_p des Pfahls	$Gu = Eu \cdot g = 5,97 \cdot 9,807 = 58,5$	kN	4.294

Im Erdreich wird die Auflast Eu bzw. die Kraft Gu über das Gesamtvolumen V_e abgetragen. Das Volumen V_e teilt sich hierbei auf in das aktive Volumen $V_e' = V_e/3$ und in das reaktive Volumen $V_e^* = 2 \cdot V_e/3$. Für die Ermittlung der Pfahlaulast ist zu dem aktiven Volumen V_e' das Volumen V_o zu addieren, welches sich aus dem kraftabtragenden Erdkegel unterhalb der Pfahlsohle errechnet. Über das Volumen $V_{ae} = V_o + V_e'$ und den Neigungswinkel βt lassen sich dann die Höhe hg und der Radius rg des Kegels ermitteln.

Es werden berechnet:

Höhe h_o	$h_o = 0,5 \cdot d \cdot \tan \beta t_{55} = 0,5 \cdot 0,60 \cdot 1,428 = 0,43$	m	4.295
Volumen V_o	$V_o = Ad \cdot h_o/3 = 0,283 \cdot 0,43/3 = 0,041$	m^3	4.296
Volumen V_{ae}	$V_{ae} = V_o + V_e/3 = 0,041 + 3,382/3 = 1,168$	m^3	4.297
Radius rg	$rg = \sqrt[3]{(3 \cdot V_{ae}/\pi \cdot \tan \beta t_{55})}$ $rg = \sqrt[3]{(3 \cdot 1,168/\pi \cdot 1,428)} = 0,92$	m	4.298
Höhe hg	$hg = \sqrt[3]{(3 \cdot V_{ae} \cdot \tan^2 \beta t_{55} / \pi)}$ $hg = \sqrt[3]{(3 \cdot 1,168 \cdot 1,428^2 / \pi)} = 1,32$	m	4.299

Gemäß der Vorgabe, dass der Boden der unteren Kraftebene das Pfahleigengewicht abträgt, wird über die zulässige Auflast $Eu = 5,97$ t (4.293), die Fläche $Ad^* = 0,283$ m^2 (4.290) und die Pfahldichte p_{pf} die mögliche Pfahlhöhe hp^* errechnet.

Pfahlhöhe hp^*	$hp^* = Eu/Ad \cdot p_{pf} = 5,966/0,283 \cdot 2,30 = 9,16$	m	4.300
------------------	---	---	-------

Da die Höhe $h' = 5,90$ m (4.289) der oberen Kraftebene der Pfahlhöhe hp entsprechen soll, kann bei der Ausführung eines kürzeren Pfahls das unverbrauchte Pfahleigengewicht zur Erhöhung der Pfahlnutzlast herangezogen werden.

Ermittlung der Kräfte gegen den Pfahlmantel

Die Kraftgrößen gegen den Pfahl werden durch die Breite $b' = 8,24$ m (4.288) und die Höhe $h' = hp = 5,90$ m (4.289) des oberen Erdwürfels vorgegeben. In die quadratische Grundfläche des Würfels ist entsprechend dem Pfahlquerschnitt eine runde Erdsäule mit dem Radius $re = b'$ einzustellen. In ihrem unteren Bereich bildet sich der reaktive Erdkegel mit dem Volumen $V_r = 4 \cdot V^*/3$ aus, dem für die Kraftermittlung links und rechts der Pfahlachse die Kraftflächen A_r zuzuordnen sind.

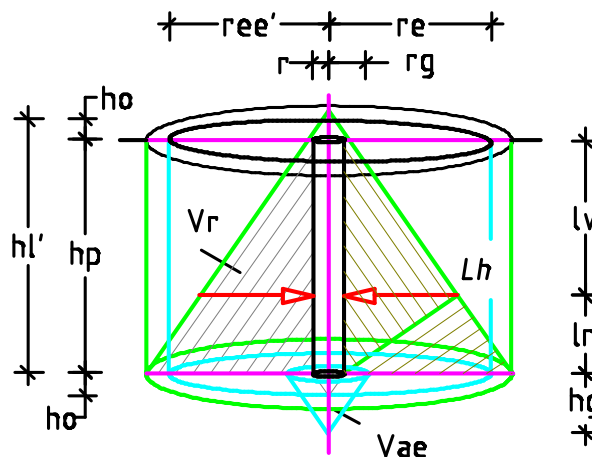


Abb. 109 zeigt den oberen Erdkegel mit dem Volumen V_r und den unteren Kegel, der über das Volumen V_{ae} das Pfahleigengewicht abträgt.

Verschiebt man die Kraftflächen A_r horizontal von der Achse an dem Pfahlmantel, so bildet sich mit dem Radius $ree = re + d/2$ und der Höhe $hl' = hp + ho$ ein neuer Kegel aus. Die Umwandlung der Kegelgröße führt zu dem Volumen V_r' , das durch den Abzug des Pfahlvolumens V_p wieder zu dem ursprünglichen Kegelvolumen V_r geführt werden kann. Über das reduzierte Kegelvolumen können die Gewichtskraft G und die Kräfte L_v , L_n und L_h ermittelt werden, siehe Abb. 109.

Es werden berechnet:

$$\text{Höhe } hl' \rightarrow hp = h' = 5,90 \text{ m (4.289)}$$

$$hl' = hp + ho = 5,90 + 0,43 = 6,33 \quad \text{m} \quad 4.301$$

Radius re

$$re = b'/2 = 8,24/2 = 4,12 \quad \text{m} \quad 4.302$$

Radius $ree = bo$

$$ree = re + d/2 = 4,12 + 0,60/2 = 4,42 \quad \text{m} \quad 4.303$$

Volumen V_r

$$V_r = hl' \cdot ree^2 \cdot \pi/3 = 6,33 \cdot 4,42^2 \cdot \pi/3 = 129,5 \quad \text{m}^3 \quad 4.304$$

Volumen V_p

$$V_p = (h_p + h_o/3) \cdot A_d^* = (5,90 + 0,43/3) \cdot 0,283 = 1,7 \text{ m}^3 \quad 4.305$$

Volumen $V_{r'}$

$$V_{r'} = V_r - V_p = 129,5 - 1,7 = 127,8 \text{ m}^3 \quad 4.306$$

Gewichtskraft $G \rightarrow$ des Erdkegels

$$G = V_{r'} \cdot \rho_{t_{55}} \cdot g = 127,8 \cdot 1,764 \cdot 9,807 = 2210 \text{ kN} \quad 4.307$$

Da sich gegenläufige horizontale Kräfte innerhalb des Erdkegels ausbilden, ist die Gewichtskraft G für die Ermittlung der Kraft L_h zu halbieren und danach die Kraft L_h auf den halben Umfang des Pfahlmantels zu verteilen.

Gewichtskraft G'

$$G' = G/2 = 2210/2 = 1105 \text{ kN} \quad 4.308$$

Die horizontale Kraft L_h gegen den Pfahlmantel und die vertikale Kraft L_v an dem Mantel lassen sich vereinfacht über die Kraftzahl g_{it} multipliziert mit dem Kraftmeter der Kräfte ermitteln.

Kraftzahl $g_{it} \rightarrow$ über die Pfahlhöhe $h_p = h' = 5,90 \text{ m}$ (4.289).

$$g_{it} = G'/h_p \cdot a = 1105/5,90 \cdot 1,00 = 187,3 \text{ kN/m}^2 \quad 4.309$$

Kraftmeter $l_v = -r_v \rightarrow$ gleiche Lage, jedoch konträre Richtung.

$$l_v = h_p \cdot \sin^2 \beta_{t_{55}} = 5,90 \cdot 0,671 = 3,96 \text{ m} \quad 4.310$$

Kraftmeter l_n

$$l_n = h_p \cdot \cos^2 \beta_{t_{55}} = 5,90 \cdot 0,329 = 1,94 \text{ m} \quad 4.311$$

Kraftmeter $l_h = -r_h \rightarrow$ gleiche Lage, jedoch konträre Richtung.

$$l_h = h_p \cdot \sin \beta_{t_{55}} \cdot \cos \beta_{t_{55}} = 5,90 \cdot 0,470 = 2,77 \text{ m} \quad 4.312$$

Die nachstehenden Kräfte sind ausgerichtet auf den Pfahlmantel.

Kraft L_v

$$L_v = l_v \cdot g_{it} = 3,96 \cdot 187,3 = 741,7 \text{ kN} \quad 4.313$$

Kraft L_h

$$L_h = l_h \cdot g_{it} = 2,77 \cdot 187,3 = 518,8 \text{ kN} \quad 4.314$$

Kraft $R_v \rightarrow$ reaktive Kraft aus der Auflast

$$-R_v = L_v = 741,7 \text{ kN} \quad 4.315$$

Gewichtskraft $G_{zul} \rightarrow$ mit welcher der Pfahl belastet werden kann

$$G_{zul} = 2 \cdot L_v = 2 \cdot 741,7 = 1483 \text{ kN} \quad 4.316$$

Mantelfläche $A_m \rightarrow$ des Pfahls mit der Höhe $h_p = 5,90 \text{ m}$ (4.289)

$$A_m = h_p \cdot d \cdot \pi = 5,90 \cdot 0,60 \cdot \pi = 11,12 \text{ m}^2 \quad 4.317$$

Manteldruck $\sigma_m \rightarrow$ beidseitig durch die Kraft L_h

$$\sigma_m = 2 \cdot L_h/A_m = 2 \cdot 518,8/11,12 = 93,3 \text{ kN/m}^2 \quad 4.318$$

Wie zu der Pfahlhöhe $hp^* = 9,16$ m (4.300) angemerkt, kann das Pfahleigengewicht, welches sich aus der Differenzhöhe hp^* zu $hp = 5,90$ m ergibt, zur Erhöhung der Gewichtskraft Ge_{zul} herangezogen werden.

Gewichtskraft $Ge^* \rightarrow (hp^* - hp) = 9,16 - 5,90 = 3,26$ m

$$Ge^* = Ge_{zul} + (hp^* - hp) \cdot Ad \cdot p_{pf} \cdot g$$

$$Ge^* = 1483 + 3,26 \cdot 0,283 \cdot 2,30 \cdot 9,807 = 1504 \quad \text{kN} \quad 4.319$$

Ergebnis:

Es wurde ermittelt, dass die untere Bodenschicht mit der Höhe $h = 11,95$ m (4.1) die Gewichtskraft $Gu = 58,5$ kN (4.294) abtragen kann, ohne dass hierbei der Boden überlastet wird. Die Gleichsetzung der Kraft Gu mit der Kraft des Pfahleigengewichts ergab die zulässige Pfahlhöhe $hp^* = 9,16$ m (4.300).

Über den Erdkegel der oberen Ebene, der in den Erdwürfel mit der Breite $b' = 8,24$ m (4.239) und der Höhe $hp = 5,90$ m (4.289) eingestellt wurde, konnte die Kraft $Ge_{zul} = 1483$ kN (4.316) errechnet werden, die auf den Pfahl aufgetragen werden kann. Durch die Anpassung des Pfahleigengewichts Gu von der Pfahlhöhe $hp^* = 9,16$ m auf die Pfahlhöhe $hp = 5,90$ m entstand ein Kraftüberschuss, der zur erhöhten Gewichtskraft $Ge^* = 1504$ kN (4.319) führte. Bei den vorstehenden Berechnungen sind Sicherheitsfaktoren nicht angesetzt worden. Betrachtet man die Höhe $hg = 1,32$ m (4.299) des Kegels unter dem Pfahlfuß mit der Kegelhöhe $hp = 5,90$ m (4.289) der oberen Ebene, so weist die Höhendifferenz auf ein Kraftpotential hin, welches zu einer größeren Pfahlhöhe und einer Nutzlasterrhöhung führen könnte. Dieser Mutmaßung wird nachgegangen.

Kräfte bei einer Veränderung der Pfahlhöhe

Für die horizontale Krafteinspannung des Pfahlschaftes und für den Kraftabtrag unterhalb des Pfahlfußes können die konträr zueinanderstehenden Erdkegel mit der Höhe $h = 5,90$ m angesetzt werden. Von dem unteren Erdkegel wird für den maximal zulässigen Lastabtrag unter dem Pfahl das Volumen $V_{ae} = 1,168$ m³ (4.279) mit der Höhe $hg = 1,32$ m (4.299) beansprucht, so dass für die Pfahlerhöhung die Höhendifferenz $h' - hg$ des Kegels herangezogen werden kann. Nach der Addition der oberen und der unteren Kegelhöhe entstehen zwei spiegelbildliche Kegel mit der gemittelten Höhe $hp' = (2 \cdot hp - hg) / 2 = (2 \cdot 5,90 - 1,32) / 2 = 5,24$ m. Hierdurch vergrößert sich die Pfahlhöhe von $hp = 5,90$ m auf $hp'' = 2 \cdot hp'$, siehe Abb. 109, S. 158 und nachfolgende Abb. 110.

Volumen V_r

$$V_r = hl' \cdot ree'^2 \cdot \pi/3 = 5,67 \cdot 3,97^2 \cdot \pi/3 = 93,6 \quad \text{m}^3 \quad 4.323$$

Volumen V_p → Pfahlvolumen im Bereich des oberen Erdkegels

$$V_p = (hp' + ho/3) \cdot Ad^* = (5,24 + 0,43/3) \cdot 0,283 = 1,5 \quad \text{m}^3 \quad 4.324$$

Volumen V_r'

$$V_r' = V_r - V_p = 93,6 - 1,5 = 92,1 \quad \text{m}^3 \quad 4.325$$

Gewichtskraft G des Erdkegels

$$G = V_r' \cdot \rho_{tg55} \cdot g = 92,1 \cdot 1,764 \cdot 9,807 = 1593 \quad \text{kN} \quad 4.326$$

Gewichtskraft G' des halbe Erdkegels

$$G' = G/2 = 1593/2 = 796,5 \quad \text{kN} \quad 4.327$$

Die Gewichtskraft G ist für die Ermittlung der gegenläufigen horizontalen Kräfte gegen den Pfahlmantel zu halbieren und auf die Kegelhälften links und rechts der Bezugsachse zu verteilen. Hiernach sind zur maßstäblichen Darstellung die horizontalen Kräfte $L_h = H_f$ gegen den Pfahlmantel und die vertikalen Kräfte $L_v = H_v$ und $L_n = N_v$ über Kraftzahl git in Kraftmeter umzuwandeln.

Kraftzahl git → über die Pfahlhöhe $hp' = 5,24$ m

$$git = G'/hp' \cdot a = 796,5/5,24 \cdot 1,00 = 152,0 \quad \text{kN/m}^2 \quad 4.328$$

Kraftmeter lv

$$lv = hp' \cdot \sin^2 \beta_{t55} = 5,24 \cdot 0,671 = 3,52 \quad \text{m} \quad 4.329$$

Kraftmeter ln

$$ln = hp' \cdot \cos^2 \beta_{t55} = 5,24 \cdot 0,329 = 1,72 \quad \text{m} \quad 4.330$$

Kraftmeter $lh = -rh$

$$lh = hp' \cdot \sin \beta_{t55} \cdot \cos \beta_{t55} = 5,24 \cdot 0,470 = 2,46 \quad \text{m} \quad 4.331$$

Die nachstehenden Kräfte sind ausgerichtet auf den Pfahlmantel.

Kraft $L_v = H_v$

$$L_v = H_v = lv \cdot git = 3,52 \cdot 152,0 = 535,0 \quad \text{kN} \quad 4.332$$

Kraft $L_n = N_v$

$$L_n = N_v = ln \cdot git = 1,72 \cdot 152,0 = 261,4 \quad \text{kN} \quad 4.333$$

Kraft $L_h = H_f$

$$L_h = H_f = lh \cdot git = 2,46 \cdot 152,0 = 373,9 \quad \text{kN} \quad 4.334$$

Kraft R_v → reaktive Kraft aus der Auflast

$$-R_v = L_v + H_v = 535,0 + 535,0 = 1070 \quad \text{kN} \quad 4.335$$

Gewichtskraft G_{eezul} → mit welcher der Pfahl belastet werden kann

$$G_{eezul} = 2 \cdot L_v = 2 \cdot 1070 = 2140 \quad \text{kN} \quad 4.336$$

Mantelfläche Am^* → bei der Pfahlhöhe $hp'' = 10,48$ m (4.320)

$$Am^* = hp'' \cdot d \cdot \pi = 10,48 \cdot 0,60 \cdot \pi = 19,75 \quad \text{m}^2 \quad 4.337$$

Manteldruck σ_m^* → beidseitig durch die Kraft L_h

$$\sigma_m^* = 4 \cdot L_h / Am = 4 \cdot 373,5 / 19,75 = 75,6 \quad \text{kN/m}^2 \quad 4.338$$

Das für die Pfahlhöhe $hp^* = 9,16$ m (4.300) errechnete Eigengewicht des Pfahls $Gp = 58,5$ kN (4.294) wird über den Erdkegel $Vae = 1,168$ m³ (4.297) in das Erdreich unterhalb des Pfahls abgetragen. Zu ermitteln und von der Gewichtskraft $Gee_{zul} = 2140$ kN (4.336) abzuziehen bleibt das Pfahleigengewicht für die Pfahlhöhe $hg = 1,32$ m (4.299).

Gewichtskraft ΔGp des Pfahls

$$\Delta Gp = \emptyset \cdot \Delta hp \cdot p_{pf} \cdot g = 0,283 \cdot 1,32 \cdot 2,3 \cdot 9,807$$

$$\Delta Gp = 8,4 \quad \text{kN} \quad 4.339$$

Gewichtskraft Gee^*

$$Gee^* = Gee^* - \Delta Gp = 2140 - 8,4 = 2131,6 \quad \text{kN} \quad 4.340$$

Auf den Pfahl mit der Höhe $hp'' = 2 \cdot hp' = 10,48$ m lässt sich vertikal die Gewichtskraft $Gee^* = 2131,6$ kN (4.340) auftragen, ohne dass der Pfahl sich setzt.

Auch dieses Beispiel belegt, dass ein Pfahl durch die horizontalen Kräfte im Erdreich (Anpressdruck) gehalten werden kann und dass Reibungskräfte (Mantelreibungskräfte) nur auftreten, wenn der Pfahl gezogen oder durch Überlastung tiefer in den Boden getrieben wird (durchsackt). Wird ein Pfahl überlastet, verdichtet sich der Boden unter dem Pfahl, der dann einen steileren Neigungswinkel und geringere Horizontalkräfte für den Lastabtrag ausbildet. Folgt der Boden unter dem Pfahl dem Umbau des Kraftsystems nicht, kann es zu einer Pfahlsetzung, einem Grundbruch unter dem Pfahl oder einer Schrägstellung des Pfahls kommen. Unbedeutend hierbei bleibt die Oberflächenbeschaffenheit des Pfahlmantels, siehe hierzu die Reibungskraft in Abschnitt 2.3.1.

Die vorgestellte Ermittlung von zulässigen Pfahlbelastungen ist übertragbar auch auf Pfähle mit wechselnder Schaft- und Fußausbildung (Fußverbreiterung). Hierbei sind lediglich die veränderten Volumina zu berücksichtigen. Nicht behandelt sind exzentrische und dynamische Belastungen von Pfählen sowie sicherheitsrelevante Faktoren, die Einfluss auf die Pfahlbemessung nehmen können.

In der Tabelle sind die Berechnungsergebnisse zusammengefasst:

Pfahl mit der Höhe $hp = 5,90$ m	Pfahl mit der Höhe $hp'' = 10,48$ m
Horizontalkraft $Lh = 518,8$ kN (4.314)	Horizontalkraft $2Lh = 747,8$ kN (4.334)
Vertikalkraft $Rv = -741,7$ kN (4.315)	Vertikalkraft $Rv = -1070$ kN (4.335)
Manteldruck $\sigma_m = 93,3$ kN/m ² (4.318)	Manteldruck $\sigma_m^* = 75,6$ kN/m ² (4.338)
Gewichtskraft $Ge^* = 1504$ kN (4.319)	Gewichtskraft $Gee^* = 2132$ kN (4.340)

4.9 Fazit zum Kapitel 4

Die neue Erddruck-Theorie stützt sich auf die Annahme, dass Erdspannungen immer aktiv sind und der Spannungsauf- und -abbau im Erdreich über die Neigungsebene innerhalb von Erdblöcken erfolgt. Werden externe Kräfte auf die Geländeebene/Belastungsebene aufgetragen, verändern sie die Form und Größe des Spannungsbildes, den Neigungswinkel und ggf. die Bodendichte. Isoliert man aus einer geschlossenen Feldformation unterhalb der Geländeebene eine idealisierte, porenlose Felssäule mit der quadratischen Grundfläche $Ad = 1,00 \text{ m}^2$, so lässt sich über das Höhen/Seiten-Verhältnis der Tangens des Neigungswinkels $\tan \beta t = 100/1 = 100 = \mu$ und damit der Winkel $\beta t = 89,43^\circ$ ermitteln. Ordnet man der Felssäule die Trockendichte $\rho_{90} = 3,0 \text{ t/m}^3$ und die Fallbeschleunigung g zu, so stellt sich in der Aufstandsfläche Ad die Pressung $\sigma_d = 2942 \text{ kN/m}^2$ ein. Diese Pressung ändert sich auch dann nicht, wenn man die Säule auf die Feldformation verbringt. Es ist somit annehmbar, dass jede andere Bodenart unter analogen Bedingungen Gleiches leistet, d. h. bei einer $h^* = 100 \text{ m}$ hohen Erdsäule in der Aufstandsfläche eine adäquate Pressung erzeugt. Da aber eine Erdsäule unter realen Bedingungen unter ihrem Neigungswinkel auseinanderbersten und damit an Höhe zugunsten der Fläche Ad verlieren würde, reduziert die größere Aufstandsfläche auch die Bodenpressung, siehe hierzu weitere Ausführungen in dem Unterkapitel 4.2.

Kehrt man zurück zur Felssäule und tauscht unterhalb der Geländeebene das Felsgestein gegen eine Bodenart, so wird bei zugelassener einseitiger Kraftausbreitung deren Horizontalkraft für ihren Abbau eine Kraftfläche ausbilden. In dieser Fläche mit der Höhe h' und der Breite b nimmt die Neigungsebene unter dem Winkel β die Flächendiagonale ein. Der auf der Neigungsebene lagernde Boden wird als ‚aktiv‘ und der unterhalb anstehende Boden als ‚reaktiv‘ betrachtet. Ordnet man der Kraftfläche $A = h' \cdot b$ die Berechnungsbreite $a = 1,00 \text{ m}$ zu, so entsteht eine Erdscheibe mit der Höhe h' , der Aufstandsfläche $Ad = a \cdot b$ und dem Volumen $V^* = 100 \text{ m}^3$. Da die Gewichtskraft G einer 100 m hohen Erdsäule mit der Aufstandsfläche $Ad = a^2$ der Gewichtskraft G der Erdscheibe mit dem Volumen $V^* = 100 \text{ m}^3$ und der Aufstandsfläche $Ad' = a \cdot b$ entspricht, muss sich die zulässige Bodenpressung über die Aufstandsfläche Ad' der Erdscheibe berechnen lassen. Hieraus lässt sich ableiten, dass jeder Quadratmeter einer Bodenart eine Erdsäule der gleichen Bodenart und der Hö-

he h' tragen kann, ohne dass sich hierbei eine Bodensetzung unter der Säule einstellt. Für die Berechnung des Last- oder Kraftabtrags von Auflasten, egal ob diese als Erdmasse oder externe Kraft auf die Erdoberfläche aufgetragen werden, sind diese zunächst den Eigenschaften des lastabtragenden Bodens anzupassen. Der Kraftabtrag von Auflasten erfolgt im Erdreich über eine Vergrößerung der Kraftfläche des Erdeigengewichts und einen Wandel des Neigungswinkels β_e unter Auflast. In gleicher Weise ändert sich der natürliche Scherwinkel s und wird zum Scherwinkel se unter Auflast. Wird das lastabtragende Erdreich durch die Auflast nicht überlastet bleibt die Bodendichte dieses Bodens konstant. Immer aber erzeugt eine größere Kraftfläche im Erdreich auch eine höhere Erddruckkraft gegen eine Wand oder lässt Erdmassen aus einem Hang schneller abgleiten. Die Kraftverteilung und die Winkel im Erdreich können sich ändern, wenn der Abtrag der vertikalen Kräfte aus der Auflast durch einen Felsschicht (Beton) gehindert wird. In diesem Fall wandeln sich vertikale in horizontale Kräfte und flachen den Neigungswinkel β_e ab.

Für die Kraftermittlung gegen ein Bauwerk oder die Berechnung des Abbaus von auf Bauwerken/Bauteilen aufgetragenen Lasten in das anstehende Erdreich dienen Koordinatensysteme, die aus einem, zwei, vier oder acht Erdblöcken bestehen. Das beschriebene Volumen $V^* = 100 \text{ m}^3$ eines Erdblocks hilft u. a. auch, die Grenzen der Belastbarkeit eines Bodens zu bestimmen. Über einen Erdblock und die Berechnungstiefe $a = 1,00 \text{ m}$ lässt sich die Belastung einer Stützwand errechnen. Zwei Erdblöcke werden benötigt, um den Kraftabbau unter einem Streifenfundament verfolgen zu können. Vier Erdblöcke unterhalb der Oberfläche in einer Ebene angelegt dienen dem Kraftabtrag unter einem Einzelfundament mit vierseitiger Kraftabstrahlung.

Ein vertikal gestelltes Koordinatensystem, das mit vier Erdblöcken bestückt ist, dient zu der Kraftermittlung gegen einen Rohr- oder Tunnelquerschnitt und der Berechnung des Kraftabbaus unter dem Querschnitt. Der Mittelpunkt der Leitung ist hierbei in das Zentrum des Koordinatensystems zu legen. Die zwei oberen Erdblöcke belasten den Querschnitt und die zwei unteren Blöcke tragen die Kräfte in dem Boden nach unten ab. Acht Erdblöcke, in zwei Ebenen mit je vier Blöcken zusammengefasst, bilden einen Erdwürfel, dessen quadratische Grundfläche mit der Breite b' die Berechnungstiefe a ablöst. Dieses Koordina-

tensystem dient zur Kraftermittlung bei Einzelpfählen, die mit ihrer Achse in die vertikale Systemachse zu stellen sind. Die vier Erdblöcke der oberen Ebene spannen mit ihren Kräften den Pfahl ein und die vier Erdblöcke der unteren Ebene übernehmen die Kraft, die über den Pfahlfuß in das Erdreich abgetragen werden soll.

Die ausgeführten Berechnungsbeispiele in diesem Kapitel belegen, dass sich mit den ermittelten Bodeneigenschaften die Erdkräfte auf die unterschiedlichsten Bauwerke ermitteln lassen und der Abbau der Kräfte innerhalb des anstehenden Erdreichs verfolgt werden kann.

5 Erkundung durch Erdbewegung ausgelöster Unglücksfälle

In den Medien wird immer wieder über Berg- und Bauschäden sowie von Unglücksfällen in Deutschland berichtet, die im Zusammenhang stehen mit angeblich ‚unvorhersehbaren‘ Bodenbewegungen. Oft wird jahrelang nach den Schadensursachen gesucht, bis die Angelegenheit ungeklärt zu den Akten kommt. Mit den neuen Erkenntnissen zum Bodenverhalten und den zeitgemäßen Berechnungsgrundlagen der neuen Erddruck-Theorie besteht heute die Möglichkeit, das Bodenverhalten exakt zu ermitteln. Die bekanntesten Unglücksfälle des Jahres 2009 – der U-Bahnbau in Köln mit Einsturz der Historischen Archivs und der Bergrutsch in Nachterstedt im Zuge der Flutung des Concordiasees – mit getöteten Personen und hohen Sachschäden wurden ausgewählt, um aufzuzeigen, dass sich nach den Grundlagen der neuen Theorie die Schadensursachen berechnen lassen. Da Medien technische Merkmale oder relevante Fakten zu den gemeldeten Schadensfällen kaum veröffentlichen, werden bezogen auf die Bodenparameter und die Bauwerksabmessungen Annahmen getroffen.

5.1 Einsturz des Historischen Archivs der Stadt Köln 2009

Im Internet stehen Berichte und Fotostrecken [G] zum Einsturz des Historischen Archivs der Stadt Köln zur allgemeinen Information zur Verfügung. Als Unglücksursache wird ein hydraulischer Grundbruch vermutet, der eine Einbruchstelle mit einer Länge von 70 m und einer Breite von 50 m hervorgerufen haben soll. Zudem werden Pump-Protokolle benannt, mit denen ein überhöhter Wasserentzug mit unkontrollierbar großen Sandmengen nachzuweisen sei, der zur Instabilität des Bodens unter dem Archiv geführt haben könnte. In den Artikeln „Das Kölner Lehrstück“ vom 5.03.2011 (www.zeit.de) und „Im ‚Kölner Loch‘ verschwinden Beweise und Millionen“ vom 24.01.2013 (www.focus.de) wird dargestellt, dass die Schadensursache als noch ungeklärt gilt. Der Kölner Stadtanzeiger vom 30.03.2014 berichtet: „Ursache soll Ende 2014 geklärt sein“.

Betrachtet man die enorm große Gebäudelast des Historischen Archivs als Auflast auf den anstehenden Baugrund neben dem Tunnelquerschnitt, so ist eine Überbelastung der rechten Schlitzwand möglicherweise als schadensursächlich

anzusehen. Diese Vermutung wird bestärkt durch die Veröffentlichungen im Web zur Schrägstellung des Kirchturms von Sankt Johann Baptist [E].

Die Erfassung von Auf- und Gebäudelasten (Archiv) und der Abtrag dieser Lasten in das anstehende Erdreich ist nicht neu, jedoch bestehen nach den Berechnungsgrundlagen der derzeitigen Erddruck-Lehre und der neuen Theorie gravierende Unterschiede, die in dem Abschnitt 2.5, S. 46 kurz dargestellt und in Kapitel 4, S. 95ff. vertieft wurden.

Da für die nachstehende Untersuchung der Schadensursache weder Pläne des Archivs noch für die U-Bahnbaustelle zu beschaffen waren, sind Bilder der Fotostrecke und die Infografik: ‚Querschnitt der Kölner U-Bahntrasse‘ [B] aus dem Internet herangezogen worden, um nach bautechnischen Gesichtspunkten den Tunnelquerschnitt im Bereich der Einsturzstelle nachzubilden. Im Wissen um die vielen notwendigen Annahmen ist die nachstehende Berechnung der Schadensursache so abgefasst, dass sie in Kenntnis der realen Zahlen nachgestellt und überprüft werden kann. Auch wegen der Annahmen sind Berechnungsergebnisse etwas größer als sonst üblich auf- und abgerundet worden.

5.1.1 Annahmen zu Tunnelquerschnitt und Baugrund

Es wird angenommen, dass die Schlitzwände zur Einfassung der Baugrube von der Straßen- bzw. Geländeoberkante (OKG) bis zur Wandsohle $hs = 30,0$ m messen [B]. Die Lamellendicke der Schlitzwände wird auf $d = 1,0$ m geschätzt, wobei eingebaute Stahlträger zur Erdverankerung der Schlitzwände dienen. Von der OKG gemessen, soll die Unterkante (UK) der Tunnelsohle (Stahlbeton) gleich der Oberkante (OK) Unterwasserbeton die Höhe $hss = -25,0$ m und der Tunnelquerschnitt die lichte Rohbaubreite $bt = 14,50$ m einnehmen. Der langjährige Grundwasserspiegel wurde mit der Höhe $hw = -5,00$ m unterhalb der OKG angelegt.

Dem Baugrund, quartäre Kiese/Sande, werden nach neuer Erddruck-Theorie der Neigungswinkel $\beta t = 65^\circ$ und die vom Winkel abhängige Trockendichte $ptg = 2,046$ t/m³ errechnet, siehe Anlage 1. Hierbei wird davon ausgegangen, dass der Boden durch den wiederholten Kontakt mit dem Grundwasser als fest gelagert beschrieben werden kann und sein Volumen auch konstant bleibt, auch wenn ihm das Porenwasser entzogen wird (siehe hierzu die Versuchsreihe 2 und 3 zu der Bodenverdichtung durch Wasser, Unterkapitel 2.4.3, Abb. 19 bis 21, S. 44f.).

Unbekannt sind die einzelnen Schichtungen der Tunnelsohle (Betoniervorgänge), der Anschluss der Tunnelsohle an die Schlitzwände und der Bauzustand der Tunnelsohle zum Zeitpunkt des Unglücks. Ferner konnte nicht recherchiert werden, ob zum Auftrieb infolge des Grundwassers die erforderliche Gegenlast ausschließlich über die Sohlausbildung abgedeckt werden sollte oder eine weitere Lastverteilung über Bahnsteige, Wände, Säulen und Geschossdecken geplant war.

5.1.1.1 Lastannahmen zum Stadtarchiv und Wohngebäude

Das Historische Archiv war ein modernes 7-geschossiges Gebäude mit Flachdach (Abb. 111). Seine Obergeschosse, müssen gemessen an der Höhe des Nachbargebäudes, mit reduzierten lichten Höhen ausgeführt worden sein. Eher als Regelbebauung des Straßenzuges wäre das benachbarte Wohnhaus mit vier Etagen und ausgebautem Dachgeschoss anzusehen. Betrachtet man die Bauweise der beiden Gebäude und seine Nutzungen, so muss das Archiv mit der Nutzung als Bibliotheksgebäude eine weit höhere Belastung des Baugrunds bewirken als das einfache Wohnhaus.



Abb. 111 zeigt eine skizzierte Straßenansicht des Archivs mit benachbartem Wohnhaus.

Den Auswirkungen der unterschiedlichen Baugrundbelastungen wird nachgegangen und hierzu folgende Annahmen getroffen:

Die lichten Höhen der sechs Obergeschosse werden mit $h = 2,3$ m und jene der Erd- und Kellergeschosse mit $h = 3,5$ m geschätzt. Als Gebäudebreite wird im Erdgeschoss die Breite $b = 13,5$ m zugrunde gelegt und durch die straßenseitige Auskragung aller Obergeschosse auf $b' = 14,0$ m erweitert. Die Dicken der Geschossdecken werden mit $d = 0,30$ m und die als Fundamentierung des Gebäudes angenommene durchgehenden Sohlplatte mit der Dicke 1,10 m in die nachstehenden Massenermittlungen übernommen. Die Gebäudehöhe ab UK Sohlplatte errechnet sich über die Summe aller lichten Höhen

$\sum h = 2 \cdot 3,5 + 6 \cdot 2,3 = 20,8$ m zuzüglich der Geschossdecken und der Sohlplatte zu $\sum d = 8 \cdot 0,30 + 1,10 = 3,5$ m. Ausgehend vom Straßenniveau bzw. der OKG und dem gewählten Grundwasserspiegel WSp wird die Unterkante (UK) der Bauwerkssohle auf $\Delta h = h_w = -5,0$ m gelegt, so dass das Archiv oberhalb der OKG die Höhe $hh = \sum h + \sum d + h_w = 20,8 + 3,5 - 5,0 = 19,3$ m einnimmt. Die Gehwegbreite zwischen der Hinterkante HK der Schlitzwand und dem Archiv wird auf $bb = 3,0$ m geschätzt. Da die Obergeschosse des Gebäudes auskragen, verringert sich hier der Abstand zur HK Schlitzwand auf die Breite $bb = 2,5$ m. Für die Berechnungen wird eine vertikale Bezugsachse durch das Archiv im Abstand der Breite $ble = 3,0 + b'/2 = 3,0 + 14,0/2 = 10,0$ m zur HK Schlitzwand gelegt. Die Berechnungstiefe $a = 1,00$ m wird vorgegeben.

Gebäudelasten des Archivs

Es wird angenommen, dass das Archiv als Stahlbeton-Skelettbau errichtet worden ist und die Geschossdecken anstatt von festen Mittelwänden von Stahlbetonsäulen getragen werden. Für die Lastermittlung werden die Außenwände sowie die mittleren Säulen, Unterzüge und Vouten in die Rohbau-Wandstärken mit der Breite $b_w = 1,40$ m eingerechnet und die gemittelte Dichte $p_1 = 2,20$ t/m³ gewählt. Den Geschossdecken einschließlich der Bauwerkssohle wird die Dichte des Stahlbetons $p_2 = 2,50$ t/m³ zugeordnet. Über die Bauwerksabmessungen und die Dichten p_1 und p_2 werden die Gebäudelasten und die vom Baugrund abzutragenden Kräfte ermittelt.

Gewichtskraft $Ge_1 \rightarrow$ der Wände mit der Dichte $p_1 = 2,20$ t/m³

$$Ge_1 = b_w \cdot \sum h \cdot p_1 \cdot g = 1,40 \cdot 20,8 \cdot 2,2 \cdot g = 628 \quad \text{kN} \quad 5.1$$

Gewichtskraft $Ge_2 \rightarrow$ der Decken mit der Dichte $p_2 = 2,50$ t/m³

$$Ge_2 = b' \cdot \sum d \cdot p_2 \cdot g = 14,0 \cdot 3,5 \cdot 2,5 \cdot g = 1201 \quad \text{kN} \quad 5.2$$

Die Gewichtskraft Ge_3 , die den Innenausbau der acht Geschosse und die Dachabdeckung erfasst, wird errechnet über die nutzbare Gebäudefläche mit der Breite $b^* = b' - b_w = 14,0 - 1,4 = 12,6$ m und der angenommenen Dichte $p_3 = 0,125$ t/m².

Gewichtskraft $Ge_3 \rightarrow$ des Innenausbaus mit der Dichte $p_3 = 0,125$ t/m³

$$Ge_3 = 9 \cdot b^* \cdot p_3 \cdot g = 9 \cdot 12,6 \cdot 0,125 \cdot 9,807 = 139 \quad \text{kN} \quad 5.3$$

Gewichtskraft $Ge_4 \rightarrow$ aus Verkehrslast $p_v = 5,0$ kN/m² (DIN 1054)

$$Ge_4 = 8 \cdot b^* \cdot p_v = 8 \cdot 12,6 \cdot 5,0 = 504 \quad \text{kN} \quad 5.4$$

Die Addition der Gewichtskräfte Ge_1 bis Ge_4 dividiert durch die Gesamtbreite $b'' = b' + 2 \cdot 0,50 = 14,0 + 1,0 = 15,0$ m (Fundamentbreite plus Fundamentüberstände) ergibt die Gewichtskraft q_v pro m^2 . Diese Kraft ist den Eigenschaften des belasteten Bodens über die Trockendichte $ptg = 2,046$ t/ m^3 (Anlage 1) und die Fallbeschleunigung $g = 9,807$ m/ s^2 anzupassen. Die Trockendichte ist hierfür zu wählen, weil das Porenwasser im Boden unter der Auflast ausweicht und für den Kraftabtrag im Erdreich letztlich nur die Struktur der Feststoffe (Feststoffvolumen) zur Verfügung steht.

Gewichtskraft q_v

$$q_v = (Ge_1 + Ge_2 + Ge_3 + Ge_4) / b''$$

$$q_v = (628 + 1201 + 139 + 504) / 15,0 = 164,8 \quad \text{kN/m}^2 \quad 5.5$$

Lasthöhe $he_1 \rightarrow$ mit der Trockendichte $ptg = 2,046$ t/ m^3

$$he_1 = q_v / ptg \cdot g = 164,8 / 2,046 \cdot 9,807 \approx 8,20 \quad \text{m} \quad 5.6$$

Ergebnis:

Die Gebäudelast des Archivs einschließlich der Verkehrslast für Bibliotheken $p_v = 0,5$ kN/ m^2 (DIN 1054) bringt die Gewichtskraft $q_v = 164,8$ kN/ m^2 (5.5). Um die Gewichtskraft q_v in den Boden unterhalb des Archivs abtragen zu können, ist sie umgerechnet worden in die Auflastfläche mit der Höhe $he_1 = 8,2$ m (5.6) und der Breite $b'' = 15,0$ m, siehe nachfolgende Abb. 112, S. 175.

Gebäudelasten des Wohnhauses

Um einen Gegenwert zu dem Lastabtrag des Archivs zu erhalten, wurde das Wohnhaus neben dem Archiv gewählt und auf die andere Seite des Tunnels gestellt. Hier wird davon ausgegangen, dass entlang der U-Bahntrasse eine viergeschossige Wohnbebauung vorherrscht und das Archiv mit seinen sieben Geschossen die Ausnahme in der Bebauung des Straßenzugs bildet. Durch die unterschiedlichen Gebäudelasten links und rechts des U-Bahnquerschnitts werden sich auch ungleiche Kraftfelder gegen die Schlitzwände des Tunnels einstellen, vergleiche Abb. 112, S. 175 und Abb. 113, S. 177.

Für das links des Tunnels fiktiv angeordnete Wohnhaus wurde die Abstandsbreite $bb' = 16,5$ m zu der Vorderkante der linken Schlitzwand gewählt. Zudem sollen betragen: die lichte Höhe der Vollgeschosse $h = 2,50$ m und des Dach- und Kellergeschosses $h = 2,30$ m. Zudem werden angesetzt die Dicke der Geschossdecken mit $d = 0,20$ m und die Dicke der durchgehenden Sohlplatte mit $d = 0,70$ m. Über die Höhen $\sum h = 2 \cdot 2,30 + 4 \cdot 2,75 = 15,6$ m plus die Dicken

der sechs Geschossdecken plus Sohlplatte $\sum d = 6 \cdot 0,20 + 0,70 = 1,9$ m lässt sich ab UK. Sohlplatte die Gebäudehöhe zu $hg = 17,5$ m errechnen, wobei die Decke der Dachgeschosswohnung als Bestandteil des Satteldaches gewertet wird. Die Breite des Wohnhauses soll $b = 11,5$ m betragen, so dass nach Abzug der tragenden Wände mit der Breite $b_w = 1,3$ m als Nutzflächenbreite $b^* = b - b_w = 11,5 - 1,3 = 10,2$ m verbleibt. Über die Breite b^* werden die Verkehrslast $p_v = 0,150$ t/m² und die Last $p_3 = 0,125$ t/m² für leichte Querwände und den sonstigen Innenausbau berücksichtigt. Die UK. Sohlplatte soll zum Straßenniveau auf $\Delta h = -2,80$ m liegen. Über die vorgenannten Werte werden die Lasten des Wohnhauses errechnet.

Ermittlung der Gebäudelasten des Wohnhauses

Gewichtskraft $Ge_1 \rightarrow$ der Wände mit der Dichte $p_4 = 2,00$ t/m³

$$Ge_1 = b_w \cdot \sum h \cdot p_4 \cdot g = 1,30 \cdot 15,6 \cdot 2,0 \cdot g = 398 \quad \text{kN} \quad 5.7$$

Gewichtskraft $Ge_2 \rightarrow$ der Decken mit der Dichte $p_2 = 2,50$ t/m³

$$Ge_2 = b' \cdot \sum d \cdot p_2 \cdot g = 11,5 \cdot 1,9 \cdot 2,5 \cdot g = 536 \quad \text{kN} \quad 5.8$$

Gewichtskraft $Ge_3 \rightarrow$ des Innenausbau mit der Dichte $p_3 = 0,125$ t/m³

$$Ge_3 = 6 \cdot b^* \cdot p_3 \cdot g = 6 \cdot 10,2 \cdot 0,125 \cdot 9,807 = 75 \quad \text{kN} \quad 5.9$$

Gewichtskraft $Ge_4 \rightarrow$ aus Verkehrslast $p_v = 1,5$ kN/m² (DIN 1054)

$$Ge_4 = 6 \cdot b^* \cdot p_v = 6 \cdot 10,2 \cdot 1,5 = 92 \quad \text{kN} \quad 5.10$$

Die Gewichtskräfte addiert und danach durch die Fundamentbreite plus Fundamentüberstand $b'' = 11,5 + 0,5 = 12,0$ m dividiert, ergibt die Gewichtskraft pro m², die wie zuvor den Eigenschaften des Baugrundes anzupassen ist.

Gewichtskraft q_v

$$q_v = (Ge_1 + Ge_2 + Ge_3 + Ge_4) / b''$$

$$q_v = (398 + 536 + 75 + 92) / 12,0 = 91,8 \quad \text{kN/m}^2 \quad 5.11$$

Lasthöhe $he_2 \rightarrow$ mit der Trockendichte $ptg = 2,046$ t/m³

$$he_2 = q_v / ptg \cdot g = 91,8 / (2,046 \cdot 9,807) = 4,6 \quad \text{m} \quad 5.12$$

Ergebnis:

Die Wohnhaus einschließlich der Verkehrslast $p_v = 1,5$ kN/m² (DIN 1054) bringt die Gewichtskraft $q_v = 91,8$ kN/m² (5.11), welche nach der Umrechnung mit den Bodenkennwerten des anstehenden Bodens die Auflasthöhe $he_2 = 4,6$ m (5.12) erzeugt. Die Lasthöhe he_2 ist über die Gesamtbreite $b'' = 12,0$ m anzusetzen (Abb. 113, S. 177). Vergleicht man die Auflasthöhe $he_1 = 8,2$ m (5.6) des Archivs (Abb. 112, S. 175) mit der Auflasthöhe $he_2 = 4,6$ m (5.12) des Wohnhauses, so wird bereits hier die unterschiedliche Belastung des Baugrunds und damit der Schlitzwände deutlich.

5.1.1.2 Annahmen zu den Bodeneigenschaften

In der Infografik [B] sind quartäre Kiese/Sande als Baugrund dargestellt. Diese Bodenart wird als Basis genutzt, um die weiteren Eigenschaften des Bodens in den einzelnen Bodenzuständen zu ermitteln, siehe Kapitel 3, S. 56.

Stellt man sich für die nachstehenden Berechnungen den quartären Kies/Sand in einem getrockneten Zustand vor, so kann über eine gezielte Wasserzugabe der trockene Boden in einen feuchten Boden, einen nassen Boden oder in einen ‚Boden unter Wasser‘ gewandelt werden. Jeder Boden, ob im trockenen, feuchten oder nassen Zustand verkörpert eine eigene Bodenart mit eigenen Bodenkenngrößen. Die unterschiedlichen Neigungswinkel und Dichten der Böden erlauben es, den Kräften neben und unter dem Tunnelquerschnitt nachzugehen und diese den einzelnen Bauteilen zuzuordnen.

Zudem haben die Versuchsanordnungen 2 und 3 der Unterkapitels 2.4.2 und 2.4.3 erkennen lassen, dass sich das Volumen eines ‚nassen Bodens unter Wasser‘ nicht verändert, wenn dem Boden das Wasser entzogen und danach wieder zugeführt wird. Für das Bodenvolumen unter den Gebäuden kann daraus gefolgert werden, dass sich das Bodenvolumen durch den reinen Wasserentzug im Zuge der Grundwasserabsenkung nicht beeinflussen lässt. Auch wenn durch das Abpumpen des Grundwassers Feinteile (Sand) aus dem anstehenden Erdreich mit abgesaugt worden wären, dürften diese die Standfestigkeit des Bodens unter den Gebäuden kaum mindern. Denn es wäre zudem möglich, dass zufließendes Grundwasser aus entfernten Bereichen wieder Feinteile in den Boden unterhalb der Gebäude einspülen könnten.

Eigenschaften des trockenen Kieses

Nach der neuen Erddruck-Theorie lassen sich dem quartären Kies/Sand die Trockendichte $p_{tg} = 2,046 \text{ t/m}^3$ (Anlage 1) und der Neigungswinkel $\beta_t = 65,0^\circ$ zuordnen und daraus folgende weitere Bodeneigenschaften errechnen:

Trockendichte $p_{tg} = 2,046 \text{ t/m}^3 \rightarrow$ über den Neigungswinkel $\beta_t = 65^\circ$.

$$p_{tg} = p_{90} / (1 / \tan \beta_t + 1) = 3 / (1/2,146 + 1) = 2,046 \text{ t/m}^3 \quad 5.13$$

Feststoffvolumen V_f

$$V_f = p_{tg} \cdot V_{p90}/p_{90} = 2,046 \cdot 1,000/3,0 = 0,682 \quad \text{m}^3 \quad 5.14$$

Porenvolumen V_l

$$V_l = V_{p90} - V_f = 1,000 - 0,682 = 0,318 \quad \text{m}^3 \quad 5.15$$

Eigenschaften des nassen Kiesel bei vollständiger Porenfüllung mit Wasser:Gewicht des Porenwassers $p_{wg} = 1,00 \text{ t/m}^3$

$$p_{wg} = V_l \cdot p_{wg} / V_{p90} = 0,318 \cdot 1,0 / 1,0 = 0,318 \quad \text{t/m}^3 \quad 5.16$$

Nassdichte p_{ng}

$$p_{ng} = p_{tg} + p_{wg} = 2,046 + 0,318 = 2,364 \quad \text{t/m}^3 \quad 5.17$$

Neigungswinkel $\beta_n \rightarrow p_{tg90} = 3,00 \text{ t/m}^3$

$$\tan \beta_n = V_f / (V_l + V_l \cdot p_{wg} / p_{tg90})$$

$$\tan \beta_n = 0,682 / (0,318 + 0,318 \cdot 1,0 / 3,0) = 1,609 \quad 5.18$$

$$\beta_n = 58,1^\circ \quad [-] \quad 5.19$$

Eigenschaften des nassen Kiesel unter Wasser

Die Umwandlung eines trockenen Bodens in einen nassen Boden unter Wasser ist behandelt worden in Abschnitt 3.2.1.

Feststoffvolumen V_{fw}

$$V_{fw} = 2 \cdot V_f / 3 = 2 \cdot 0,682 / 3 = 0,455 \quad \text{m}^3 \quad 5.20$$

Auftriebsvolumen V_{fa}

$$V_{fa} = V_f / 3 = 0,682 / 3 = 0,227 \quad \text{m}^3 \quad 5.21$$

fiktive Trockendichte unter Wasser p_{twg}

$$p_{twg} = V_{fw} \cdot p_{tg90} / V_{p90} = 0,455 \cdot 3,0 / 1,0 = 1,364 \quad \text{t/m}^3 \quad 5.22$$

Nassdichte unter Wasser p_{nwg}

$$p_{nwg} = p_{twg} + p_{wg} = 1,364 + 0,318 = 1,682 \quad \text{t/m}^3 \quad 5.23$$

Dichte $p_{awg} \rightarrow$ zur Ermittlung der Auftriebskraft.

$$p_{awg} = V_{fa} \cdot p_{tg90} / V_{p90} = 0,227 \cdot 3,0 / 1,0 = 0,682 \quad \text{t/m}^3 \quad 5.24$$

Neigungswinkel β_{nw}

$$\tan \beta_{nw} = V_{fw} / (V_l + V_l / 3 - V_l / 2)$$

$$\tan \beta_{nw} = 0,455 / (0,318 - 0,318 / 6) = 1,717 \quad 5.25$$

$$\beta_{nw} = 59,8^\circ \quad [-] \quad 5.26$$

Ergebnis:

Folgende Eigenschaften wurden für den quartären Kies berechnet:

Nasser Kies	Nasser Kies unter Wasser
Nassdichte $p_{ng} = 2,364 \text{ t/m}^3$ (5.17)	Nassdichte $p_{nwg} = 1,682 \text{ t/m}^3$ (5.23)
Neigungswinkel $\beta_n = 58,1^\circ$ (5.19)	Neigungswinkel $\beta_{nw} = 59,8^\circ$ (5.26)
Unter Wasser: Auftriebsdichte $p_{awg} = 0,682 \text{ t/m}^3$ (5.24)	

Bei der vorstehenden Ermittlung blieb eine Volumenreduzierung der Feststoffe unberücksichtigt, die eventuell bei der Grundwasserabsenkung durch das Ausspülen von Feinstteilen aus dem Baugrund entstanden sein könnte.

5.1.2 Belastung des Baugrunds durch die Gebäude

Das Archiv wie auch das Wohnhaus sind als Erdlasten zu verstehen, die sich mit der Ersatzlasthöhe he und der Fundamentbreite b'' als Lastfläche Ae darstellen und die Gründungssohle (UK. Kellersohle) belasten. Zur Verfolgung des Kraftabtrags im Erdreich wird mittig in die Fläche $Ae = he \cdot b''$ eine vertikale Bezugsachse gelegt und links und rechts der Achse mit der Breite $bo = b''/2$ und der Höhe ho die Keilfläche des Erdeigengewichtes $Ao = bo \cdot ho/2$ angelegt. Die Keilhöhe ho lässt sich über die Breite bo und den Neigungswinkel $\beta n = 58,1^\circ$ (5.19) ermitteln. Unterhalb der Fläche Ao ist die Höhe he der Auflastfläche Ae so anzuordnen, dass jeweils links und rechts der Achse die halbe Auflastfläche Ae zu liegen kommt. Die Teilflächen $Ae/2$ sind diagonal in die aktive Fläche Aa und in die reaktive Fläche Ar zu unterteilen wobei die Diagonale innerhalb der Fläche $Ae/2$ als neue Neigungsebene mit dem Winkel βe zu betrachten ist. Für die Kraftermittlung sind die aktive Fläche des Erdeigengewichtes Ao und die aktive Fläche Aa der Gebäudelast zur Fläche $Ac = Ao + Aa$ zu addieren und dann die Gewichtskraft Ge über die Fläche Ac multipliziert mit der Nassdichte $png = 2,364 \text{ t/m}^3$ (5.17) und der Fallbeschleunigung $g = 9,807 \text{ m/s}^2$ zu berechnen, siehe Abschnitt 2.5.

Die Nassdichte png und der Neigungswinkel βn wurden für die Kraftermittlung gewählt, weil nicht davon ausgegangen wird, dass sich trotz der erwähnten ‚übermäßig hohen Wasserentnahme‘ beim Tunnelbau der ursprünglich nasse Kies in einen feuchten teilgesättigten Kies umgewandelt hat. Zudem wäre vor Ort die Porenwassermenge im Boden nur über die Entnahme ungestörter Bodenproben nachweisbar.

Kraftflächen unter dem Archiv

Für die Berechnung stehen zur Verfügung:

Eigenschaften nasser Kies'	Maße des Archivs
Nassdichte $png = 2,364 \text{ t/m}^3$ (5.17)	Höhe $he_I = 8,2 \text{ m}$ (5.6)
Neigungswinkel $\beta n = 58,1^\circ$ (5.19)	Höhen $\Delta h = -5,0 \text{ m}$
Schlitzwandhöhe $hs = 30,0 \text{ m}$	Breite $b'' = 15,0 \text{ m}$
Abstandbreite $ble = 10,0 \text{ m}$ (HK Schlitzwand bis Bezugsachse)	
Grundwasserabsenkung bis UK Tunnelsohle $hss = -25,0 \text{ m}$	

Die zu ermittelnden Maße sind dargestellt in der nachstehenden Abbildung.

(5.29) und $A_e = 30,75 \text{ m}^2$ (5.30) über die Berechnungstiefe $a = 1,00 \text{ m}$ in die Volumina V_o und V_e umzuwandeln und danach deren Raumteile zu ermitteln. Bereits bekannt sind die Volumina $V_f = 0,682 \text{ m}^3$ (5.14) und $V_l = 0,318 \text{ m}^3$ (5.15) des trockenen Bodens. Multipliziert man das Volumen V_o mit den Raumteilen V_f und V_l , so erhält man die Volumina ΣV_{fo} und ΣV_{ol} . Das Volumen V_o wird zudem mit der Ersatzlast aus dem Archiv belastet, deren aktiver Part beidseitig der vertikalen Bezugsachse erfasst worden ist durch die Fläche $A_e = 30,75 \text{ m}^2$ (5.30) bzw. durch das Volumen V_e . Über das Volumen V_e und den Raumteil V_f ist das Volumen ΣV_{fe} zu ermitteln. Für die Berechnung des $\tan \beta_e$ steht die Winkelfunktion des nassen Bodens zur Verfügung.

Volumen ΣV_f

$$\Sigma V_f = A_c \cdot a \cdot V_f = 76,01 \cdot 1,0 \cdot 0,682 = 51,84 \quad \text{m}^3 \quad 5.38$$

Volumen ΣV_l

$$\Sigma V_l = A_o \cdot a \cdot V_l = 45,26 \cdot 1,0 \cdot 0,318 = 14,39 \quad \text{m}^3 \quad 5.39$$

Neigungswinkel β_e^*

$$\tan \beta_e^* = \Sigma V_f / 1,333 \cdot \Sigma V_l = 51,84 / 1,333 \cdot 14,39 = 2,703 \quad 5.40$$

$$\beta_e^* = 69,7^\circ \quad [-] \quad 5.41$$

Ergebnis zum Archiv:

Breite $b_o = 7,50 \text{ m}$ (5.27)	Höhe $h_o = 12,07 \text{ m}$ (5.28)
Breite $b_e = 9,35 \text{ m}$ (5.36)	Höhe $h_l = 20,27 \text{ m}$ (5.31)
Breite $b_{re} = 15,70 \text{ m}$ (5.37)	Höhen $h_l' = 25,27 \text{ m}$ (5.33)
Neigungswinkel $\beta_e = 69,7^\circ$	Fläche $A_c = 76,0 \text{ m}^2$ (5.32)

Zudem zeigt die Gleichheit der Winkel β_e und $\beta_e^* = 69,7^\circ$, dass sich Auflasten und ihr Abbau im Erdreich über die Raumteile der Böden verfolgen lassen.

Kraftflächen unter dem Wohnhaus

Für die Berechnung stehen zur Verfügung:

Nasser Kies	Wohnhaus
Nassdichte $p_{ng} = 2,364 \text{ t/m}^3$	Höhe $h_{e1} = 4,60 \text{ m}$ (5.12)
Neigungswinkel $\beta_n = 58,1^\circ$	Höhen $\Delta h = -2,80 \text{ m}$
Schlitzwandhöhe $h_s = 30 \text{ m}$	Breite $b'' = 12,00 \text{ m}$
Abstandsbreite $b_{re} = 15,70 \text{ m}$ (Bezugsachse/Schlitzwand)	

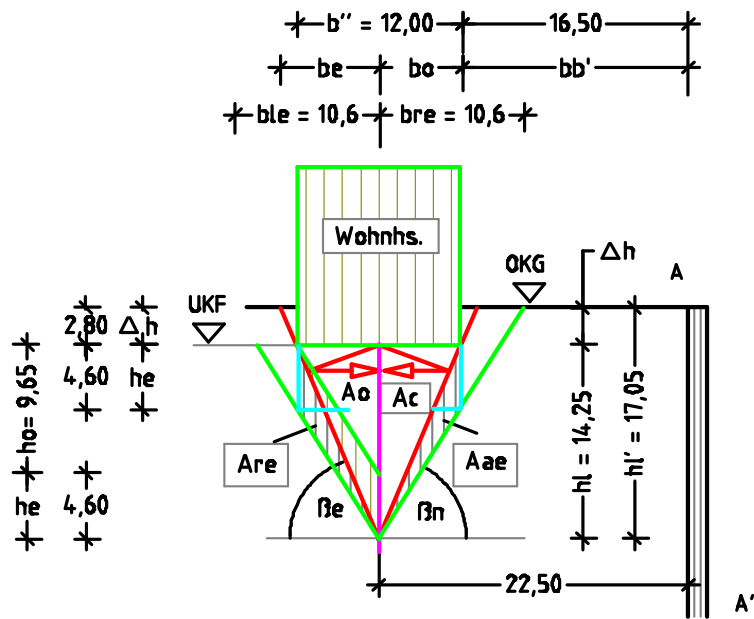


Abb. 113 zeigt im Erdreich unter dem Wohnhaus die Kraftfelder zum Lastabtrag.

Es werden berechnet:

Breite bo

$$bo = b''/2 = 12,00/2 = 6,00 \quad \text{m} \quad 5.42$$

Höhe ho

$$ho = bo \cdot \tan \beta_n = 6,00 \cdot 1,609 = 9,65 \quad \text{m} \quad 5.43$$

Höhe hl

$$hl = ho + he = 9,65 + 4,60 = 14,25 \quad \text{m} \quad 5.44$$

Höhe hl' → OKG bis Kraftfeldspitze

$$hl' = hl + \Delta h = 14,25 + 2,80 = 17,05 \quad \text{m} \quad 5.45$$

Neigungswinkel β_{ne}

$$\tan \beta_{ne} = hl/bo = 14,25/6,00 = 2,375 \quad 5.46$$

$$\beta_{ne} = 67,2^\circ \quad [-] \quad 5.47$$

Breite be

$$be = hl' / \tan \beta_{ne} = 17,05/2,375 = 7,18 \quad \text{m} \quad 5.48$$

Breite ble → $\tan \beta_n = 1,609$ (5.18)

$$ble = hl' / \tan \beta_n = 17,05/1,609 = 10,60 \quad \text{m} \quad 5.49$$

Auflastfläche Ae

$$Ae = 2 \cdot bo \cdot he = 2 \cdot 6,00 \cdot 4,60 = 55,2 \quad \text{m}^2 \quad 5.50$$

Aktive Lastfläche Ac

$$Ac = bo \cdot hl/2 = 6,00 \cdot 14,25/2 = 42,8 \quad \text{m}^2 \quad 5.51$$

Ergebnis zum Wohnhaus:

Breite $bo = 6,00$ m (5.42)	Höhe $hl = 14,25$ m (5.44)
Breite $be = 7,18$ m (5.48)	Höhe $hl' = 17,05$ m (5.45)
Neigungswinkel $\beta_e = 67,2^\circ$	Fläche $Ac = 42,8$ m ² (5.51)

5.1.3 Kräfte aus dem Baugrund gegen den Tunnelquerschnitt

In der folgenden Abbildung sind die Erdkeile mit ihren Flächen A_{ol} und A_{or} dargestellt, welche die 30,00 m hohen Schlitzwände bei bis zur Höhe $h_{ss} = 25,00$ m abgesenktem Grundwasserspiegel (OK. Unterwasserbeton) belasten. Unberücksichtigt bleiben vorab die Gebäudelasten (Archiv und Wohnhaus).

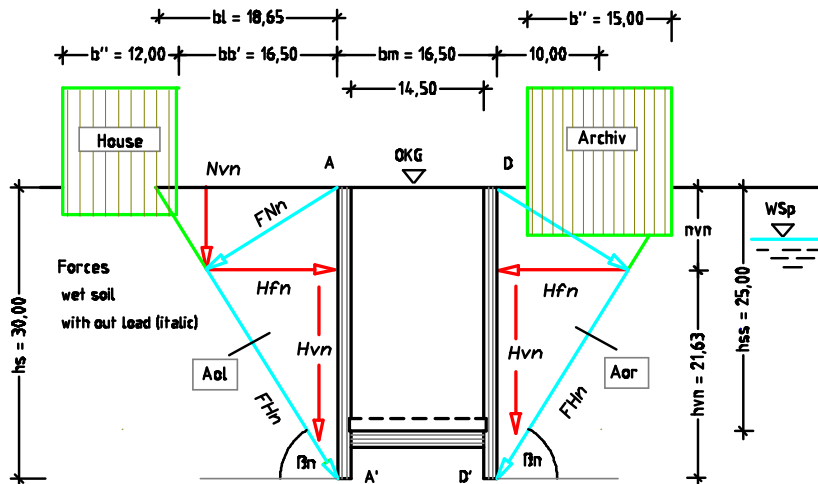


Abb. 114 zeigt die aktiven Kraftflächen des nassen Bodens gegen die Schlitzwände, jedoch ohne die Einflüsse der Gebäudelasten und des Grundwassers.

Kräfte gegen die Schlitzwände (nur Erdlasten)

Für die Berechnung stehen zur Verfügung: die Schlitzwandhöhe $h_s = 30,00$ m, die Nassdichte $p_{ng} = 2,364$ t/m³ (5.17) und der Neigungswinkel $\beta_n = 58,1^\circ$ (5.19). Zu berechnen sind Lastflächen und die Kräfte gegen die Wände.

Kräfte aus der Fläche $A_{ol} = A_{or}$

Breite bl

$$bl = h_s / \tan \beta_n = 30,00 / 1,609 = 18,65 \quad \text{m} \quad 5.52$$

Lastfläche $A_{ol} = A_{or}$

$$A_{ol} = A_{or} = h_s \cdot bl / 2 = 30,00 \cdot 18,65 / 2 = 279,8 \quad \text{m}^2 \quad 5.53$$

Gewichtskraft G_{tl}

$$G_{tl} = A_{ol} \cdot p_{tg} \cdot g = 279,8 \cdot 2,046 \cdot 9,807 = 5614 \quad \text{kN} \quad 5.54$$

Gewichtskraft G_{nl}

$$G_{nl} = A_{ol} \cdot p_{ng} \cdot g = 279,8 \cdot 2,364 \cdot 9,807 = 6487 \quad \text{kN} \quad 5.55$$

Kraft N_{vn}

$$N_{vn} = G_{nl} \cdot \cos^2 \beta_n = 6487 \cdot \cos^2 58,1^\circ = 1811 \quad \text{kN} \quad 5.56$$

Kraft H_{vn}

$$H_{vn} = G_{nl} \cdot \sin^2 \beta_n = 6487 \cdot \sin^2 58,1^\circ = 4676 \quad \text{kN} \quad 5.57$$

Kraft H_{fn}

$$H_{fn} = G_{nl} \cdot \sin \beta_n \cdot \cos \beta_n = 6487 \cdot 0,849 \cdot 0,528$$

$$H_{fn} = 2908 \quad \text{kN} \quad 5.58$$

Kraftzahl $gin \rightarrow$ zur Umwandlung der Kräfte in Kraftmeter

$$gin = bol \cdot ptg \cdot g / 2 = 18,65 \cdot 2,364 \cdot g / 2 = 216,2 \quad \text{kN/m}^2 \quad 5.59$$

Kraftmeter nvn

$$nvn = Nvn/gin = 1810/216,2 = 8,37 \quad \text{m} \quad 5.60$$

Kraftmeter hvn

$$hvn = Hvn/gin = 4676/216,2 = 21,63 \quad \text{m} \quad 5.61$$

Kraftmeter hfn

$$hfn = Hfn/gin = 2908/216,2 = 13,45 \quad \text{m} \quad 5.62$$

Kräfte aus der Fläche Aol'

Über die Fläche Aol' werden die Kräfte aus dem Erdreich erfasst, die gegen die Schlitzwand von OKG bis Tunnelsohle UK. $-25,30 \text{ m} =$ Höhe hl' wirken.

Breite $bol' = bor'$

$$bol' = bor' = hl' / \tan \beta n = 25,27/1,609 = 15,70 \quad \text{m} \quad 5.63$$

Fläche Aol'

$$Aol' = hl' \cdot bol' / 2 = 25,27 \cdot 15,70 / 2 = 198,6 \quad \text{m}^2 \quad 5.64$$

Gewichtskraft Gnl'

$$Gnl' = Aol' \cdot png \cdot g = 198,6 \cdot 2,364 \cdot 9,807 = 4604 \quad \text{kN} \quad 5.65$$

Kraft Nvn'

$$Nvn' = Gnl' \cdot \cos^2 \beta n = 4604 \cdot \cos^2 58,1^\circ = 1286 \quad \text{kN} \quad 5.66$$

Kraft Hvn'

$$Hvn' = Gnl' \cdot \sin^2 \beta n = 4604 \cdot \sin^2 58,1^\circ = 3318 \quad \text{kN} \quad 5.67$$

Kraft Hfn'

$$Hfn' = Gnl' \cdot \sin \beta n \cdot \cos \beta n = 4604 \cdot 0,849 \cdot 0,528$$

$$Hfn' = 2064 \quad \text{kN} \quad 5.68$$

Kraftzahl gin'

$$gin' = bol' \cdot ptg \cdot g / 2 = 15,70 \cdot 2,364 \cdot g / 2 = 182,0 \text{ kN/m}^2 \quad 5.69$$

Kraftmeter nvn'

$$nvn' = Nvn' / gin' = 1285/182,0 = 7,06 \quad \text{m} \quad 5.70$$

Kraftmeter hvn'

$$hvn' = Hvn' / gin' = 3315/182,0 = 18,21 \quad \text{m} \quad 5.71$$

Kraftmeter hfn'

$$hfn' = Hfn' / gin' = 2064/182,0 = 11,34 \quad \text{m} \quad 5.72$$

Die vorstehenden Berechnungen beinhalten noch nicht die Kräfte, die aus dem Kraftabtrag des Archivs gegen die rechte Schlitzwand wirken. Diese werden in dem nachstehenden Unterkapitel ermittelt, siehe Abb. 115, S. 181.

Die Belastungen aus dem Wohnhaus bleiben unberücksichtigt, da sie die Kräfte aus der Fläche Aol gegen die linke Stützwand nicht beeinflussen.

Ergebnisse:

Berechnete Kräfte gegen die Schlitzwände mit den unterschiedlichen Höhen:

Kräfte aus Fläche Aol	Kräfte aus Fläche Aol'
Nassdichte $p_{ng} = 2,364 \text{ t/m}^3$	Neigungswinkel $\beta_n = 58,1^\circ$
Keilhöhe $h_s = 30,00 \text{ m}$	Keilhöhe $h_{l'} = 25,27 \text{ m}$ (5.33)
Breite $bl = 18,65 \text{ m}$ (5.52)	Breite $bol' = 15,70 \text{ m}$ (5.63)
Fläche $Aol = 279,8 \text{ m}^2$ (5.53)	Fläche $Aol' = 198,6 \text{ m}^2$ (5.64)
Kraft $Gnl = 6487 \text{ kN}$ (5.55)	Kraft $Gnl' = 4604 \text{ kN}$ (5.65)
Kraft $Nvn = 1811 \text{ kN}$ (5.56)	Kraft $Nvn' = 1286 \text{ kN}$ (5.66)
Kraft $Hvn = 4676 \text{ kN}$ (5.57)	Kraft $Hvn' = 3318 \text{ kN}$ (5.67)
Kraft $Hfn = 2908 \text{ kN}$ (5.58)	Kraft $Hfn' = 2064 \text{ kN}$ (5.68)
Kraftmeter $nv_n = 8,37 \text{ m}$ (5.60)	Kraftmeter $nv_n' = 7,06 \text{ m}$ (5.70)
Kraftmeter $hvn = 21,63 \text{ m}$ (5.61)	Kraftmeter $hvn' = 18,21 \text{ m}$ (5.71)
Kraftmeter $hfn = 13,45 \text{ m}$ (5.62)	Kraftmeter $hfn' = 11,34 \text{ m}$ (5.72)

5.1.4 Kräfte aus Archiv und Baugrund gegen die rechte Schlitzwand

Durch das Zusammenführen der Kraftflächen aus dem Abtrag der Gebäudelasten und dem reinen Erddruck (Flächen Aol und Aol') zeigen sich unterschiedliche Belastungsbilder (Abb. 115). Auf der linken Seite des Tunnelquerschnitts überlagern sich die vorgenannten Lastflächen nicht, so dass je nach Lastfall für die Bemessung der linken Schlitzwand die Kräfte aus der Fläche Aol (5.53) mit der Keilhöhe $h_s = 30,0 \text{ m}$ oder die Kräfte aus der Fläche Aol' (5.64) mit der Keilhöhe $h_{l'} = 25,3 \text{ m}$ (5.33) maßgebend werden. Auf der rechten Seite des Tunnelquerschnitts kann die Erddruckkraft aus der Fläche Aor des reinen Erddrucks für die Bemessung der rechten Schlitzwand nicht herangezogen werden (Abb. 114), weil die Kraftfläche Aor vollständig überlagert wird durch die Kraftflächen AC des Lastabtrags unter dem Archiv (Abb. 115). Somit verbleibt für die Ermittlung des Kraftangriffs gegen die rechte Schlitzwand die Fläche Aco . Da in der Geländeebene die Breite $be = 9,35 \text{ m}$ (5.36), die von der Bezugsachse des Archivs bis zu dem Punkt D gemessen wird, die Abstandsbreite $ble = 10,00 \text{ m}$ von der Bezugsachse zur HK. Schlitzwand nicht voll abdeckt, verbleibt die Restbreite $be' = ble - be = 10,00 - 9,35 = 0,65 \text{ m}$. Um die Breite $be' = 0,65 \text{ m}$ über die Fläche Aco erfassen zu können, wird die Höhe hro an der rechten Schlitzwand über die Breite ble und den Winkel β_e ermittelt,

wobei die Keilfläche nicht weiter beachtet wird, die sich errechnet über die Breite be' und die Höhe Δh , welche die Geländeebene übersteigt.

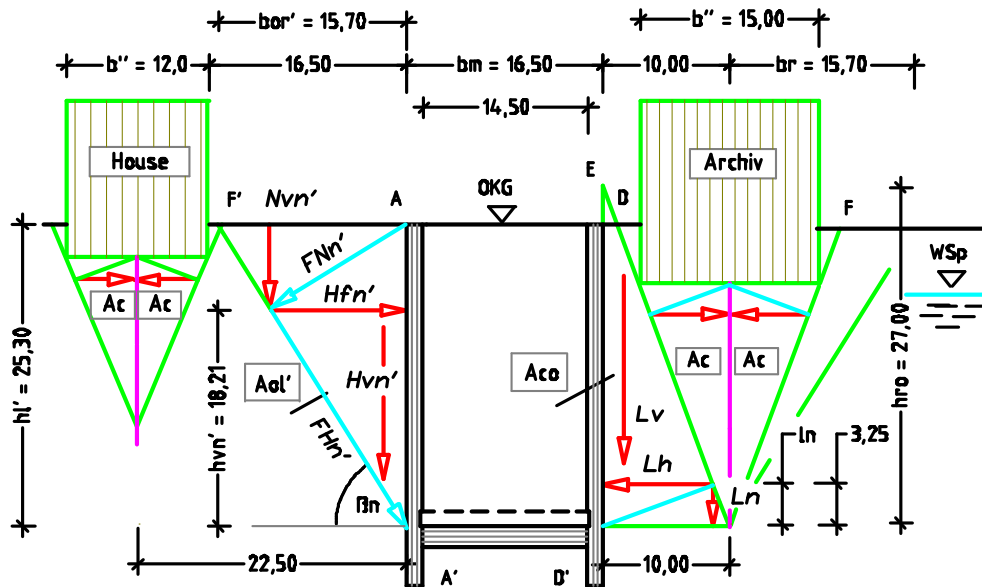


Abb. 115 zeigt links und rechts des Tunnels die Lastflächen, die zur Bemessung der Schlitzwände heranzuziehen sind.

Es werden ermittelt:

Höhe $hro \rightarrow$ mit den Winkel $\beta_e = 69,7^\circ$ (5.35) $\rightarrow \tan \beta_e = 2,703$ (5.34)

$$hro = ble \cdot \tan \beta_e = 10,00 \cdot 2,703 = 27,03 \quad \text{m} \quad 5.73$$

Lastfläche Aco

$$Aco = ble \cdot hro/2 = 10,0 \cdot 27,03/2 = 135,0 \quad \text{m}^2 \quad 5.74$$

Gewichtskraft Gen

$$Gen = Aco \cdot png \cdot g = 135,0 \cdot 2,364 \cdot 9,807 = 3130 \quad \text{kN} \quad 5.75$$

Kraft Ln

$$Ln = Gen \cdot \cos^2 \beta_e = 3130 \cdot 0,120 = 376 \quad \text{kN} \quad 5.76$$

Kraft Lv

$$Lv = Gen \cdot \sin^2 \beta_e = 3130 \cdot 0,880 = 2754 \quad \text{kN} \quad 5.77$$

Kraft Lh

$$Lh = Gen \cdot \sin \beta_e \cdot \cos \beta_e$$

$$Lh = 3130 \cdot 0,938 \cdot 0,347 = 1019 \quad \text{kN} \quad 5.78$$

Kraftzahl gin

$$gin = ble \cdot png \cdot g/2 = 10,0 \cdot 2,364 \cdot g/2 = 115,9 \quad \text{kN/m}^2 \quad 5.79$$

Kraftmeter ln

$$ln = Ln/gin = 376/115,9 = 3,25 \quad \text{m} \quad 5.80$$

Kraftmeter lv

$$lv = Lv/gin = 2754/115,9 = 23,75 \quad \text{m} \quad 5.81$$

Kraftmeter lh

$$lh = Lh/gin = 1019/115,9 = 8,80 \quad \text{m} \quad 5.82$$

Ergebnis:

Die horizontale Kraft $Hfn' = 2064 \text{ kN}$ (5.68) aus dem nassen Baugrund mit der Angriffshöhe $hvn' = 18,21 \text{ m}$ (5.71) gegen die Schlitzwand wandelt sich durch die Lastverteilung aus dem Archiv zu der horizontalen Kraft $Lh = 1019 \text{ kN}$ (5.78) mit der Angriffshöhe $ln = 3,25 \text{ m}$ (5.80).

Kräfte aus Fläche Aco	
Nassdichte $p_{ng} = 2,364 \text{ t/m}^3$	Neigungswinkel $\beta_{ne} = 69,7^\circ$
Keilhöhe $h_{ro} = 27,03 \text{ m}$ (5.73)	Keilbreite $ble = 10,00 \text{ m}$
Kraft $Gen = 3130 \text{ kN}$ (5.75)	Fläche $Aco = 135,0 \text{ m}^2$ (5.74)
Kraft $Ln = 376 \text{ kN}$ (5.76)	Kraftmeter $ln = 3,25 \text{ m}$ (5.80)
Kraft $Lv = 2754 \text{ kN}$ (5.77)	Kraftmeter $lv = 23,75 \text{ m}$ (5.81)
Kraft $Lh = 1019 \text{ kN}$ (5.78)	Kraftmeter $lh = 8,80 \text{ m}$ (5.82)

5.1.5 Bildung von Erdblöcken zur Ermittlung der Auftriebskräfte

Zur Verteilung der Kräfte auf die Schlitzwände und Tunnelsohle sind die errechneten Kraftflächen in Erdblöcke zusammenzufassen. Durch die eingeführte horizontale Berechnungsebene, die gleichzeitig den Grundwasserstand nach der Absenkung darstellen soll, bilden sich Blöcke oberhalb und unterhalb dieser Ebene. Die Höhe $hl' = 25,27 \text{ m}$ (5.33) zeigt den Abstand der Oberkante Gelände OKG bis zu dieser Ebene an, siehe Abb. 116.

Oberhalb des angenommenen Grundwasserspiegels und links des Tunnels errechnet sich die Blockfläche über die Höhe hl' und die Breite $bol' = 15,7 \text{ m}$ (5.63). Dieser Fläche ist die Neigungsebene mit dem Winkel $\beta_n = 58,1^\circ$ zuzuordnen. Rechts des Tunnels stehen zwei Erdblöcke, die sich die Gesamtbreite $br = 10,0 + 15,7 = 25,7 \text{ m}$ teilen. Ihre Neigungswinkel betragen $\beta_{ne} = 69,7^\circ$ (5.35) und $\beta_n = 58,1^\circ$.

Da die Blöcke unterhalb der horizontalen Berechnungsebene im Grundwasserbereich liegen, waren deren Bodeneigenschaften dem ‚nassen Boden unter Wasser‘ anzupassen und die Breiten der darüberstehenden Blöcke auf die unteren Böcke zu übertragen. Damit lässt sich die Höhe hlu des linken Erdblocks über die Breite $bol' = 15,70 \text{ m}$ (5.63) und den Winkel β_{ew} (5.84) bestimmen.

Für den Erdblock unterhalb des Tunnelquerschnitts würde im Normalfall, d. h. ohne die beherrschende Auflast aus dem Archiv, die vertikale Berechnungsachse mittig durch den Tunnelquerschnitt zu führen sein. Damit könnte die Höhe hm der mittleren Erdblöcke über die halbe Breite bm und den Neigungs-

winkel $\beta_{nw} = 59,8^\circ$ (5.26) ermittelt werden. In diesem Fall zeigt auf der rechten Seite des Tunnelprofils der Neigungswinkel $\beta_e = 69,7^\circ$ (5.35) der Fläche Ac_o an, dass sich die Auflast aus dem Archiv noch nicht abgetragen hat. Folglich ist die Kraftfläche Ac_o vertikal zu spiegeln, so dass die Fläche Ac_u entsteht. Da diese Kraftfläche in das Grundwasser eintaucht, ändert sich ihr Neigungswinkel β_e zum Winkel β_{ew} (5.84) und ihre Keilhöhe h_{ro} zur Höhe h_{ru} , siehe auch Abb. 114 und 115.

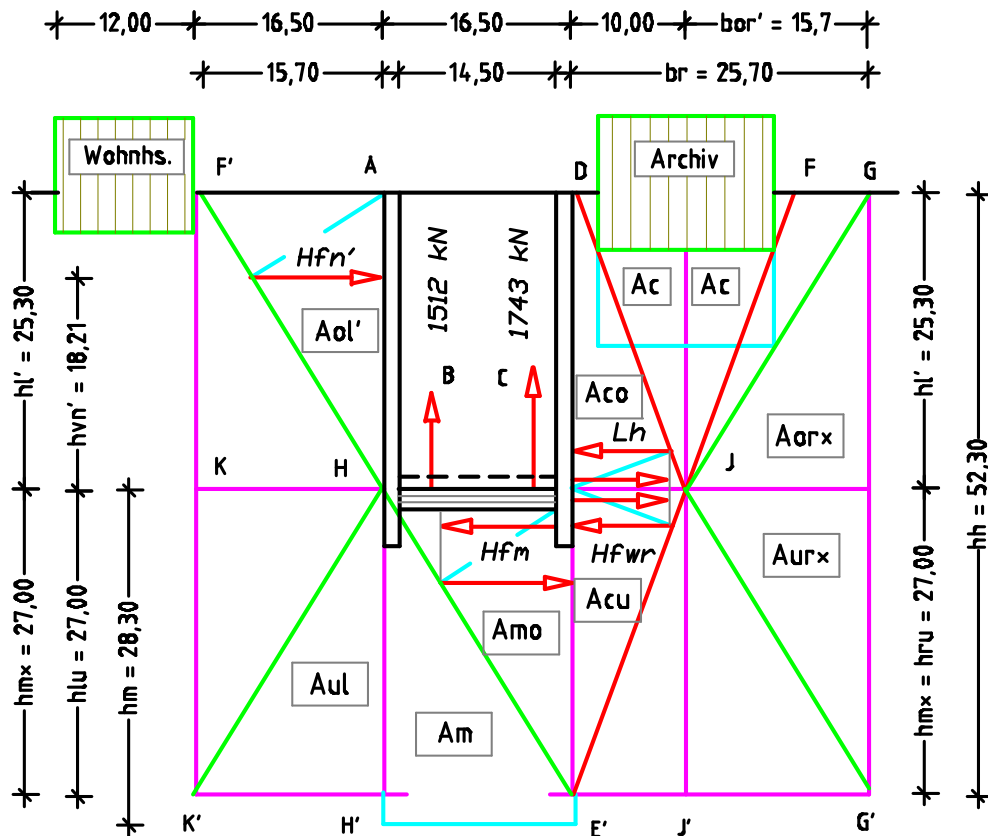


Abb. 116 zeigt die Lastflächen der Erdblöcke ober- und unterhalb des abgesenkten Grundwasserspiegels (OK. Unterwasserbeton).

Der Winkel β_{ew} lässt sich über die gleichen Raunteile ermitteln wie der Winkel β_e (5.40), jedoch ist hier der Formelansatz des ‚nassen Bodens unter Wasser‘ anzuwenden. Für die Berechnung der Höhe h_{ru} steht neben dem Winkel β_{ew} die Breite $be = 9,35$ m (5.36) zur Verfügung. Trägt man unterhalb der Ebene (K–H–J) die Höhe h_{ru} vertikal nach unten ab, erhält man einen Zwangspunkt, an dem die rechte Neigungsebene unter den Winkeln β_{nw} und β_n bis zur Geländeebene aufsteigt und damit die Breite des rechten Erdblocks bestimmt. Auf der linken Tunnelseite ist der Erdblock oberhalb des abgesenkten Grundwasserspiegels mit der Höhe $hl' = 25,3$ m und der Breite

$bor = 15,7$ m (5.63) bereits ermittelt worden. Die Höhe hlu des linken Erdblocks unter Wasser lässt sich berechnen über die Breite bor und den Winkel β_{nw} . Unter dem Tunnelquerschnitt stellt sich die Blockhöhe hm ein, welche über die Breite bm und den Winkel β_{nw} zu ermitteln ist. Damit die Auftriebskräfte auch unter Wasser über eine einheitliche Blockhöhe berechnet werden können, sind die unterschiedlichen Höhen hlu , hm und hru unter bautechnischen Gesichtspunkten anzugleichen. Weitere Aspekte, die zu berücksichtigen wären, werden in der Behinderung des Kraftflusses durch die Schlitzwand in der linken aufsteigenden Neigungsebene und bei Unterwasserbeton mit der Höhe $hb = 2,00$ m gesehen. Für die Ermittlung der Auftriebskräfte, die unterhalb der Tunnelsohle angreifen, stehen neben den Blockabmessungen folgende Dichten unter- und oberhalb des abgesenkten Grundwasserspiegels zur Verfügung: oberhalb die Trockendichte $ptg = 2,046$ t/m³ und die Nassdichte $png = 2,364$ t/m³ (5.17) und unterhalb die fiktive Trockendichte $ptwg = 1,364$ t/m³ (5.22) und die Nassdichte $pnwg = 1,682$ t/m³ (5.23).

Es bleibt anzumerken, dass die neue Erddruck-Theorie die Auftriebskräfte über die Trockendichten der Böden errechnet und damit nicht der Berechnungsart der Lehre über den stationären und instationären Porenwasserdruck folgt. Die Ermittlung des Auftriebs über den Porenwasserdruck wird verworfen, da das Wasser in freier Natur unter Druck ausweicht und somit für eine Übertragung der Erdkräfte gegen die Tunnelsohle nicht zur Verfügung stehen kann. Die neue Erddruck-Theorie nutzt für ihr Kraftsystem die Feststoffstrukturen der anstehenden Böden und erkennt, dass Kraftdifferenzen in den Erdblöcken zu Bodenverschiebungen oder Bodenhebungen führen können. Damit sind fluktuierende Porenwassermengen oder Grundwasserschwankungen im Erdreich für die Ermittlung der Auftriebskräfte eher unwichtig. Für den Abgleich der Blockhöhen unter Wasser werden zunächst der Neigungswinkel β_{ew} und die Höhen hlu , hm^* und hru errechnet. Für die Winkelbestimmung stehen die Volumina $\sum Vf = 51,84$ m³ (5.38) und $\sum Vl = 14,39$ m³ (5.39) sowie die nachstehende Formel zur Verfügung:

$$\tan \beta_{nw} = Vf_w / (5/6 \cdot \sum Vl) \quad (5.25)$$

Bei der Berechnung des Neigungswinkels für den Boden unter Wasser wird der Auftrieb der Feststoffe berücksichtigt durch die Reduzierung des Feststoffvolumens um 1/3. Als Berechnungsansatz bleibt das Volumen $Vf_w = 0,667 \cdot Vf$.

Neigungswinkel $\beta_{ew} \rightarrow \sum Vf = 51,84 \text{ m}^3$ (5.38) und $\sum Vl = 14,39 \text{ m}^3$ (5.39).

$$\tan \beta_{ew} = 0,667 \cdot \sum Vf / (5/6 \cdot \sum Vl) \quad (5.40)$$

$$\tan \beta_{ew} = 0,667 \cdot 51,84 / (5/6 \cdot 14,39) = 2,883 \quad 5.83$$

$$\beta_{ew} = 70,9^\circ \quad [-] \quad 5.84$$

Höhe h_{ru}

$$h_{ru} = be \cdot \tan \beta_{ew} = 9,35 \cdot 2,883 = 27,0 \quad \text{m} \quad 5.85$$

Höhe $h_{lu} \rightarrow$ mit der Breite $bol' = 15,70 \text{ m}$ (5.63) und $\tan \beta_{nw} = 1,717$ (5.25)

$$h_{lu} = bol' \cdot \tan \beta_{nw} = 15,70 \cdot 1,717 = 27,0 \quad \text{m} \quad 5.86$$

Höhe $h_m \rightarrow$ mit der Breite $bm = 16,50 \text{ m}$ und $\tan \beta_{nw} = 1,717$ (5.25).

$$h_m = bm \cdot \tan \beta_{nw} = 16,50 \cdot 1,717 = 28,3 \quad \text{m} \quad 5.87$$

Über die Höhe $h_m = 28,3 \text{ m}$ (5.87) wird im Regelfall der Auftrieb aus dem Bodenvolumen gegen die Tunnelsohle errechnet. Hier aber beeinflussen mehrere Faktoren den Auftrieb. Zum einen reduziert der Unterwasserbeton mit der geschätzten Höhe $hb = 2,00 \text{ m}$ das Bodenvolumen, aus dem der Auftrieb sich entwickelt, und zum anderen besteht eine Differenz zwischen der Bodendichte $ptwg = 1,364 \text{ t/m}^3$ und der Dichte $p = 2,400 \text{ t/m}^3$ des Unterwasserbetons. Ferner teilt die angenommene horizontale Berechnungsebene die Höhe hb des Unterwasserbetons, so dass davon $0,30 \text{ m}$ über und $1,70 \text{ m}$ unter dem abgesenkten Wasserspiegel zu liegen kommen. Unter Berücksichtigung der aufgezeigten Faktoren wird die Höhe h_m in die Höhe h_m^* umgerechnet.

Höhe h_m^*

$$h_m^* = 28,30 - 1,70 \cdot (2,400 - 1,364) / 1,364 = 27,0 \quad \text{m} \quad 5.88$$

Über die Höhe h_m^* werden die übrigen Höhen der unteren Erdblöcke angeglichen und über die Breiten der oberen Blöcke die Flächen und Kräfte der einzelnen Blöcke ermittelt.

Fläche Aol'

Die Fläche $Aol' = 198,6 \text{ m}^2$ (5.64) und die Gewichtskraft $Gnl' = 4604 \text{ kN}$ (5.65) sind bekannt, noch zu ermitteln ist die Gewichtskraft Gtl' mit der Trockendichte $ptg = 2,046 \text{ t/m}^3$.

Gewichtskraft Gtl'

$$Gtl' = Aol' \cdot ptg \cdot g = 198,6 \cdot 2,046 \cdot 9,807 = 3985 \quad \text{kN} \quad 5.89$$

Aus der Differenz $Gnl' - Gtl'$ errechnet sich die Kraft Gwl des Porenwassers:

Gewichtskraft Gwl

$$Gwl = Gnl' - Gtl' = 4604 - 3985 = 619 \quad \text{kN} \quad 5.90$$

Fläche Aul

Für die Berechnung stehen zur Verfügung:

Trockendichte $ptwg = 1,364 \text{ t/m}^3$	Nassdichte $pnwg = 1,682 \text{ t/m}^3$
Keilhöhe $hlu = 27,0 \text{ m (5.86)}$	Keilbreite $bol' = 15,7 \text{ m (5.63)}$

Fläche Aul

$$Aul = hlu \cdot bol' / 2 = 27,00 \cdot 15,70 / 2 = 212,0 \quad \text{m}^2 \quad 5.91$$

Kraft $Gtlu \rightarrow$ mit $ptwg$

$$Gtlu = Aul \cdot ptwg \cdot g = 212,0 \cdot 1,364 \cdot 9,807 = 2836 \quad \text{kN} \quad 5.92$$

Kraft $Gnlu \rightarrow$ mit $pnwg$

$$Gnlu = Aul \cdot pnwg \cdot g = 212,0 \cdot 1,682 \cdot 9,807 = 3497 \quad \text{kN} \quad 5.93$$

Fläche Am

Für die Berechnung stehen zur Verfügung:

Trockendichte $ptwg = 1,364 \text{ t/m}^3$	Nassdichte $pnwg = 1,682 \text{ t/m}^3$
Keilhöhe $hm^* = 27,0 \text{ m (5.88)}$	Keilbreite $bm = 16,50 \text{ m}$

Fläche Am

$$Am = hm^* \cdot bm / 2 = 27,0 \cdot 16,50 / 2 = 223,0 \quad \text{m}^2 \quad 5.94$$

Kraft $Gtm \rightarrow$ mit $ptwg$.

$$Gtm = Am \cdot ptwg \cdot g = 223,0 \cdot 1,364 \cdot 9,807 = 2983 \quad \text{kN} \quad 5.95$$

Kraft $Gnm \rightarrow$ mit $pnwg$.

$$Gnm = Am \cdot pnwg \cdot g = 223,0 \cdot 1,682 \cdot 9,807 = 3678 \quad \text{kN} \quad 5.96$$

Fläche Aor^*

Für die Berechnung stehen zur Verfügung:

Trockendichte $ptg = 2,046 \text{ t/m}^3$	Nassdichte $png = 2,364 \text{ t/m}^3$
$\beta n = 58,1^\circ, \tan \beta n = 1,609 \text{ (5.18)}$	$\beta n = 59,8^\circ, \tan \beta nw = 1,717 \text{ (5.25)}$
Keilhöhe $hl' = 25,30 \text{ m (5.33)}$	Keilhöhe $hru = 27,0 \text{ m (5.86)}$

Breite $br \rightarrow ble =$ Breite bl unter Auflast e

$$br = ble + bor' = 10,00 + 15,70 = 25,70 \quad \text{m} \quad 5.97$$

Fläche Aor^*

$$Aor^* = hl' \cdot br / 2 = 25,30 \cdot 25,70 / 2 = 325,1 \quad \text{m}^2 \quad 5.98$$

Kraft $Gtr \rightarrow$ mit ptg

$$Gtr = Aor^* \cdot ptg \cdot g = 325,1 \cdot 2,046 \cdot 9,807 = 6523 \quad \text{kN} \quad 5.99$$

Kraft $Gnr \rightarrow$ mit png

$$Gnr = Aor^* \cdot png \cdot g = 325,1 \cdot 2,364 \cdot 9,807 = 7537 \quad \text{kN} \quad 5.100$$

Kraft Gwr des Porenwassers errechnet sich aus der Kraftdifferenz $Gnr - Gtr$.

Gewichtskraft Gwr

$$Gwr = Gnr - Gtr = 7537 - 6523 = 1014 \quad \text{kN} \quad 5.101$$

Fläche Aur^*

Für die Berechnung stehen zur Verfügung:

Trockendichte $ptwg = 1,364 \text{ t/m}^3$	Nassdichte $pnwg = 1,682 \text{ t/m}^3$
Keilhöhe $hru = 27,0 \text{ m (5.85)}$	Keilbreite $br = 25,70 \text{ m (5.97)}$

Fläche Aur^*

$$Aur^* = hru \cdot bor^*/2 = 27,00 \cdot 25,70/2 = 347,0 \quad \text{m}^2 \quad 5.102$$

Kraft $Gtru \rightarrow$ mit $ptwg$

$$Gtru = Aur^* \cdot ptwg \cdot g = 347 \cdot 1,364 \cdot 9,807 = 4642 \quad \text{kN} \quad 5.103$$

Kraft $Gnru \rightarrow$ mit $pnwg$

$$Gnru = Aur^* \cdot pnwg \cdot g = 347 \cdot 1,682 \cdot 9,807 = 5724 \quad \text{kN} \quad 5.104$$

Ergebnis:

Flächen	Kräfte
Fläche $Aol' = 198,6 \text{ m}^2 \text{ (5.64)}$	Kraft $Gtl' = 3985 \text{ kN (5.89)}$
Breite $bol' = 15,70 \text{ m (5.63)}$	Kraft $Gnl' = 4604 \text{ kN (5.65)}$
Fläche $Aul = 212,0 \text{ m}^2 \text{ (5.91)}$	Kraft $Gtlu = 2836 \text{ kN (5.92)}$
Höhe $hm^* = 27,00 \text{ m (5.88)}$	Kraft $Gnlu = 3497 \text{ kN (5.93)}$
Fläche $Am = 223,0 \text{ m}^2 \text{ (5.94)}$	Kraft $Gtm = 2983 \text{ kN (5.95)}$
Breite $bm = 16,50 \text{ m}$	Kraft $Gnm = 3678 \text{ kN (5.96)}$
Fläche $Aor^* = 325,1 \text{ m}^2 \text{ (5.98)}$	Kraft $Gtr = 6523 \text{ kN (5.99)}$
Breite $br = 25,70 \text{ m (5.97)}$	Kraft $Gnr = 7537 \text{ kN (5.100)}$
Fläche $Aur^* = 347,0 \text{ m}^2 \text{ (5.102)}$	Kraft $Gtru = 4642 \text{ kN (5.103)}$
	Kraft $Gnru = 5724 \text{ kN (5.104)}$
Kraft $Gwl = 619 \text{ kN (5.90)}$	Kraft $Gwr = 1014 \text{ kN (5.101)}$

5.1.6 Ermittlung der Auftriebskräfte gegen die Tunnelsohle

Über die vorstehenden Gewichtskräfte können die Auftriebskräfte Rvl und Rvr berechnet und auch grafisch ermittelt werden. Hierzu ist ein Koordinatensystem gewählt worden, bei dem auf der Abszisse die Blockbreiten bor' , bm und bor und auf der Ordinate die Kräfte aufzutragen sind. Die Ordinaten liegen an den Außenseiten der Schlitzwände. Zur Ermittlung der Auftriebskraft Rvl sind links der linken Ordinate und oberhalb der Breite bol' von unten nach oben die Kräfte $Gtlu$, Gtl' und Gwl aufzutragen und rechts unterhalb der Abszisse die Kraft Gtm , siehe Abb. 117.

Die Auftriebskraft Rvr lässt sich errechnen über die Kräfte $Gtru$, Gtr und Gwr , die oberhalb der Abszisse der Breite $bor = br = 25,7 \text{ m (5.97)}$ zuzuordnen sind. Unterhalb dieser Ebene verbleibt die Kraft Gtm mit der Breite $bm = 16,5 \text{ m}$.

Für die grafische Darstellung der Kräfte und Breiten sind entsprechende Maßstäbe zu wählen. Die aufgezeigten Kräfte sind danach über ihre Kräftehöhen in Relation zu den Breiten $bor' + bm$ bzw. $bm + bor$ zu setzen, so dass deren Verbindungsebenen zu Schnittstellen und damit zu der Lage der Auftriebskräfte Rvl und Rv führen. Die Gewichtskräfte des Porenwassers Gwl und Gwr werden für die weitere Berechnung nicht benötigt. Sie sind in den Erdblöcken als blau schraffierte Flächen dargestellt, siehe nachstehende Abb. 117 und 118.

Ermittlung der Kraft Rvl

Addiert man die Gewichtskräfte $Gtl' + Gtlu$, die an der linken Ordinate aufzutragen sind, mit der Auftriebskraft Gtm , so erhält man die linke Gesamtkraft *Kraft GTL* .

$$GTL = Gtl' + Gtlu + Gtm$$

$$GTL = 3985 + 2836 + 2983 = 9804 \quad \text{kN} \quad 5.105$$

Breite bxl

$$GTL \cdot bxl/blg = Gtlu \cdot bxl/blg + Gtm$$

$$9804 \cdot bxl/32,20 = 2836 \cdot bxl/32,20 + 2983$$

$$bxl = 13,80 \quad \text{m} \quad 5.106$$

Die einzelnen Kräfte sind dargestellt in der nachstehenden Abbildung, wobei das Gefälle der Kräfte des linken Blocks zu der mittleren Kraft Gtm durch die rote Kraftebene angezeigt wird. Diese führt über die Breite $blg = bor' + bm = 15,70 + 16,50 = 32,2$ m zum Punkt D, der auf der rechten Ordinate liegt. Eine weitere Kraftebene entsteht zwischen den Kräften $Gtlu$ und Gm . Diese ist in der Abbildung grün eingezeichnet. Vom Punkt D aus schneiden sich im Abstand der Breite bxl die rote und grüne Ebene.

Breite bll

$$bll = blg - bxl = 32,20 - 13,80 = 18,40 \quad \text{m} \quad 5.107$$

Auftriebskraft Rvl

$$Rvl = Gtlu \cdot bxl/blg = 2836 \cdot 13,80/32,2 = 1215 \quad \text{kN} \quad 5.108$$

Aus dem linken Erdblock entsteht die Auftriebskraft Rvl (5.108). Sie wirkt im Abstand der Breite $bxl = 13,80$ m (5.106) vom Punkt D aus, siehe Abb. 117.

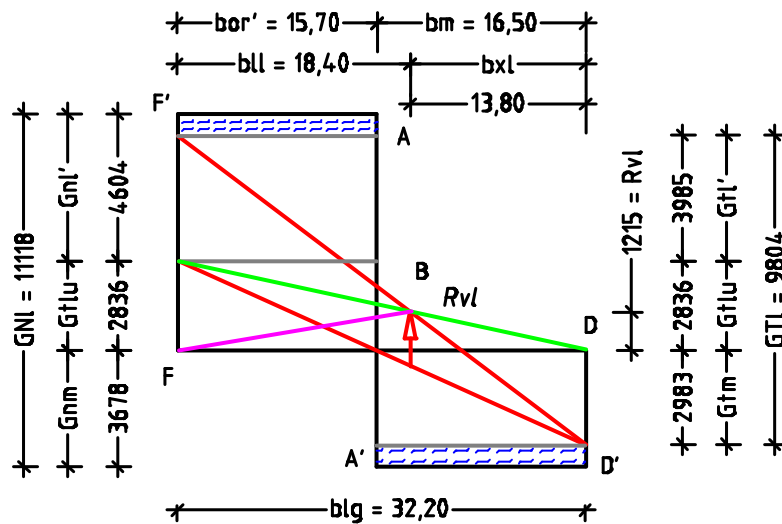


Abb. 117 zeigt die Kraftflächen, die gegen die linke Schlitzwand sowie die Tunnelsohle wirken, und die hieraus resultierende Auftriebskraft R_{vl} .

Ermittlung der Kraft R_{vr}

Auch hier ist zunächst die Gewichtskraft G_{Tr} über die Kräfte $G_{tru} = 4642$ kN (5.103), $G_{tr} = 6523$ kN (5.99) und $G_{tm} = 2983$ kN (5.95) zu ermitteln. Die Gewichtskraft des Porenwassers G_{wr} (5.101) bleibt hierbei unberücksichtigt.

Gewichtskraft G_{Tr}

$$G_{Tr} = G_{tr} + G_{tru} + G_{tm}$$

$$G_{Tr} = 6523 + 4642 + 2983 = 14148 \quad \text{kN} \quad 5.109$$

Die Lage der Kräfte ist dargestellt in der nachstehenden Abbildung. Auch hier sind die einzelnen Kräfte in Relation zur Gesamtbreite $brg = bm + bor$ zu bringen, somit $brg = 16,50 + 25,70 = 42,20$ m.

Breite bxr

$$G_{Tr} \cdot bxr/brg = G_{tru} \cdot bxr/brg + G_{tm}$$

$$14148 \cdot bxr/42,20 = 4642 \cdot bxr/42,20 + 2983$$

$$bxr = 13,20 \quad \text{m} \quad 5.110$$

Breite brr

$$brr = brg - bxr = 42,20 - 13,20 = 29,00 \quad \text{m} \quad 5.111$$

Auftriebskraft R_{vr}

$$R_{vr} = G_{tru} \cdot bxr/brg = 4642 \cdot 13,20/42,20 = 1452 \quad \text{kN} \quad 5.112$$

Aus dem rechten Erdblock bildet sich die Auftriebskraft R_{vr} (5.112), die im Abstand der Breite $bxr = 13,20$ m (5.110) vom Punkt A aus wirkt. Die Kraftebenen und ihr Schnittpunkt werden in der Abb. 118 gezeigt. Wie zuvor, stellen die roten Linien das obere und untere Kraftgefälle (G_{Tr}/brg und G_{tm}/brg)

und die grüne Linie die Berechnungsebene dar. Die Gewichtskraft des Porenwassers G_{wr} (5.101) ist als blau schraffierte Fläche dargestellt.

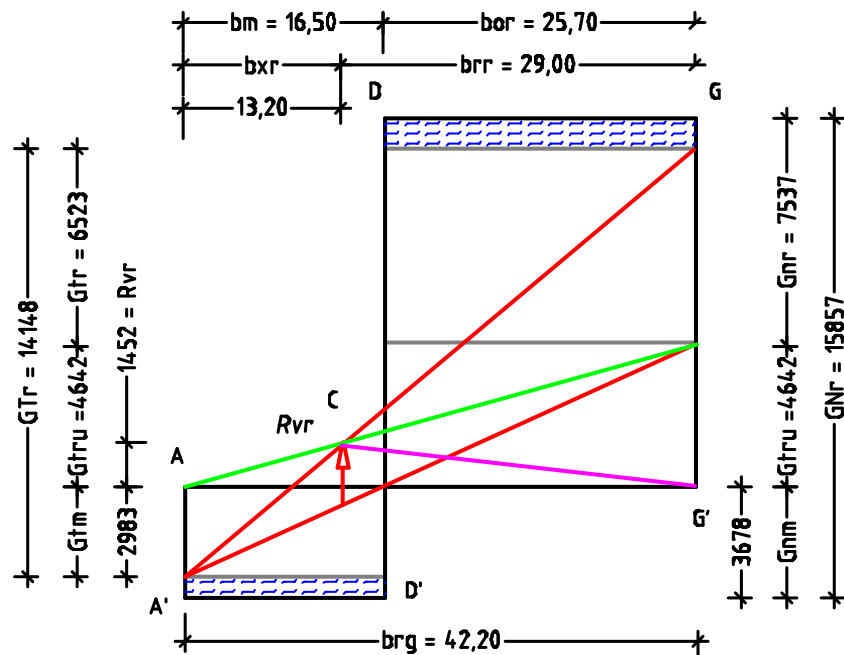


Abb. 118 zeigt die Kraftflächen, die gegen die rechte Schlitzwand sowie die Tunnelsohle wirken, und die hieraus resultierende Auftriebskraft R_{vr} .

Kraftfläche der Auftriebskräfte R_{vl} und R_{vr}

Die Flächen der Auftriebskräfte R_{vl} und R_{vr} sind aus den Abb. 117 und 118 in die Abb. 119 übertragen. Sie setzen auf die OK. des Unterwasserbetons auf. Die Fläche der Auftriebskraft R_{vl} wird in der Abb. 119 nach oben hin in der Farbe magenta begrenzt und die Kraftfläche R_{vr} in grün. Durch die Überlagerung der Auftriebsflächen und damit auch der Kräfte in diesen Flächen entsteht die Kraftfläche mit der blauen Linie als obere Begrenzung. Die Summe der Kräfte in den vertikalen Ebenen B und C werden als rote Pfeile dargestellt. Somit ist die Kraft R_{vl} der Ebene B zuzuordnen und die Kraft R_{vr} der Ebene C. Um den Einfluss der Auftriebskräfte auf die Tunnelsohle und deren Wandanschlüsse erkennen zu können, werden neben den vertikalen Ebenen B und C weitere Schnitte angelegt. An den Außenseiten der Schlitzwände werden diese mit A und D und an den Innenseiten mit A' und D' bezeichnet.

Für die Berechnung der Auftriebskräfte in den einzelnen Ebenen stehen links die Breiten $b_{xl} = 13,80$ m (5.106) und $b_{ll} = 18,40$ m (5.107) sowie rechts die Breiten $b_{xr} = 13,20$ m (5.110) und $b_{rr} = 29,00$ m (5.109) zur Verfügung. Über die mittlere Breite $b_m = 16,50$ m abzüglich der Breiten b_{xl} bzw. b_{xr} lassen sich

die Abstände der Ebenen (A'–B) mit 2,70 m sowie (C–D') mit 3,30 m zu den Innenseiten der Schlitzwände ermitteln. Zudem lassen sich die Kräfte in den vertikalen Ebenen A', B, C und D' über die Kraftzahlen $gitl$ und $gitr$ in Kraftmeter umrechnen. Bei geöffneter Schleuse, d. h. ohne den Einbau einer Betonsohle zwischen den Schlitzwänden, und nach dem Prinzip der laminaren Strömung entsprechen die Kraftmeter den Höhen der aufsteigenden Erdmasse in dem Tunnelquerschnitt. Für die Ermittlung der Kraftzahlen stehen zur Verfügung: die fiktiven Trockendichten $ptg = 2,046 \text{ t/m}^3$ (Anlage 1) und $ptwg = 1,36 \text{ t/m}^3$ (5.22), die Flächen $Aol' = 198,6 \text{ m}^2$ (5.64), $Aul = 212,0 \text{ m}^2$ (5.91), $Aor^* = 325,1 \text{ m}^2$ (5.98) sowie $Aul^* = 347,0 \text{ m}^2$ (5.102), die Fallbeschleunigung $g = 9,807 \text{ m/s}^2$ und die Breiten $bm = 16,50 \text{ m}$, $blg = 32,20 \text{ m}$ bzw. $brg = 42,20 \text{ m}$.

Kraftzahl $gitl$

$$\begin{aligned}
 gitl &= blg \cdot (ptg \cdot Aol'/Aul + ptwg \cdot Aul/Aol') \cdot g / 4 = \\
 gitl &= 32,2 \cdot (2,046 \cdot 198,6/212,0 + 1,364 \cdot 212,0/198,6) \cdot g / 4 = \\
 gitl &= 32,2 \cdot (1,917 + 1,456) \cdot 9,807 / 4 = 266,3 \quad \text{kN/m}^2 \quad 5.113
 \end{aligned}$$

Kraftzahl $gitr$

$$\begin{aligned}
 gitr &= brg \cdot (ptg \cdot Aor^*/Aul^* + ptwg \cdot Aul^*/Aor^*) \cdot g / 4 = \\
 gitr &= 42,2 \cdot (2,046 \cdot 325,1/347,0 + 1,364 \cdot 347,0/325,1) \cdot g / 4 = \\
 gitr &= 42,20 \cdot (1,917 + 1,456) \cdot 9,807 / 4 = 349,0 \quad \text{kN/m}^2 \quad 5.114
 \end{aligned}$$

Berechnung der Kraftmeter:

Fläche der $Rvl = 1215 \text{ kN}$ (5.108) / $gitl$

Kräfte in den vertikalen Ebenen	$gitl$	Kraftmeter	
A = $1215 \cdot 15,70/18,40 = 1036 \text{ kN}$	266,3	= 3,89 m	5.115
A' = $1215 \cdot 16,70/18,40 = 1103 \text{ kN}$	266,3	= 4,14 m	
B = $Rvl = 1215 \text{ kN}$	266,3	= 4,56 m	
C = $1215 \cdot 3,30/13,80 = 291 \text{ kN}$	266,3	= 1,10 m	
D' = $1215 \cdot 1,00/13,80 = 88 \text{ kN}$	266,3	= 0,33 m	
D = 0 kN	266,3	= 0,00 m	

Fläche der $Rvr = 1452 \text{ kN}$ (5.112) / $gitr$

Kräfte in den vertikalen Ebenen	$gitr$	Kraftmeter	
A = 0 kN	349,0	= 0,00 m	5.116
A' = $1452 \cdot 1,00/13,20 = 110 \text{ kN}$	349,0	= 0,32 m	
B = $1452 \cdot 2,70/13,20 = 297 \text{ kN}$	349,0	= 0,85 m	
C = $Rtr = 1452 \text{ kN}$	349,0	= 4,16 m	
D' = $1452 \cdot 26,70/29,00 = 1337 \text{ kN}$	349,0	= 3,83 m	
D = $1452 \cdot 25,70/29,00 = 1287 \text{ kN}$	349,0	= 3,69 m	

Die aus den Auftriebskräften R_{vl} und R_{vr} zuvor errechneten Kraftmeter werden in den Ebenen A bis D der Abb. 119 dargestellt. Die Addition der Kraftmeter lässt die reaktive Gesamtkraftfläche des Auftriebs gegen die Tunnelsohle entstehen, siehe hierzu Ergebnis und nachstehende Tabelle (5.117).

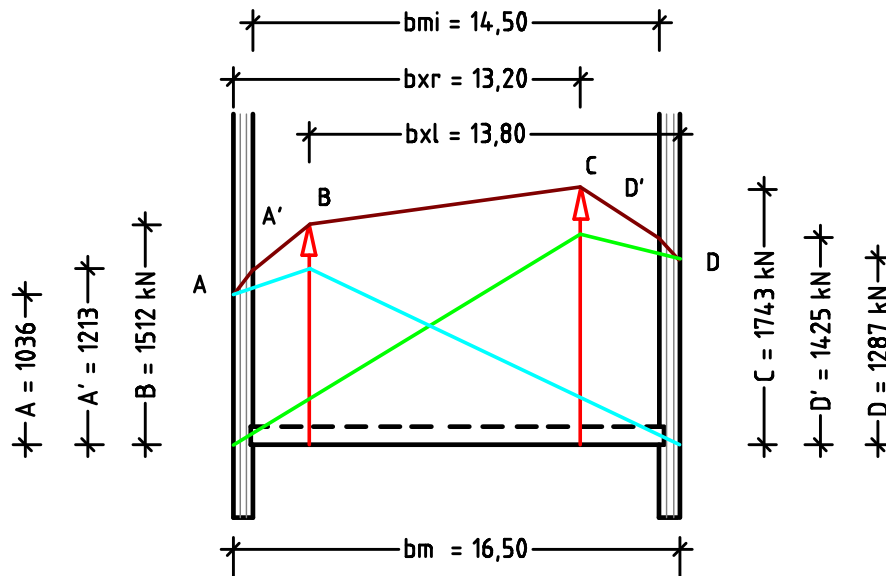


Abb. 119 zeigt die Kraftflächen der Kräfte R_{vl} und R_{vr} und den oberen Verlauf (A–B–C–D) der reaktiven Gesamtkraftfläche.

Ergebnis:

Für die Ermittlung der Auftriebskräfte gegen die Tunnelsohle wurde eine Grundwasserabsenkung bis zur Höhe $hl' = -25,30$ m angenommen. Die Berechnungsergebnisse sind in der nachstehenden Tabelle zusammengefasst.

Auftriebskräfte $\sum R_{vl}$ und $\sum R_{vr}$	Kraftmeter/Höhen h_y	
A = 1036 + 0 = 1036 kN	3,89 + 0,00 = 3,89 m	5.117
A' = 1103 + 110 = 1213 kN	4,14 + 0,32 = 4,46 m	
B = 1215 + 297 = 1512 kN	4,56 + 0,85 = 5,41 m	
C = 291 + 1452 = 1743 kN	1,10 + 4,16 = 5,26 m	
D' = 88 + 1337 = 1425 kN	0,33 + 3,83 = 4,16 m	
D = 0 + 1287 = 1287 kN	0,00 + 3,69 = 3,69 m	

Die Ebenen A und D sowie ihre Auftriebskräfte liegen an den Außenseiten der Schlitzwände und entfallen damit zur Ermittlung des Auftriebs unter der Tunnelsohle. Infolge des Auftriebs würden die Erdmassen bei geöffneter Schleuse bis zu den angezeigten Höhen aufsteigen, siehe Abb. 119.

5.1.7 Ermittlung der horizontalen Erdkräfte unter Wasser

Bereits errechnet wurden die Kräfte des nassen Bodens, die oberhalb des abgesenkten Grundwasserspiegels $hl' = 25,30$ m (5.33) von links und rechts gegen die Schlitzwände wirken. Aus der Fläche Aol' ist die Kraft $Hfn' = 2064$ kN (5.68) ermittelt worden, die in der Höhe $hvn' = 18,21$ m (5.71) gegen die linke Schlitzwand wirkt. Gegen die rechte Schlitzwand greift in der Höhe $ln = 3,25$ m (5.80) die Kraft $Lh = 1019$ kN (5.78) an. Nachstehend erfasst werden die Horizontalkräfte aus den Flächen Amo und Acu , wobei die Fläche Amo oberhalb der Neigungsebene der Fläche Am und die Fläche Acu unterhalb der Fläche Aco liegt, siehe Abb. 116, S. 183.

Kräfte aus der Fläche Amo

Die Fläche Amo errechnet sich über die Höhe $hm^* = 27,00$ m (5.88) abzüglich der Höhe des Unterwasserbetons, der mit 1,70 m unterhalb des angenommenen Grundwasserspiegels liegt, somit $hmo = 27,00 - 1,70 = 25,30$ m.

Breite $bmo \rightarrow$ mit $\tan \beta_{nw} = 1,717$ (5.25)

$$bmo = hmo / \tan \beta_{nw} = 25,30 / 1,717 = 14,70 \quad \text{m} \quad 5.118$$

Fläche Amo

$$Amo = hmo \cdot bmo / 2 = 25,30 \cdot 14,70 / 2 = 186,0 \quad \text{m}^2 \quad 5.119$$

Kraft $Gmo \rightarrow$ mit $pnwg = 1,682$ t/m³ (5.23)

$$Gmo = Amo \cdot pnwg \cdot g = 186,0 \cdot 1,682 \cdot 9,807 = 3068 \quad \text{kN} \quad 5.120$$

Mit der Kraft Gmo werden die weiteren Kräfte in der Fläche Amo ermittelt.

Kraft $Nvm \rightarrow$ mit $\beta_{nw} = 59,8^\circ$ (5.26)

$$Nvm = Gmo \cdot \cos^2 \beta_{nw} = 3068 \cdot 0,253 = 776 \quad \text{kN} \quad 5.121$$

Kraft Hvm

$$Hvm = Gmo \cdot \sin^2 \beta_{nw} = 3068 \cdot 0,747 = 2292 \quad \text{kN} \quad 5.122$$

Kraft Hfm

$$Hfm = Gmo \cdot \sin \beta_{nw} \cdot \cos \beta_{nw}$$

$$Hfm = 3068 \cdot 0,864 \cdot 0,503 = 1334 \quad \text{kN} \quad 5.123$$

Kraftzahl gim

$$gim = bmo \cdot pnwg \cdot g / 2 = 14,70 \cdot 1,682 \cdot 9,807 / 2 = 121,2 \text{ kN/m}^2 \quad 5.124$$

Kraftmeter nvm

$$nvm = Nvm / gim = 776 / 121,2 = 6,40 \quad \text{m} \quad 5.125$$

Kraftmeter hvm

$$hvm = Hvm / gim = 2292 / 121,2 = 18,90 \quad \text{m} \quad 5.126$$

Kraftmeter hfm

$$hfm = Hfm / gim = 1334 / 121,2 = 11,00 \quad \text{m} \quad 5.127$$

Kraftmeter $hfm' \rightarrow$ auf die Höhe der UK. rechte Schlitzwand bezogen.

$$hfm' = hfm \cdot hb' / nvm = 11,00 \cdot 3,0 / 6,40 = 5,16 \quad \text{m} \quad 5.128$$

Kraft H_{fm}' → horizontale Kraft gegen die Innenseite der Schlitzwand.

$$H_{fm}' = h_{fm}' \cdot g_m = 5,16 \cdot 121,2 = 625 \quad \text{kN} \quad 5.129$$

Kräfte aus der Fläche Acu

Für die Berechnung stehen die Werte der nachstehenden Tabelle zur Verfügung:

Trockendichte $ptwg = 1,364 \text{ t/m}^3$	Nassdichte $pnwg = 1,682 \text{ t/m}^3$
Keilbreite $be = 9,35 \text{ m}$ (5.36)	Keilhöhe $hru = 27,00 \text{ m}$ (5.85)
Keilbreite $be' = 0,65 \text{ m}$	Winkel $\beta_{ew} = 70,9^\circ$ (5.84)

Anzumerken bleibt hier, dass die Höhe hru (5.85) über die Breite be (5.36) und den Winkel β_{ew} (5.84) ermittelt worden ist. Da die Fläche Acu jedoch die Breite $ble = 10,00 \text{ m}$ bis zur vertikalen Berechnungsebene D einnimmt, ist zur Einbeziehung der Breite $be' = ble - be = 0,65 \text{ m}$ in die Keilfläche Acu zunächst die neue Keilhöhe hru' zu ermitteln. Die damit verursachte Überschreitung der unteren Berechnungsebene wird hingenommen.

Höhe hru' → $\tan \beta_{ew} = 2,883$ (5.83)

$$hru' = ble \cdot \tan \beta_{ew} = 10,00 \cdot 2,883 = 28,83 \quad \text{m} \quad 5.130$$

Fläche Acu

$$Acu = ble \cdot hru' / 2 = 10,00 \cdot 28,83 / 2 = 144,0 \quad \text{m}^2 \quad 5.131$$

Kraft G_{tc} → mit $ptwg$

$$G_{tc} = Acu \cdot ptwg \cdot g = 144,0 \cdot 1,364 \cdot 9,807 = 1926 \quad \text{kN} \quad 5.132$$

Kraft G_{nc} → mit $pnwg$

$$G_{nc} = Acu \cdot pnwg \cdot g = 144,0 \cdot 1,682 \cdot 9,807 = 2375 \quad \text{kN} \quad 5.133$$

Kraft N_{vw} → mit G_{nc} und $\beta_{ew} = 70,9^\circ$

$$N_{vw} = G_{nc} \cdot \cos^2 \beta_{ew} = 2375 \cdot 0,107 = 254 \quad \text{kN} \quad 5.134$$

Kraft H_{vw}

$$H_{vw} = G_{nc} \cdot \sin^2 \beta_{ew} = 2375 \cdot 0,893 = 2121 \quad \text{kN} \quad 5.135$$

Kraft H_{fwr}

$$H_{fwr} = G_{nc} \cdot \sin \beta_{ew} \cdot \cos \beta_{ew}$$

$$H_{fwr} = 2375 \cdot 0,945 \cdot 0,327 = 734 \quad \text{kN} \quad 5.136$$

Kraftzahl $ginw$

$$ginw = ble \cdot pnwg \cdot g / 2 = 10,0 \cdot 1,682 \cdot g / 2 = 82,5 \text{ kN/m}^2 \quad 5.137$$

Kraftmeter nvw

$$nvw = N_{vw} / ginw = 254 / 82,5 = 3,10 \quad \text{m} \quad 5.138$$

Kraftmeter hvw

$$hvw = H_{vw} / ginw = 2121 / 82,5 = 25,70 \quad \text{m} \quad 5.139$$

Kraftmeter $hfwr$

$$hfwr = H_{fwr} / ginw = 734 / 82,5 = 8,90 \quad \text{m} \quad 5.140$$

Ergebnis:

Fläche $Acu = 144,0 \text{ m}^2$ (5.131)	Kraft $Gnc = 2375 \text{ kN}$ (5.133)
Höhe $nvw = 3,10 \text{ m}$ (5.138)	Kraft $Hfwr = 734 \text{ kN}$ (5.136)

5.1.8 Abgleich der Auftriebs- mit den Gewichtskräften des Tunnels

Die Auftriebskräfte sind zusammengefasst in der Tabelle (5.117), S. 192. Die Gewichtskräfte, die den Auftriebskräften entgegen wirken, werden ermittelt aus dem Unterwasserbeton mit der Dichte $p_4 = 2,400 \text{ t/m}^3$ und der Teilhöhe $\Delta h' = 2,00 - 1,70 = 0,30 \text{ m}$, dem Stahlbeton der Tunnelsohle mit der Dichte $p_2 = 2,500 \text{ t/m}^3$ und der Höhe $hbs = 1,50 \text{ m}$ sowie aus der Zwischendecke mit der geschätzten Höhe $hz \sim 1,20 \text{ m}$ und den entsprechenden Innenstützen.

Da die Schlitzwände einen Teil der Deckenlast übernehmen, wird zur Vereinfachung der Gewichtskraftverteilung die Deckenlast auf 75 % reduziert und auf 75 % der lichten Breite $bt = 14,50 \text{ m}$ verteilt. Damit bleibt die Tunnelsohle nahe den Schlitzwänden jeweils auf der Breite $bt' = 0,25 \cdot 14,50/2 = 1,80 \text{ m}$ von der Deckenkraft unbelastet. Als Ersatzlast für die Stützen wird eine Erhöhung der Zwischendecke um $hz^* = 0,10 \text{ m}$ angenommen. Den Auftriebskräften stehen die folgenden Gewichtskräfte entgegen:

Gewichtskraft $Gu \rightarrow$ Unterwasserbeton mit der Höhe $\Delta h' = 0,30 \text{ m}$

$$Gu = bt \cdot \Delta h' \cdot p_4 \cdot g = 14,5 \cdot 0,30 \cdot 2,400 \cdot 9,807 = 102 \quad \text{kN} \quad 5.141$$

Gewichtskraft $Gs \rightarrow$ Tunnelsohle

$$Gs = bt \cdot hbs \cdot p_2 \cdot g = 14,5 \cdot 1,50 \cdot 2,500 \cdot 9,807 = 533 \quad \text{kN} \quad 5.142$$

Gewichtskraft $\sum G_l \rightarrow$ mit der Breite $bt = 14,50 \text{ m}$

$$\sum G_l = Gu + Gs = 102 + 533 = 635,0 \quad \text{kN} \quad 5.143$$

Gewichtskraft $Gi' \rightarrow$ Innenausbau: Höhen $hz + hz^* = 1,20 + 0,10 = 1,30 \text{ m}$

$$Gi' = bt' \cdot hh \cdot p_2 \cdot g = 1,80 \cdot 1,30 \cdot 2,50 \cdot 9,807 = 57 \quad \text{kN} \quad 5.144$$

Gewichtskraft $Gi' \rightarrow$ Innenausbau: Höhe $hz + hz^* = 1,30 \text{ m}$

$$Gi^* = bt^* \cdot hh \cdot p_2 \cdot g = 10,90 \cdot 1,30 \cdot 2,50 \cdot 9,807 = 348 \quad \text{kN} \quad 5.145$$

Gewichtskraft $Gsw \rightarrow$ Schlitzwand: Höhe $hs = 30,0 \text{ m}$

$$Gsw = d \cdot h \cdot p_2 \cdot g = 1,00 \cdot 30,0 \cdot 2,50 \cdot 9,807 = 736 \quad \text{kN} \quad 5.146$$

Die errechneten Auftriebskräfte aus dem anstehenden Erdreich (5.117) und vorstehenden gegenläufigen Gewichtskräfte aus dem Tunnelausbau zeigen auf, dass die Auftriebskräfte in den vertikalen Berechnungsebenen A' bis D' gegen die Tunnelsohle nicht vollständig mit den Gewichtskräften überlagert werden konnten, siehe Tabelle (5.147).

Aufrechnung

der Auftriebskräfte mit den Gewichtskräften aus dem Tunnelprofil:

Auftriebskräfte	Gewichtskräfte aus den Bauteilen	Verbleibende Auftriebskräfte
A = 1036 kN	$-(57 + 736) = -793$ kN	= 243 kN
A' = 1213 kN	-635 kN	= 578 kN
B = 1512 kN	$-635 - 348 = -983$ kN	= 529 kN
C = 1743 kN	$-635 - 348 = -983$ kN	= 760 kN
D' = 1425 kN	-635 kN	= 790 kN
D = 1287 kN	$-(57 + 736) = -793$ kN	= 494 kN

5.147

Kräfte und ihre Angriffspunkte gegen den Tunnelquerschnitt

Wie eingangs dargestellt, basieren die Kraftermittlungen auf Annahmen, da entsprechende Unterlagen, wie Baupläne, Bodeneigenschaften, Bauzustände u. a., nicht zu beschaffen waren. Die Berechnungen sind aber so aufgestellt, dass diese mit realen Konstruktionsmerkmalen der Tunnelstrecke nachvollziehbar sind. Die getroffenen Annahmen sowie die Kraftangriffe gegen die Schlitzwände und die Tunnelsohle werden dargestellt in der Abb. 119, S. 192.

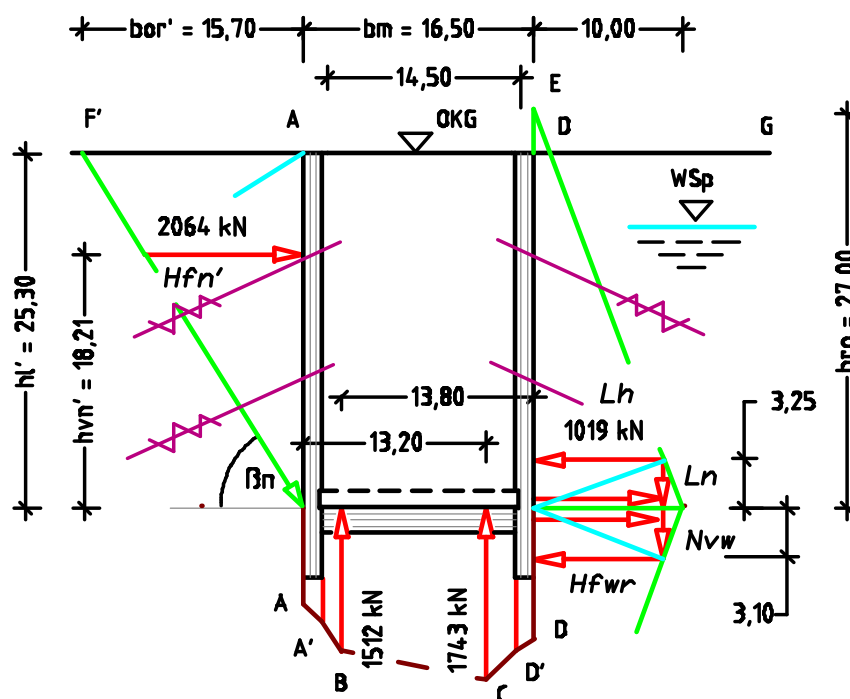


Abb. 120 zeigt den Tunnelquerschnitt mit den angreifenden Kräften.

Schlitzwände

Es wurde angenommen, dass die Baugrube zunächst durch die Schlitzwände, Erdanker, innere Aussteifungen und einen unbewehrten Unterwasserbeton sta-

bilisiert worden ist. Den Wänden wurde die Höhe $h_s = 30,00$ m und die Dicke $d = 1,00$ m zugeordnet. Gemäß den Medienberichten sollen die Wände durch Stahlträger im Lamellenabstand von ca. 3,50 m sowie durch eine leichte Stabbewehrung ausgesteift worden sein. Die Erdanker in dem oberen Wandbereich und innere Aussteifungen gegen die Wände dürften das Baufeld frei gemacht haben für den Erdaushub unter Wasser. Nach dem Erreichen der Aushubtiefe von $-27,00$ m könnte der Unterwasserbeton mit der angenommenen Dicke $h_b = 2,00$ m eingebaut werden. Mit der Grundwasserabsenkung bis zur Höhe $h_{ss} = -25,00$ m unterhalb der Geländeoberkante (OKG) waren die Voraussetzungen geschaffen, eine zweite Lage von Erdankern und die Tunnelsohle aus Stahlbeton mit der geschätzter Höhe $h_{bs} = 1,50$ m einzubauen. Ferner wurde angenommen, dass eine Anschlussbewehrung für die Sohl-/Wand-Verbindung in die Schlitzwände eingelassen und Aussparungen in den Wänden für die Tunnelsohle angelegt worden sind.

Bei der Kraftermittlung gegen die Schlitzwände zeigen sich sehr unterschiedliche Belastungsbilder. Während auf der linken Seite aus der Fläche A_{ol}' die horizontale Kraft $H_{fn}' = 2064$ kN (5.68) gegen die Schlitzwand in der Höhe $h_{vn}' = 18,21$ m (5.71) oberhalb der Berechnungsebene ($h_l' \sim -25,30$ m) angreift, stellt sich durch die Gebäudelast des Archivs eine völlig andere Belastung der rechten Schlitzwand dar, siehe vorangestellte Abb. 119, S. 192.

Die Gebäudelast des Archivs ist derart dominant, dass sie die aktiven Kraftfelder des anstehenden Bodens in reaktive Felder umkehrt und den horizontalen Kraftangriff mit der Kraft $L_h = 1019$ kN (5.78) in die Höhe $l_n = 3,25$ m (5.80) verlagert. Unterhalb der Berechnungsebene wirkt im Abstand der Höhe $n_{vw} = 3,10$ m (5.138) die horizontale Kraft $H_{fwr} = 734$ kN (5.136). Ihr gegenüber steht die Kraft $H_{fm}' = 625$ kN (5.129), die von innen gegen den Fuß der rechten Schlitzwand drückt.

Tunnelsohle

Aus Fotos zum Tunnelquerschnitt wurde entnommen, dass zum Zeitpunkt des Unglücks der Unterwasserbeton mit der gewählten Höhe $h_b = 2,00$ m, die Tunnelsohle mit der angenommenen Höhe $h_{bs} = 1,50$ m, wenige Stützen und eine Zwischendecke aus Stahlbeton eingebaut waren. Da die eigentlichen Tunnelwände noch fehlten, spannte sich die Decke von Schlitzwand zu Schlitzwand. Für die Anschlüsse der Tunnelsohle an die Schlitzwände wird eine ge-

ringe Aussparungstiefe und eine Anschlussbewehrung in den Wänden angenommen, die überwiegend die Auftriebskräfte in die Schlitzwände zu übertragen hatten. Die gegen die Tunnelsohle wirkenden Auftriebskräfte wurden nach neuer Erddruck-Theorie über die fiktiven Trockendichten der nassen Böden über und unter Wasser errechnet. Hierbei wird davon ausgegangen, dass Wasser in freier Natur unter Druck ausweicht und damit für einen Krafttransfer nicht zur Verfügung steht, während die Feststoffstruktur einer Bodenart unter normalen Druckverhältnissen unverändert bleibt, siehe Unterkapitel 3.2, S. 70.

Die Auftriebskräfte wurden ermittelt über die Gewichtskräfte von Erdblöcken, die in Relation zu den Kräften der benachbarten Blöcke zu setzen waren. Der Kräfteabgleich zwischen den linken Erdblöcken und dem mittleren Erdblock unter der Tunnelsohle ergab die Auftriebskraft $R_{vl} = -1215 \text{ kN}$ (5.108) in der Ebene B und der Kräfteabgleich der rechten Erdblöcke mit dem mittleren Block die Kraft $R_{vr} = -1452 \text{ kN}$ (5.112) in der Ebene C, siehe Abb. 117 und 118. Die Überlagerung der Kräfte R_{vl} und R_{vr} ist dargestellt in der Abb. 119, S. 192.

Den Kräften des Auftriebs wirken Gebäudelasten des Tunnels entgegen. Um diese Kräfte realistisch auf die Gesamtbreite $bm = 16,50 \text{ m}$ der Sohle verteilen zu können, wurden Abschnitte mit den Breiten $1,00 + 1,70 + 10,30 + 2,50 + 1,00 = 16,50 \text{ m}$ gewählt. Nach der Reduzierung der Auftriebskräfte um die Gewichtskräfte der Tunnelsohle, der Zwischendecke und der Stützen verblieben in der Ebene C die Auftriebskraft $R_{vC} = -760 \text{ kN}$ und in der Ebene D', d. h. an der Innenseite der rechten Schlitzwand, die Kraft $R_{vD'} = -790 \text{ kN}$, siehe Tabelle (5.147), S. 196.

Mögliche Schadensursache

Die einzelnen Kräfte und ihre Angriffsebenen gegen den Tunnelquerschnitt sind dargestellt in den Tabellen (5.117) und (5.147) und übertragen in die Abb. 119 und 120, S. 192 und 196.

Während die linke Schlitzwand durch die Erddruckkraft $H_{fn}' = 2064 \text{ kN}$ (5.68) belastet und diese Kraft direkt durch die obere Lage der Erdanker übernommen und in das Erdreich abgetragen wird, konzentrieren sich Kräfte gegen die rechte Schlitzwand auf den Anschlussbereich der Tunnelsohle. Insbesondere die Auftriebskräfte $R_{vC} = -760 \text{ kN}$ und $R_{vD'} = -790 \text{ kN}$ gegen die Tunnel-

sohle sowie die Erddruckkraft $Lh = 1019 \text{ kN}$ (5.78) mit der Angriffshöhe $ln = 3,25 \text{ m}$ (5.80) oberhalb der gewählten Berechnungsebene ($hl' = -25,30 \text{ m}$) erzeugen eine Torsion in dem Sohl-/Wandbereich, welche das Anheben der Tunnelsohle erleichterte und zu Spannungsüberschreitungen in der Wand führte. Verstärkt wurde die Torsionsbildung durch die konträr wirkenden horizontalen Kräfte Lh und $Hfwe$, die in der Höhe der Tunnelsohle nach rechts zeigen, siehe Abb. 120, S. 196.

Setzt man die Kraft $Lh = 1019 \text{ kN}$ (5.78) mit der Höhe $ln = 3,25 \text{ m}$ (5.80) oberhalb der gewählten Berechnungsebene an ($hl' \sim -25,30 \text{ m}$) und subtrahiert man davon die Höhe des Sohlbetons mit $hbs = 1,50 \text{ m}$, so liegt der Kraftangriff aus dem anstehenden Boden gegen die Schlitzwand $\sim 1,75 \text{ m}$ über dem Sohlbeton. Unterhalb dieser Stelle dürfte die Anschlussbewehrung für die Tunnelsohle ansetzen, wobei hier zur Aufnahme des horizontalen Angriffs der Kraft Lh eine besondere Wandbewehrung nicht zur Verfügung steht. Betrachtet man die in den Fotos gezeigte Anschlussbewehrung, so dürfte es unwahrscheinlich sein, dass die Auftriebskräfte $RvC = -760 \text{ kN}$ und $RvD' = -790 \text{ kN}$ über diese Bewehrung in die Wand abgetragen werden können. Nach den berechneten Auftriebskräften dürfte sich die Bodenplatte rechtsseitig anheben, zur Verkantung der Platte führen und damit eine Stauchung, Drehung und Rissbildung in der rechten Schlitzwand auslösen. Die möglichen Rissbildungen sind dargestellt in der Abb. 121, S. 200.

Da nach den Berechnungsvorgaben der derzeitigen Erddruck-Lehre in der gezeigten Bruchebene II eine Erddruckkraft in der Größe der Kraft $Lh = 1019 \text{ kN}$ (5.78) nicht zu erwarten wäre, wird von dem Verfasser angenommen, dass für diese Kraft die eingebaute Bewehrung nicht bemessen war. Somit konnten kleine Wandrisse entstehen, die unter dem hohen Druck des in den Tunnel einströmenden Wasser-Sand-Gemischs sich weiter öffneten und den Wandbeton samit großflächig aufbrachen. Durch den Entzug von Erdmassen aus dem benachbarten Baugrund war damit der Einsturz des Archivs nicht mehr aufzuhalten.

Die Studie lässt aber auch erkennen, dass die Grundlagen der derzeitigen Erddruck-Lehre nicht dem realen Bodenverhalten folgen, sondern Angaben zu den Bodenwerten (Scherfestigkeit, Einflussgröße und Dichte) nutzen, die auf Erfahrungswerten basieren [1: S. I.19]. Ferner stellt die Lehre Vorgaben zum Abtrag vertikaler Lasten in den Baugrund [1: S. P.14] und zur Ermittlung von Auftriebskräften über einen Porenwasserdruck [1: S. D.1ff.] vor, die zu markanten Unterbemessungen in Teilbereichen des Tunnelquerschnitts führen können, siehe Unterkapitel 2.5, S. 46.

Da die Grundlagen der Erddruck-Lehre in die Regelwerke und Normen zur Erddruckermittlung übernommen wurden, könnte der Einsturz des Archivs weniger den Anwender der Werke, sondern eher den Verfassern der Vorschriften angelastet werden. Den Planern und den Ausführenden ist die Anwendung der Regelwerke und Normen freigestellt, jedoch zwingen meist Rechtsvorschriften die Vorgaben der Lehre als Stand der Technik verpflichtend einzuhalten.

In Kenntnis der aufgezeigten Mängel in den derzeitigen Regelwerken zu der Erddruckberechnung ließe sich der Einsturz des Historischen Archivs der Stadt Köln selbst mit der regelkonformen Anwendung der geltenden Bauvorschriften begründen.

5.2 Bergrutsch in den Concordiasee bei Nachterstedt 2009

Auch über den Erdrutsch in Nachterstedt vom 18. Juli 2009 mit drei getöteten Personen und hohem Schachscha-den berichteten alle Medien. Der Erdrutsch steht im Zusammenhang mit dem Abbau von Braunkohle im Tagebau, wobei ein Teil der Grube mit dem Abraum aufgefüllt wurde und der weit größere Bereich als See aufgestaut werden soll. Die Ereignisse um den Bergrutsch wurden zusammengefasst in dem Artikel: „*So entstand das Desaster von Nachterstedt*“ [11]. Den Umfang des Erdrutsches zeigt zudem eine Bilderserie [J].

Um der Ursache der enormen Erdbewegung mit den Erkenntnissen der neuen Erddruck-Theorie nachgehen zu können, wurde die Unglücksstelle in Nachterstedt vom Verfasser besucht. Hierbei aufgenommen werden sollten die unterschiedlichen Winkel im Gelände-verlauf des Hanges (vorher/nachher) und

die Entnahme von Bodenproben. Leider wurde nach Rücksprache mit der zuständigen *Lausitzer und Mitteldeutschen Bergbau-Verwaltungsgesellschaft (LMBV)* der Zutritt zu dem sehr weiträumig abgesperrten Zechengelände verweigert. Gleichfalls abgelehnt wurde die Bitte nach Überlassung von Ergebnissen der in ihrem Auftrag durchgeführten örtlichen Bodenerkundungen. Somit war es erforderlich für die nachstehende Untersuchung, die Bodenart des Hanges nach Augenschein und aus Fotos zum Bergrutsch zu beurteilen. Für den Fall, dass die gewählte Bodenart dem Material der Grubenverfüllung nicht entsprechen sollte, können die Bodenkenngrößen in den nachstehenden Berechnungen problemlos ausgetauscht werden.

Das nachstehende Foto, welches die Braunkohlengrube vor der Flutung zum See zeigt, ist entnommen aus WIKIPEDIA/Concordiasee.



Abb. 122 zeigt die Grube des Tagebaus vor der Flutung.

Im Internet häufen sich Spekulationen zur Unglücksursache. Der SPIEGEL ONLINE berichtete am 18.07.2010: *Die Lausitzer und Mitteldeutsche Bergbau-Verwaltungsgesellschaft hat jetzt die bisherigen Erkenntnisse zum Fall Nachterstedt vorgestellt – ihre Bilanz: "Es haben offenbar mehrere Einflussfaktoren gleichzeitig zusammengewirkt, aber in uns noch unbekannter Form und Art." Und der von der Landesregierung eingesetzte Gutachter erwartet, dass die Begutachtung der Unglücksstelle noch längere Zeit andauern werde, weil "das gesamte Gelände in Bewegung" sei.*

Mit der Pressemitteilung PM 030/2012 vom 17.07.2012 teilte das Ministerium für Wissenschaft und Wirtschaft (MW)/Sachsen-Anhalt mit: „Die Ursachenermittlung soll bis Mitte nächsten Jahres abgeschlossen werden.“ Die

Mitteldeutsche Zeitung vom 04.05.2013 schrieb „*Gutachterstreit schwelt weiter*“ [13]. Der Mitteldeutsche Rundfunk, MDR.DE berichtete am 13.12.2013 unter dem Titel „*Grundwasserdruck löst verheerenden Erdrutsch in Nachterstedt aus*“, dass Gutachten belegen würden, dass der Erdrutsch von Nachterstedt durch einen hohen Grundwasserdruck ausgelöst worden und das Abrutschen der Böschung nicht vorhersehbar gewesen sei. Zudem schließe ein LMBV-Gutachten den Altbergbau als Unglücksursache aus [14].

Nachstehend wird der Ursache des Bergrutsches von Nachterstedt mit den Erkenntnissen nachgegangen, die zu der neuen Erddruck-Theorie geführt haben. Freundlicherweise hat hierzu das Deutsche Zentrum für Luft- und Raumfahrt (DLR) die Nutzung der „Vergleichskarte Nachterstedt mit den Profilschnitten, vorher/nachher“ gestattet [H]. Aus dieser Unterlage wurde ein Referenz-Koordinatensystem zum Profilschnitt des DLR aufgebaut und dieses eingeordnet zwischen den Breiten 5472000 m und 5472500 m der geodätischen Länge 661450 m. Die für den Geländeschnitt benötigten Höhen wurden einerseits aus den Profilen des DLR interpoliert und andererseits ergänzt mit Höhenangaben des ‚EffJot-Forums – Geologische Karten zu Nachterstedt‘ [12].

In dem eigenen Profilschnitt wird die geodätische Breite als ‚Station‘ (Stat) bezeichnet. Die Gruben- und Seesohle setzt mit der Höhe +42 m NN an der geodätischen Breite 5742480 m (Stat. 2480) an und steigt in dem Bereich der Breite 5742000 m (Stat. 2000) bis zu der Höhe +97 m NN auf. Vor dem Bergrutsch soll der Concordiassee die Stauhöhe +82 m NN erreicht haben.

Über die Differenzhöhen, die sich ergeben aus der ansteigenden Grubensohle, der Stauhöhe des Sees und der Geländeebene, können die unterschiedlichen Eigenschaften der anstehenden Bodenart im feuchten oder nassen Zustand über oder unter Wasser errechnet werden. Da jede Bodenart bzw. jeder Zustand unterschiedliche Horizontalkräfte erzeugt, ist es möglich die ‚Scherebene unter Auflast‘ in den einzelnen Stationen des Hanges zu ermitteln und damit den Umfang des Hangrutsches rechnerisch darzustellen.

5.2.1 Füllmaterial und seine Eigenschaften

Für das teilweise Auffüllen der Grube wird ein Lehm-Sand-Gemisch angenommen, welches zu 60 Vol.-% aus lehmigen Feststoffen mit $Vf_b = 0,392 \text{ m}^3$ (4.162) und zu 40 Vol.-% aus sandigen Feststoffen mit $Vf_a = 0,548 \text{ m}^3$ (4.160) pro $1,00 \text{ m}^3$ bestehen soll, siehe Unterkapitel 4.5, S. 137.

Von dem Verfasser wird nach Erfahrungswerten dem eingebauten Füllmaterial vor dem Bergrutsch eine Eigenfeuchte von 78 Liter Wasser pro 1,00 m³ zugeordnet. Zudem ist ihm bekannt, dass bei derartigen Grubenverfüllungen auf eine maschinelle Verdichtung verzichtet wird, wie sie ansonsten beim Dammbau erbracht wird. Über die vorstehenden Annahmen lassen sich weitere Eigenschaften des Füllbodens in den Bodenzuständen trocken, feucht, nass über und unter Wasser errechnen. Die Veränderungen der Bodeneigenschaften stellen sich ein, wenn dem Bodengemisch weiteres Wasser zugeführt oder der Boden vom Wasser überflutet wird, wie z. B. durch das aufstauende Wasser in dem Concordiasee.

Kennwerte des trockenen Bodens

Das angenommene Haldenmaterial soll bestehen aus:

Sand	$V_{fa} = 0,548 \text{ m}^3$	40%	$V_{fa}' = 0,219 \text{ m}^3$	
Lehm	$V_{fb} = 0,392 \text{ m}^3$	60%	$V_{fb}' = 0,235 \text{ m}^3$	
Gemisch		100%	$V_f = 0,454 \text{ m}^3$	$V_l = 0,546 \text{ dm}^3$

Die Veränderungen der Bodenkennwerte durch die Wasserzugabe werden ermittelt. Die Raunteile dieser Bodenart in dem trockenen Zustand sind in dem Erdwürfel dargestellt. Sie bilden die Basis für die Wandlungen des Bodenzustandes.

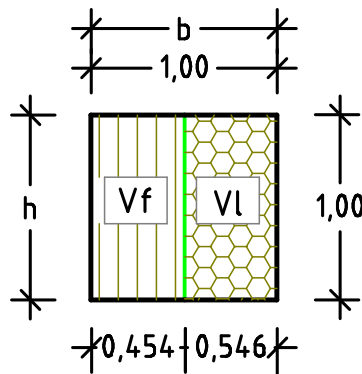


Abb. 123 zeigt den Erdwürfel des Lehm-Sand-Gemisches.

Es werden ermittelt:

Trockendichte ptg

$$ptg = Vf \cdot ptg_{90} / Vp = 0,454 \cdot 3,0 / 1,0 = 1,362 \quad \text{t/m}^3 \quad 5.148$$

Neigungswinkel βt

$$\tan \beta t = Vf / Vl = 0,454 / 0,546 = 0,832 \quad 5.149$$

$$\beta t = 39,7^\circ \quad [-] \quad 5.150$$

Die Eigenschaften des trockenen Bodens verändern sich durch die Zugabe der angenommenen Wassermenge von 78 Liter ($V_{ln} = 0,078 \text{ m}^3$) und der damit einhergehenden Bodenverdichtung, siehe Abschnitt 3.1.4, S. 65.

Kennwerte des feuchten verdichteten Bodengemisches

Durch die Wasserzugabe verbreitert sich der Erdwürfel des trockenen Bodens (Abb. 116) um das fiktive Feststoffvolumen V_{fi} , so dass der ursprüngliche Würfel mit dem Volumen $V_p = 1,00 \text{ m}^3$ bei der Berechnungstiefe $a = 1,00 \text{ m}$ eine größere Breite bb und eine kleinere Höhe h' einnimmt. Wird die Ausbreitung des Bodens durch seine eher feste Lagerung in dem Hang verhindert, verdichtet er.

Es werden ermittelt:

fiktives Feststoffvolumen $\rightarrow V_{fi}$ des feuchten Bodens

$$V_{fi} = V_{ln} \cdot p_{wg}/p_{tg90} = 0,078 \cdot 1,0/3,0 = 0,026 \quad \text{m}^3 \quad 5.151$$

Breite bb

$$bb = b + b_w = 1,000 + 0,026 = 1,026 \quad \text{m} \quad 5.152$$

Höhe h'

$$h' = V_p/bb \cdot a = 1,000/1,026 \cdot 1,00 = 0,975 \quad \text{m} \quad 5.153$$

Füllt man den Würfel von der Höhe $h' = 0,975 \text{ m}$ bis zur Höhe $h = 1,00$ wieder mit gleicher Bodenart auf und lässt eine Ausbreitung des Bodens infolge der Wasserzugabe nicht zu, so lassen sich die Eigenschaften des feuchten verdichteten Bodens wie folgt errechnen, siehe Volumina in den Abb. 124 bis 126.

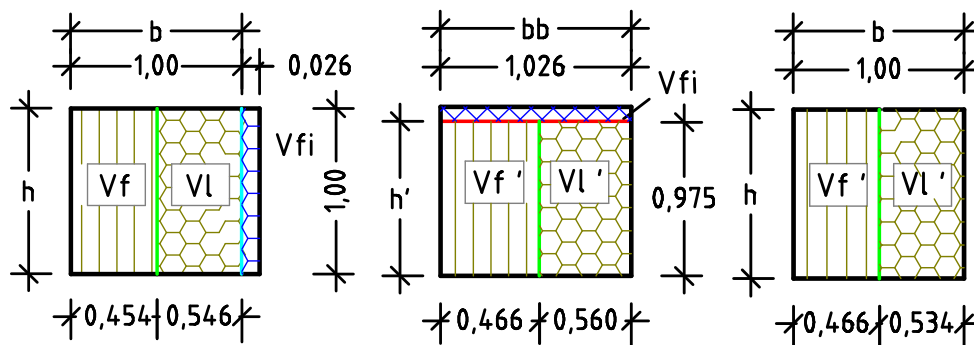


Abb. 124: Verbreiterung durch die Wasseraufnahme.

Abb. 125: Höhenverlust durch Bodenausbreitung.

Abb. 126: Raumteile des verdichteten Bodens.

Feststoffvolumen $V_{f'}$

$$V_{f'} = V_{fi}h' = 0,454/0,975 = 0,466 \quad \text{m}^3 \quad 5.154$$

Porenvolumen $V_{p'}$

$$V_{p'} = V_p - V_{f'} = 1,000 - 0,466 = 0,534 \quad \text{m}^3 \quad 5.155$$

Neigungswinkel β_i

$$\tan \beta_i = Vf / (Vl + Vfi) = 0,466 / (0,534 + 0,026) = 0,832 \quad 5.156$$

$$\beta_i = 39,8^\circ \quad [-] \quad 5.157$$

Trockendichte ptg

$$ptg = Vf \cdot ptg_{90} / Vp = 0,466 \cdot 3,00 / 1,00 = 1,398 \quad \text{t/m}^3 \quad 5.158$$

Gewichtsteil des Wassers pwg'

$$pwg' = Vln \cdot pwg / Vp = 0,078 \cdot 1,00 / 1,0 = 0,078 \quad \text{t/m}^3 \quad 5.159$$

Feuchtdichte pig

$$pig = ptg + pwg' = 1,398 + 0,078 = 1,476 \quad \text{t/m}^3 \quad 5.160$$

Jeder weitere Anstieg des Porenwassers in dem feuchten Boden wandelt die Eigenschaften erneut und fördert den Bewegungsdrang des Bodens. Die Grenzen dieser Umgestaltung werden erreicht, wenn sich das Porengefüge des Bodens vollständig mit Wasser gefüllt hat. Dieser Boden wird dann als ‚nass‘ bezeichnet. Seine Eigenschaften werden nachstehend ermittelt.

Kennwerte des nassen unverdichteten Bodens

Für das feuchte verdichtete Gemisch wurde das Porenvolumen $Vl' = 0,534 \text{ m}^3$ errechnet (5.155). Damit kann die Bodenart weitere 534 Liter = Vln Wasser aufnehmen. Bei der Ermittlung der Eigenschaften des nassen Bodens über Wasser wird zunächst auf den Ansatz der natürlichen Verdichtung durch das Wasser verzichtet und erst hiernach dieser Bodenverdichtung nachgegangen.

Es werden berechnet:

fiktives Feststoffvolumen $\rightarrow Vfn$ des nassen Bodens

$$Vfn = Vln \cdot pwg / ptg_{90} = 0,546 \cdot 1,00 / 3,00 = 0,178 \quad \text{m}^3 \quad 5.161$$

Neigungswinkel β_n

$$\tan \beta_n = Vf' / (Vl' + Vfn) = 0,466 / (0,534 + 0,178) = 0,655 \quad 5.162$$

$$\beta_n = 33,2 \quad [-] \quad 5.163$$

Scherwinkel sn

$$\tan sn = (\tan \beta_n) / 2 = 0,655 / 2 = 0,327 \quad 5.164$$

$$sn = 18,1^\circ \quad [-] \quad 5.165$$

Trockendichte ptg'

$$ptg' = Vf' \cdot ptg_{90} / Vp = 0,466 \cdot 3,00 / 1,00 = 1,398 \quad \text{t/m}^3 \quad 5.166$$

Gewichtsteil des Wassers pwg'

$$pwg' = Vln \cdot pwg / Vp = 0,534 \cdot 1,00 / 1,00 = 0,534 \quad \text{t/m}^3 \quad 5.167$$

Nassdichte png

$$png = ptg' + pwg' = 1,398 + 0,534 = 1,932 \quad \text{t/m}^3 \quad 5.168$$

Kennwerte des nassen Bodens im verdichteten Zustand

Die Verdichtung des nassen Bodens lässt die Breite bb und die Höhe h' entstehen und wandelt den Erdwürfel, wie dargestellt in den Abb. 127 bis 129.

Breite $b_w \rightarrow V_{fn} = 0,178 \text{ m}^3$ (5.161)

$$b_w = V_{fn}/h \cdot a = 0,178/1,00 \cdot 1,00 = 0,178 \quad \text{m} \quad 5.169$$

Breite bb

$$bb = b + b_w = 1,000 + 0,178 = 1,178 \quad \text{m} \quad 5.170$$

Höhe h'

$$h' = V_p/bb \cdot a = 1,000/1,178 \cdot 1,00 = 0,849 \quad \text{m} \quad 5.171$$

Nach der Normierung des nassen Bodens auf die Volumengröße $V_p = 1,00 \text{ m}^3$ stellen sich folgende Bodenkennwerte ein:

Feststoffvolumen V_f^*

$$V_f^* = V_f/h' = 0,466/0,849 = 0,549 \quad \text{m}^3 \quad 5.172$$

Porenvolumen V_l^*

$$V_l^* = V_p - V_f^* = 1,000 - 0,549 = 0,451 \quad \text{m}^3 \quad 5.173$$

Neigungswinkel β_n^*

$$\tan \beta_n^* = V_f^*/1,333 \cdot V_l^* = 0,549/1,333 \cdot 0,451 = 0,913 \quad 5.174$$

$$\beta_n^* = 42,4^\circ \quad [-] \quad 5.175$$

Scherwinkel sn^*

$$\tan sn^* = (\tan \beta_n^*)/2 = 0,913/2 = 0,456 \quad 5.176$$

$$sn^* = 24,5^\circ \quad [-] \quad 5.177$$

Trockendichte ptg^*

$$ptg^* = V_f^* \cdot ptg_{90}/V_p = 0,549 \cdot 3,00/1,00 = 1,647 \quad \text{t/m}^3 \quad 5.178$$

Gewichtsteil des Wassers pwg^*

$$pwg^* = V_l^* \cdot pwg/V_p = 0,451 \cdot 1,00/1,0 = 0,451 \quad \text{t/m}^3 \quad 5.179$$

Feuchtdichte png^*

$$png^* = ptg^* + pwg^* = 1,647 + 0,451 = 2,098 \quad \text{t/m}^3 \quad 5.180$$

Bei einem nassen Boden über Wasser würde bei der aufgezeigten Volumensminderung folgende Verdichtung eintreten:

$$\lambda = h/h' = 1,00/0,849 = 1,178 \quad \rightarrow 17,8 \quad \text{Vol.-%} \quad 5.181$$

Im Erdband stellt sich die Wandlung der Volumina vom feuchten, teilverdichteten Boden zum nassen verdichteten Boden über Wasser wie folgt dar:

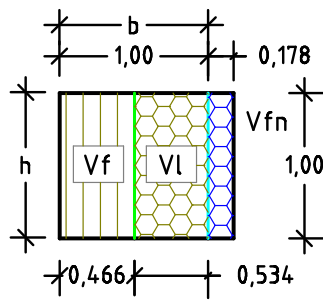


Abb. 127: Verbreiterung des Erdwürfels durch die Wasseraufnahme.

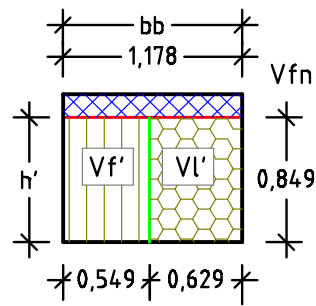


Abb. 128: vor der Normierung mit Höhenverlust durch die Verdichtung.

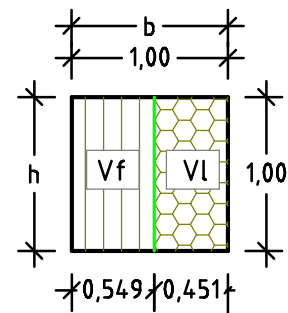


Abb. 129: Raunteile des verdicht. nassen Bodens nach der Normierung.

Folgt man den Erkenntnissen aus den eigenen Experimenten mit unterschiedlichen Bodenarten im trockenen, feuchten und nassen Zustand sowie mit Böden unter Wasser, so kann ein trockener, lose eingebauter Sand bei der Zugabe von Wasser ~15 Vol.-% an Volumen verlieren, siehe Abschnitt 2.4.3, S. 44f.

Kennwerte des nassen unverdichteten Bodens unter Wasser

Betrachtet man, dass bis zum Bergbruch der Concordiasee von der Höhe 42,0 m NN bis zur Höhe 82,0 m NN aufgestaut worden ist, kann davon ausgegangen werden, dass der Füllboden erstmalig durch das parallel ansteigende Grundwasser überflutet worden ist. Wie mit den eigenen Versuchsanordnungen belegt, muss sich der eher trockene unverdichtete Füllbodens durch das aufgestaute Wasser in einen nassen verdichteten Boden unter Wasser gewandelt haben. Hinzu kommt, dass durch das aufsteigende Grundwasser in der Grubenauffüllung Auftriebskräfte entstanden sind, die es vorher nicht gab und die deshalb zur Reduzierung der Bodendichte und zur Gefahrenerhöhung eines Bergbruchs führen mussten. Um bei der Berechnung der Eigenschaften nasser Böden unter Wasser den Nachvollzug mit realen Bodeneigenschaften zu erleichtern, wird in den entsprechenden Formeln das unbesetzte Porenvolumen mit $Vlt = 0,00 \text{ m}^3$ angesetzt, siehe Berechnung der Eigenschaften feuchter Böden, Abschnitt 3.1.4, S. 65f.. Für die Ermittlung der Eigenschaften des nassen Bodens unter Wasser werden folgende Volumina genutzt: $Vf' = 0,466 \text{ m}^3$ (5.154), $Vl' = 0,534 \text{ m}^3$ (5.155) und $Vln = 0,534 \text{ m}^3$.

Volumen des Auftriebs $Vfa \rightarrow$ mit Vfn des nassen Bodens

$$Vfa = Vf'/3 + Vlt = 0,466 \cdot 1/3 + 0,00 = 0,155 \quad \text{m}^3 \quad 5.182$$

Feststoffvolumen $Vfw \rightarrow$ Verhältnis $p_{wg}/p_{tg90} = 1/3$

$$Vfw = 2 \cdot Vf'/3 - Vlt/3 = 2 \cdot 0,466/3 - 0,0 = 0,311 \quad \text{m}^3 \quad 5.183$$

Neigungswinkel β_{nw} → des nassen Bodens unter Wasser

$$\tan \beta_{nw} = V_{fw} / (5 \cdot V_l' / 6) = 0,311 / (5 \cdot 0,534 / 6) = 0,698 \quad 5.184$$

$$\beta_{nw} = 34,9^\circ \quad [-] \quad 5.185$$

Scherwinkel snw → des nassen Bodens unter Wasser

$$\tan snw = (\tan \beta_{nw}) / 2 = 0,698/2 = 0,349 \quad 5.186$$

$$snw = 19,3^\circ \quad [-] \quad 5.187$$

Nassdichte p_{nwg} → des nassen Bodens unter Wasser

$$p_{nwg} = (V_{fw} \cdot p_{tg90} + V_l' \cdot p_{wg}) / V_{p90}$$

$$p_{nwg} = (0,311 \cdot 3,0 + 0,534 \cdot 1,0) / 1,0 = 1,467 \quad \text{t/m}^3 \quad 5.188$$

fiktives Volumen V_{nw} → führt zur Minderung der Breite bb (5.191).

$$V_{nw} = V_l' / 6 = 0,534/6 = 0,089 \quad \text{m}^3 \quad 5.189$$

Da der Wasserdruck das Ausbreitbestreben des nassen Bodens verhindert, wird in dem Berechnungsansatz (5.191) das Volumen $V_{nw} = 0,089 \text{ m}^3$ bzw. seine Breite bw' mit negativem Vorzeichen eingefügt.

Breite bw' → entspricht bei der Tiefe $a = 1,00 \text{ m}$

$$bw' = V_{nw}/h \cdot a = 0,089/1,00 \cdot 1,00 = 0,089 \quad \text{m} \quad 5.190$$

Breite bb → Breitenminderung

$$bb = b + bw = 1,000 - 0,089 = 0,911 \quad \text{m} \quad 5.191$$

Höhe h'

$$h' = V_p/bb \cdot a = 1,000/0,911 \cdot 1,00 = 1,098 \quad \text{m} \quad 5.192$$

Verdichtungsfaktor λ

$$\lambda = h/bb = 1,00/0,911 = 1,098 \rightarrow 9,8 \text{ Vol.-%} \quad 5.193$$

Die Volumina des nassen verdichteten Bodens unter Wasser sind dargestellt in dem Erdband und nach der Normierung in dem Erdwürfel (Abb. 131).

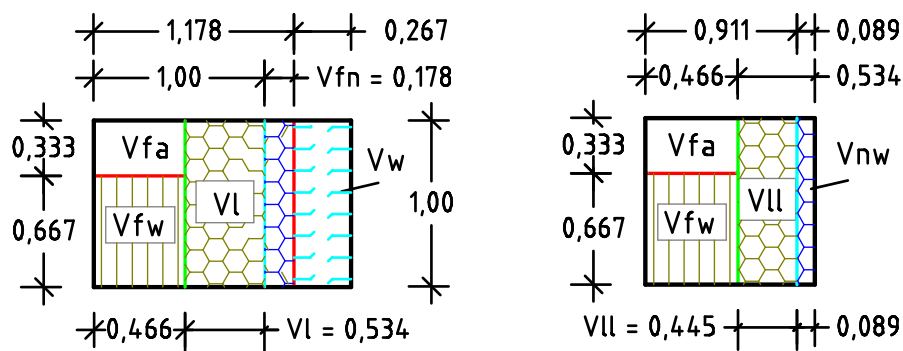


Abb. 130 und 131 zeigen die Raumeile des nassen verdichteten Bodens unter Wasser vor und nach der Normierung.

Zusammenstellung der Ergebnisse:

Da sich nach den Medienberichten vor dem Bergrutsch keine größeren Veränderungen der Geländeoberfläche gezeigt haben sollen, müssten sich nach den vorstehenden Berechnungen gravierende Kraftumlagerungen im Hang vollzo-

gen haben. Allein der errechnete Verdichtungsfaktor $\lambda = 1,098$ (5.193) hätte in dem Uferbereichs des Sees eine Absenkung der Geländeoberfläche um die Höhe Δh bewirken können. Diese Höhe Δh wird nachstehend über die Stauhöhe $h^* = 40,0$ m errechnet.

Höhe Δh

$$\Delta h = h^* - h^*/\lambda = 40,00 - 40,00/1,098 = 3,60 \quad \text{m} \quad 5.194$$

Aus der nachstehenden Tabelle kann ersehen werden, dass das zum See aufgestaute Wasser die Eigenschaften des leicht feuchten Lehm-Sand-Gemisches in den einzelnen Bodenzuständen erheblich verändert hat.

Zusammenfassung der Bodenkennwerte:

Bodeneigenschaften	feucht und unverdichtet	nass und unverdichtet	nass und verdichtet	nass unter Wasser, unverdichtet
Dichte t/m^3	$p_{ig} = 1,476$ (5.160)	$p_{ng} = 1,932$ (5.168)	$p_{ng}^* = 2,098$ (5.180)	$p_{nwg} = 1,467$ (5.188)
Winkel	$\beta_i = 39,8^\circ$ (5.157)	$\beta_n = 33,2^\circ$ (5.163)	$\beta_n^* = 42,4^\circ$ (5.175)	$\beta_{nw} = 34,9^\circ$ (5.185)
Scherwinkel	$s_i = 22,6^\circ$	$s_n = 18,1^\circ$ (5.165)	$s_n^* = 24,5^\circ$ (5.177)	$s_{nw} = 19,3^\circ$ (5.187)
Verdichtung			$\lambda = 17,8 \text{ Vol.-%}$ (5.181)	$\lambda = 9,8 \text{ Vol.-%}$ (5.193)

Da neben der Bodenverdichtung die Erdmassen auf den Scherebenen der unterschiedlichen Böden den Bewegungsdrang in dem Hang verstärken, wird den Auswirkungen der Erdlasten auf den Scherebenen nachgegangen.

5.2.2 Anpassung von Auflasten an Böden unter Wasser

Auflasten auf Böden sind im Abschnitt 2.4.1 behandelt und im Unterkapitel 4.3 ergänzt worden. Den Last- oder Kraftabtrag der Auflast in dem Erdreich übernimmt nach neuer Erddruck-Theorie ausschließlich die Feststoffstruktur des belasteten Bodens. Nicht für den Kraftabtrag herangezogen werden kann das vom Boden aufgenommene Porenwasser oder anstehendes Grundwasser. Zu beachten bleibt, dass der entstehende Auftrieb bei Böden unter Wasser das Feststoffvolumen um ein Drittel reduziert und damit Einfluss nimmt auf den Neigungs- und den Scherwinkel und das Auseinanderdriften des Bodens. Da die Winkel für die einzelnen Bodenzustände bereits errechnet worden sind, kann die erneute Winkelberechnung infolge der Auflast vermieden werden, wenn man die Auflasthöhe h_e , die oberhalb des Grundwasserspiegels ansteht, entsprechend dem Verhältnis der Feststoffvolumina V_f'/V_{fw} erhöht. Zum Bei-

spiel kann bei einer angenommenen Auflasthöhe $h_e = 10,00$ m die neue Auflasthöhe h_e^* errechnet werden über die Volumina der Feststoffe $V_f' = 0,466$ m³ (5.154) und unter Wasser $V_{fw} = 0,311$ m³ (5.183).

Auflasthöhe h_e^*

$$h_e^* = h_e \cdot V_f' / V_{fw} = 10,0 \cdot 0,466 / 0,311 \sim 15,0 \quad \text{m} \quad 5.195$$

Die Zunahme der Auflasthöhe bewirkt unter Wasser eine horizontale Ausdehnung des Erdwürfels um die Breite $\Delta b = V_f' / 3 \cdot h \cdot a$, wobei $h = 1,00$ m der Würfelhöhe entspricht. Zur Berechnung der Breiten und Winkel wird das Volumen $V_{la} = V_f' / 3$ eingeführt und mit dem Auftriebsvolumen V_{fa} gleichgestellt:

Volumen V_{la}

$$V_{la} = V_f' / 3 = 0,466 / 3 = 0,155 \quad \text{m}^3 \quad 5.196$$

Neigungswinkel $\beta_{ew} \rightarrow$ unter Auflast, siehe Unterkapitel 3.2.1, S. 71.

$$\tan \beta_{ew} = V_{fw} / (5 \cdot V_{l'6} + V_{la})$$

$$\tan \beta_{ew} = 0,311 / (5 \cdot 0,534 / 6 + 0,155) = 0,518 \quad 5.198$$

$$\beta_{ew} = 27,4^\circ \quad [-] \quad 5.199$$

Scherwinkel $sew \rightarrow$ unter Auflast

$$\tan sew = (\tan \beta_{ew}) / 2 = 0,518 / 2 = 0,259 \quad 5.200$$

$$sew = 14,5^\circ \quad [-] \quad 5.201$$

Der durch die Auflast reduzierte Neigungswinkel lässt sich auch über die Raumteile der jeweiligen Bodenart errechnen. Hierzu ist das Feststoffvolumen V_{fw} mit dem veränderten Porenvolumen des Bodens unter Wasser in Relation zu setzen, siehe Formel (3.93), S. 78. In diesem Fall ist die Breite $\Delta b = 0,155$ m des Volumens $V_{la} = 0,155$ m³ (5.196) zu addieren mit der Breite $b_w = 0,178$ m (5.169), die dann die Breite $b_w^* = 0,333$ m des Erdbandes ergibt, Abb. 132.

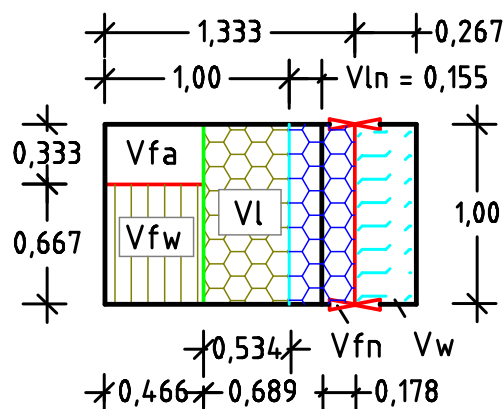


Abb. 132 zeigt das Erdband, das sich unter Wasser durch die Auflast bis zur Breite $b_w' = 0,333$ m gedehnt hat.

Die Ermittlung der Scherebene unter Auflast erfolgt abschnittsweise, d. h. jeweils ausgerichtet auf die vertikale Bezugsachse. Bei den Berechnungen der Scherebenen unter Auflast werden die wechselnden Bodeneigenschaften, die unterschiedlichen Geländehöhen und die Wasserstände im See +62 m NN sowie +82,0 m NN berücksichtigt. Die Berechnungen folgen den Ausführungen der Unterkapitel 4.4 bis 4.6.

Die Gefällewechsel in der Geländeebene machen es erforderlich, den Längsschnitt in fünf Berechnungsabschnitte zu unterteilen. Die Grubensohle steigt hingegen gleichmäßig auf, so dass ihr Winkel z berechnet werden kann über die Höhen +42,0 m NN an der Stat. 2480 und +97,0 m NN an der Stat. 1990.

Winkel $z \rightarrow$ des Sohlanstiegs

$$\tan z = (97,0 - 42,0) / (2480 - 1990) = 0,112 \quad 5.202$$

$$z = 6,4^\circ \quad [-] \quad 5.203$$

Anpassung der Volumina ungleicher Bodenarten

Bei Schichtungen unterschiedlicher Böden ist für eine Kraftermittlung zunächst die Berechnungshöhe über Addition der einzelnen Schichthöhen zu bestimmen. Hiernach sind die Bodeneigenschaften der Bodenart anzupassen, die in dem Erdkeil die unterste Schicht bildet, siehe Unterkapitel 4.4, S. 131ff..

Zu beginnen ist mit der untersten Bodenschichtung, wobei mit der Höhe hu und dem realen Neigungswinkel β die Keilbreite bu zu ermitteln ist. Vorausgesetzt, die Bodenschichten entsprechen der Abb. 92, dann zeigen die Höhe ho an der Bezugsachse und die Höhe hoo im Abstand der Breite bu die Abstände zu der realen Geländeebene an. Zur Anpassung der oberen Bodenart an die untere sind die Höhen ho und hoo mit dem vorgenannten Faktor der Volumina V_f/V_{fw} zu multiplizieren, so dass die Höhen hoo' und ho' entstehen. Die Verbindung der Höhen hoo' und ho' entspricht der fiktiven Geländeebene mit dem Winkel x' . Addiert man an der Bezugsachse die Höhen hu und ho' und fügt oberhalb dieser Höhen eine Horizontale ein, so kommt in dieser Ebene die neue Keilbreite $bo = (hu + ho') / \tan \beta$ zu liegen. Mit der Breite bo und der Höhe $hoo' = hx$ bildet sich die Keilfläche, deren Boden den Erdkeil mit der Breite bo und der Höhe $hu + ho'$ als Erdlast belastet.

Weitere Abhängigkeiten bei der Ermittlung von Neigungs- und Scherwinkel unter Auflast werden an geeigneter Stelle näher erläutert und hierbei die Höhen mit Buchstaben versehen und in ‚m NN‘ angegeben. In der jeweiligen Station

erhält die Sohle die Bezeichnung H_s und die reale Geländehöhe die Bezeichnung H_o , wobei der Abstand der beiden Höhen mit hm benannt wird. Wie im Abschnitt 4.3.1 ausgeführt, verändert die Gewichtskraft des Bodens in der Keilfläche oberhalb der Breite b_o die natürlichen Winkel und lässt den Neigungs- sowie den Scherwinkel unter Auflast β_e und se entstehen. Die Berechnung der Winkel ist abhängig von dem jeweiligen Verhältnis der Winkel x bzw. x' des Geländeanstiegs zu dem Winkel s der natürlichen Scherebene. In der Abb. 78, S. 114 zu der Versuchsanordnung 9.2 wird die Ermittlung der Scherebene unter Auflast gezeigt, wenn der Winkel x steiler als der Winkel s ist. Die andere Variante – Winkel x ist flacher als Winkel s – wird gezeigt in Abb. 81, S. 117 der Versuchsanordnung 9.3.

Wie in den angeführten Abbildungen dargestellt, verschiebt sich die Bezugsachse durch den Ansatz der Neigungsebene unter Auflast um die Breite bm in den Hang. Damit entsteht bei der Störung des vertikalen Kraftabbaus, z. B. durch Fels in der Basisebene, eine Umwandlung vertikaler Kräfte in horizontale Kräfte, welche mögliche Bodenbewegungen zusätzlich positiv beeinflussen können. Liegt die Oberfläche der angenommenen Felsschicht in einer geneigten Ebene, erhöht sich der Bewegungsdrang in dem Hang, wobei der abgleitende Boden die Scherebene unter Auflast weiter absenkt, siehe Abb. 99, S. 142. Es kann zusammengefasst werden, dass sich zum Abtrag der Bodenauflast die natürliche Neigungsebene steiler stellt und damit den Grenzwert der inneren Reibung des Bodens (μ) überschreitet. Mit steigender Beeinflussung des Bodengefüges wachsen die Beweglichkeit des Bodens und sein Drang, einen Bergrutsch auszulösen. Die hierzu erforderlichen Berechnungen der Massen und Kräfte werden mit der gewählten Berechnungstiefe $a = 1,00$ m über die Flächen geführt.

Station 2405

Nach der Plangrundlage der DLR (vorher/nachher) liegen die Grubensohle auf der Höhe +42,0 m NN und die Stauhöhe des Concordiasees zum Zeitpunkt des Bergrutsches auf der Höhe +82 m NN. Für den Nachvollzug des Bergrutsches wurde die erste vertikale Bezugsachse in die Stat. 2405 gelegt. Hier nehmen die halbe Stauhöhe des Sees und die Geländehöhe des Seeufers die Höhe H_{o1} +62,0 m NN ein. Die Höhe H_{s1} +50,4 m NN der Grubensohle wurde über den Winkel $z = 6,4^\circ$ (5.203) und den Abstand zwischen den Stat. 2480 und 2405

ermittelt. Von dem Ufer aus steigt die Geländeebene bis zur Höhe $Ho_2 = +82,0$ m NN der Stat. 2330 an. Für den Abschnitt Stat. 2405 bis 2330 ermittelt sich der Winkel x des Geländeanstiegs über die Höhe $hg = 20,0$ m dividiert durch die Abschnittlänge $lg_1 = 75,0$ m.

Winkel $x_1 \rightarrow$ des realen Geländeanstiegs

$$\tan x_1 = h / lg_1 = 20,0 / 75,0 = 0,267 \quad 5.204$$

$$x_1 = 14,9^\circ \quad [-] \quad 5.205$$

Es wird angenommen, dass sich unterhalb der horizontalen Ebene + 62,0 m NN der zur Auffüllung der Grube eingesetzte feuchte Boden durch das gestaute Wasser im See zu einem ‚nassen Boden unter Wasser‘ gewandelt hat. Die errechneten Eigenschaften der Böden sind in die Tabelle übertragen worden.

Eigenschaften	
Feuchter Boden über Wasser	Nasser Boden unter Wasser
Dichte $p_{ig} = 1,476 \text{ t/m}^3$ (5.160)	Dichte $p_{nwg} = 1,467 \text{ t/m}^3$ (5.188)
Feststoffv. $V_f' = 0,466 \text{ m}^3$ (5.154)	Feststoffv. $V_{fw} = 0,311 \text{ m}^3$ (5.183)
Neigungswinkel $\beta_i = 39,8^\circ$ (5.157)	Neigungsw. $\beta_{nw} = 34,9^\circ$ (5.185)
$\tan \beta_i = 0,832$ (5.156)	$\tan \beta_{nw} = 0,698$ (5.184)
$\tan s_i = 0,832/2 = 0,416$	$\tan s_{nw} = 0,349$ (5.186)
Scherwinkel $s_i = 22,6^\circ$	Scherwinkel $s_{nw} = 19,3^\circ$ (5.187)

Für den Nachvollzug der Bodenbewegung im Hang sind vorab die Eigenschaften des feuchten Bodens denen des Bodens unter Wasser anzupassen, d. h. insbesondere ist die Höhe h_{oo} über das Verhältnis V_f'/V_{fw} in die Höhe h_{oo}' umzurechnen. Hierzu ist zunächst über die Höhe h_m und den Winkel des Bodens unter Wasser (β_{nw}) die Keilbreite b_o zu ermitteln.

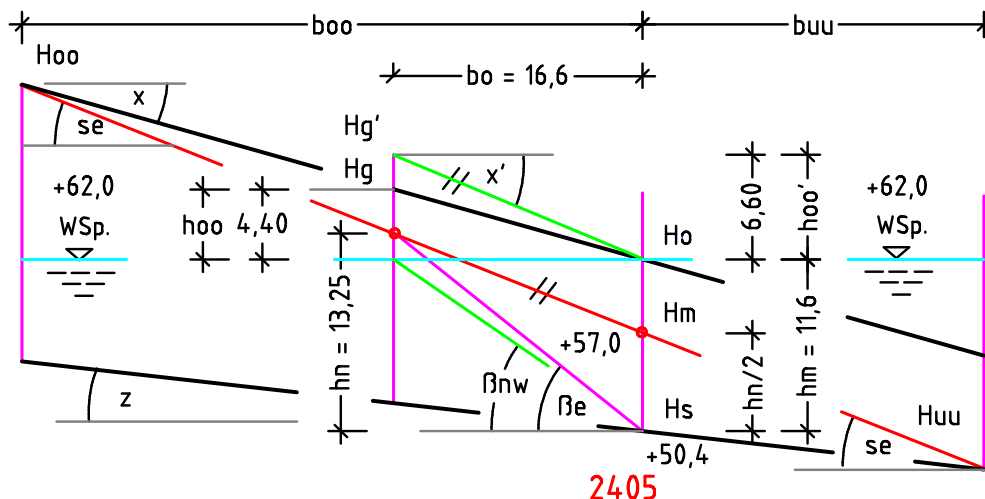


Abb. 134 zeigt zwischen den Höhen H_{oo} und H_{uu} die Scherebene unter Auflast (rot).

Von der Bezugsachse im Abstand der Breite bo sind die ursprüngliche Geländehöhe Hg und die fiktive mit Hg' zu berechnen. In diesem Fall entspricht die Keilhöhe hx der Erdlast auf der natürlichen Scherebene (grün) der Höhe $hoo' = hx$, so dass der Winkel x' des fiktiven Geländeanstiegs über die Höhe hx und die Breite bo errechnet werden kann. Der Neigungswinkel βe unter Auflast lässt sich ermitteln über die Höhe $hn = hm + hx/4$ und die Breite bo . Der Winkel se der Scherebene unter Auflast kann ermittelt werden über $\tan se = (\tan \beta e) / 2$.

Es werden errechnet:

Höhe hm → Sichthöhe des unteren Bodens an der Bezugsachse.

$$hm = Ho_I - Hs_I = 62,0 - 50,4 = 11,6 \quad \text{m} \quad 5.206$$

Breite bo → mit dem Winkel $\beta_{nw} = 35^\circ$ und der Höhe $hm = 11,60$ m.

$$bo = hm / \tan \beta_{nw} = 11,6 / 0,698 = 16,6 \quad \text{m} \quad 5.207$$

Höhe hoo → mit dem Winkel $x_I = 14,9^\circ$

$$hoo = bo \cdot \tan x_I = 16,6 \cdot 0,267 \sim 4,4 \quad \text{m} \quad 5.208$$

Höhe hoo'

$$hoo' = hoo \cdot Vf' / Vf_w = 4,4 \cdot 0,466 / 0,311 = 6,6 \quad \text{m} \quad 5.209$$

Winkel x_I'

$$\tan x_I' = hoo' / bo = 6,6 / 16,6 = 0,398 \quad 5.210$$

$$x_I' = 21,7^\circ \quad [-] \quad 5.211$$

Höhe hm'

$$hm' = hm + hx / 4 = 11,6 + 6,6 / 4 \sim 13,25 \quad \text{m} \quad 5.212$$

Neigungswinkel βe

$$\tan \beta e = hm' / bo = 13,25 / 16,6 = 0,798 \quad 5.213$$

$$\beta e = 38,6^\circ \quad [-] \quad 5.214$$

Scherwinkel se

$$\tan se = (\tan \beta e) / 2 = 0,798 / 2 = 0,399 \quad 5.215$$

$$se = 21,8^\circ \quad [-] \quad 5.216$$

In diesem Fall zeigen die fast identischen Winkel des fiktiven Geländeanstiegs $x_I' = 21,7^\circ$ (5.211) und der Scherebene unter Auflast $se = 21,8^\circ$ (5.216) an, dass auf der Scherebene unter Auflast keine Erdmassen lagern, die abgleiten und damit Erdbewegungen in dem Hang verursachen könnten. Die Breiten boo und buu zeigen den Einflussbereich dieser Berechnung auf.

Breite boo

$$boo = hm / (\tan \beta e - \tan se) = 11,6 / 0,399 \sim 29,1 \quad \text{m} \quad 5.217$$

Breite buu

$$buu = hm / (\tan se - \tan z)$$

$$buu = 11,6 / (0,399 - 0,112) \sim 40,4 \quad \text{m} \quad 5.218$$

Da das leicht feuchte Verfüllmaterial zum ersten Mal dem ansteigenden Grundwasser ausgesetzt wird, steht in dem vorstehenden Bereich eine Bodensetzung um die Höhe Δh an. Diese lässt sich vorzugsweise an der Bezugsachse über die Höhe hm und den Verdichtungsfaktor $\lambda = 17,8$ Vol.-% errechnen, siehe Zusammenstellung der Bodenkennwerte in dem Abschnitt 5.2.1, S. 210.

Höhe Δh

$$\Delta h = hm \cdot \lambda / 100 = 11,6 \cdot 17,8 / 100 \sim 2,1 \quad \text{m} \quad 5.219$$

Ergebnis:

Durch die Gleichheit der Winkel x' und se in dem Bereich der Stat. 2405 wird es außer der anstehenden Bodenverdichtung infolge des Grundwasseranstiegs zu keiner weiteren Bodenbewegung kommen, es sei denn, dass diese an anderer Stelle des Hangs ausgelöst wird.

Station 2330

Die Station wurde gewählt, weil hier die Geländeebene Ho_2 wie auch der Wasserspiegel (WSp) des Sees die Höhe +82,0 m NN einnehmen. Die Höhe der Grubensohle Hs_2 +58,8 m NN wurde über den Winkel $z = 6,4^\circ$ (5.203) interpoliert. In der Geländeebene findet ein Gefällewechsel statt, wobei rechts der Bezugsachse der Winkel $x_1 = 14,9^\circ$ (5.205) bleibt und links der Achse das Gelände unter dem Winkel x_2 von der Stat. 2330 bis zur Stat. 2123 auf die Länge $lg_2 = 207$ m von der Höhe +82,00 m NN zur Höhe +107,0 m NN ansteigt.

Winkel $x_2 \rightarrow$ über die Höhendifferenz +107,0 m abzüglich +82,00 m.

$$\tan x_2 = (107,0 - 82,0) / lg_2 = 25,0 / 207 = 0,121 \quad 5.220$$

$$x_2 = 6,9^\circ \quad [-] \quad 5.221$$

Höhe $hm \rightarrow$ Sichthöhe des Bodens an der Bezugsachse.

$$hm = Ho_2 - Hs_2 = 82,0 - 58,8 = 23,2 \quad \text{m} \quad 5.222$$

Keilbreite $bo \rightarrow$ mit $\tan \beta_{nw}$ (5.184)

$$bo = hm / \tan \beta_{nw} = 23,2 / 0,698 \sim 33,2 \quad \text{m} \quad 5.223$$

Höhe $hoo \rightarrow$ über Wasser

$$hoo = bo \cdot \tan x_2 = 33,2 \cdot 0,121 \sim 4,0 \quad \text{m} \quad 5.224$$

Höhe $hoo' \rightarrow$ unter Berücksichtigung des Faktors Vf'/Vfw .

$$hoo' = hoo \cdot Vf'/Vfw = 4,0 \cdot 0,466 / 0,311 \sim 6,0 \quad \text{m} \quad 5.225$$

Winkel $x_2' \rightarrow$ des fiktiven Geländeanstiegs

$$\tan x_2' = hoo' / bo = 6,0 / 33,2 = 0,181 \quad 5.226$$

$$x_2' = 10,3^\circ \quad [-] \quad 5.227$$

Höhe hn

$$hn = hm + hoo' / 4 = 23,2 + 6,0 / 4 = 24,7 \quad \text{m} \quad 5.228$$

Neigungswinkel β_e

$$\tan \beta_e = hm / bo = 24,7 / 33,2 = 0,744 \quad 5.229$$

$$\beta_e = 36,6^\circ \quad [-] \quad 5.230$$

Scherwinkel se

$$\tan se = (\tan \beta_e) / 2 = 0,744 / 2 = 0,372 \quad 5.231$$

$$se = 20,4^\circ \quad [-] \quad 5.232$$

Hier zeigt die Differenz der Winkel se zu x_2' an, dass links der Bezugsachse Erdmassen auf der Scherebene lagern, die bei dem Verlust ihrer Standfestigkeit abgleiten können. Über die Höhe $hm = 23,20$ m (5.222) und die Winkel se , x_2' und $z = 6,4^\circ$ (5.203) lassen sich die Höhe hyy sowie die Breiten boo und buu errechnen und damit die mögliche Bodenbewegung in dem Einflussbereich der Stat. 2330 eingrenzen.

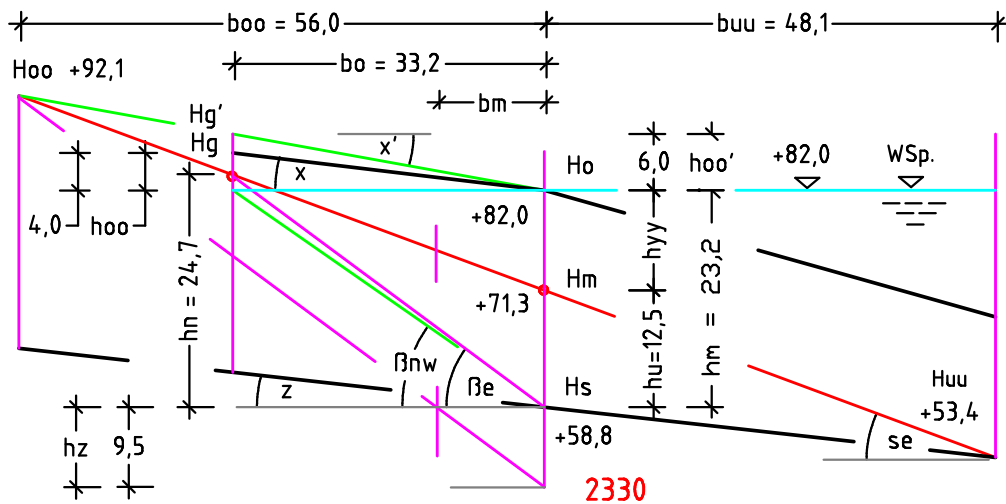


Abb. 135 zeigt die Höhen Hg und Hg' der Geländeebenen und die Lagen der Neigungsebene (magenta) und der Scherebene unter Auflast (rot).

Höhe hyy

$$hyy^2 / [2 \cdot (\tan se - \tan x_2')] = (hm - hyy)^2 / [2 \cdot (\tan se - \tan z)]$$

$$hyy^2 / [2 \cdot (0,372 - 0,181)] = (23,2 - hyy)^2 / [2 \cdot (0,372 - 0,112)]$$

$$hyy^2 = (23,2 - hyy)^2 \cdot 0,382 / 0,52$$

$$hyy = \sqrt{0,735} \cdot (23,2 - hyy) \quad hyy + 0,857 hyy - 19,89 = 0$$

$$hyy = 19,89 / 1,857 \sim 10,7 \quad \text{m} \quad 5.233$$

Höhe hu

$$hu = hm - hyy = 23,2 - 10,7 = 12,5 \quad \text{m} \quad 5.234$$

Breite boo

$$boo = hyy / (\tan se - \tan x_2')$$

$$boo = 10,7 / (0,372 - 0,181) = 56,0 \quad \text{m} \quad 5.235$$

Breite b_{uu}	$b_{uu} = hu / (\tan se - \tan z)$		
	$b_{uu} = 12,50 / (0,372 - 0,112) = 48,1$	m	5.236
Fläche A_{oo}	$A_{oo} = b_{oo} \cdot h_{yy} / 2 = 56,0 \cdot 10,7 / 2 = 299,7$	m ²	5.237
Fläche A_{uu}	$A_{uu} = b_{uu} \cdot hu / 2 = 48,1 \cdot 12,50 / 2 = 300,5$	m ²	5.238

Zur grafischen Darstellung der Kraftflächen und Kräfte, die gegen die fiktive Wand in der Bezugsachse der Stat. 2330 wirken, werden folgende Höhen und Breiten ermittelt und dann in Höhen m NN und Stationen umgerechnet.

Höhe hh	$hh = b_{oo} \cdot \tan \beta_e = 56,0 \cdot 0,764 = 42,8$	m	5.239
Höhe h_{xx}	$h_{xx} = b_{oo} \cdot \tan x_2' = 56,0 \cdot 0,181 = 10,1$	m	5.240
Höhe hz	$hz = hh - h_{xx} - hm = 42,8 - 10,1 - 23,2 = 9,5$	m	5.241
Höhe hm'	$hm' = hh - h_{xx} = 42,8 - 10,1 = 32,7$	m	5.242
Breite b_{ou}	$b_{ou} = hm' / \tan \beta_e = 32,7 / 0,764 = 42,8$	m	5.243
Breite b_{ou}'	$b_{ou}' = (hm' - h_{yy}) / \tan \beta_e$ $b_{ou}' = (32,7 - 10,7) / 0,764 = 28,8$	m	5.244
Breite bm	$bm = hz / \tan \beta_e = 9,5 / 0,764 = 12,4$	m	5.245
Fläche A_{ou}	$A_{ou} = (b_{ou} \cdot hm') / 2 = (42,8 \cdot 32,7) / 2 = 700,0$	m ²	5.246
Höhe H_{oo}	$H_{oo} = H_{o2} + h_{xx} = 82,0 + 10,1 = 92,1$	m NN	5.247
Stat. der Höhe H_{oo}	$\text{Stat. } 2330 - b_{oo} = 2330 - 56,0 = \text{Stat. } 2274$		5.248
Höhe H_m	$H_m = H_{o2} - h_{yy} = 82,0 - 10,7 = 71,3$	m NN	5.249
Höhe H_z	$H_z = H_{o2} - hm' = 82,0 - 32,7 = 49,3$	m NN	5.250
Höhe H_{uu}	$H_{uu} = H_{s2} - b_{uu} \cdot \tan z =$ $H_{uu} = 58,8 - 48,1 \cdot 0,112 = 53,4$	m NN	5.251
Stat. der Höhe H_{uu}	$\text{Stat. } 2330 + b_{uu} = 2330 + 48,1 \sim \text{Stat. } 2378$		5.252

Auch hier wird das leicht feuchte Verfüllmaterial zum ersten Mal dem aufsteigenden Grundwasser ausgesetzt, so dass mit der Höhe $hm = 23,2$ m (5.222) und dem Verdichtungsfaktor $\lambda = 17,8$ Vol.-% eine Bodensetzung zu ermitteln ist, siehe Versuchsanordnung 3, S. 44 und Zusammenstellung der Bodenkennwerte für Nachterstedt, S. 210.

Höhe Δh

$$\Delta h = hm \cdot \lambda / 100 = 23,2 \cdot 17,8 / 100 \sim 4,10 \quad \text{m} \quad 5.253$$

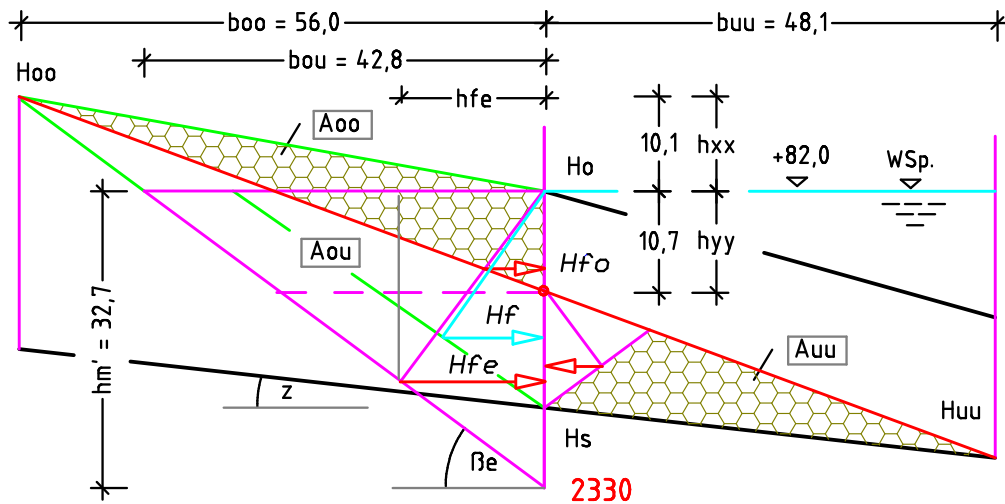


Abb. 136 zeigt im Bereich der Stat. 2330 die Lage, Richtung und Kraftmeter der Kräfte, wobei die Kräfte in kursiver Schrift dargestellt sind.

Ergebnis:

Die Scherebene unter Auflast steigt unter dem Winkel $se = 20,4^\circ$ (5.232) auf von der Höhe $Huu + 53,4$ m NN der Stat. 2274 über die Höhe $Hm + 71,3$ m NN an der Bezugsachse bis zu der Höhe $Hoo + 92,1$ m NN der Stat. 2378. Der Boden oberhalb dieser Scherebene kommt in Bewegung, sobald er die Reibungskraft des in dem Bereich der Stat. 2405 anstehenden Bodens überwinden hat. Die horizontale Kraft Hfo , die aus der Keilfläche $Aoo = 299,7$ m² (5.237) gegen die Bezugsachse der Stat. 2330 wirkt, kann über die Fläche $Aou = 700,0$ m² (5.246), die Dichte $pnwg = 1,467$ t/m³ (5.188) und die Fallbeschleunigung errechnet werden.

Unberücksichtigt blieb bei den vorstehenden Berechnungen die zu erwartende Bodensetzung in der ermittelten Höhe $\Delta h = 4,10$ m (5.253). Würde man diese Setzung in die Erdbewegung einbeziehen, fehlten Erdmassen in gleicher Höhe, die einen Widerstand gegen den abgleitenden Boden aufbauen könnten.

Die Kraftflächen wie sie in der Abb. 136 vorgestellt worden sind, wurden auf der Basis der realen Höhen und Breiten errechnet. Eine Kraftermittlung nach den fiktiven Geländehöhen wäre möglich, jedoch wären dann die Ergebnisse über den Faktor Vf'/Vfw wieder den realen Werten anzupassen. Trotz der unterschiedlichen Berechnungsverfahren dürften sich durch die Rückrechnung keine Kraftunterschiede einstellen.

Station 2230

Für den Profilschnitt (vorher) wurden die Höhen der Grubensohle $Hs_3 = 70,0$ m NN und der Geländeebene $Ho_3 + 95,0$ m NN über die Entfernung zwischen den Stationen und den Anstiegswinkel der Grubensohle $z = 6,4^\circ$ (5.203) bzw. der Geländeebene $x_2 = 6,9^\circ$ (5.221) ermittelt. Durch den Bergrutsch (nachher) senkte sich die ursprüngliche Geländeoberfläche, so dass an der Stat. 2230 das neue Seeufer entstand. Dem Gewässerrand wird die Höhe $Hw + 82,0$ m NN zugeordnet, da angenommen wird, dass die aus dem Hang abgeglittenen Erdmassen den WSp des Sees nur um wenige Zentimeter gehoben haben und dieser Höhenanstieg für die anstehenden Berechnungen vernachlässigbar ist.

Zur Darstellung des Profils werden berechnet:

Höhe hm → Sichthöhe des Bodens an der Bezugsachse

$$hm = Ho_3 - Hs_3 = 95,0 - 70,0 = 25,0 \quad \text{m} \quad 5.254$$

In diesem Fall wird die Höhe hm durch die angenommene Grundwasserebene $Hw + 82,0$ m NN geteilt, so dass die Höhen ho und hoo zu ermitteln und hier nach zur Bildung der fiktiven Geländeebene mit dem Faktor Vf'/Vfw zu multiplizieren sind. Die Breite bo errechnet sich über die Höhe $hw = Hw - Hs_3$.

Höhe hw

$$hw = Hw - Hs_3 = 82,0 - 70,0 = 12,0 \quad \text{m} \quad 5.255$$

Keilbreite bo → mit $\tan \beta_{nw}$ (5.184)

$$bo = hw / \tan \beta_{nw} = 12,0 / 0,698 \sim 17,2 \quad \text{m} \quad 5.256$$

Höhe ho → über Wasser an der Bezugsachse

$$ho = Ho_3 - Hs_3 = 95,0 - 82,0 = 13,0 \quad \text{m} \quad 5.257$$

Höhe ho' → über Wasser

$$ho' = ho \cdot Vf'/Vfw = 13,0 \cdot 0,466 / 0,311 \sim 19,5 \quad \text{m} \quad 5.258$$

Höhe hoo

$$hoo = ho + bo \cdot \tan x_2 = 13,0 + 17,2 \cdot 0,121 \sim 15,1 \quad \text{m} \quad 5.259$$

Höhe hoo'

$$hoo' = hoo \cdot Vf'/Vfw = 15,1 \cdot 0,466 / 0,311 \sim 22,6 \quad \text{m} \quad 5.260$$

	$hyy^2 = (31,5 - hyy)^2 \cdot 0,356 / 0,492 \quad \quad hyy = \sqrt{0,724 \cdot (31,5 - hyy)}$		
	$hyy = 26,8 / 1,851 \sim 14,5$	m	5.271
Höhe <i>hu</i>	$hu = hm^* - hyy = 31,5 - 14,5 = 17,0$	m	5.272
Breite <i>boo</i>	$boo = hyy / (\tan se - \tan x_3')$		
	$boo = 14,5 / (0,358 - 0,180) = 81,5$	m	5.273
Breite <i>buu</i>	$buu = hu / (\tan se - \tan z)$		
	$buu = 17,0 / (0,358 - 0,112) = 69,1$	m	5.274
Fläche <i>Aoo</i>	$Aoo = boo \cdot hyy / 2 = 81,5 \cdot 14,5 / 2 = 590,9$	m ²	5.275
Fläche <i>Auu</i>	$Auu = buu \cdot hu / 2 = 69,1 \cdot 17,0 / 2 = 587,4$	m ²	5.276
Höhe <i>hh</i>	$hh = boo \cdot \tan \beta e = 81,5 \cdot 0,716 = 58,4$	m	5.277
Für die Ermittlung der Kraftflächen und Kräfte, die gegen die fiktive Wand in der Bezugsachse der Stat. 2230 wirken, werden die Höhen und Breiten ermittelt und hiernach in Höhen m NN und Stationen umgerechnet.			
Höhe <i>hxx</i>	$hxx = boo \cdot \tan x_3' = 81,5 \cdot 0,180 = 14,7$	m	5.278
Höhe <i>hz</i>	$hz = hh - hxx - hm^* = 58,4 - 14,7 - 31,5 = 12,2$	m	5.279
Höhe <i>hm'</i>	$hm' = hh - hxx = 58,4 - 14,7 = 43,7$	m	5.280
Breite <i>bou</i>	$bou = hm' / \tan \beta e = 43,7 / 0,716 = 61,0$	m	5.281
Breite <i>bou'</i>	$bou' = (hm' - hyy) / \tan \beta e$		
	$bou' = (43,7 - 14,5) / 0,716 = 40,8$	m	5.282
Breite <i>bm</i>	$bm = hz / \tan \beta e = 12,2 / 0,716 = 17,0$	m	5.283
Fläche <i>Aou</i>	$Aou = (bou \cdot hm') / 2 = (61,0 \cdot 43,7) / 2 = 1332,9$	m ²	5.284
Höhe <i>Hoo</i>	$Hoo = Hs_3 + hm^* + hxx = 70 + 31,5 + 14,7 = 116,2$	m NN	5.285
Stat. der Höhe <i>Hoo</i>	$\text{Stat. 2230} - boo = 2230 - 81,5 = \text{Stat. 2148,5}$		5.286
Höhe <i>Hm</i>	$Hm = Hs_3 + hm^* - hyy = 70,0 + 31,5 - 14,5 = 87,0$	m NN	5.287

Höhe H_z

$$H_z = H_{s3} - h_z = 70,0 - 12,2 = 57,8 \quad \text{m NN} \quad 5.288$$

Höhe H_{uu}

$$H_{uu} = H_{s3} - b_{uu} \cdot \tan z =$$

$$H_{uu} = 70,0 - 69,1 \cdot 0,112 = 62,3 \quad \text{m NN} \quad 5.289$$

Stat. der Höhe H_{uu}

$$\text{Stat. } 2230 + b_{uu} = 2230 + 69,1 = \text{Stat. } 2299,1 \quad 5.290$$

An der Bezugsachse ist hier eine Bodenverdichtung durch das aufsteigende Grundwasser zu ermitteln über die Höhe $h_w = 12,0$ m (5.255) und den Verdichtungsfaktor $\lambda = 17,8$ Vol.-%, siehe Abschnitt 5.2.1, S. 203.

Höhe Δh

$$\Delta h = h_w \cdot \lambda / 100 = 12,0 \cdot 17,8 / 100 \sim 2,1 \quad \text{m} \quad 5.291$$

Um in den Abbildungen der Kräfte und ihrer Flächen die Kräfte besser von den Höhen unterscheiden zu können, sind die Kürzel der Kräfte in kursiver Schrift dargestellt, siehe Abb. 138 bis 140 und 142.

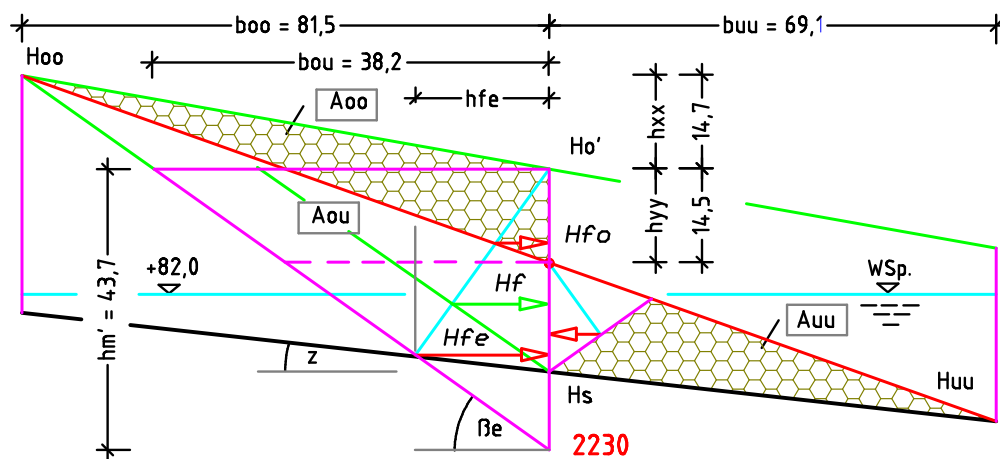


Abb. 138 zeigt im Bereich der Stat. 2230 die Lage, Richtung und Kraftmeter der Kräfte, wobei diese über die Fläche A_{ou} errechnet werden können.

Ergebnis:

Die Scherebene unter Auflast verläuft unter dem Winkel $se = 19,7^\circ$ (5.270) von der Höhe $H_{oo} +116,2$ m NN der Stat. 2148 über die Höhe $H_m +87,0$ m an der Bezugsachse bis zur Höhe $H_{uu} +62,3$ m NN der Stat. 2299. Auf ihr lagert in der Fläche $A_{oo} \sim 590$ m³ Boden (5.275), der abgleitet, sobald er seinen Halt an der Bezugsachse Stat. 2230 verliert. Des Weiteren ist durch den ersten Kontakt des leicht feuchten Bodens mit dem aufsteigenden Grundwasser an der Bezugsachse mit einer Bodensetzung in der Höhe $\Delta h \sim 2,1$ m (5.291) zu rechnen.

Für eine Kraftermittlung sind die einzelnen Höhen, Breiten und Winkel ermittelt und die Lage der Kräfte in der Abb. 139 dargestellt.

Station 2123

Zu dem Zeitpunkt des Bergrutsches trifft in der Stat. 2123 der angenommene Wasserspiegel des Concordiasees auf die geneigte Grubensohle: Damit endet der direkte Einfluss des Grundwassers auf den leicht feuchten Füllboden und die Höhen H_w und H_{s4} nehmen die Höhe = +82,0 m NN ein. Gleichzeitig entfällt die bisherige Volumenmehrung (V_f^*/V_{fw}), so dass die Höhe hx direkt über die Breite bo sowie die Winkel des feuchten Bodens $si = 22,6^\circ$ bzw. $\beta_i = 39,8^\circ$ (5.157) errechnet werden kann. Das Gelände steigt links der Bezugsachse von der Höhe $Ho_4 + 107,0$ m NN über die Länge $lg_4 = 93,00$ m zu der Höhe $H_{s5} + 128,0$ m NN auf. Rechts der Achse fällt die Geländeebene unter dem Winkel $x_2 = 6,9^\circ$ (5.221) ab. Die Grubensohle steigt weiter von der Höhe $H_{s4} + 82,0$ m NN unter den Winkel $z = 6,4^\circ$ (5.203) an.

Es werden berechnet:

Winkel x_4

$$\tan x_4 = (128,0 - 107,0) / lg_4 = 21,0 / 93,00 = 0,226 \quad 5.292$$

$$x_4 = 12,7^\circ \quad [-] \quad 5.293$$

Höhe hm

$$hm = Ho_4 - H_{s4} = 107,0 - 82,0 = 25,0 \quad m \quad 5.294$$

Keilbreite bo

$$bo = hm / \tan \beta_i = 25,0 / 0,832 = 30,0 \quad m \quad 5.295$$

Höhe hx

$$hx = bo \cdot \tan x_4 = 30,0 \cdot 0,226 = 6,8 \quad m \quad 5.296$$

Höhe hn

$$hn = hm + hx/4 = 25,0 + 6,8 / 4 = 26,7 \quad m \quad 5.297$$

Neigungswinkel β_e

$$\tan \beta_e = hn / bo = 26,7 / 30,0 = 0,890 \quad 5.298$$

$$\beta_e = 41,7^\circ \quad [-] \quad 5.299$$

Scherwinkel se

$$\tan se = (\tan \beta_e) / 2 = 0,890 / 2 = 0,445 \quad 5.300$$

$$se = 24,0^\circ \quad [-] \quad 5.301$$

Über die Höhe $hm = 26,7$ m (5.297) und die Winkel se , x_3 und $z = 6,4^\circ$ (5.203) werden die Höhe hyy sowie die Breiten boo und buu errechnet.

Höhe hyy

$$hyy^2 / [2 \cdot (\tan se - \tan x_4)] = (hm^* - hyy)^2 / [2 \cdot (\tan se - \tan z)]$$

Breite bou	$bou = hm' / \tan \beta e = 34,0 / 0,890 = 38,2$	m	5.312
Breite bou'	$bou' = (hm' - hyy) / \tan \beta e$ $bou' = (34,0 - 11,2) / 0,890 = 25,6$	m	5.313
Breite bm	$bm = hz / \tan \beta e = 9,0 / 0,890 = 10,1$	m	5.314
Fläche Aou	$Aou = (bou \cdot hm') / 2 = (38,2 \cdot 34,0) / 2 = 649,4$	m ²	5.315
Höhe Hoo	$Hoo = Ho_4 + hxx = 107,0 + 11,5 = 118,5$	m NN	5.316
Stat. der Höhe Hoo	Stat. 2123 - $bou = 2123 - 51,1 =$ Stat. 2071,9		5.317
Höhe Hm	$Hm = Hs_4 + hu = 82,0 + 13,8 = 95,8$	m NN	5.318
Höhe Hz	$Hz = Hs_4 - hz = 82,0 - 9,0 = 73,0$	m NN	5.319
Höhe Huu	$Huu = Hs_4 - buu \cdot \tan z =$ $Huu = 82,0 - 41,5 \cdot 0,112 = 77,4$	m NN	5.320

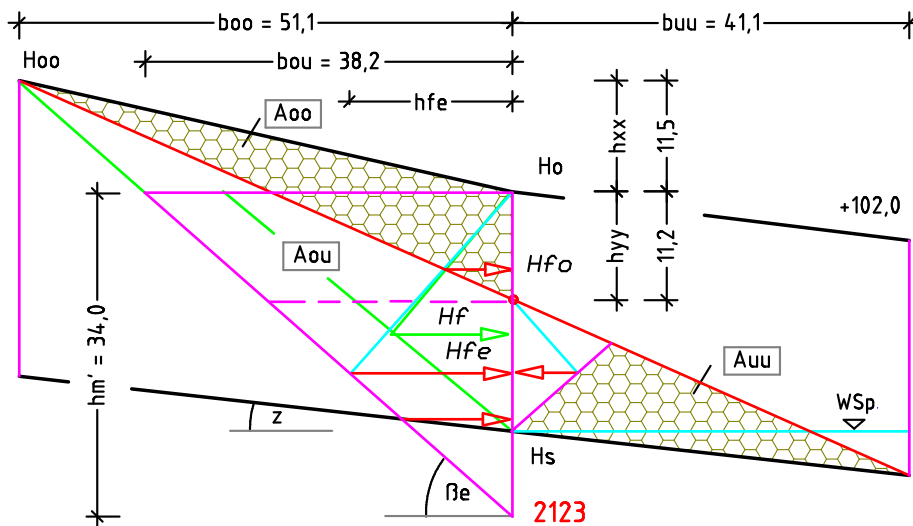


Abb. 140 zeigt die Lage, Richtung und Kraftmeter der Kräfte zu der Stat. 2123.

An der Bezugsachse Stat. 2123 wird eine Bodenverdichtung nicht angesetzt, weil der direkte Einfluss des Grundwassers auf das Füllmaterial hier endet und das über die Kapillare aufsteigende Wasser bei dieser Verdichtung des Bodens vernachlässigt wird.

Stat. der Höhe Huu	Stat. 2123 + $buu = 2123 + 41,5 \sim$ Stat. 2164	5.321
----------------------	--	-------

Ergebnis:

Die Scherebene unter Auflast verläuft unter dem Winkel $se = 24,0^\circ$ (5.301) von der Höhe $H_{00} + 118,5$ m NN der Stat. 2072 über die Höhe $H_m = 95,8$ m NN an der Bezugsachse zur Höhe $H_{uu} + 77,4$ m NN der Stat. 2164. Auf ihr lagert in der Fläche $A_{00} \sim 650$ m³ Boden (5.315), der abgleitet, sobald er seinen Halt an der Bezugsachse Stat. 2123 verliert. Für eine Kraftermittlung sind die einzelnen Höhen, Breiten und Winkel ermittelt und die Lage der Kräfte ist in Abb. 141 dargestellt. Eine Bodensetzung durch aufsteigendes Grundwasser erfolgt nicht.

Station 2030

An der Bezugsachse sind die Geländehöhe $H_{05} + 128,0$ m NN, die Sohlhöhe $H_{s5} + 92,4$ m NN und die Schichthöhe des Bodens $hm = 35,60$ m errechnet worden. Da links der Bezugsachse die Geländeebene unterschiedlich stark ansteigt, wird die Höhe hg über die Auflastfläche A ermittelt. Der Anstieg der Grubensohle erfolgt weiter unter dem Winkel $z = 6,4^\circ$ (5.203).

Für die Berechnung der Scherebene unter Auflast und ihren Winkel se sind die Eigenschaften des feuchten Bodens sowie der Neigungswinkel $\beta_i = 39,8^\circ$ (5.157) anzusetzen.

Höhe hm

$$hm = H_{05} - H_{s5} = 128,0 - 92,4 = 35,6 \quad \text{m} \quad 5.322$$

Keilbreite bo

$$bo = hm / \tan \beta_i = 35,6 / 0,832 = 42,8 \quad \text{m} \quad 5.323$$

Höhe hg → gemittelte Keilhöhe der Auflastfläche A .

$$hg = [5,0 \cdot 20,0 + (5,0 + 7,0) \cdot 30,0] / 50 = 9,2 \quad \text{m} \quad 5.324$$

Winkel x_5 → des Geländeanstiegs

$$\tan x_5 = hg / lg_5 = 9,2 / 50,0 = 0,184 \quad 5.325$$

$$x_5 = 10,4^\circ \quad [-] \quad 5.326$$

Höhe hx

$$hx = bo \cdot \tan x_5 = 42,8 \cdot 0,184 = 7,9 \quad \text{m} \quad 5.327$$

Höhe hn

$$hn = hm + hx/4 = 35,6 + 7,9/4 = 37,6 \quad \text{m} \quad 5.328$$

Neigungswinkel β_e

$$\tan \beta_e = hn / bo = 37,6 / 42,8 = 0,878 \quad 5.329$$

$$\beta_e = 41,3^\circ \quad [-] \quad 5.330$$

Scherwinkel se

$$\tan se = (\tan \beta_e) / 2 = 0,878 / 2 = 0,439 \quad 5.331$$

$$se = 23,7^\circ \quad [-] \quad 5.332$$

Höhe hz	$hz = hh - h_{xx} - hm = 59,5 - 12,0 - 35,6 = 11,9$	m	5.341
Höhe hm'	$hm' = hh - h_{xx} = 59,5 - 12,0 = 47,5$	m	5.342
Breite bou	$bou = hm' / \tan \beta_e = 47,5 / 0,878 = 54,1$	m	5.343
Breite bou'	$bou' = (hm' - h_{yy}) / \tan \beta_e$ $bou' = (47,5 - 16,7) / 0,878 = 35,1$	m	5.344
Breite bm	$bm = hz / \tan \beta_e = 11,9 / 0,878 = 13,6$	m	5.345
Fläche Aou	$Aou = (bou \cdot hm') / 2 = (54,1 \cdot 47,5) / 2 = 1285$	m ²	5.346
Höhe Hoo	$Hoo = Ho_5 + h_{xx} = 128,0 + 12,0 = 140,0$	m NN	5.347

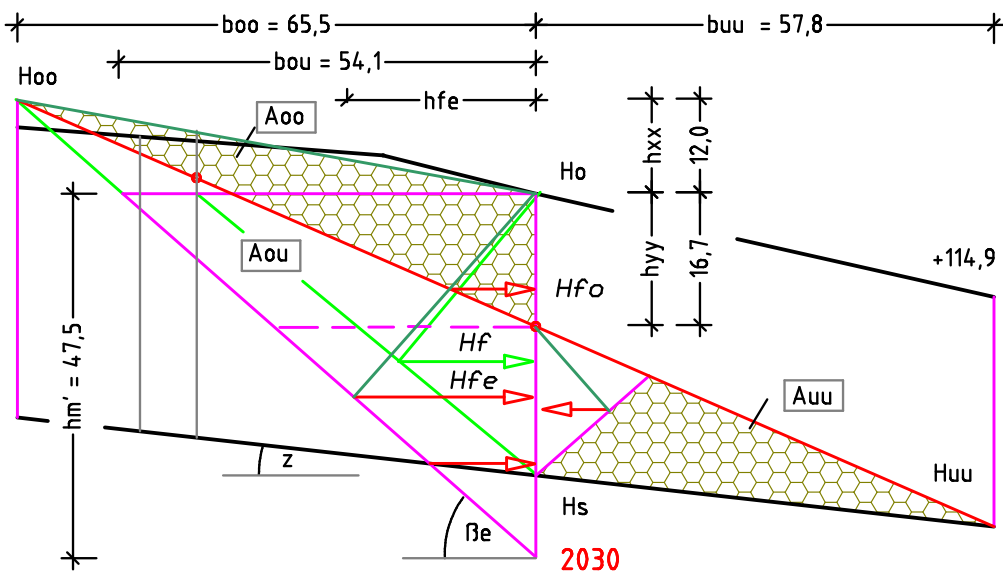


Abb. 142 zeigt die Lage, Richtung und Kraftmeter der Kräfte zu der Stat. 2030.

Stat. der Höhe Hoo	Stat. 2030 - $b_{oo} = 2030 - 65,5 \sim$ Stat. 1965		5.348
Höhe Hm	$Hm = H_{s5} + hu = 92,4 + 18,9 = 111,3$	m NN	5.349
Höhe Hz	$Hz = H_{s5} - hz = 92,4 - 11,9 = 80,5$	m NN	5.350
Höhe Huu	$Huu = H_{s5} - buu \cdot \tan z =$ $Huu = 92,4 - 57,8 \cdot 0,112 = 85,9$	m NN	5.351
Stat. der Höhe Huu	Stat. 2030 + $b_{uu} = 2030 + 57,8 \sim$ Stat. 2088		5.352

Ergebnis:

Die Scherebene unter Auflast verläuft unter dem Winkel $se = 23,7^\circ$ (5.332) von der Höhe $H_{oo} + 140,0$ m NN der Stat. 1965 über die Höhe $H_m + 111,3$ m NN an der Bezugsachse zur Höhe $H_{uu} + 85,9$ m NN der Stat. 2088. Auf ihr lagert in der Fläche $A_{oo} \sim 547$ m³ Boden (5.337), der abgleitet, sobald er seinen Halt an der Bezugsachse Stat. 2030 verliert. Für eine Kraftermittlung sind die einzelnen Höhen, Breiten und Winkel ermittelt und die Lage der Kräfte ist in Abb. 142 dargestellt. Eine Bodensetzung durch aufsteigendes Grundwasser erfolgt nicht.

In folgender Tabelle werden die zuvor errechneten Höhen und der Scherwinkel se der jeweiligen Station zugeordnet und hiernach in den Profilschnitt Abb. 143 übertragen.

Stat.	Abstand	Winkel	Höhe H_{oo}	boo	Höhe H_m	buu	Höhe H_{uu}
2480			42,0 m		42,0 m		42,0 m
	75 m						
2405		$se = 21,8^\circ$			57,0 m		
	75 m	(5.216)					
2330		$se = 20,4^\circ$	92,1 m	56,0 m	71,3 m	48,1 m	53,4 m
	100 m	(5.232)	(5.247)	(5.235)	(5.249)	(5.236)	(5.251)
2230		$se = 19,7^\circ$	116,2 m	81,5 m	87,0 m	69,1 m	62,3 m
	107 m	(5.270)	(5.285)	(5.273)	(5.287)	(5.274)	(5.289)
2123		$se = 24,0^\circ$	118,5 m	51,1 m	95,8 m	41,5 m	77,4 m
	93 m	(5.301)	(5.316)	(5.304)	(5.318)	(5.305)	(5.320)
2030		$se = 23,7^\circ$	140,0 m	65,5 m	111,3 m	57,8 m	85,9 m
		(5.332)	(5.347)	(5.335)	(5.349)	(5.336)	(5.351)

5.2.4 Ergebnis und Fazit zum Bergrutsch in Nachterstedt

Die Berechnungen zum Bergrutsch basieren auf eigenen Experimenten, die zeigen, dass Böden eine ‚natürliche Scherebene‘ ausbilden, wenn sie aus einem Erdblock abgleiten und hierbei nicht auflockern. Die Scherebenen verändern sich, wenn Erdblöcke durch Erdkeile (geneigte Oberfläche) belastet werden. Eine weitere Kraftverschiebung entsteht, wenn Erdmassen statt auf einer horizontalen Ebene auf einer durchgehend geneigten Ebene (Felsschicht) lagern, vor allem dann, wenn diese Sperrschicht einen weiteren Abbau der vertikalen Kräfte verhindert und diese nicht abgebauten vertikalen Kräfte in horizontale Kräfte umwandelt. Aufsteigendes Grundwasser verstärkt den Umbau von Kräf-

ße der Kraftfläche $Aou \sim 650 \text{ m}^2$ einnahm, stieg sie in der Stat. 2030 sprunghaft auf die Fläche $Aou \sim 1285 \text{ m}^2$ (5.346) an. Diese Mehrung der Kraftfläche und damit auch der horizontalen Kräfte werden wie die zu erwartende Bodensetzung infolge des parallel zum See aufsteigenden Grundwassers als Faktoren angesehen, die letztlich den Bergrutsch ausgelöst haben.

In der vorstehenden Abbildung ist die Höhe Hm der Berechnungsabschnitte an den Stationen aufgetragen und miteinander verbunden worden. Die rote Linie zeigt die Lage der Scherebene unter Auflast an. Sie weicht nur in einem geringen Maß von der Linie (magenta) ab, welche für den Bergrutsch aus den Plänen des Deutschen Zentrums für Luft- und Raumfahrt (vorher/nachher) übernommen worden ist. Zwischen den Stat. 2230 und 2480 wird mit der grünen Linie die Höhe der Geländeauffüllung angedeutet, die sich nach dem Bergrutsch eingestellt haben müsste.

Die Ursachen, die zum Bergrutsch in Nachterstedt geführt haben, könnten auf folgenden Faktoren beruhen:

- Grubenauffüllung mit unverdichteten Böden (Haldenmaterial),
- Schaffung und Anhebung eines Grundwasserspiegels in dem Hang durch das Aufstauen des Concordiasees,
- erstmaliges Eintauchen des Bodens der Grubenauffüllung in das Grundwasser mit den damit verbundenen Änderungen der Bodeneigenschaften, d. h. aus einem eher standfesten leicht feuchten Boden wird ein nasser Boden unter Wasser,
- Verlust an Dichte bei Böden unter Wasser infolge des natürlichen physikalischen Auftriebs steigert die natürliche Verdichtung des Bodens und senkt damit die Hangoberfläche ab,
- Reduzierung des Erdwiderstands im Boden und hohe Instabilität des Hangs durch Wasseraufnahme des Bodens.

Die Berechnungen zu dem Bergrutsch in Nachterstedt folgten der Versuchsanordnung 3, wo trockener Sand sich durch die bloße Wasserzugabe um $\lambda = 14,2$ Vol.-% (2.22) verdichtet hat, siehe Abschnitt 2.4.3, Seite 44.

Ausschlaggebend für den natürlichen Wandel der Bodeneigenschaften war der erste Kontakt des eher trockenen und unverdichteten Haldenmaterials mit dem aufsteigenden Wasser des Concordiasees. Die Wasseraufnahme des Bodens führten letztlich zu einem völlig durchnässten und verdichteten Erdreich und zu der Umbildung der Scherebene im Hang. Nicht zu der Erklärung des Bergrutsches werden Grundwasserströme – ggf. aus dem Harz – benötigt, wie Geologen diese gern als Ursache des Unglücks bemühen.

Außerdem zeigt die Übereinstimmung der tatsächlichen mit der errechneten Scherebene (Abb. 143), dass sich das Gefahrenpotenzial eines möglichen Bergrutsches mit den Vorgaben der neuen Erddruck-Theorie errechnen lässt. Die Vorgaben der derzeitigen Erddruck-Lehre erlauben keinen rechnerischen Nachweis über die Rutschgefahr in dem Hang.

6 Zusammenfassung

Langjährige eigene Berufserfahrungen führten zur Erkenntnis, dass selbst eine strikte Anwendung der deutschen Normen und Regelwerke für das Bauwesen zu erheblichen Bauschäden führen kann. Mit den Artikeln „Erddruck nach dem physikalischen Gesetz der geneigten Ebene“ [16] und „Zeit für eine neue Erddruck-Lehre“ [17] wurde auf diesen Sachverhalt aufmerksam gemacht. Letztlich gaben Anlass zu dieser Studie der Einsturz des Historischen Archivs der Stadt Köln beim U-Bahnbau und der Bergrutsch in Nachterstedt beim Aufstauen des Concordiasees mit getöteten Personen und hohen Sachschäden.

Als Aufgabe wurde gesehen, möglichen Unstimmigkeiten in den Berechnungsgrundlagen der Erddruck-Lehre [1] gezielter nachzugehen und hierbei Unterschiede zwischen den Thesen von Lehre und neuer Theorie aufzuzeigen. Einleitend werden die Definitionen zu Erddruck-Lehre und neuer Erddruck-Theorie vorgestellt und miteinander verglichen, siehe Kapitel 2.

6.1 Grundlagen von Erddruck-Lehre und neuer Theorie

Die Lehre sieht bei Behinderung der Querkontraktion im Boden, dass sich aus dem Erdeigengewicht nur vertikale Kräfte entwickeln und diese Kräfte sich in tieferen Schichtungen auch nur vertikal abbauen können. Erst durch auf die Geländeoberfläche aufgetragene Kräfte oder bei nachgiebiger Stützung weicht der Boden seitlich aus und erzeugt vertikale und horizontale Spannungen. Zudem erkennt die Lehre ein Ungleichgewicht der Erdspannungen im Erdreich und gleicht dieses über den empirischen Erddruckbeiwert K aus. Sie legt die horizontale Kraft (Erddruckkraft) gegen die stützende Wand für alle Bodenarten gleich auf den unteren Drittelpunkt der Neigungsebene (Bruchgeraden) und zeigt an, dass eine Wandreibung und ggf. eine Kohäsion die Erdspannung und den Winkel der Erddruckkraft gegen die Wand beeinflussen können. Die Erddruck-Theorie stimmt der Lehre zu, dass bei einer Auflast auf ein Felsgestein, Beton etc. speziell eine Materialbeanspruchung parallel zur senkrechten Krafrichtung entsteht. Jedoch bei allen anderen Bodenarten, mit oder ohne Auflast, bilden sich vertikale und horizontale Spannungen/Kräfte in dem Erdreich aus. Hierbei wird davon ausgegangen, dass Böden mehr oder weniger Zerfallsprodukte von Ursprungsgesteinen sind, die sich aus einem Feststoff- und einem Porenvolumen zusammensetzen. Wählt man als Feststoffvolumen

einen Kubikmeter und fügt ein bekanntes Porenvolumen dazu, so wird sich wohl das Gesamtvolumen, nicht aber das Feststoffvolumen verändern. Normiert man das vergrößerte Volumen, entsteht eine neue Bodenart. Somit wird ein der Erosion ausgesetztes Felsgestein ein hohes Feststoffvolumen und ein geringes Porenvolumen aufweisen, während sich das Größenverhältnis der Volumina/Raumteile umkehrt, z. B. bei Staub als eine Bodenart. Vor diesem Hintergrund lässt sich ableiten, dass das Verhältnis zwischen Feststoffvolumen V_f und Porenvolumen V_l nicht nur die Bodendichte, sondern auch den Winkel der inneren Reibung ermittelbar macht.

Die neue Erddruck-Theorie baut auf den reinen Grundlagen der Physik auf und benötigt weder empirische Erdruhebeiwerte zur Gleichgewichtsherstellung im Erdreich noch eine Mobilisierung horizontaler Spannungen durch Wanddrehungen oder Wandverschiebungen.

6.2 Kraftermittlung und Kraftverteilung

Die Erddruck-Lehre gibt vor, dass sie zur Erddruckermittlung das sogenannte Mohr-Coulomb'sche Bruchkriterium (Schergesetz) nutzt, welches auf den Theorien von Coulomb und Mohr aufbaue. Zu der klassischen Erddruck-Theorie von Coulomb (Abb. 9; S. 25), die als Skizze im Original vorliegt, schreibt die Lehre, dass ihr „*die Spannungsverteilung bei dieser Betrachtungsweise unbekannt sei!*“, siehe [1: S. P.10] und Abschnitt 2.3.3.

Stattdessen kombiniert die Lehre zur Erddruckermittlung eine Fließbedingung, die dem Verfasser im Original unbekannt ist, mit dem Mohr'schen Spannungskreis und stellt diese Verbindung als das „Mohr-Coulomb'sche Bruchkriterium“ dar. Die Lehre nutzt u. a. den Mohr'schen Spannungskreis um die Hauptspannung $\sigma_{1\max}$ (Hangabtriebskraft $T = FH$) in die horizontale Ebene zu bringen um hieraus die Winkelgrößen δ_x und δ_z und andere Werte zu bestimmen. Die Lehre übersieht hierbei, dass sich weder die Gewichtskraft Ge noch ihre Teilkräfte – wie die Normalkraft FN und die Hangabtriebskraft FH – drehen lassen, siehe ‚Berechnungsbeispiel‘ und Abb. 13 und 14, S. 38.

Zudem wurde über die Versuchsanordnungen 4 und 5 nachgewiesen, dass Böden beim Abgleiten aus einem stehenden in einen liegenden Erdkeil keiner Fließbedingung unterliegen. Auch konnte eine Analogie zwischen dem Bruchkriterium und der ‚physikalischen Ebene‘ nicht erkannt werden, wie die Lehre

diese beschreibt. Auch lässt sich nicht bestätigen, dass für alle Bodenarten gleich, die Erddruckkraft in dem unteren Drittpunkt der Bruchgeraden gegen die lotrechte Wand angreift und deren Krafrichtung durch eine Wandreibung oder Kohäsion verändert werden kann, siehe Abschnitte 2.3.7 und 2.3.8.

Zu der Kraftermittlung und Kraftverteilung der Lehre bleibt festzustellen, dass diese weder der klassischen Erddruck-Theorie von Coulomb folgen noch auf einer physikalischen Grundlage aufbauen. Damit dürften die derzeitigen Berechnungsmodelle zur Ermittlung des Erddrucks ihren Anspruch verloren haben, den Stand der Technik zu repräsentieren.

Gültig bleibt die klassische Erddruck-Theorie von Coulomb (Abb. 9; S. 25), die übernommen und erweitert worden ist als neue Erddruck-Theorie. Diese zeigt, dass Böden in freier Natur je nach Bodenart Neigungswinkel zwischen $\beta_t \sim 0,6^\circ$ bis $89,4^\circ$ ausbilden und sich die Kraftverteilung im Erdreich nicht unter dem derzeitigen maximalen Anstiegswinkel $\alpha < 45^\circ$ der ‚geneigten Ebene‘ erzwingen lässt. Auch greift die Erddruckkraft stets horizontal gegen die Wand an, wobei die Angriffshöhe h_v entsprechend der unterschiedlichen Neigungswinkeln variierten und sich nicht auf die Höhe $h/3$ festschreiben lässt.

6.3 Bodeneigenschaften und ihre Ermittlung

Um bei der Erddruckermittlung auf empirische Bodenkenngrößen verzichten zu können, wurden Versuchsanordnungen mit trockenen, feuchten und nassen Böden über sowie unter Wasser in einem Glaskasten durchgeführt. Geleitet wurden diese Versuche von der Vorgabe, dass einem idealisierten harten Basaltgestein im trockenen Zustand die Dichte $\rho_{tg} = 3,00 \text{ t/m}^3$ und damit das Feststoffvolumen V_f von 100% zugeordnet werden kann [6: S. 2.2–2 und 15: S. 605]. Durch die Zugabe eines Porenvolumens V_l und anschließender Normierung entsteht eine Bodenart, deren Dichte, Neigungswinkel und Scherwinkel berechenbar werden. Füllt man die Bodenporen teilweise oder vollständige mit Wasser, entstehen feuchte oder nasse Böden, deren Kennwerte in analoger Art zu den trockenen Böden ermittelt werden können. Zur Absicherung dieses Berechnungsverfahrens wurden mit unterschiedlichen Bodenarten und Wasser in einem Glaskasten Versuche durchgeführt. Sie belegen, dass sich

über das Verhältnis von Feststoff- zu Porenvolumen die Reibungszahl μ , der Neigungswinkel β , der Scherwinkel s und die Dichte von Böden berechnen lassen. Zum vereinfachten Vergleich dieser Ergebnisse sind die Anlagen 2 und 3 als Anhang eingefügt, die näher beschrieben worden sind im Unterkapitel 3.4.

Mit der neuen Berechnungsart der Bodenkenngrößen ist es möglich, die bisherige Klassifizierung der Böden nach Ursprungsgestein, Kornzusammensetzung und Korngrößen ablösen. Ebenso überflüssig sind die Unterscheidung nichtbindiger und bindiger Böden und die wenig aussagekräftigen Bodenbeschreibungen, wie fest, steif, weich breiig, flüssig, schluffig.

6.4 Anwendbarkeit der neuen Erddruck-Theorie

Wie dargestellt, folgt die neue Erddruck-Theorie den reinen Grundlagen der Physik. Nach diesen Vorgaben lassen sich alle Bauteile statisch bestimmen, die dem Erddruck ausgesetzt sind. Um darzustellen, dass sich die gewonnenen Erkenntnisse aus den Versuchsanordnungen in die Praxis übertragen lassen, wurde auf rechnerischem Weg den Schadensursachen zum Einsturz des Historischen Archivs der Stadt Köln und des Bergrutsches in Nachterstedt nachgegangen.

- Bei dem U-Bahnbau in Köln konnten Bruchstellen in einer Schlitzwand nachgewiesen werden, die ursächlich zum Einsturz des Archivs führte, siehe hierzu Abb. 120, S. 196 und Abb. 121, S. 200 sowie [F] und [G].
- In Nachterstedt wurden durch das aufstauende Wasser des Concordiasees die Bodeneigenschaften in dem Bereich der Grubenauffüllung derart verändert, dass ein Hangrutsch nicht mehr zu verhindern war. Nach den zur Verfügung stehenden Unterlagen wurde zur Grubenauffüllung ein eher trockenes Füllmaterial unverdichtet eingebaut. Zeitversetzt zu dem aufstauenden Seewasser stieg das Grundwasser in dem Auffüllbereich, so dass das eher trockene unverdichtete Füllmaterial zum ersten Mal unter den Grundwasserspiegel kam. Nach dem archimedischen Prinzip reduziert sich hierdurch die Bodendichte, was u. a. zu einer steileren Scherebene und einer Absenkung der Scherebene innerhalb des Hangs führt. Die Berechnungsart zum Hangrutsch wird dadurch bestätigt, dass die ermittelte Scherebene und die dargestellte Rutschebene in dem Profilschnitt ‚nacher‘ überwiegend identisch verlaufen, siehe Abb. 143, S. 232.

In beiden Fällen gibt es eindeutige Ergebnisse, die unter Anwendung der derzeitigen Regelwerke der Geotechnik nicht zu erbringen gewesen wären, d. h. aber auch, selbst unter Einhaltung der Regelwerke wären beide Unglücke nicht vermeidbar gewesen. Damit bleibt festzustellen, dass die Kraftermittlungen nach Erddruck-Theorie nicht nur exakte Berechnungsgrundlagen zur Bemessung von Bauwerken bringen, sondern auch Anwendungsbereiche erschließen, die weit über den Rahmen der derzeitigen Erddruck-Lehre hinausgehen.

Nach dem Ergebnis der Studie dürfte Anlass bestehen, in der Fachwelt über die aufgezeigten Fehleinschätzungen in den Grundlagen der Erddruck-Lehre und der hieraus entwickelten Berechnungsvorlage ‚Eurocode 7‘ zu diskutieren.

Es ist zudem bemerkenswert, dass es bis heute trotz vieler anderer Publikationen zum Thema ‚Erddruck‘ keine geschlossene Erddruck-Theorie gibt, bei der man auf empirische Werte bei der Erddruckberechnung verzichten kann. Die vorgestellte neue Erddruck-Ermittlung hingegen ergänzt das Mehrphasensystem der Festkörperphysik, benötigt somit keine empirischen Bodenkennwerte und folgt ausschließlich den anerkannten physikalischen Grundlagen. Bei dieser Theorie steht das reale Bodenverhalten im Einklang mit den errechneten Erdkräften.

Begriffe zur Erddruck-Theorie

Um Verwechslungen bei der Gegenüberstellung der Erddruck-Lehre und der neuen Erddruck-Theorie möglichst zu vermeiden, sind bestehende Begriffe durch andere Bezeichnungen ersetzt worden. Die neuen Begriffe und Begriffsbedeutungen werden nachstehend beschrieben.

Sollte die neue Erddruck-Theorie Anerkennung in der Fachwelt finden, wäre eine Angleichung der gewählten Begriffe und deren Kürzel an die bestehenden Normen der Physik, der Mathematik sowie der Geologie auf einfache Art durchführbar.

- **Boden** ist als Oberbegriff für alle Bodenarten zu verstehen, vom harten Felsgestein bis hin zum Urstaub im trockenen Zustand oder behaftet mit Adsorptions- oder Adhäsionswasser.
- **Urstaub** beschreibt eine Bodenart, die als Endprodukt der Destruktion eines harten Felsgesteins gesehen wird, d. h. 1 m^3 Felsgestein verteilt sich auf eine Staubmenge von 100 m^3 (Festkörperanteil von Staub $V_f = 0,01 \text{ m}^3$).
- **Standfeste Bodenkörper** besitzen im Gegensatz zu ‚festen oder starren Körpern‘ mehr oder weniger Porenanteile V_l , die zur Instabilität der Bodenart und damit zum Spannungsaufbau im Erdreich führen.
- **Raumteile** sind geeignet, Böden in ihre Bestandteile zu zerlegen und neu über die Volumina von Feststoff V_f und Poren V_l zu formen. Hierbei wird erkennbar, dass jede Destruktion des Urgesteins dessen Volumen verändert und damit eine neue Bodenart entstehen lässt. Da das Feststoffvolumen gleich bleibt, muss sich das Porenvolumen an das neue Volumen anpassen. Bodenverdichtungen oder Bodenauflockerungen stehen damit ausschließlich im Zusammenhang mit dem Porenvolumen. Auch nur das Porenvolumen kann Wasser aufnehmen oder wieder abgeben.
- **Gewichtsteile** ergeben sich aus der Multiplikation der Raumteile eines Bodens mit den anteiligen Dichten des harten Basaltgesteins $p_{90} = 3,00 \text{ t/m}^3$, des Wassers $p_w = 1,00 \text{ t/m}^3$ und/oder der Luft $p_0 = 0,00 \text{ t/m}^3$.
- **Dichte** errechnet sich über die Addition der Gewichtsteile eines Bodens, wobei das Feststoffvolumen V_f mit der Steindichte $p_{90} = 3,00 \text{ t/m}^3$ und der Fallbeschleunigung g multipliziert wird, das Porenwasser mit der Wasserdichte $p_w = 1,00 \text{ t/m}^3$ und g sowie die vom Wasser unbesetzten Poren mit der Gasdichte $p_0 = 0,00 \text{ t/m}^3$.

- **Erdblock** stellt einen Erdkörper dar, dessen Volumen $V = a \cdot b \cdot h$ dividiert durch die Berechnungstiefe a die Ansichtsfläche A ($A = V/a$) und dessen Blockhöhe h dividiert durch die Blockbreite b den Tangens des Neigungswinkels β ergibt. Die natürliche Neigungs- bzw. Reibungsebene teilt die Ansichtsfläche A diagonal, so dass in der Keilfläche oberhalb der Neigungsebene die aktiven Kräfte wirken und in der Keilfläche unterhalb der Neigungsebene die reaktiven Kräfte. Die aktiven und die reaktiven Erdspannungen wirken in konträre Richtungen und halten damit das Gleichgewicht in dem Erdblock.
- **Geländeebene** entspricht der Geländeoberkante und zeigt in der Regel die obere Begrenzung eines Erdblocks an.
- **Basisebene** stellt die untere Begrenzung des Erdblocks dar, wobei die Block- oder Keilhöhe h den Abstand zur Geländeebene bestimmt.
- **Neigungs- bzw. Reibungsebene** mit dem **Neigungswinkel** β teilt die Fläche des Erdkörpers diagonal in den aktiven und den reaktiven Erdkeil.
- **Hangabtriebsebene** mit der **Hangabtriebskraft** FH und der gegenläufigen **Reaktionskraft** Rv belegt den unteren Abschnitt der Neigungsebene. Sie beginnt dort, wo die Normalkraftebene rechtwinklig auf die Neigungsebene aufsetzt, und endet auf der Basisebene am Fußpunkt des Keils.
- **Normalkraftebene** im stehenden Erdkeil beginnt an der lotrechten Wand (Bezugsachse) in der Höhe der Geländeebene und fällt unter dem Winkel $(90^\circ - \beta)$ bis zur Neigungsebene ab, wo sie rechtwinklig auf die Neigungsebene auftrifft. Die Normalkraft wird mit FN bezeichnet.
- **Scherebene** bildet sich in freier Natur aus, wenn dem Boden innerhalb eines Erdblocks der Halt an der ihn stützenden Wand genommen wird und er zu einem liegenden Erdkeil abgleitet. Die Oberfläche des Keils wird als Scherebene benannt, vorausgesetzt, der Boden lockert durch seine Bewegung nicht auf. Der Scherwinkel s errechnet sich aus $\tan s = (\tan \beta) / 2$.
- **Schütt- oder Böschungsebene** grenzt wie die Scherebene den liegenden Erdkeil nach oben hin ab. Die Begriffe wurden gewählt, um damit anzuzeigen, dass sich das Bodenvolumen durch Auflockerung oder Verdichtung verändert hat.
- **Neigungswinkel** β wird gemessen zwischen der Basisebene und der aufsteigenden Neigungsebene. Sein Tangens entspricht der Reibungszahl μ der

jeweiligen Bodenart im trockenen Zustand. Natürliche oder künstliche Einflüsse auf den Bodenhaushalt (Auflockerungen oder Verdichtungen) verändern den Neigungswinkel in ähnlicher Weise wie die Aufnahme von Porenwasser oder der Auftrieb bei Böden unter Wasser.

- **Scherwinkel** s errechnet sich über den halben Tangens des Neigungswinkels und steht damit im direkten Verhältnis zur Erdmasse eines Erdkeils, d. h. gleitet Boden aus einem ‚stehenden Erdkeil‘ ab, so verbleibt die halbe Masse im stehenden Keil und die andere Hälfte bewegt sich über die lotrechte Wand hinweg zur Basisebene.
- **Kraftzahl** gi ist eine Berechnungsgröße, mit der sich Kräfte innerhalb eines Erdkeils in Kraftmeter oder Kraftmeter in Kräfte umrechnen und maßstäblich darstellen lassen. Die Kraftzahl wird mit den Buchstabenergänzungen git , gii , gin und giw bedacht.

Der Umfang der Anwendungsmöglichkeiten der ‚Erddruck-Theorie‘ macht es erforderlich, die zahlreichen Begriffe durch Buchstaben oder Buchstabenfolgen zu erweitern. So wird der jeweilige Bodenzustand dargestellt mit den Buchstaben t = trocken, i = mit Wasser infiltriert und n = nass, d. h. Poren sind mit Wasser vollständig angereichert. So wurden gewählt: Trockendichte ptg , Feuchtdichte pig , Nassdichte png , Feuchtdichte unter Wasser $piwg$ und Nassdichte unter Wasser $pnwg$.

Ferner werden bezeichnet: das harte Felsgestein mit f , das Wasser mit w und Gase/Luft mit l . Andere Buchstaben weisen auf die Lage der Maße, Flächen oder Kräfte im Berechnungssystem hin (links l , mittig m , rechts r , oben o und unten u). Der Buchstabe e zeigt an, dass eine Auflast/Ersatzlast den Erdkeil belastet.

Weitere Namensgebungen werden an gegebener Stelle vorgestellt.

Literaturangaben

Verwendete Quellen

Zur Darstellung der ‚Lehrmeinung zum Erddruck‘ wurden vorzugsweise die nachstehenden Abhandlungen der Technischen Universität München (TUM) gewählt.

- [1] TUM München, Lehrstuhl für Grundbau, Bodenmechanik, Felsmechanik und Tunnelbau – Zentrum Geotechnik, <http://www.lrz.de/> (PDFs)
 - E** Klassifikation von Boden und Fels
 - G** Flachgründungen (DIN 1054:2005)
 - I** Scherfestigkeit
 - J** Grundlagen geotechnischer Entwürfe und Ausführungen
 - K** Einfache Flachgründungen
 - N** Tiefgründungen, Pfähle und Anker
 - P** Erddruck
 - S** Statik von Tunnelbauwerken
- [2] Christian Berger u. Johannes Lohaus (2004), Zustand der Kanalisation – Ergebnisse der DWA-Umfrage; Korrespondenz Abwasser Abfall; ISSN: 1616–430X; Jg. 52, Nr. 5, 2005, S. 528-539 (10).
- [3] Christian Berger u. Christian Falk (2009), Deutsche Vereinigung für Wasserwirtschaft, Abwasser und Abfall e.V. (DWA), Zustand der Kanalisation in Deutschland – Ergebnisse der DWA-Umfrage 2009’, http://de.dwa.de/tl_files/_media/content/PDFs/Abteilung_AuG/Zustand-der-Kanalisation-in-Deutschland-2009.pdf.
- [4] Wolfgang Fellin (2007), Bodenmechanik und Grundbau, Übung 1, Skript, Universität Innsbruck, <ftp://ftp.uibk.ac.at/pub/uni-innsbruck/igt/skripten/bmgb1.pdf>
- [5] H. Frank (6:2001), Bodenmechanik und Erddruckberechnung, Skript, Technische Hochschule Mittelhessen (Gießen – Friedberg), <http://homepages.thm.de/~hg8195/Skripte/Boden.pdf>
- [6] Technische Universität Darmstadt, Werkstoffe und Mechanik im Bauwesen, (3:2003), http://www.iwmb.tu-darmstadt.de/media/iwmb/l/boden_ufm/Kap_2_-_Bodenphysik.pdf
- [7] Frank Jablonski, Mohr’scher Spannungskreis (Seiten 385-412), Skript, Uni Bremen, Natur und Technik, <http://www.mechanik.uni-bremen.de>
- [8] Theodor Triantafyllidis (4:2011), Formelsammlung zur Vorlesung Bodenmechanik 1, Karlsruher Institut für Technologie, http://www.ibf.uni-karlsruhe.de/downloads/skripten/bm1_formeln.pdf
- [9] Heiner Siedel (3:2012), Einführung Technische Gesteinskunde, Skript, TU Dresden, http://www.tu-dresden.de/die_tu_dresden/fakultaeten/fakultaet_bauingenieurwesen/geotechnik/geologie/studium/vorlesungen/geologie/dateien/gestkunde/abschnitt1.pdf
- [10] Heiner Siedel (3:2012), Technische Eigenschaften von Naturstein und Prüfverfahren, Skript, TU Dresden, http://tu-dresden.de/die_tu_dresden/fakultaeten/fakultaet_bauingenieurwesen/geotechnik/geologie/studium/vorlesungen/geologie/dateien/gestkunde/abschnitt3.pdf
- [11] So entwickelte sich das Desaster von Nachterstedt, Zentrum für Satellitengestützte Kriseninformati-on, Vorbereitung des Tagebaurestloches Nachterstedt/Schadeleben für die Flutung, <http://www.ecm-ing.com/ursachen/> und <http://www.ecm-ing.com/grundbruch/>
- [12] EffJot (7:2009), Geologische Karten zu Nachterstedt, <http://blog.effjot.net/2009/07/geologische-karten-zu-nachterstedt/>

Verwendete Quellen

- [13] Mitteldeutsche Zeitung (04.05.2013), Gutachterstreit schwelt weiter, Artikel
www.mz-web.de/Unfall-Nachterstedt
- [14] Mitteldeutsche Zeitung (29.11.2013), LMBV-Gutachten schließt Altbergbau als Unglücksursache aus, Artikel mit Hinweisen auf Lagerungsdichte des Verfüllmaterials und Grundwasserströme,
http://www.mdr.de/nachrichten/gutachten-nachterstedt100_zc-e9a9d57e_zs-6c4417e7.htm
- [15] Horst Kuchling (2001), Taschenbuch der Physik, 17. Auflage, Buchverlag Leipzig
ISBN 3-446-21760-6.
- [16] Norbert Giesler (3:2005), Erddruck nach dem physikalischen Gesetz der ‚geneigten Ebene‘, Artikel, tis – Tiefbau – Ingenieurbau – Straßenbau,
six4.bauverlag.de/sixcms_4/sixcms_upload/media/.../giesler_0305.pdferddruck
- [17] Norbert Giesler (3:2010), Zeit für eine neue Erddruck-Lehre, Artikel, tis – Tiefbau – Ingenieurbau – Straßenbau, www.unitracc.de/aktuelles/artikel/zeit-fuer-eine-neue-erddruck-lehre?

Zeitnahe Literatur

Zeitnahe Literatur zum Erddruck, die sich des **Erdbeiwertes K_0** oder der **Mohr-Coulomb'schen Bruchbedingung** bedient, wurde vom Verfasser zur Kenntnis genommen, aber nicht weiter verfolgt, da beide Begriffe auf eine unveränderte Übernahme der derzeitigen Erddruck-Lehre hindeuten.

Die aufgeführte zeitnahe Literatur beinhaltet wohl Ergänzungen zur Erddruck-Lehre, die aber nach Sicht des Verfassers Neuerungen im Sinne der Erddruck-Theorie nicht erkennen lassen.

Bernd Schuppener (3:2013), Grundlagen für geotechnische Nachweise im Verkehrswasserbau, Bundesanstalt für Wasserbau, Normen-Handbuch zu Eurocode 7 und DIN 1054:2010,
http://vzb.baw.de/publikationen.php?file=mitteilungsblaetter/0/schuppener_Normen-Handbuch.pdf

Christian Moormann (4:2010), Die geotechnische Normung auf dem Weg zum Eurocode 7, Universität Stuttgart, <http://www.uni-stuttgart.de/igs/content/publications/191.pdf>

Weitere Literatur

Aktionsgemeinschaft Impulse pro Kanalbau München (4:2013); Forderungskatalog – Impulse pro Kanalbau, <http://www.impulse-pro-kanalbau.de/app>

Jean-Pierre Burg (2008/2009), Festigkeitsprofile der Lithosphäre, Skript, Eidgenössische Technische Hochschule Zürich, Struktural Geologie und Tektonik,
http://www.structuralgeology.ethz.ch/BurgJeanPierre_rheolprof.pdf

H. Czurda u. R. Biehl (3:2000), Erd- und grundbautechnische Aspekte beim Bau von Logistikhallen, Skript, Ingenieur-Gemeinschaft ICP, Karlsruhe, www.icp-ing.de

Fabian Kirsch (2:2012), Auswahl-Kriterien, Risiken sowie Prüf- und Sanierungsmöglichkeiten bei der Anwendung von Tiefbaugründungen im Brückenbau (Pfahlgründungen), Skript, Technische Universität Braunschweig sowie Consult GmbH Braunschweig,
http://www.gudconsult.de/uploads/media/00128_d.pdf

H. S. Müller u. M. Beitzel (5:2006), Neue Erkenntnisse zum Frischbetonverhalten, Skript, Uni Karlsruhe, Institut für Massivbau und Baustofftechnologie
<http://digbib.ubka.uni-karlsruhe.de/volltexte/documents/559965>

Weitere Literatur

Rolf Katzenbach (2:2009), Erddruck IV, Skript, Institut und Versuchsanstalt für Geotechnik der TU Darmstadt,

http://www.geotechnik.tu-darmstadt.de/media/institut_und_versuchsanstalt_fuer_geotechnik/studiumundlehre_1/musterloesungen/umweltgeotechnik_3/06_-_Erddruck_12-02-09.pdf

Günter Kunze (2012), Einführung in die bodenphysikalischen Grundlagen, Skript, Technische Universität Dresden, Professur für Baumaschinen- und Fördertechnik,

www.springer.com/cda/content/.../cda.../9783834815927-c1.pdf?...0...

Christian Moormann (11:2012), Bauliche Maßnahmen zur Bergung der Archivalien und zur Erkundung der Schadensursache, Baugrundtagung; Einsturz des Stadtarchivs in Köln; Artikel ,Institut für Geotechnik der Universität Stuttgart,

http://www.uni-stuttgart.de/igs/content/publications/221_CM_Baugrundtagung.pdf

Dr.-Ing. Bernhard Odenwald (3:2013), Einwirkungen und Beanspruchungen aus Grundwasser und Oberflächenwasser, Skript, Bundesanstalt für Wasserbau Karlsruhe, BAW-Kolloquium, Neue Normen und Regelwerke in der Geotechnik,

<http://vzb.baw.de/publikationen/kolloquien/0/Odenwald%20Einwirkungen.pdf>

Thomas Richter (2:2011), Neue Bemessungskonzepte – DIN 1054, Skript, Geotechnik und Dynamik Consult GmbH, Brandenburgische Ingenieurkammer,

http://www.gudconsult.de/uploads/media/00081_d.pdf

Ulrich Simon u. Mathias Bernhard Wieland (2011/2012), Spannungs- und Dehnungstransformation, (Mohr'scher Spannungskreis), Skript, Statik Universität Ulm und Ulmer Zentrum für wissenschaftliches Rechnen; Mathematische Modellbildung und Simulation in der Mechanik,

http://www.uni-ulm.de/fileadmin/website_uni_ulm/uzwr/mmsm/mmsm1-ws1112/Skript-MMSM1.pdf,

http://www.uni-magdeburg.de/ifme/l-dynamik/grundkurs/Matrikel_11/Semester_2/

[Vorlesung/festigkeit_s176-204.pdf](http://www.uni-magdeburg.de/ifme/l-dynamik/grundkurs/Matrikel_11/Semester_2/Vorlesung/festigkeit_s176-204.pdf)

Vertiefungsblock Ökologische Bodenphysik (WS/2003), Skript, Albert-Ludwigs-Universität Freiburg, Professur für Bodenökologie; Bodenphysik,

<http://www.bodenkunde.uni-freiburg.de/objekte/blockphys>

DIN 1054 (2010-12): Baugrund – Sicherheitsnachweise im Erd- und Grundbau

DIN 1926 (2007-03): Prüfverfahren für Naturstein – Bestimmung der einachsigen Druckfestigkeit

DIN 4085 (2011-05) und DIN E 4085: Baugrund – Berechnung des Erddrucks

DIN 18196 (2009-03), DIN 18300 (2008-09), DIN 18301 (2012-09) u. DIN 18311 (2008-09).

Grafiken

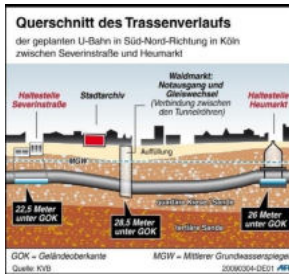
[A] Deutsche Forschungsgesellschaft für Bodenmechanik (Degebo) an der Technischen Universität Berlin, Heft 28, S. 122, ‚Bilder zum Grundbruch‘.

<http://aux.uibk.ac.at/geotechnik/geotechnik1/grundbruch.html>

zu A Uni Dresden, Institut für Geotechnik, Vorlesungsskript: 3: ‚Eigenschaften von Böden‘ mit Belastungsversuchen der Degebo (nicht mehr über Webseite der Uni Dresden zugänglich)

Grafiken

[B]



Panorama Infografik: Querschnitt der Kölner U-Bahntrasse.

<http://www.n24.de/n24/Nachrichten/Panorama/d/636592/infografik--querschnitt-der-koelner-u-bahntrasse.html>

[C]



Köln Nachrichten: **Nord-Süd-Stadtbahn**: koeln-nachrichten.de

Blick in die Baugrube am Waidmarkt vor der Einrichtung des Bergungs- und Besichtigungsbauwerks. Bild: Archiv Köln Nachrichten

http://www.koeln-nachrichten.de/assets/images/Lokales/2010/Maerz/02032010_NordSuedstadtbahn2_kl.jpg

[D]



Baugrube mit Zwischendecke

http://www1.wdr.de/themen/archiv/sp_stadtarchiv_ubahn/archiveinsturz548_v-TeaserAufmacher.jpg

[E]



Kirchturm von St. Johann Baptist in Köln

Der schiefe Turm von Köln; Foto:

http://www.koeln-magazin.info/uploads/pics/schiefer_turm.jpg

[F]



EXPRESS zeigt zwei Details aus dem Gutachter-Film, etwa eine stark beschädigte Schlitzwand – direkt dort, wo das Archiv stand und der Kies eindringen konnte. Foto: KVB

http://lh5.ggpht.com/mfKFLSkAXmaC3qbC8L3244MKtGFZqpngfpG7Xd_ZLLaXm-FaEJt-f4ymogIQbhzppnvr6g=s113

[G]



Bilderserie zum Einsturz des Archivs in Köln:

<http://koeln-magazin-info/stadtarchiv-koeln.html>

<http://Querschnitt-N24.de/Infografik:Querschnitt der Kölner U-Bahntrasse>.

[H]

Deutsches Zentrum für Luft- und Raumfahrt (DLR); Hochgenaue Luftbilder des Nachterstedter Erdbebengebiets „Vergleichskarte Nachterstedt, Profilschnitte vorher und nachher“

<http://www.zki.dlr.de/de/article/936> und

http://www.dlr.de/desktopdefault.aspx/tabid-5105/8598_read-18849/24.07.2009 – Luftbild-Vergleichskarte Nachterstedt, vorher und nachher.

[J]

Bilderserie Nachterstedt unter: <http://www.n-tv.de/mediathek/bilderserien/nachterstedt>.

Die neue Erddruck-Theorie

Anlage 1

Raum- und Gewichtsteile von Böden

Bodenarten entstehen durch den Zerfall von Felsgesteinen
 Bodeneigenschaften bestimmen sich über das Verhältnis
 von Feststoff- zu Porenvolumen

Berechnungen

bezogen auf die Körpertiefe $a = 1,00$ m.

Bodenarten von Fels bis Urstaub und Urstaub unter Wasser	Neigungs- winkel β	Scher- winkel $\beta/2$	Ermittlung der Raumteile										Winkel			Winkel nasser Böden unter Wasser												
			Höhe h	Breite b	Δb	V_f	V_p	$V_{\Delta V}$	$V_{\Delta b}$	$V_{\Delta V + \Delta V_{Vo}}$	Raumteile $V_f / \Sigma V_{\Delta V} / \Sigma V$	Gewichtsteile VI	ptg	pnw	tan		sn	snw	g									
	m	m	m	m	m	m	m ³	m ³	m ³	m ³	m ³	m ³	m ³	t/m ³	t/m ³	t/m ³	t/m ³	t/m ³	t/m ³	t/m ³	t/m ³	t/m ³	t/m ³	t/m ³	t/m ³	t/m ³	t/m ³	m/s ²
Fels, hart fest	89,4	95,5	47,7	88,8	1,00	1,00	0,01	1,00	0,01	1,01	0,99	0,01	2,97	0,01	2,98	1,98	1,99	71,62	89,2	88,4	76,42	89,3	88,5	9,807				
Fels, schwer lösbar	85,0	11,43	5,72	80,1	1,00	1,00	0,09	1,00	0,09	1,09	0,92	0,08	2,76	0,08	2,84	1,84	1,92	8,573	83,3	76,9	9,148	83,8	77,7	9,807				
Fels, normal lösbar	80,0	5,671	2,84	70,6	1,00	1,00	0,18	1,00	0,18	1,18	0,85	0,15	2,55	0,15	2,70	1,70	1,85	4,253	76,8	64,8	4,539	77,6	66,2	9,807				
Geröll, dicht gelagert	75,0	3,732	1,87	61,8	1,00	1,00	0,27	1,00	0,27	1,27	0,79	0,21	2,37	0,21	2,58	1,58	1,79	2,799	70,3	54,5	2,987	71,5	56,2	9,807				
Geröll, lose gelagert	70,0	2,747	1,37	53,9	1,00	1,00	0,36	1,00	0,36	1,36	0,73	0,27	2,20	0,27	2,47	1,47	1,73	2,061	64,1	45,9	2,199	65,5	47,7	9,807				
Kies, fest gelagert	65,0	2,145	1,07	47,0	1,00	1,00	0,47	1,00	0,47	1,47	0,68	0,32	2,05	0,32	2,36	1,36	1,68	1,608	58,1	38,8	1,716	59,8	40,6	9,807				
Kies, lose gelagert	60,0	1,732	0,87	40,9	1,00	1,00	0,58	1,00	0,58	1,58	0,63	0,37	1,90	0,37	2,27	1,27	1,63	1,299	52,4	33,0	1,386	54,2	34,7	9,807				
Kies, schluffig	55,0	1,428	0,71	35,5	1,00	1,00	0,70	1,00	0,70	1,70	0,59	0,41	1,76	0,41	2,18	1,18	1,59	1,071	47,0	28,2	1,143	48,8	29,7	9,807				
Boden, bindig plast.	50,0	1,192	0,60	30,8	1,00	1,00	0,84	1,00	0,84	1,84	0,54	0,46	1,63	0,46	2,09	1,09	1,54	0,894	41,8	24,1	0,954	43,6	25,5	9,807				
Boden, bindig weich	45,0	1,000	0,50	26,6	1,00	1,00	1,00	1,00	1,00	2,00	0,50	0,50	1,50	0,50	2,00	1,00	1,50	0,750	36,9	20,6	0,800	38,7	21,8	9,807				
Boden, bindig breiig	40,0	0,839	0,42	22,8	1,00	1,00	1,19	1,00	1,19	2,19	0,46	0,54	1,37	0,54	1,91	0,91	1,46	0,629	32,2	17,5	0,672	33,9	18,6	9,807				
Löß, breiig	35,0	0,700	0,35	19,3	1,00	1,00	1,43	1,00	1,43	2,43	0,41	0,59	1,24	0,59	1,82	0,82	1,41	0,525	27,7	14,7	0,560	29,3	15,7	9,807				
Löß, fließfähig	30,0	0,577	0,29	16,1	1,00	1,00	1,73	1,00	1,73	2,73	0,37	0,63	1,10	0,63	1,73	0,73	1,37	0,433	23,4	12,2	0,462	24,8	13,0	9,807				
Löß, wässrig	25,0	0,466	0,23	13,1	1,00	1,00	2,14	1,00	2,14	3,14	0,32	0,68	0,95	0,68	1,64	0,64	1,32	0,350	19,3	9,92	0,373	20,5	10,6	9,807				
Urstaub u. Wasser	20,0	0,364	0,18	10,3	1,00	1,00	2,75	1,00	2,75	3,75	0,27	0,73	0,80	0,73	1,53	0,53	1,27	0,273	15,3	7,77	0,291	16,2	8,29	9,807				
Urstaub u. Wasser	15,0	0,268	0,13	7,63	1,00	1,00	3,73	1,00	3,73	4,73	0,21	0,79	0,63	0,79	1,42	0,42	1,21	0,201	11,4	5,74	0,214	12,1	6,12	9,807				
Urstaub u. Wasser	10,0	0,176	0,09	5,04	1,00	1,00	5,67	1,00	5,67	6,67	0,15	0,85	0,45	0,85	1,30	0,30	1,15	0,132	7,53	3,78	0,141	8,03	4,04	9,807				
Urstaub u. Wasser	5,00	0,087	0,04	2,50	1,00	1,00	11,4	1,00	11,4	12,4	0,08	0,92	0,24	0,92	1,16	0,16	1,08	0,066	3,75	1,88	0,070	4,01	2,01	9,807				
Urstaub u. Wasser	0,60	0,010	0,01	0,30	1,00	1,00	95,5	1,00	95,5	96,5	0,01	0,99	0,03	0,99	1,02	0,02	1,01	0,008	0,45	0,23	0,008	0,48	0,24	9,807				
Urstaub u. Wasser	0,10	0,002	0,00	0,05	1,00	1,00	573	1,00	573	574	0,00	1,00	0,01	1,00	1,00	0,00	1,00	0,001	0,08	0,04	0,001	0,08	0,04	9,807				

Anlage 2

Kräfte und Kraftmeter von trockenen Böden

gegen eine 10,0 m hohe Wand.
 Ermittelt nach physikalischer Ebene
 und den Ergänzungen ($\beta < 45^\circ$).

Berechnungen
 bezogen auf die Körpertiefe $a = 1,00$ m.

G_i $A_o \cdot \rho_{tg} \cdot g$
 FN Gewichtskraft $G_i \cdot \cos \beta t$
 FH Gewichtskraft $G_i \cdot \sin \beta t$
 Hv Gewichtskraft $G_i \cdot \sin^2 \beta t$
 Nv Gewichtskraft $G_i \cdot \cos^2 \beta t$
 Hf Gewichtskraft $G_i \cdot \sin \beta t \cdot \cos \beta t$
 git Kraftzahl G_i / h
 Kraftmeter: Kraft G_i / git

Bodenarten von Fels bis Urstaub und Urstaub unter Wasser	Neigungs- winkel		Ermittlung der Gewichtskraft G_i		Ermittlung der Kräfte		Ermittlung der Kraftmeter																			
	βt	$\tan \beta t$	h	bo	A_o	ρ_{tg}	G_i	$\sin \beta$	$\cos \beta$	$\sin^2 \beta$	$\cos^2 \beta$	$\sin \beta \cdot \cos \beta$	FN	FH	Hv	Nv	Hf	git	Git	fn	fh	hv	nv	hf		
	m	m	m	m	m^2	t/m^3	kN												kN/m^2	m	m	m	m	m	m	
Fels, hart fest	89,4	95,49	10,0	0,10	0,52	2,97	15,2	1,000	0,010	1,000	0,000	0,010	0,16	15,24	15,24	0,002	0,160	1,52	0,10	10,0	10,00	0,00	0,00	0,10	0,10	
Fels, schwer lösbar	85,0	11,43	10,0	0,87	4,37	2,76	118	0,996	0,087	0,992	0,008	0,087	10,3	117,9	117,4	0,899	10,28	11,8	0,87	9,96	9,92	0,08	0,08	0,87	0,87	
Fels, normal lösbar	80,0	5,671	10,0	1,76	8,82	2,55	221	0,985	0,174	0,970	0,030	0,171	38,3	217,2	213,9	6,649	37,71	22,1	1,74	9,85	9,70	0,30	1,71	1,74	1,71	
Geröll, dicht gelagert	75,0	3,732	10,0	2,68	13,40	2,37	311	0,966	0,259	0,933	0,067	0,250	80,5	300,3	290,0	20,82	77,72	31,1	2,59	9,66	9,33	0,67	2,50	2,59	2,50	
Geröll, lose gelagert	70,0	2,747	10,0	3,64	18,20	2,20	393	0,940	0,342	0,883	0,117	0,321	134	368,9	346,6	45,92	126,2	39,3	3,42	9,40	8,83	1,17	3,21	3,42	3,21	
Kies, fest gelagert	65,0	2,145	10,0	4,66	23,32	2,05	468	0,906	0,423	0,821	0,179	0,383	198	424,0	384,3	83,55	179,2	46,8	4,23	9,06	8,21	1,79	3,83	4,23	3,83	
Kies, lose gelagert	60,0	1,732	10,0	5,77	28,87	1,90	538	0,866	0,500	0,750	0,250	0,433	269	466,3	403,8	134,6	233,2	53,8	5,00	8,66	7,50	2,50	4,33	5,00	4,33	
Kies, schluffig	55,0	1,428	10,0	7,00	35,01	1,76	606	0,819	0,574	0,671	0,329	0,470	347	496,3	406,5	199,3	284,6	60,6	5,74	8,19	6,71	3,29	4,70	5,74	4,70	
Boden, bindig plast.	50,0	1,192	10,0	8,39	41,95	1,63	671	0,766	0,643	0,587	0,413	0,492	431	514,1	393,9	277,3	330,5	67,1	6,43	7,66	5,87	4,13	4,92	6,43	4,92	
Boden, bindig weich	45,0	1,000	10,0	10,00	50,00	1,50	736	0,707	0,707	0,500	0,500	0,500	520	520,1	367,8	367,8	367,8	73,6	7,07	7,07	5,00	5,00	5,00	7,07	7,07	5,00
Boden, bindig breilig	40,0	0,839	10,0	11,92	59,59	1,37	800	0,643	0,766	0,413	0,587	0,492	613	514,1	330,5	469,4	393,9	80,0	7,66	6,43	4,13	5,87	4,92	7,66	4,92	
Löß, breilig	35,0	0,700	10,0	14,28	71,41	1,24	865	0,574	0,819	0,329	0,671	0,470	709	496,3	284,6	580,6	406,5	86,5	8,19	5,74	3,29	6,71	4,70	8,19	4,70	
Löß, fließfähig	30,0	0,577	10,0	17,32	86,60	1,10	933	0,500	0,866	0,250	0,750	0,433	808	466,3	233,2	699,5	403,8	93,3	8,66	5,00	2,50	7,50	4,33	8,66	4,33	
Löß, wässrig	25,0	0,466	10,0	21,45	107,2	0,95	1003	0,423	0,906	0,179	0,821	0,383	909	424,0	179,2	824,1	384,3	100,3	9,06	4,23	1,79	8,21	3,83	9,06	3,83	
Urstaub u. Wasser	20,0	0,364	10,0	27,47	137,4	0,80	1079	0,342	0,940	0,117	0,883	0,321	1013	368,9	126,2	952,3	346,6	107,9	9,40	3,42	1,17	8,83	3,21	9,40	3,21	
Urstaub u. Wasser	15,0	0,268	10,0	37,32	186,6	0,63	1160	0,259	0,966	0,067	0,933	0,250	1121	300,3	77,72	1082	290,0	116,0	9,66	2,59	0,67	9,33	2,50	9,66	2,50	
Urstaub u. Wasser	10,0	0,176	10,0	56,71	283,6	0,45	1251	0,174	0,985	0,030	0,970	0,171	1232	217,2	37,71	1213	213,9	125,1	9,85	1,74	0,30	9,70	1,71	9,85	1,71	
Urstaub u. Wasser	5,00	0,087	10,0	114,3	571,5	0,24	1353	0,087	0,996	0,008	0,992	0,087	1348	117,9	10,28	1342	117,4	135,3	9,96	0,87	0,08	9,92	0,87	9,96	0,87	
Urstaub u. Wasser	0,60	0,010	10,0	954,9	4774	0,03	1456	0,010	1,000	0,000	1,000	0,010	1456	15,24	0,160	1456	15,24	145,6	10,00	0,10	0,00	10,00	0,10	10,00	0,10	
Urstaub u. Wasser	0,10	0,002	10,0	5730	28648	0,01	1468	0,002	1,000	0,000	1,000	0,002	1468	2,56	0,004	1468	2,563	146,8	10,00	0,02	0,00	10,00	0,02	10,00	0,02	

